

## Nakaharoside B (36) 化學結構的決定

本化合物為黃色固體，對氯化鐵試劑反應為正反應，顯示具有 phenolic hydroxyl group 的存在，negative FABMS(Chart 99)顯示[M-H]<sup>-</sup> 在 *m/z* 473，而 HRFABMS 顯示[M+H]<sup>+</sup> 為 475.1236 (for C<sub>23</sub>H<sub>23</sub>O<sub>11</sub> required 475.1241)。因此推測本化合物之分子式為 C<sub>23</sub>H<sub>22</sub>O<sub>11</sub>。

IR 光譜(Chart 100)在 3381 cm<sup>-1</sup> 為 broad phenolic hydroxyls 的吸收，1719 為 ester 的 carbonyl 的吸收，1655 為 conjugated carbonyl (C=O) 的吸收，1624、1607 和 1576 為 benzene ring 的吸收。UV-visible 光譜(Chart 101)在 272 和 335 nm (log ε : 4.39 和 4.19)有吸收峰，位於黃酮類之 band I 304 至 350 nm, band II 220 至 280 nm 的典型吸收範圍內<sup>(170)</sup>，故推定化合物為黃酮類。進一步的化合物加入 shift reagent，其變化如下：

- (1)加入甲氧鈉(NaOMe)：band I 由 335 (4.19) 向紅位移移 60 nm 至 395 (4.30)，且強度不降，表示化合物 B 環在第 4' 位上有羥基(4'-OH)。
- (2)加入醋酸鈉(NaOAc)：醋酸鈉為弱鹼性，只能與黃酮類母核上酸性較強的羥基解離，而引起紅位移。此化合物加入醋酸鈉後，band I 由 335 (4.19) nm 向紅位移移 53 nm 至 388 (4.06) nm，且強度不降，表示化合物 B 環在第 4' 位上有羥基(4'-OH)，band II 由 272 (4.39) 向紅位移移 7 nm 至 279 (4.41) nm，表示化合物 A 環上具有 7 號位置的羥基(7-OH)。
- (3)加入醋酸鈉/硼酸(NaOAc/H<sub>3</sub>BO<sub>3</sub>)：UV-visible 圖譜並無明顯的改變，表示化合物不具鄰二酚羥基結構。
- (4)加入三氯化鋁(AlCl<sub>3</sub>)：三氯化鋁可與黃酮的 5-羥基-4-酮基、3-羥基-4-酮基或鄰二酚羥基結構系統螯合，並引起相應的吸收帶向紅位移移。此化合物在加入三氯化鋁後，band I 由 335 (4.19) 向紅位移移 51 nm 至 386 (4.05) nm，而後在加鹽酸(HCl)時，UV-visible 圖譜並無明顯的改變，表示化合物不具有鄰二酚羥基，此化合物具有 5-羥基-4-酮基的結構。

綜合上述 UV-visible 圖譜的資料(Table 25)，推定此化合物為 5,7,4'-三羥基黃酮類(5,7,4'-trihydroxyflavones)。

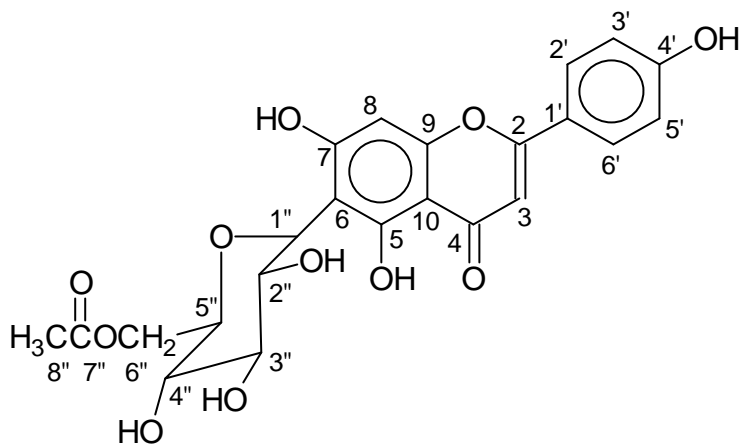
**Table 25.** UV-visible absorption of nakaharoside B (**36**) shifted by shift reagents

Reagents	UV spectral data ( $\ddot{\epsilon}_{\text{max}}$ , nm)
MeOH	272 (4.39), 335 (4.19)
MeOH+NaOMe	277 (4.46), 328 (4.19), 395 (4.30)
MeOH+AlCl <sub>3</sub>	278 (4.33), 305 (4.22), 346 (4.19), 386 (4.05)
MeOH+AlCl <sub>3</sub> /HCl	279 (4.31), 303 (4.22), 346 (4.17), 384 (3.99)
MeOH+NaOAc	279 (4.41), 307 (4.17), 388 (4.17)
MeOH+NaOAc/H <sub>3</sub> BO <sub>3</sub>	272 (4.37), 323 (4.15), 343 (4.30)

NMR 光譜顯示此化合物為類似 apigenin 6-C- $\beta$ -glucopyranoside (isovitexin)<sup>(174)</sup>。氫譜(Chart 102)顯示在 6.91 和 7.82 (each 2H, *d*, *J*=8.7 Hz)為 isovitexin C 環之 A<sub>2</sub>X<sub>2</sub> type 的 4 個質子吸收，定為 H-3'、H-5'和 H-2'、H-6'，COSY 實驗(Chart 103)也證明如此；2 個單峰吸收 6.49 和 6.58，為 A 環之 H-8 和 H-3 的吸收訊號；在 3.4-4.9 為糖的吸收訊號，其中 4.68 (與溶媒的水形成 *br s*)為 H-1"的吸收訊號，是 $\beta$ -linked 糖的質子<sup>(173)</sup>，4.21 (*dd*, *J*=5.9, 12.1 Hz)和 4.43 (*d*, *J*=11.9 Hz)為 H-6"的 2 個質子吸收訊號，此外在 2.04 (*s*)為 1 個 acetyl group 的吸收訊號，這是 isovitexin 所沒有的。

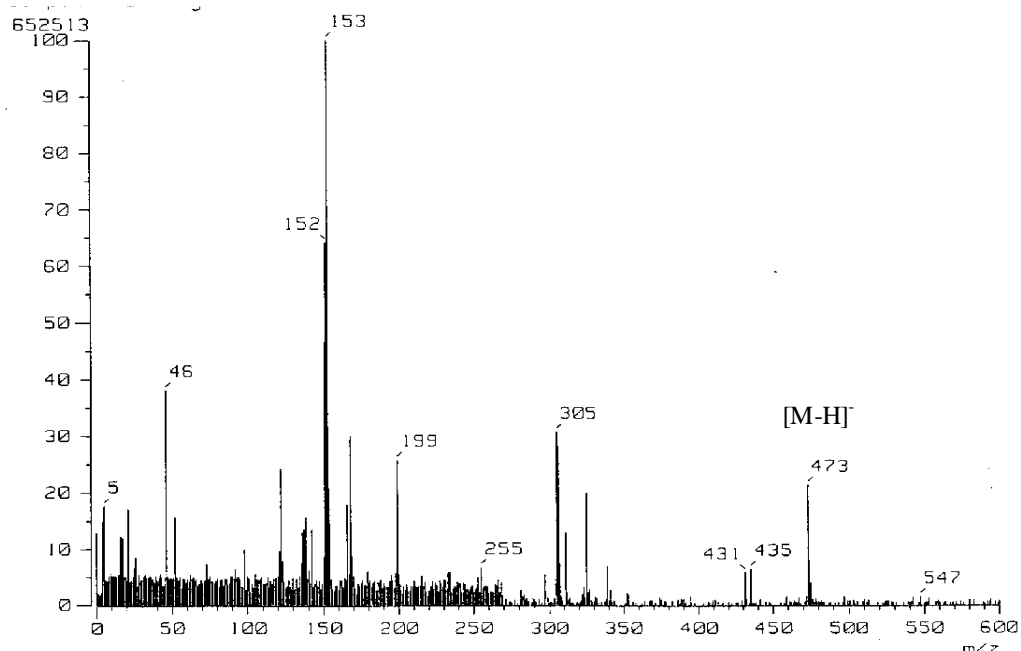
碳譜與 DEPT 實驗(Chart 105)顯示有 1 個 acetyl ( 20.7) , 1 個 methylene ( 65.3) , 11 個 methines ( 71.8、72.4、75.3、79.7、79.9、95.1、103.9、117.1、117.1、129.4 和 129.4)和 10 個四級碳 ( 105.2、108.9、123.1、158.8、162.2、162.8、165.0、166.2、173.0 和 184.0) , 其中 184.0 為 flavone 之 carbonyl (C-4)的吸收訊號，173.0 為 acetyl 之 carbonyl (C-7")的吸收訊號。HMQC 光譜(Chart 106)決定了 1 個 methylene ( 65.3)為 C-6" , 11 個 methines ( 71.8、72.4、75.3、79.7、79.9、95.1、103.9、117.1、117.1、129.4 和 129.4)為 C-4"、C-2"、C-1"、C-3"、C-5"、C-8、C-3、C-3'、C-5'、C-2'和 C-6'。在 HMBC 光譜(Chart 107)中糖上面 H-6"質子與 acetyl (H-8")的質子和 acetyl 的碳(C-7")有長距離的關係，而決定 173.0 為 C-7" , 其它 9 個四級碳 ( 105.2、108.9、123.1、158.8、162.2、162.8、165.0、166.2 和 184.0)的位置，也由 HMBC (Chart 107)來決定，分別為 C-10、C-6、C-1'、C-9、C-5、C-4'、C-7、C-2 和 C-4。

綜合上述資料，整理如 Table 26，確定此化合物結構為 apigenin 6-C-(6"-O-acetyl)- $\beta$ -glucopyranoside，為一新的化合物，命名為 nakaharoside B。結構如下：

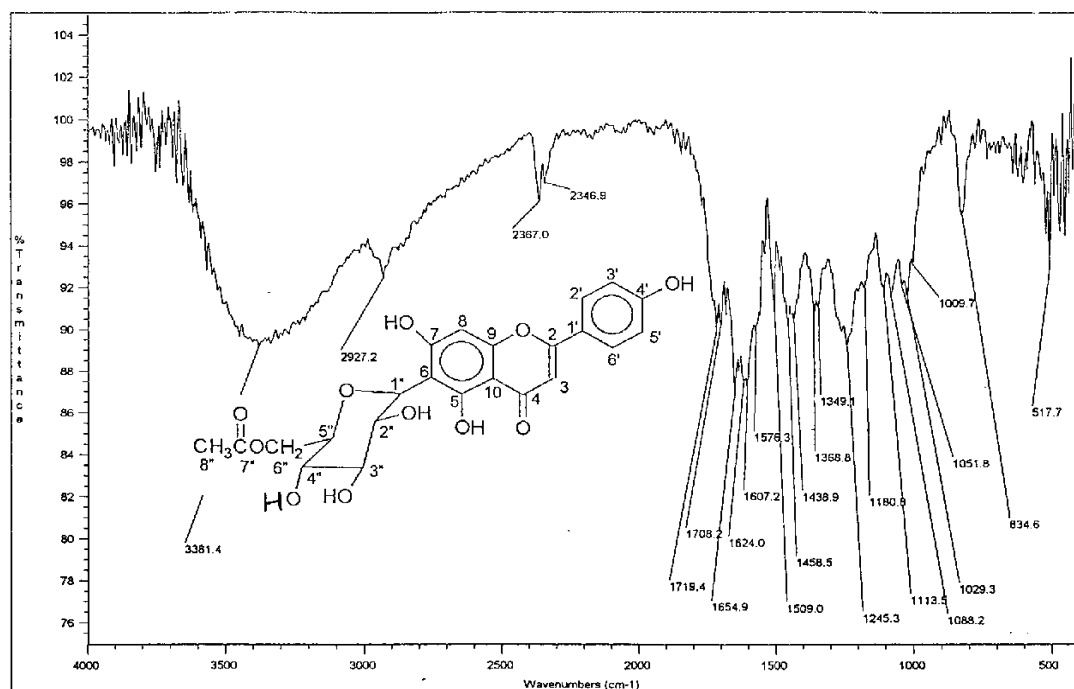


**Table 26.** NMR spectral data of nakaharoside B (36)

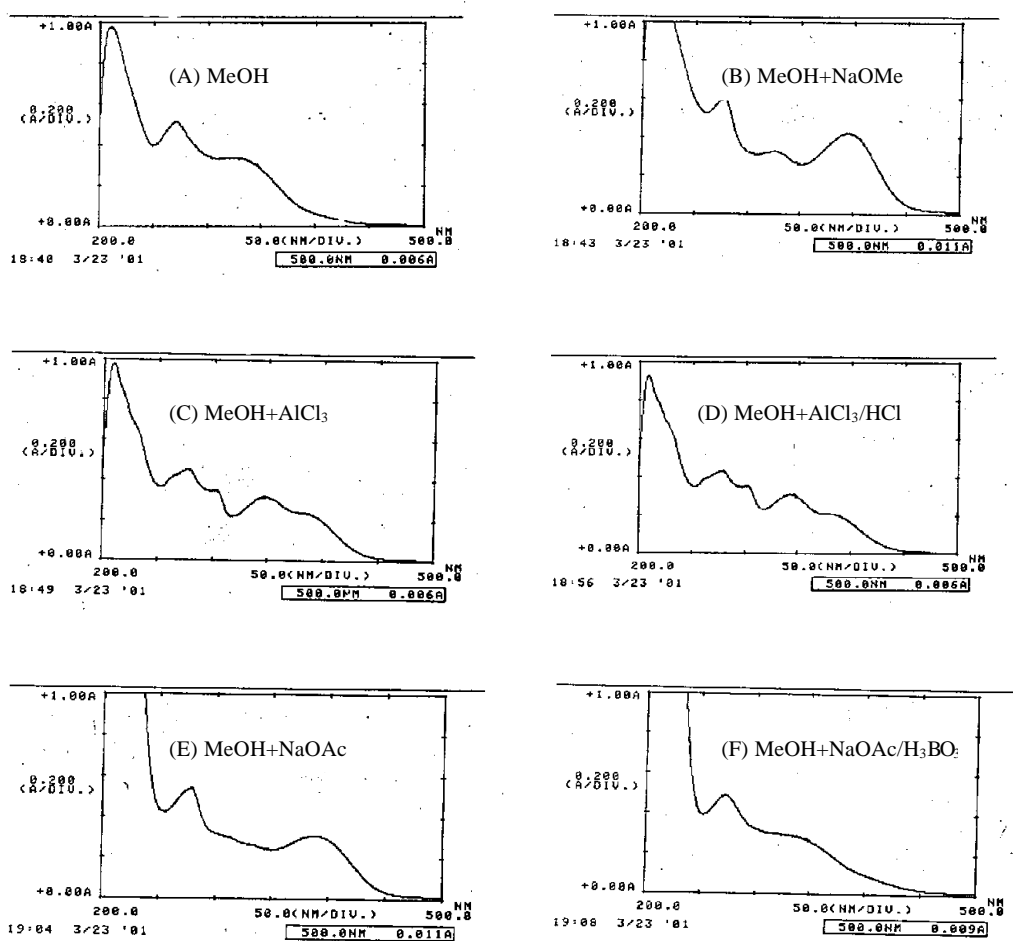
		<sup>1</sup> H	<sup>13</sup> C	COSY	NOESY	HMBC
Aglycone moiety						
2	C		166.2			
3	CH	6.58(s)	103.9		H-6'	C-2( <i>J</i> <sub>2</sub> ), C-4( <i>J</i> <sub>2</sub> ), C-10( <i>J</i> <sub>3</sub> ), C-1' ( <i>J</i> <sub>3</sub> )
4	C		184.0			
5	C		162.2			
6	C		108.9			
7	C		165.0			
8	CH	6.49(s)	95.1			C-4( <i>J</i> <sub>4</sub> ), C-6( <i>J</i> <sub>3</sub> ),C-7( <i>J</i> <sub>2</sub> ), C-9( <i>J</i> <sub>2</sub> ), C-10( <i>J</i> <sub>3</sub> )
9	C		158.8			
10	C		105.2			
1'	C		123.1			
2'	CH	7.82( <i>d</i> , 8.7)	129.4	H-3'	H-3'	C-2( <i>J</i> <sub>3</sub> ), C-3' ( <i>J</i> <sub>2</sub> ), C-4' ( <i>J</i> <sub>3</sub> ), C-6' ( <i>J</i> <sub>3</sub> )
3'	CH	6.91( <i>d</i> , 8.7)	117.1	H-2'	H-2'	C-1' ( <i>J</i> <sub>3</sub> ), C-2' ( <i>J</i> <sub>2</sub> ),C-4' ( <i>J</i> <sub>2</sub> ), C-5' ( <i>J</i> <sub>3</sub> )
4'	C		162.8			
5'	CH	6.91( <i>d</i> , 8.7)	117.1	H-6'	H-6'	C-1' ( <i>J</i> <sub>3</sub> ), C-3' ( <i>J</i> <sub>3</sub> ), C-4' ( <i>J</i> <sub>2</sub> ), C-6' ( <i>J</i> <sub>2</sub> ),
6'	CH	7.82( <i>d</i> , 8.7)	129.4	H-5'	H-3, H-5'	C-2( <i>J</i> <sub>3</sub> ), C-2' ( <i>J</i> <sub>3</sub> ), C-4' ( <i>J</i> <sub>3</sub> ), C-5' ( <i>J</i> <sub>2</sub> )
Sugar moiety						
1"	CH	4.87( <i>br s</i> )	75.3	H-2"		C-2" ( <i>J</i> <sub>2</sub> ), C-3" ( <i>J</i> <sub>3</sub> ), C-5" ( <i>J</i> <sub>3</sub> ), C-5( <i>J</i> <sub>3</sub> ), C-6( <i>J</i> <sub>2</sub> ), C-7( <i>J</i> <sub>3</sub> )
2"	CH	4.21( <i>m</i> )	72.4	H-1", H-3"	H-4"	C-3" ( <i>J</i> <sub>2</sub> ), C-4" ( <i>J</i> <sub>3</sub> )
3"	CH	3.59( <i>m</i> )	79.7	H-2", H-4"	H-6"	C-2" ( <i>J</i> <sub>2</sub> ), C-4" ( <i>J</i> <sub>2</sub> ), C-5" ( <i>J</i> <sub>3</sub> )
4"	CH	3.46( <i>m</i> )	71.8	H-3", H-5"	H-2"	C-2" ( <i>J</i> <sub>2</sub> ),C-3" ( <i>J</i> <sub>2</sub> ), C-5" ( <i>J</i> <sub>2</sub> ), C-6" ( <i>J</i> <sub>3</sub> )
5"	CH	3.46( <i>m</i> )	79.9	H-4", H-6"		C-3" ( <i>J</i> <sub>3</sub> ), C-4" ( <i>J</i> <sub>2</sub> ), C-6" ( <i>J</i> <sub>2</sub> )
6"	CH <sub>2</sub>	4.21( <i>dd</i> ,5.8, 12.1) 4.43( <i>d</i> , 11.9)	65.3	H-5"	H-3"	C-4" ( <i>J</i> <sub>3</sub> ), C-5" ( <i>J</i> <sub>2</sub> ), C-7" ( <i>J</i> <sub>3</sub> )
7"	CO		173.0			
8"	COCH <sub>3</sub>	2.04(s)	20.7			C-7" ( <i>J</i> <sub>2</sub> )



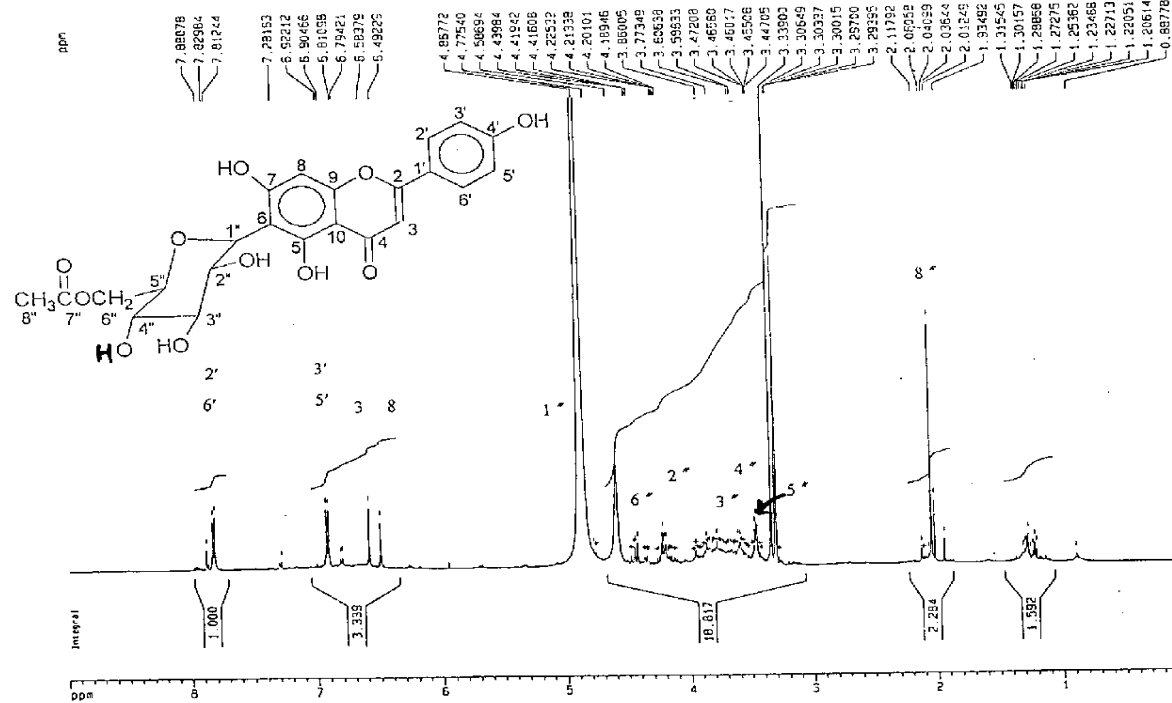
**Chart 99** negative FABMS spectrum of nakaharoside B (**36**)



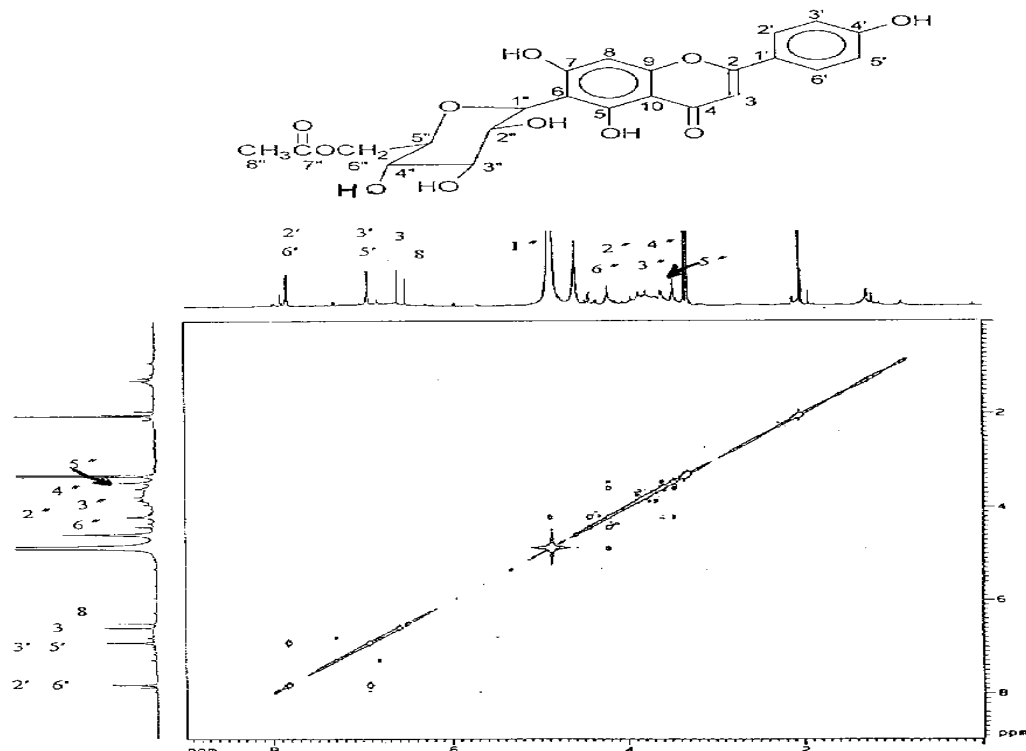
**Chart 100** IR spectrum of nakaharoside B (**36**)



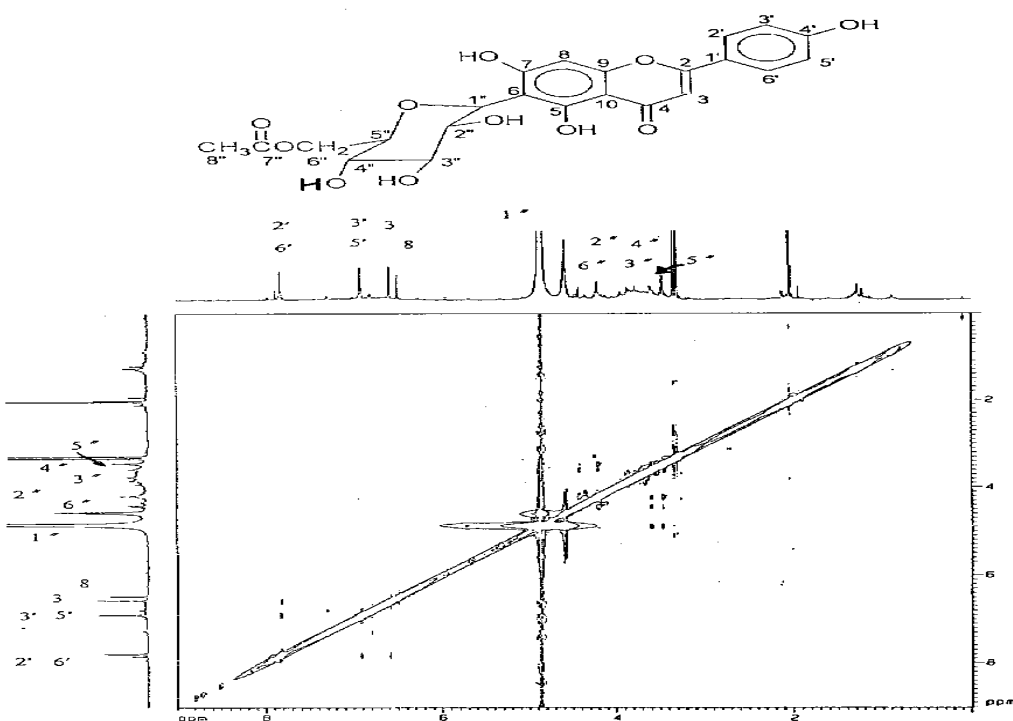
**Chart 101** UV-visible spectra of nakaharoside B (**36**) determined with shift reagents



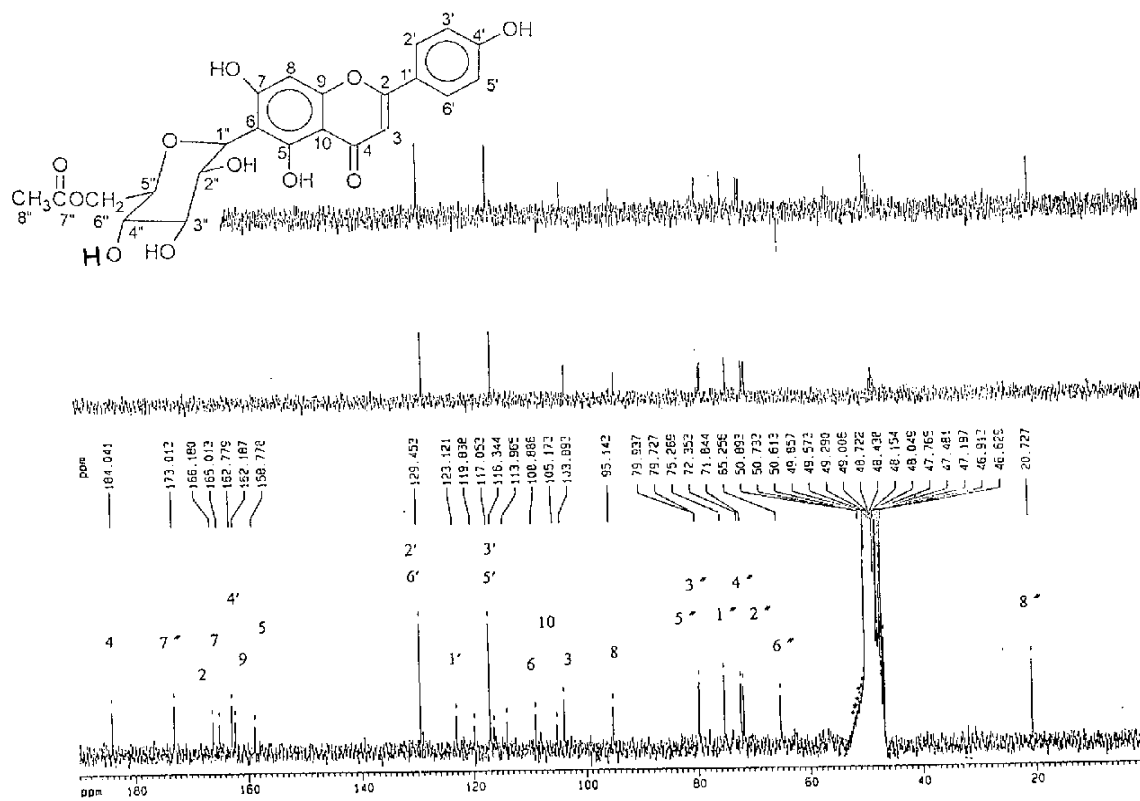
**Chart 102** <sup>1</sup>H-NMR (CD<sub>3</sub>OD, 500 MHz) spectrum of nakaharoside B (**36**)



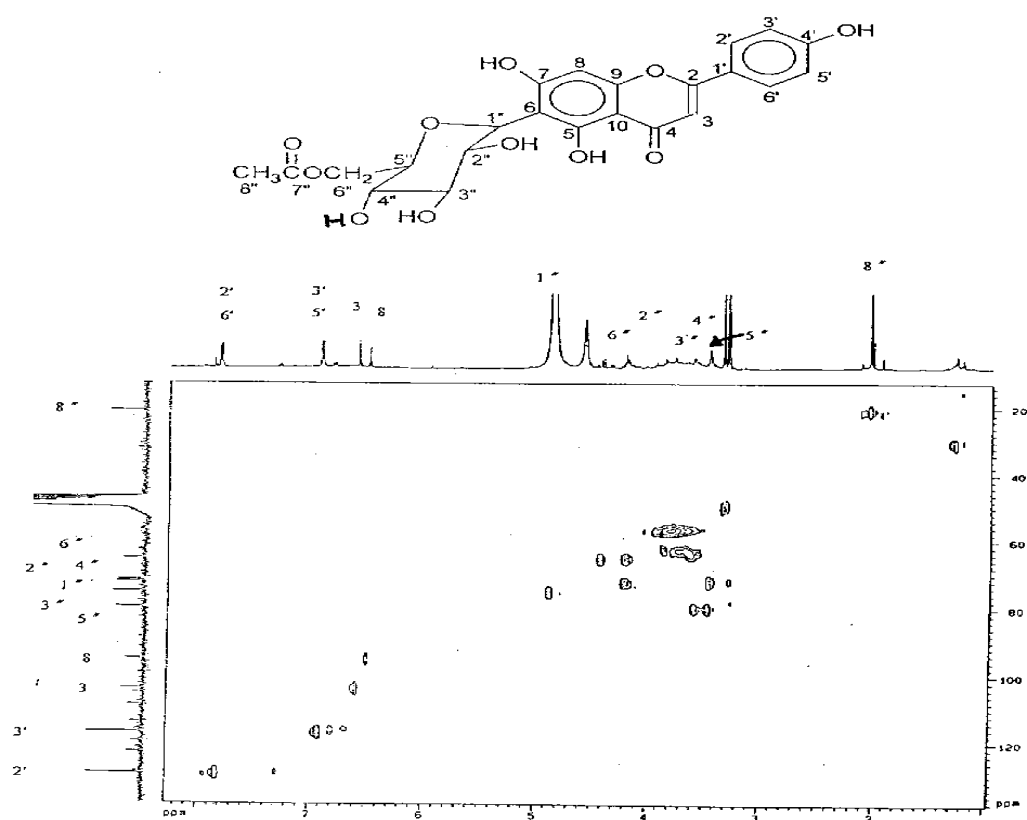
**Chart 103** COSY spectrum of nakaharoside B (**36**)



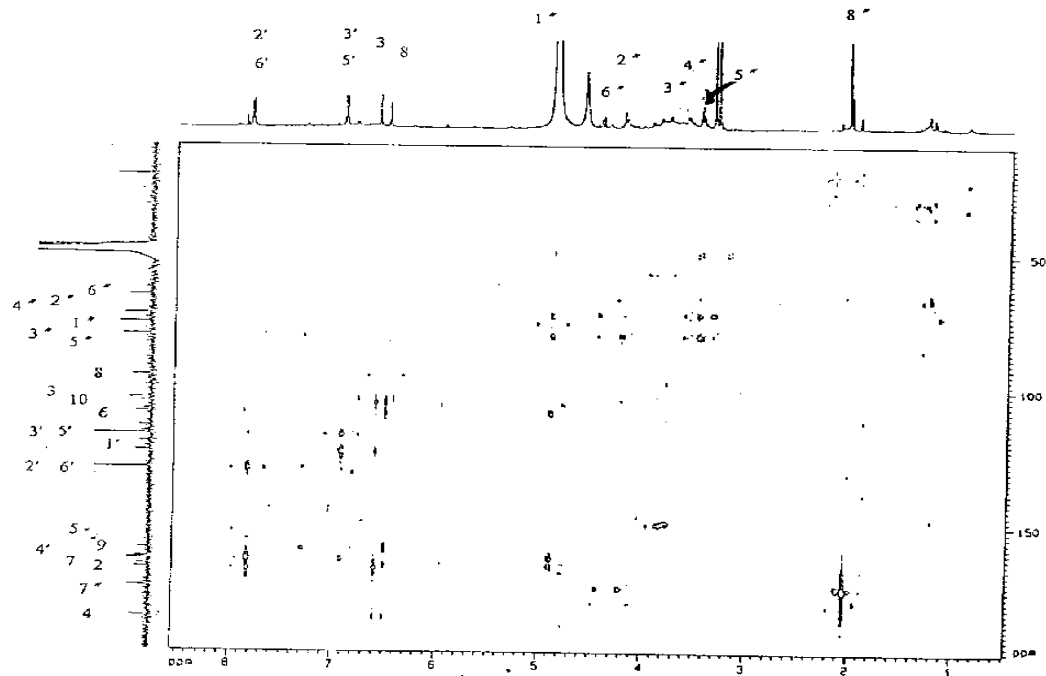
**Chart 104** NOESY spectrum of nakaharoside B (36)



**Chart 105**  $^{13}\text{C}$ -NMR ( $\text{CD}_3\text{OD}$ , 125 MHz) spectrum of nakaharoside B (36)



**Chart 106** HMQC spectrum of nakaharoside B (36)



**Chart 107** HMBC spectrum of nakaharoside B (36)

## Vitexin (37) 化學結構的決定

本化合物為黃色固體，對氯化鐵試劑反應為正反應，顯示具有 phenolic hydroxyl group 的存在，經由 FABMS(Chart 108)顯示  $[M+H]^+$  在  $m/z$  433。

IR 光譜(Chart 109)在  $3237\text{ cm}^{-1}$  為 broad phenolic hydroxyls 的吸收， $1657$  為 conjugated carbonyl ( $\text{C}=\text{O}$ )的吸收， $1611$ 、 $1547$  和  $1512$  為 benzene ring 的吸收。UV-visible 光譜(Chart 110)在  $271$ 、 $305\text{sh}$  和  $333\text{ nm}$  ( $\log E : 4.07$ 、 $3.95$  和  $4.03$ )有吸收峰，位於黃酮類之 band I  $304$  至  $350\text{ nm}$ ，band II  $220$  至  $280\text{ nm}$  的吸收範圍內<sup>(170)</sup>，故推定化合物為黃酮類。進一步的化合物加入 shift reagent，其變化如下：

- (1)加入甲氧鈉( $\text{NaOMe}$ )：band I 由  $333$  (4.03)向紅位移移  $57\text{ nm}$  至  $390$  (4.15)，且強度不降，表示化合物 B 環在第  $4'$  位上有羥基( $4'-\text{OH}$ )。
- (2)加入醋酸鈉( $\text{NaOAc}$ )：醋酸鈉為弱鹼性，只能與黃酮類母核上酸性較強的羥基解離，而引起紅位移。此化合物加入醋酸鈉後，band I 由  $333$  (4.03) nm 向紅位移移  $55\text{ nm}$  至  $385$  (4.06) nm，且強度不降，表示化合物 B 環在第  $4'$  位上有羥基( $4'-\text{OH}$ )，band II 由  $271$  (4.07) 向紅位移移  $9\text{ nm}$  至  $280$  (4.18) nm，表示化合物 A 環上具有 7 號位置的羥基( $7-\text{OH}$ )。
- (3)加入醋酸鈉/硼酸( $\text{NaOAc}/\text{H}_3\text{BO}_3$ )：UV-visible 圖譜並無明顯的改變，表示化合物不具鄰二酚羥基結構。
- (4)加入三氯化鋁( $\text{AlCl}_3$ )：三氯化鋁可與黃酮的 5-羥基-4-酮基、3-羥基-4-酮基或鄰二酚羥基結構系統螯合，並引起相應的吸收帶向紅位移移。此化合物在加入三氯化鋁後，band I 由  $333$  (4.03)向紅位移移  $53\text{ nm}$  至  $386$  (3.95) nm，而後在加鹽酸( $\text{HCl}$ )時，UV-visible 圖譜並無明顯的改變，表示化合物不具有鄰二酚羥基，此化合物具有 5-羥基-4-酮基的結構。

綜合上述 UV-visible 圖譜的資料(Table 27)，推定此化合物為  $5,7,4'$ -三羥基黃酮類( $5,7,4'$ -trihydroxyflavones)。

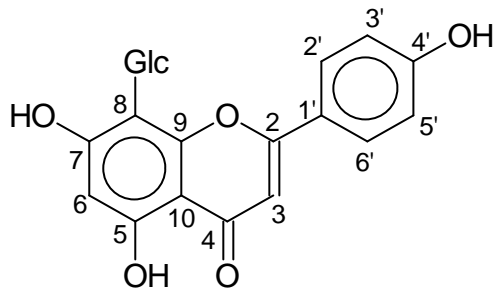
**Table 27.** UV-visible absorption of vitexin (37) shifted by shift reagents

reagents	UV spectral data ( $\epsilon_{\text{max}}$ , nm)
MeOH	271 (4.07), 305sh (3.95), 333 (4.03)
MeOH+NaOMe	279 (4.15), 327 (3.91), 390 (4.15)
MeOH+AlCl <sub>3</sub>	277 (4.01), 305 (3.95), 346 (4.06), 386 (3.95)
MeOH+AlCl <sub>3</sub> /HCl	278 (3.99), 304 (3.96), 346 (4.05), 382 (3.87)
MeOH+NaOAc	280 (4.18), 300 (3.90), 385 (4.06)
MeOH+NaOAc/H <sub>3</sub> BO <sub>3</sub>	272 (4.06), 329sh (3.97), 346 (3.98)

氫譜(Chart 111)顯示具糖和 flavone 的特徵訊號 在 3.2-4.7 為糖的吸收訊號，其中 4.68 (*d*, *J*=9.4 Hz)為 H-1" 的吸收訊號，是 $\beta$ -linked 糖的質子<sup>(173)</sup>。而芳香環區域在 6.89 (*d*, *J*=8.2 Hz)和 7.98 (*d*, *J*=8.4 Hz)為 flavone C 環之 A<sub>2</sub>X<sub>2</sub> type 的 4 個質子吸收，定為 H-3'、H-5' 和 H-2'、H-6'，COSY 實驗(Chart 112)也證明如此，另外有 2 個單峰吸收 6.25 和 6.73，其中 6.73 (*s*)為 H-3 的吸收訊號，因為 flavone B 環之 H-3 的吸收受 conjugated carbonyl group 的影響，所以會比 A 環上質子的吸收來的較低磁場，而 6.25 (*s*)定為 H-6，此外在低磁場 13.11 (*s*)為 phenolic hydroxyl proton 的吸收。

碳譜(Chart 113)與 DEPT 實驗(Chart 114)顯示有 1 個 methylene (61.7)，11 個 methines (70.9、71.3、73.8、79.1、82.1、98.7、102.9、116.4、116.4、129.4 和 129.4)和 9 個四級碳(104.4、105.0、122.0、156.5、160.7、161.6、163.3、164.4 和 182.5)，其中 182.5 為 flavone 之 carbonyl (C-4)的吸收訊號。HMQC 光譜(Chart 115)決定了 1 個 methylene (61.7)為 C-1"，11 個 methines (70.9、71.3、73.8、79.1、82.1、98.7、102.9、116.4、116.4、129.4 和 129.4)為 C-4"、C-2"、C-1"、C-3"、C-5"、C-6、C-3、C-3'、C-5'、C-2' 和 C-6'。而 HMBC 光譜(Chart 116)決定了 9 個四級碳(104.4、105.0、122.0、156.5、160.7、161.6、163.3、164.4 和 182.5)的位置，為 C-10、C-8、C-1'、C-9、C-5、C-4'、C-7、C-2 和 C-4。

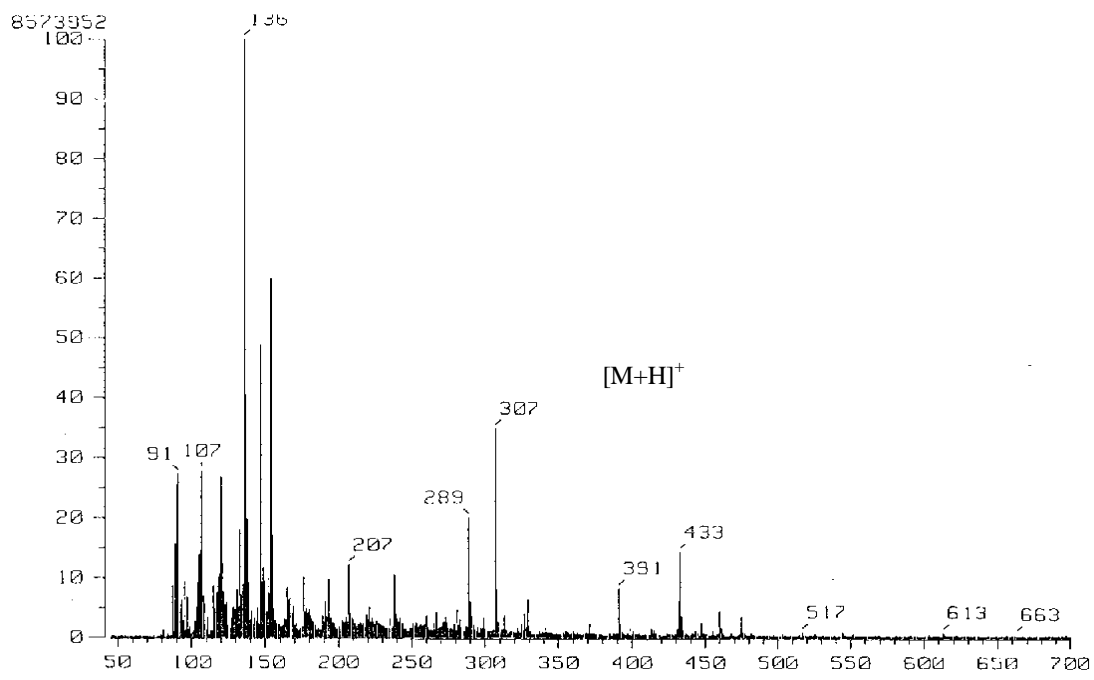
綜合上述資料，整理如 Table 28，並與文獻<sup>(171, 172)</sup>比對，確定此化合物結構為 apigenin 8-C- $\beta$ -glucopyranoside，分子式為 C<sub>21</sub>H<sub>20</sub>O<sub>10</sub>，又名為 vitexin。結構如下：



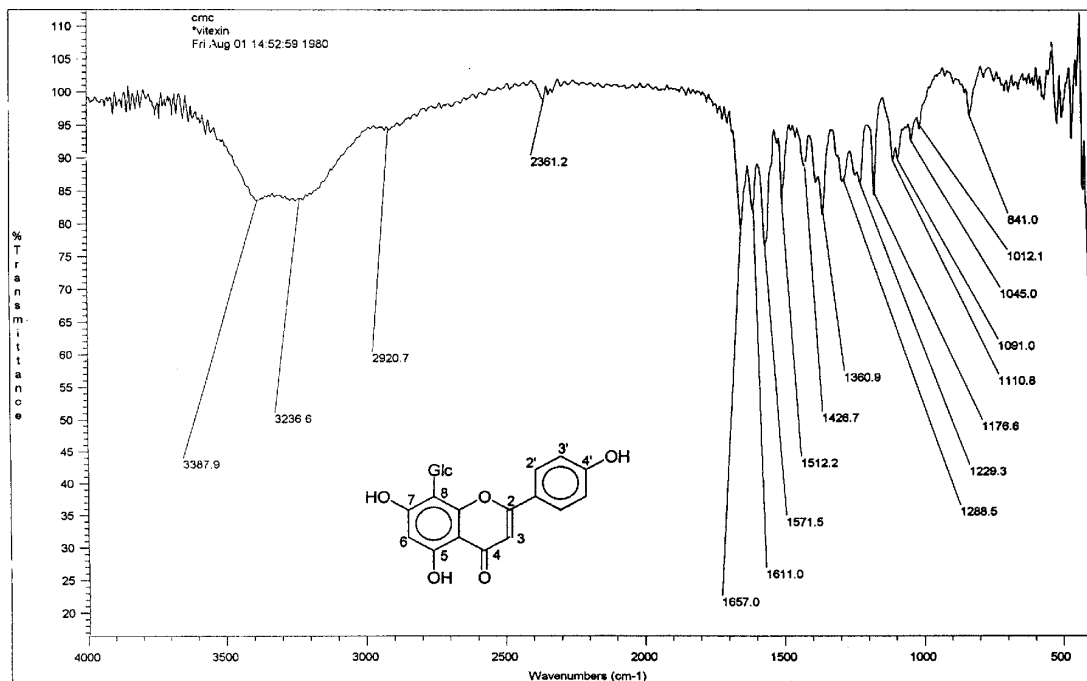
**Table 28.** NMR spectral data of vitexin (37)

		<sup>1</sup> H	<sup>13</sup> C	COSY	HMBC
Aglycone moiety					
2	C		164.4		
3	CH	6.73(s)	102.9		C-2( <i>J</i> <sub>2</sub> ), C-4( <i>J</i> <sub>2</sub> ), C-10( <i>J</i> <sub>3</sub> ), C-1' ( <i>J</i> <sub>3</sub> )
4	C		182.5		
5	C		160.7		
6	CH	6.25(s)	98.7		C-5( <i>J</i> <sub>2</sub> ), C-7( <i>J</i> <sub>2</sub> ), C-8( <i>J</i> <sub>3</sub> ), C-10( <i>J</i> <sub>3</sub> )
7	C		163.3		
8	C		105.0		
9	C		156.5		
10	C		104.4		
5-OH	OH	13.11(s)			C-5( <i>J</i> <sub>2</sub> ), C-6( <i>J</i> <sub>3</sub> ), C-10( <i>J</i> <sub>3</sub> )
1'	C		122.0		
2'	CH	7.98( <i>d</i> , 8.4)	129.4	H-3'	C-2( <i>J</i> <sub>3</sub> ), C-4' ( <i>J</i> <sub>3</sub> ), C-6' ( <i>J</i> <sub>3</sub> )
3'	CH	6.89( <i>d</i> , 8.2)	116.4	H-2'	C-1' ( <i>J</i> <sub>3</sub> ), C-4' ( <i>J</i> <sub>2</sub> ), C-5' ( <i>J</i> <sub>3</sub> )
4'	C		161.6		
5'	CH	6.89( <i>d</i> , 8.2)	116.4	H-6'	C-1' ( <i>J</i> <sub>3</sub> ), C-3' ( <i>J</i> <sub>3</sub> ), C-4' ( <i>J</i> <sub>2</sub> )
6'	CH	7.98( <i>d</i> , 8.4)	129.4	H-5'	C-2( <i>J</i> <sub>3</sub> ), C-2' ( <i>J</i> <sub>3</sub> ), C-4' ( <i>J</i> <sub>3</sub> )
Sugar moiety					
1"	CH	4.68( <i>d</i> , 9.4)	73.8		C-8( <i>J</i> <sub>2</sub> ), C-9( <i>J</i> <sub>3</sub> )
2"	CH	3.62( <i>m</i> )*	71.3		
3"	CH	3.62( <i>m</i> )*	79.1		
4"	CH	3.62( <i>m</i> )*	70.9		
5"	CH	3.62( <i>m</i> )*	82.1		
6"	CH <sub>2</sub>	3.62( <i>m</i> )*	61.7		
OH	OH	5.00(s)			

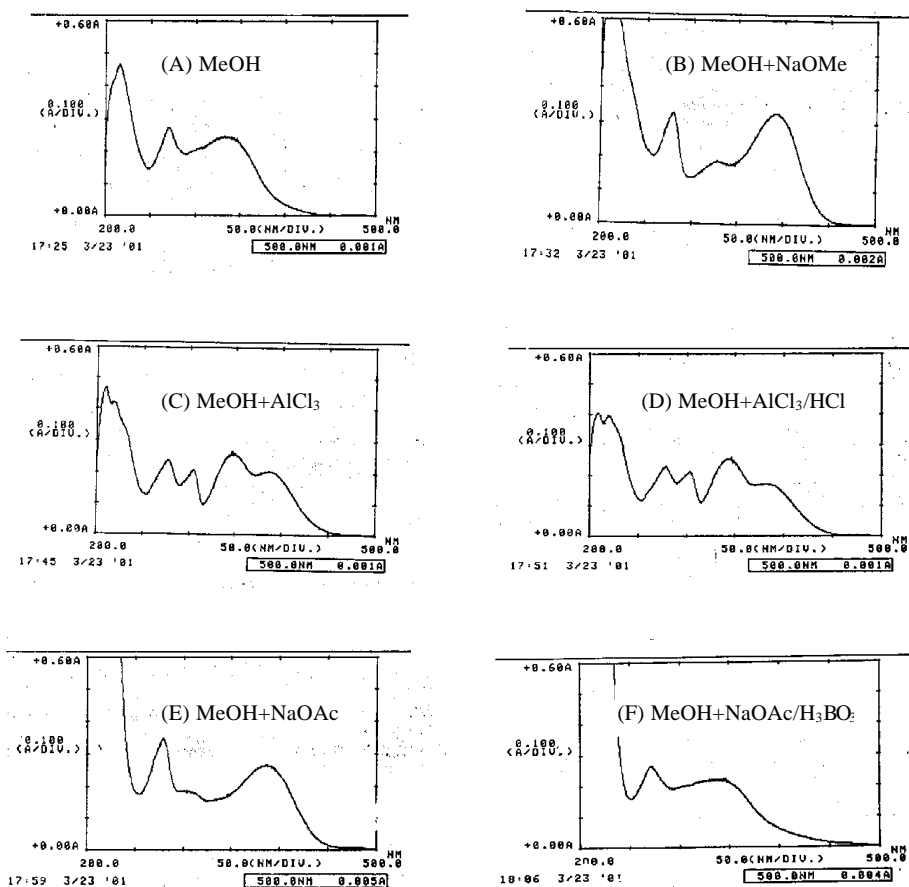
\* overlapped with other proton signals of sugar moiety.



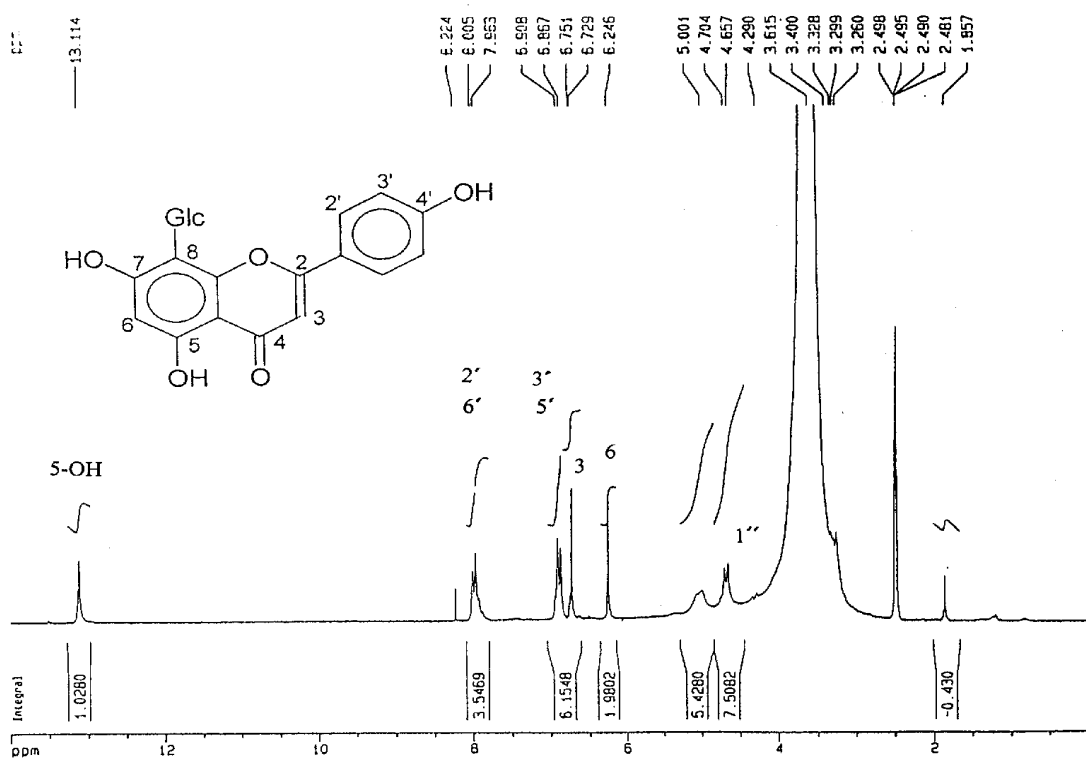
**Chart 108** positive FABMS spectrum of vitexin (37)



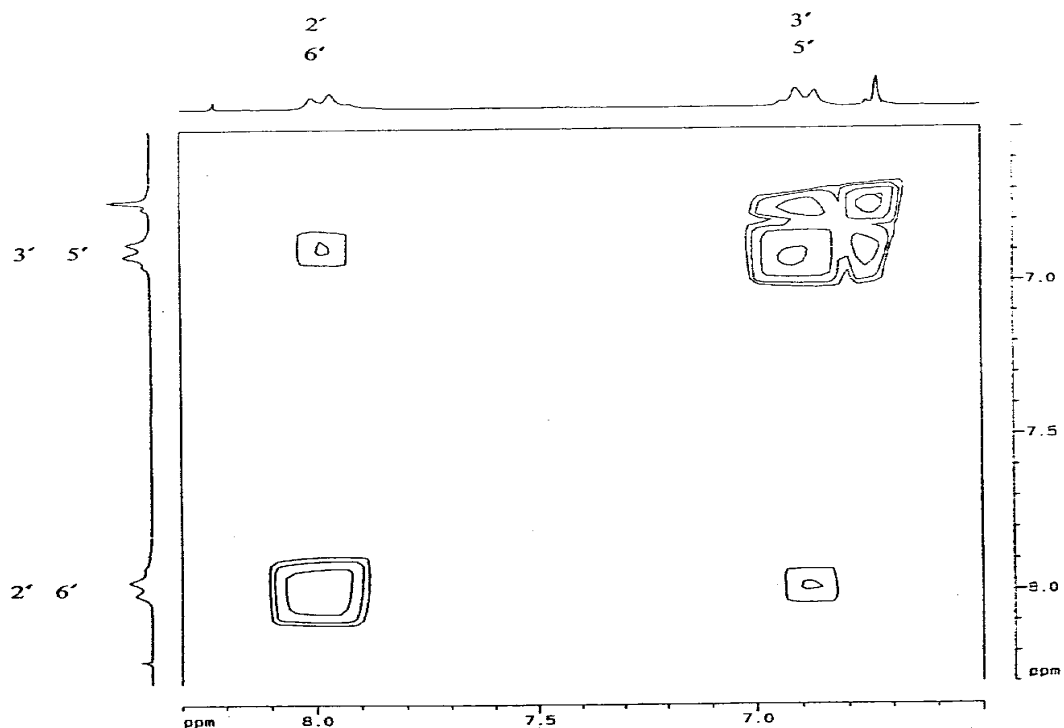
**Chart 109** IR spectrum of vitexin (37)



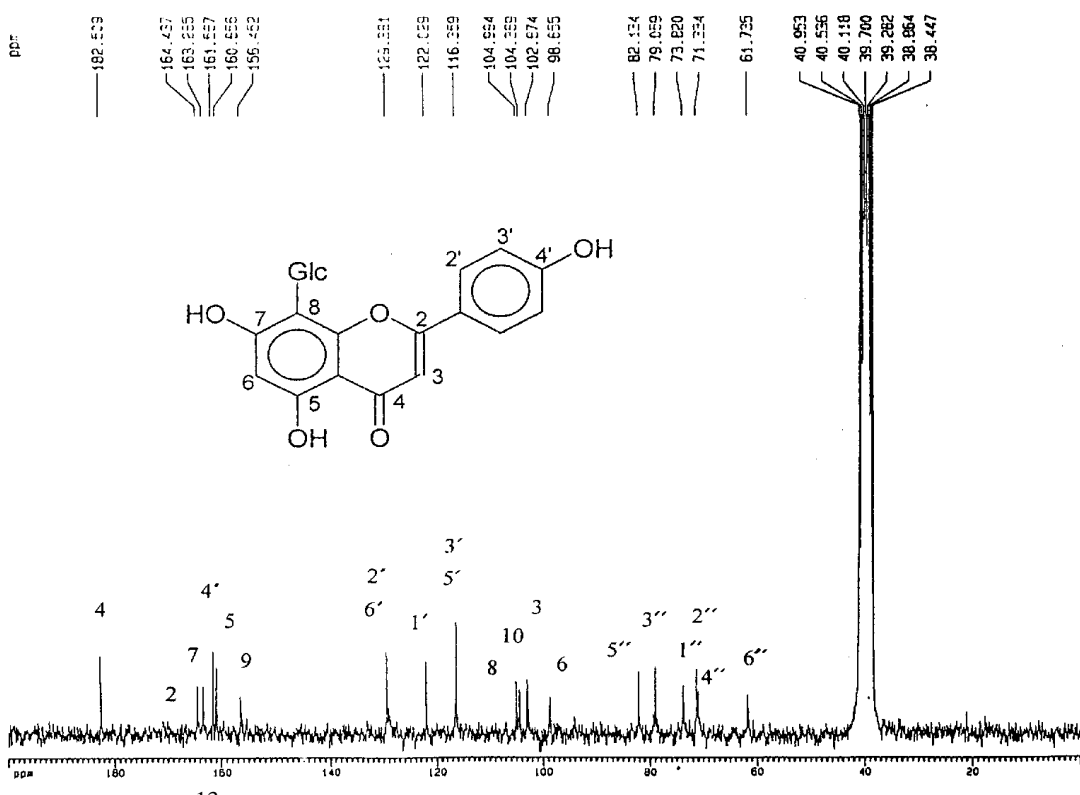
**Chart 110** UV-visible spectra of vitexin (37) determined with shift reagents



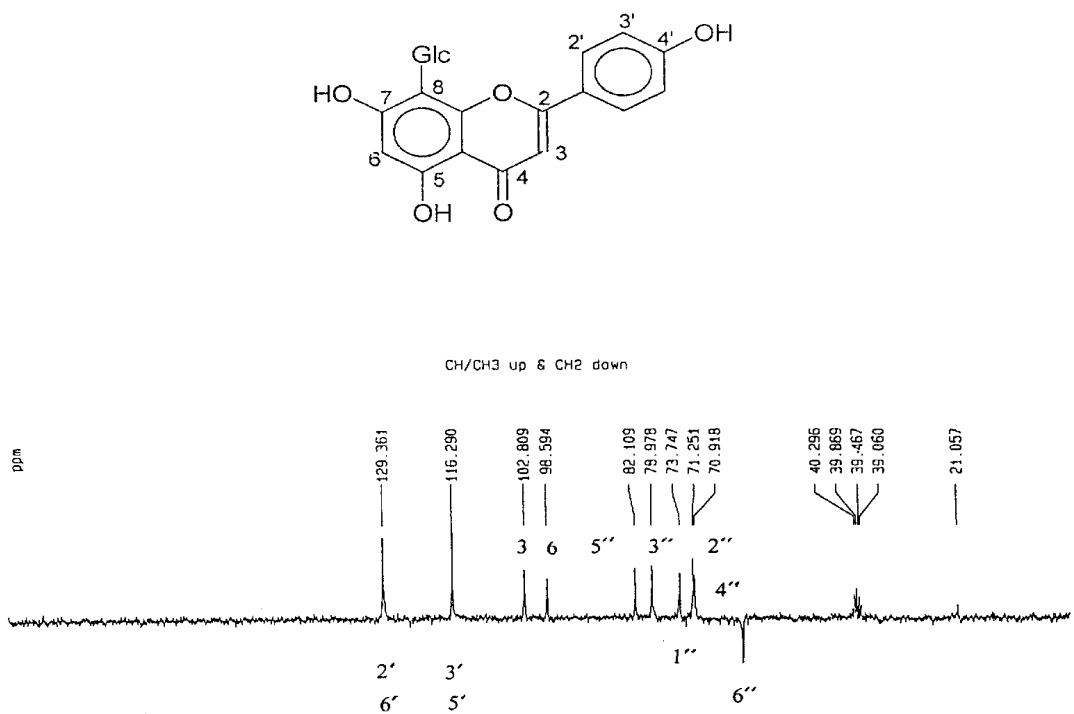
**Chart 111**  $^1\text{H}$ -NMR ( $\text{DMSO}-d_6$ , 200 MHz) spectrum of vitexin (**37**)



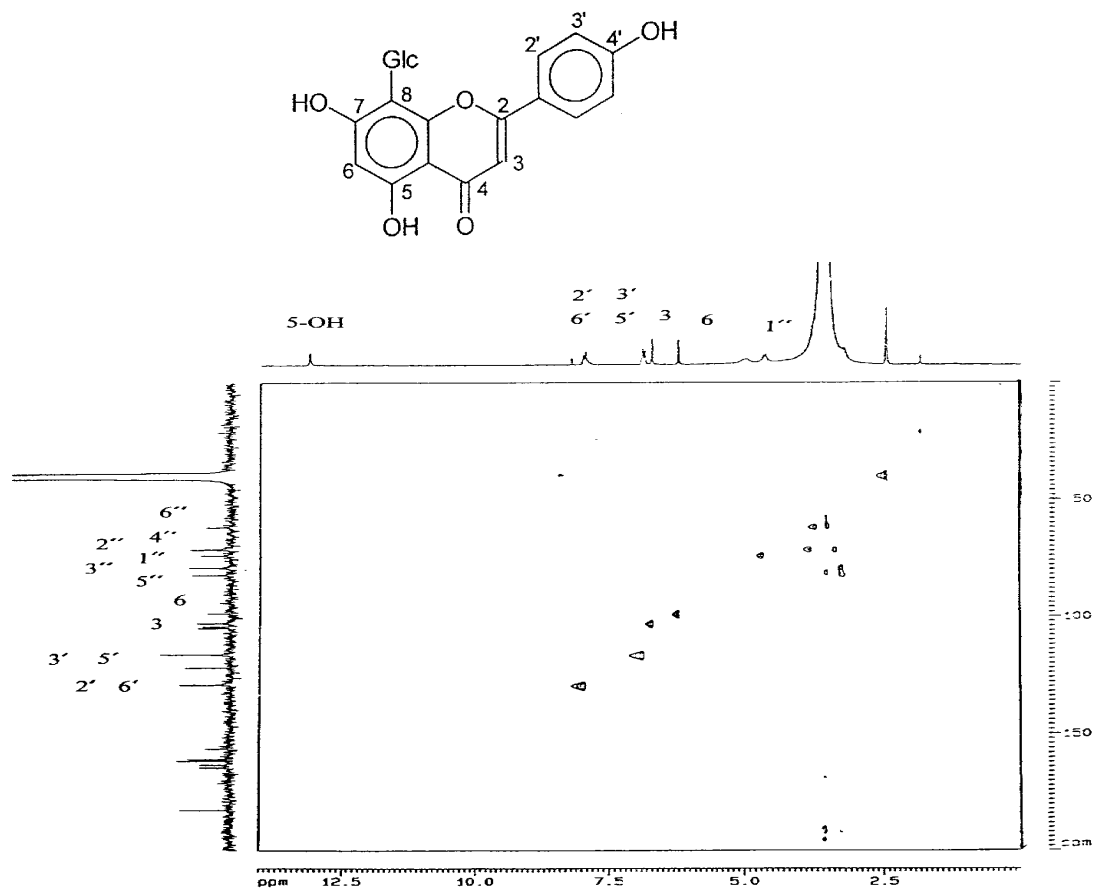
**Chart 112** COSY spectrum of vitexin (**37**)



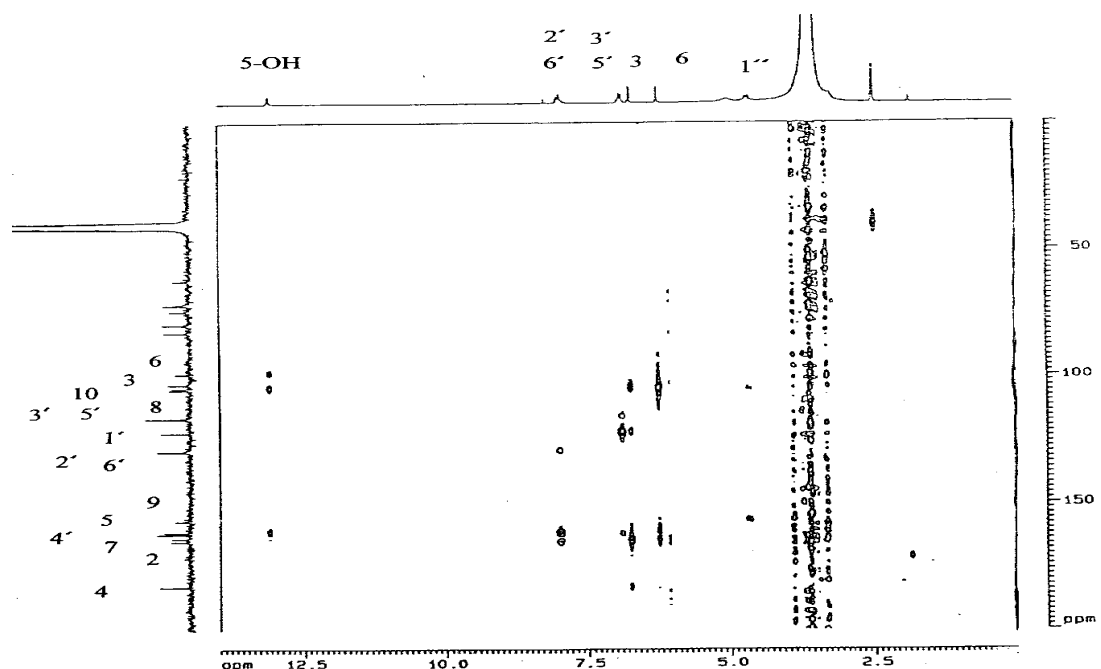
**Chart 113**  $^{13}\text{C}$ -NMR ( $\text{DMSO}-d_6$ , 50 MHz) spectrum of vitexin (37)



**Chart 114** DEPT135 spectrum of vitexin (37)



**Chart 115** HMQC spectrum of vitexin (**37**)



**Chart 116** HMBC spectrum of vitexin (**37**)

## 七、Benzene 和 Phenol 類化合物

苯環芳香族的醇、醛、酮、酸、醚和酯類的衍生物，普遍存在於自然界中，而其酯類衍生物通常以混合一系列烷基的形式出現，在石斛中分離到 6 個此類化合物，alkyl 4'-hydroxy-*cis*-cinnamates (7)、alkyl 4'-hydroxy-*trans*-cinnamates (8)、alkyl *trans*-ferulates (5)、*p*-anisaldehyde (4)、moniliformol(hydroxyethyl 3-methoxy-6-hydroxybenzoate) (19) 和 vanillin (4-hydroxy-3-methoxybenzaldehyde) (38)；在連株石斛分離得到 4 個此類化合物 alkyl 4'-hydroxy-*cis*-cinnamates (7)、alkyl 4'-hydroxy-*trans*-cinnamates (8)、alkyl *trans*-ferulates (5) 和 protocatechuic acid (3,4-dihydroxybenzoic acid) (33)；而在金線連中分離得到 3 個此類化合物 2-methoxy-4-vinylphenol (38)、protocatechuic acid (33) 和 4-vinylphenol (39)。

### Alkyl 4'-hydroxy-*cis*-cinnamates (7) 化學結構的決定

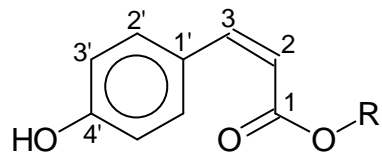
本化合物為白色固體，經由 EIMS 顯示具有 *p*-coumaric acid (*m/z* 164) 和 *p*-coumaroyl (*m/z* 147) 的離子裂片。

IR 光譜(Chart 117)顯示在  $3368\text{ cm}^{-1}$  為 phenolic hydroxy proton ( $\text{OH}$ ) 的吸收， $2917$  和  $2851\text{ cm}^{-1}$  為飽和的碳氫( $\text{C-H}$ )的吸收， $1713\text{ cm}^{-1}$  為 ester carbonyl  $\text{C=O}$  的吸收訊號， $1628\text{ cm}^{-1}$  為  $\text{C=C}$  的吸收， $1605$ 、 $1515$  和  $1467\text{ cm}^{-1}$  為 benzene ring 的吸收。UV 光譜(Chart 118)，在  $298\text{ nm}$  為共軛系統的吸收。

$\text{H}_1$  譜(Chart 119)顯示有具有 aliphatic alcohol 的訊號特徵： $0.86$  (*t*,  $J=6.5\text{ Hz}$ ) 為末端之甲基吸收訊號， $1.23$  (*br s*) 為  $(\text{CH}_2)_n$  之質子的吸收訊號， $1.67$  (*m*) 為  $\text{OCH}_2\text{CH}_2$  兩個質子的吸收訊號， $4.11$  (*t*,  $J=6.7\text{ Hz}$ ) 為  $\text{OCH}_2$  上兩個質子的吸收訊號；*p*-coumaroyl 的訊號特徵：2 個 olefinic protons  $5.81$  和  $6.83$ ，耦合常數  $12.7\text{ Hz}$ ，為 *cis* double bond 的吸收訊號，4 個為  $\text{A}_2\text{B}_2$  type 芳香環質子  $6.77$  ( $2\text{H}$ , *d*,  $J=8.7\text{ Hz}$ , H-3' 和 H-5') 和  $7.59$  (*d*,  $J=8.7\text{ Hz}$ , H-2' 和 H-6')，另外在  $5.89$  (*br s*) 為 hydroxyl 的吸收訊號。

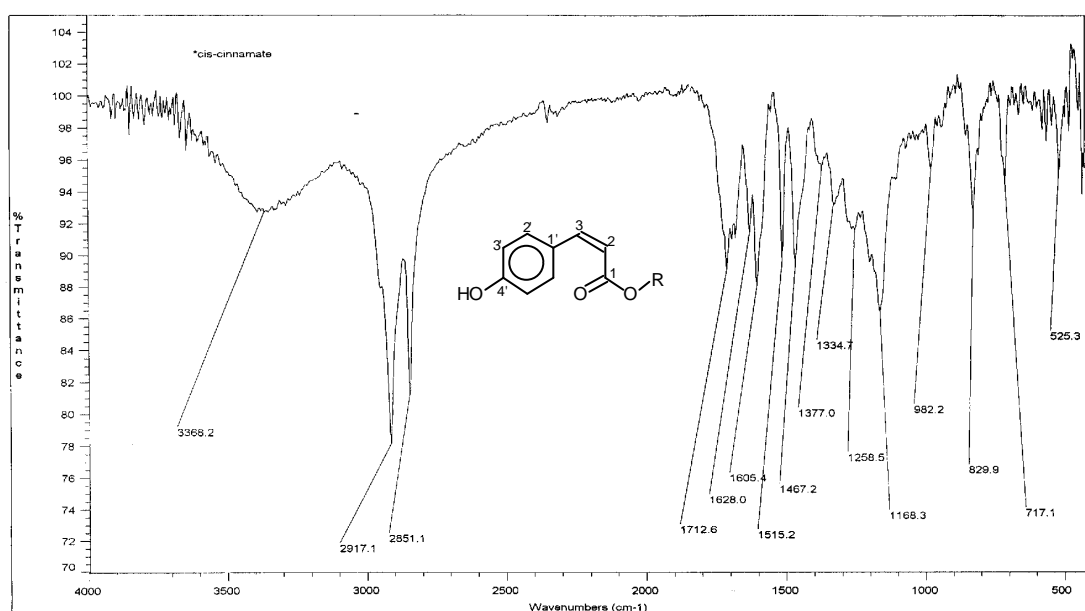
$\text{C}_1$  譜(Chart 120)及 DEPT (Chart 121)顯示，有 1 個 methyl ( $14.1$ )，6 個 methines ( $115.0$ 、 $115.0$ 、 $117.1$ 、 $132.3$ 、 $132.3$  和  $143.6$ ) 和 3 個四級碳 ( $127.3$ 、 $156.9$  和  $167.0$ )，其中  $167.0$  為 ester carbonyl 之碳的吸收訊號。在由 COSY (Chart 122) 和 HMQC 實驗(Chart 123)，得知碳氫的相關位置。

綜合上述資料，整理如 Table 29，與文獻<sup>(175, 176)</sup>比對，確認為 alkyl 4'-hydroxy-*cis*-cinnamates，此類化合物通常以混合物的形態被分離。其結構如下：

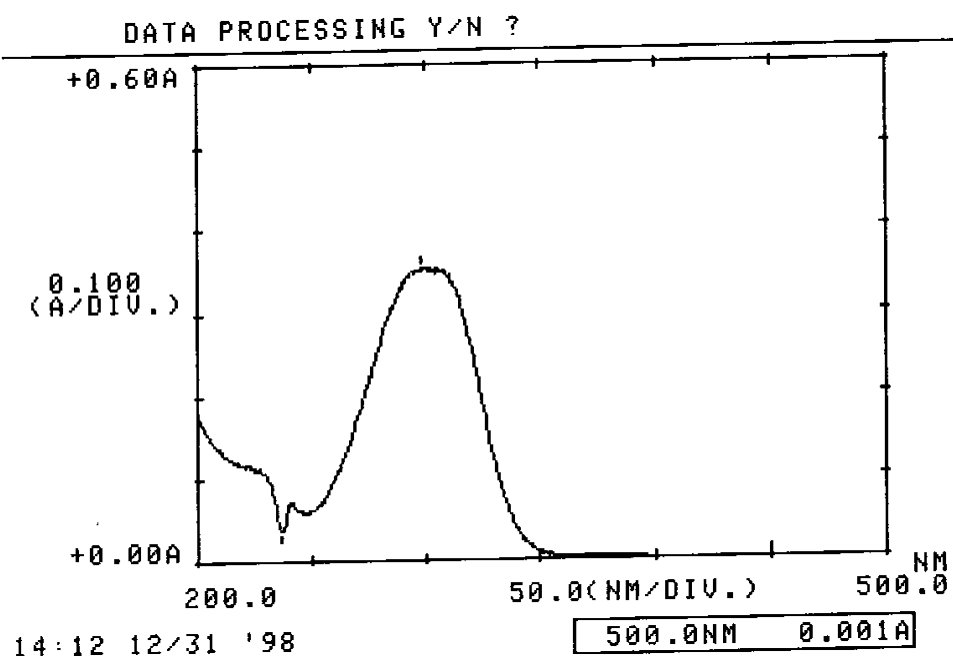


**Table 29.** NMR spectral data of alkyl 4'-hydroxy-*cis*-cinnamates (7)

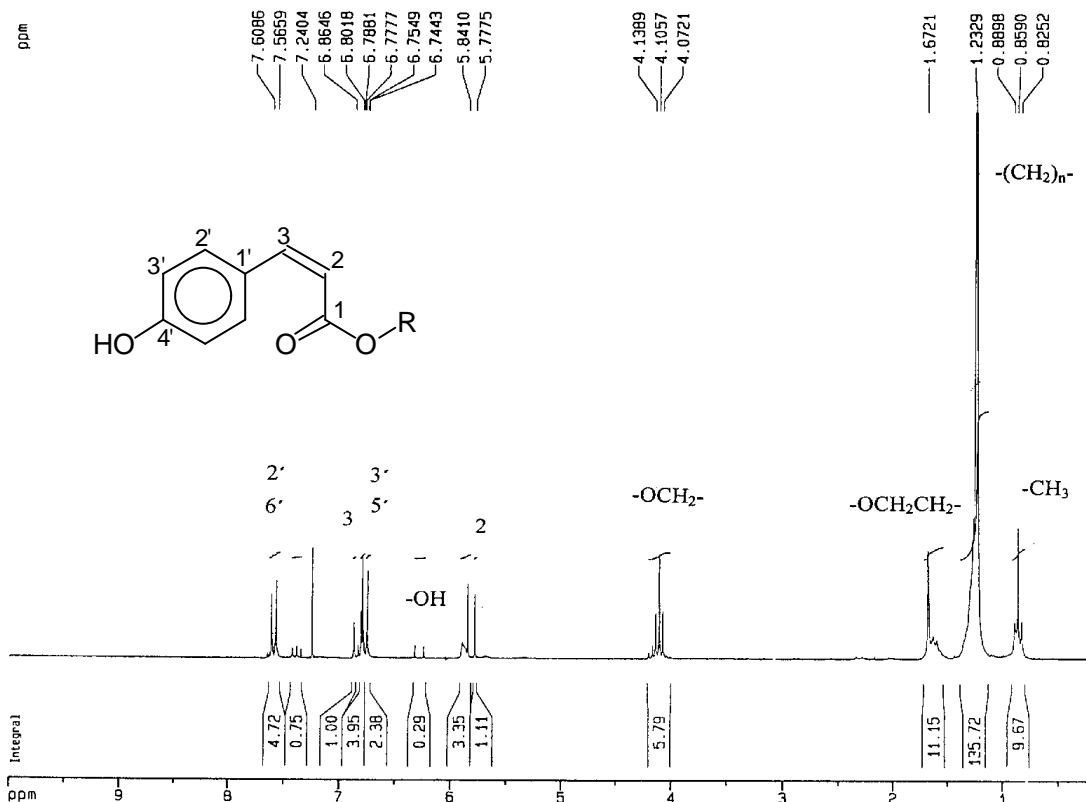
		<sup>1</sup> H	<sup>13</sup> C	COSY
1'	C		127.3	
2'	CH	7.59(d, 8.7)	132.3	H-3'
3'	CH	6.77(d, 8.7)	115.0	H-2'
4'	C		156.9	
5'	CH	6.77(d, 8.7)	115.0	H-6'
6'	CH	7.59(d, 8.7)	132.3	H-5'
1	C		167.0	
2	CH	5.81(d, 12.7)	117.1	H-3
3	CH	6.83(d, 12.7)	143.6	H-2
OR	OCH <sub>2</sub>	4.11(t, 6.7)	64.6	
	OCH <sub>2</sub> CH <sub>2</sub>	1.67(m)	28.6	
	(CH <sub>2</sub> ) <sub>n</sub>	1.23(br s)	22.7-31.9	
	CH <sub>3</sub>	0.86(t, 6.5)	14.1	
4'-OH	OH	5.89(br s)		



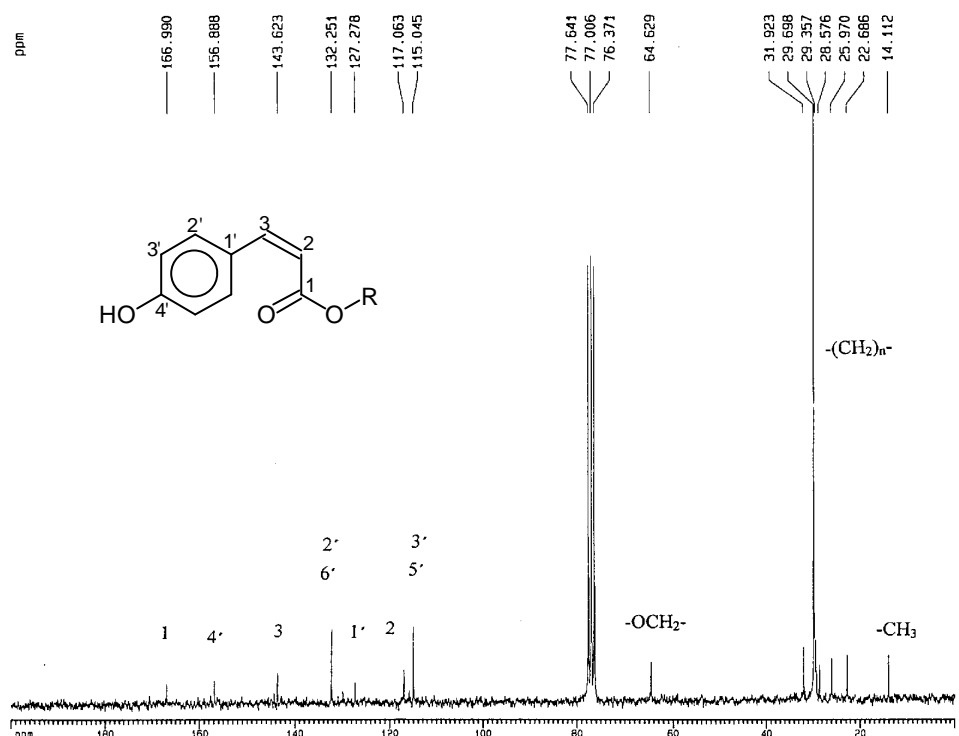
**Chart 117** IR spectrum of alkyl 4'-hydroxy-*cis*-cinnamates (7)



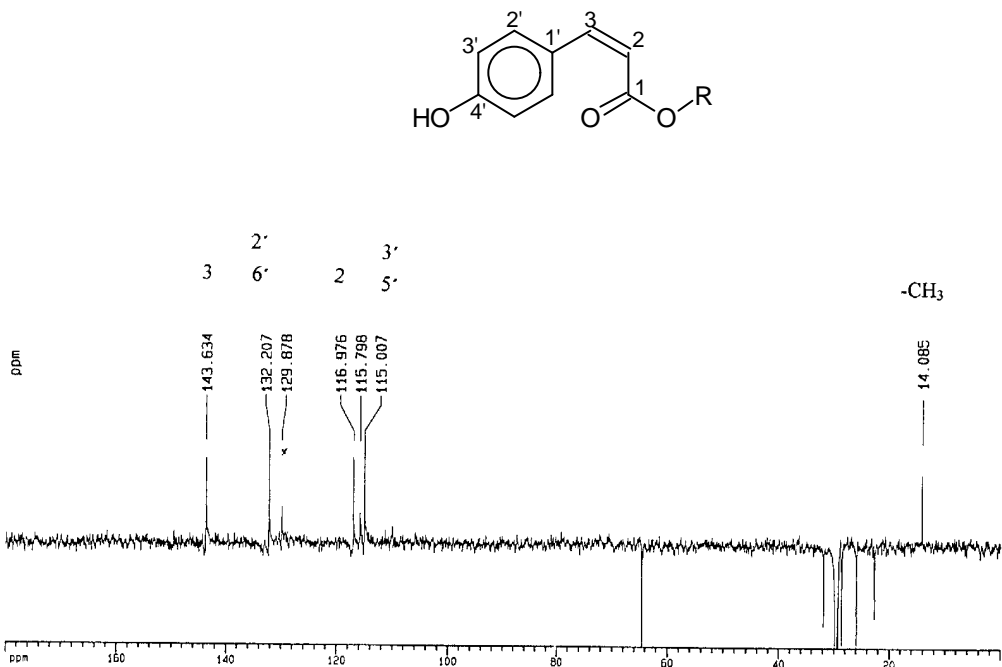
**Chart 118** UV spectrum of alkyl 4'-hydroxy-*cis*-cinnamates (7)



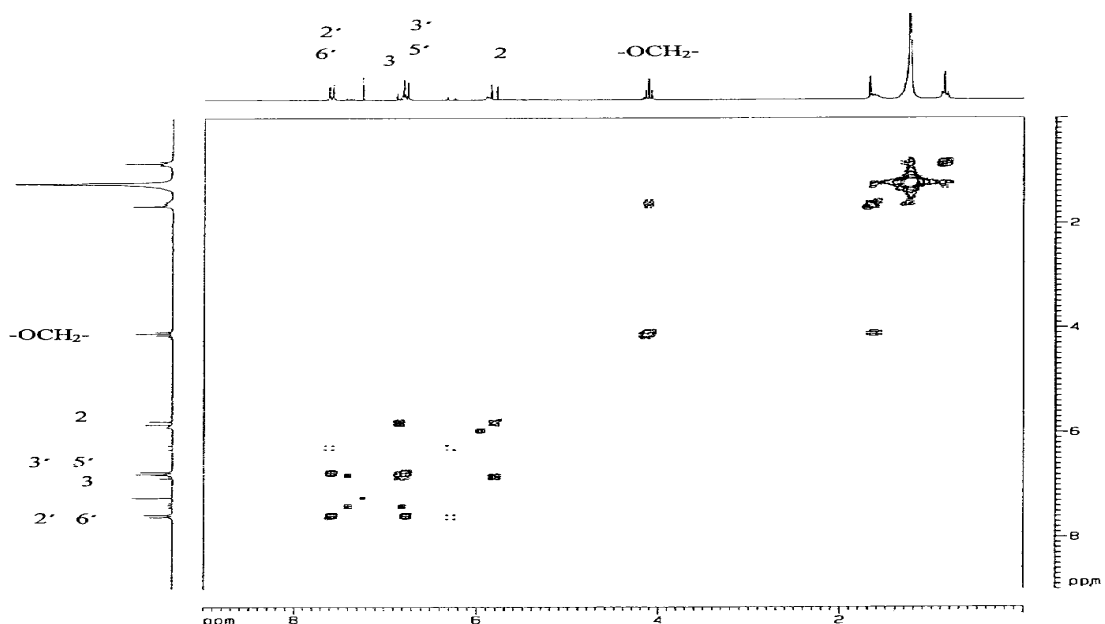
**Chart 119**  $^1\text{H-NMR}$  ( $\text{CDCl}_3$ , 200 MHz) spectrum of alkyl 4'-hydroxy-*cis*-cinnamates (7)



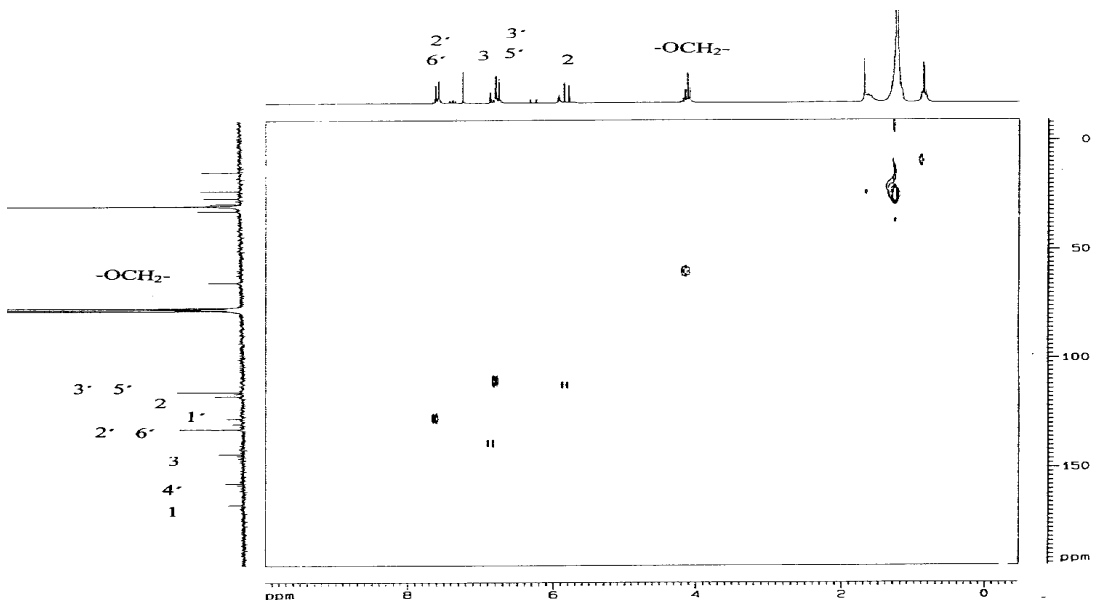
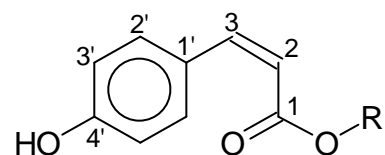
**Chart 120**  $^{13}\text{C}$ -NMR ( $\text{CDCl}_3$ , 50 MHz) spectrum of alkyl 4'-hydroxy-*cis*-cinnamates (7)



**Chart 121** DEPT spectrum of alkyl 4'-hydroxy-*cis*-cinnamates (7)



**Chart 122** COSY spectrum of alkyl 4'-hydroxy-*cis*-cinnamates (**7**)



**Chart 123** HMQC spectrum of alkyl 4'-hydroxy-*cis*-cinnamates (**7**)

## Alkyl 4'-hydroxy-*trans*-cinnamates (8) 化學結構的決定

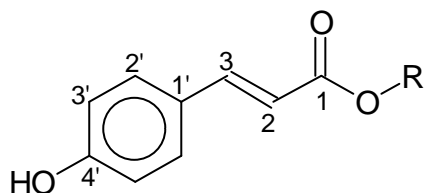
本化合物為白色固體，經由 EIMS 顯示具有 *p*-coumaric acid (*m/z* 164) 和 *p*-coumaroyl (*m/z* 147) 的離子裂片。

IR 光譜(Chart 124)顯示在  $3375\text{ cm}^{-1}$  為 phenolic hydroxy proton ( $\text{OH}$ ) 的吸收， $2912$  和  $2849\text{ cm}^{-1}$  為飽和的碳氫( $\text{C}-\text{H}$ )的吸收， $1719\text{ cm}^{-1}$  為 ester carbonyl  $\text{C}=\text{O}$  的吸收， $1630\text{ cm}^{-1}$  為  $\text{C}=\text{C}$  的吸收， $1607$ 、 $1516$  和  $1467$  為 benzene ring 的吸收。UV 光譜(Chart 125)，在  $299\text{ nm}$  為共軛系統的吸收。

氫譜(Chart 126)顯示有具有 aliphatic alcohol 的訊號特徵： $0.83$  (*t*,  $J=6.6\text{ Hz}$ ) 為末端之甲基吸收訊號， $1.23$  (*br s*) 為  $(\text{CH}_2)_n$  之質子的吸收訊號， $1.67$  (*t*,  $J=6.3\text{ Hz}$ ) 為  $\text{OCH}_2\text{CH}_2$  兩個質子的吸收訊號， $4.17$  (*t*,  $J=6.8\text{ Hz}$ ) 為  $\text{OCH}_2$  上兩個質子的吸收訊號；*p*-coumaroyl 的訊號特徵：2 個 olefinic protons  $6.28$  和  $7.61$ ，耦合常數  $15.9\text{ Hz}$ ，為 *trans* double bond 的吸收訊號，4 個為  $\text{A}_2\text{B}_2$  type 芳香環質子  $6.82$  ( $2\text{H}$ , *d*,  $J=8.4\text{ Hz}$ , H-3' 和 H-5') 和  $7.41$  (*d*,  $J=8.4\text{ Hz}$ , H-2' 和 H-6')，另外在  $5.80$  (*br s*) 為 hydroxyl 的吸收訊號。

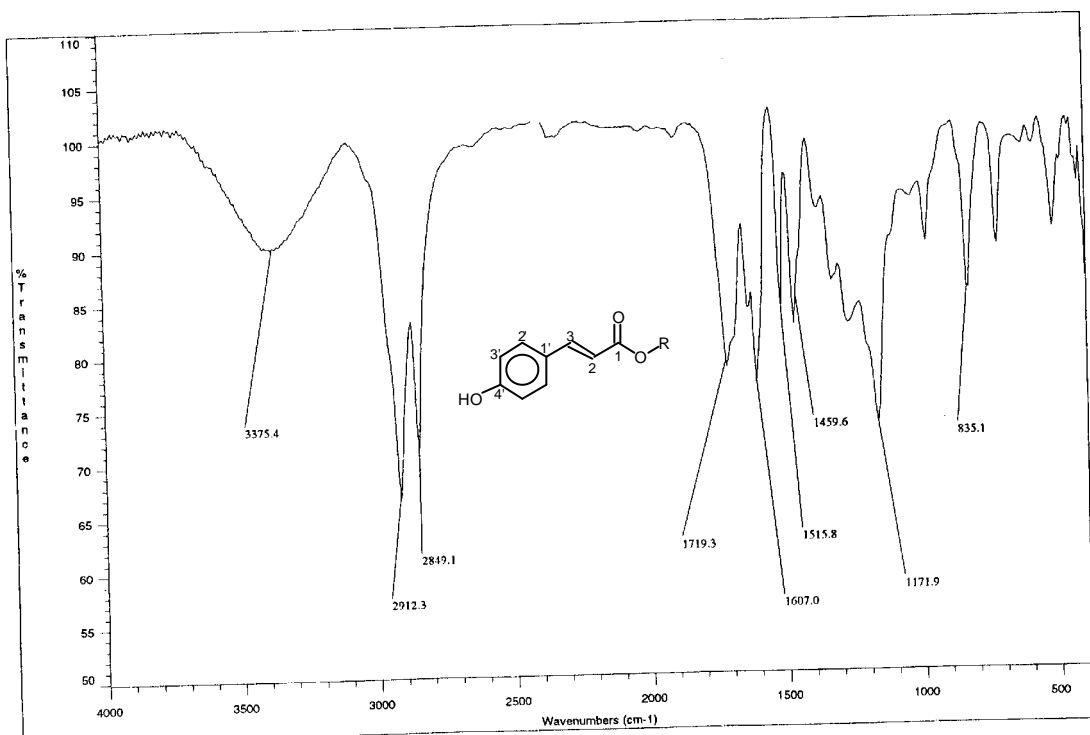
碳譜(Chart 127)及 DEPT (Chart 128)顯示，有 1 個 methyl (14.1)，6 個 methines (115.6、115.9、115.9、129.9、129.9 和 144.4) 和 3 個四級碳 (127.2、157.8 和 167.7)，其中 167.7 為 ester carbonyl 之碳的吸收訊號。在由  $^1\text{H}$ - $^1\text{H}$  (Chart 129)、 $^{13}\text{C}$ - $^1\text{H}$  COSY (Chart 130) 實驗，得知碳氫的相關位置。

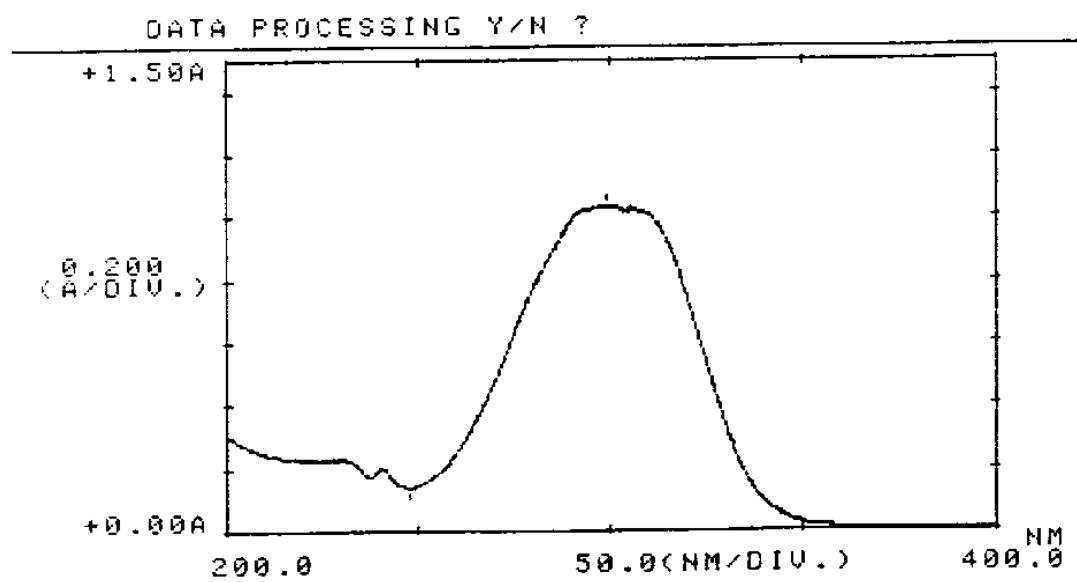
綜合上述資料，整理如 Table 30，與文獻<sup>(176, 177)</sup>比對，確認為 alkyl 4'-hydroxy-*trans*-cinnamates，此類化合物通常以混合物的形態被分離。其結構如下：



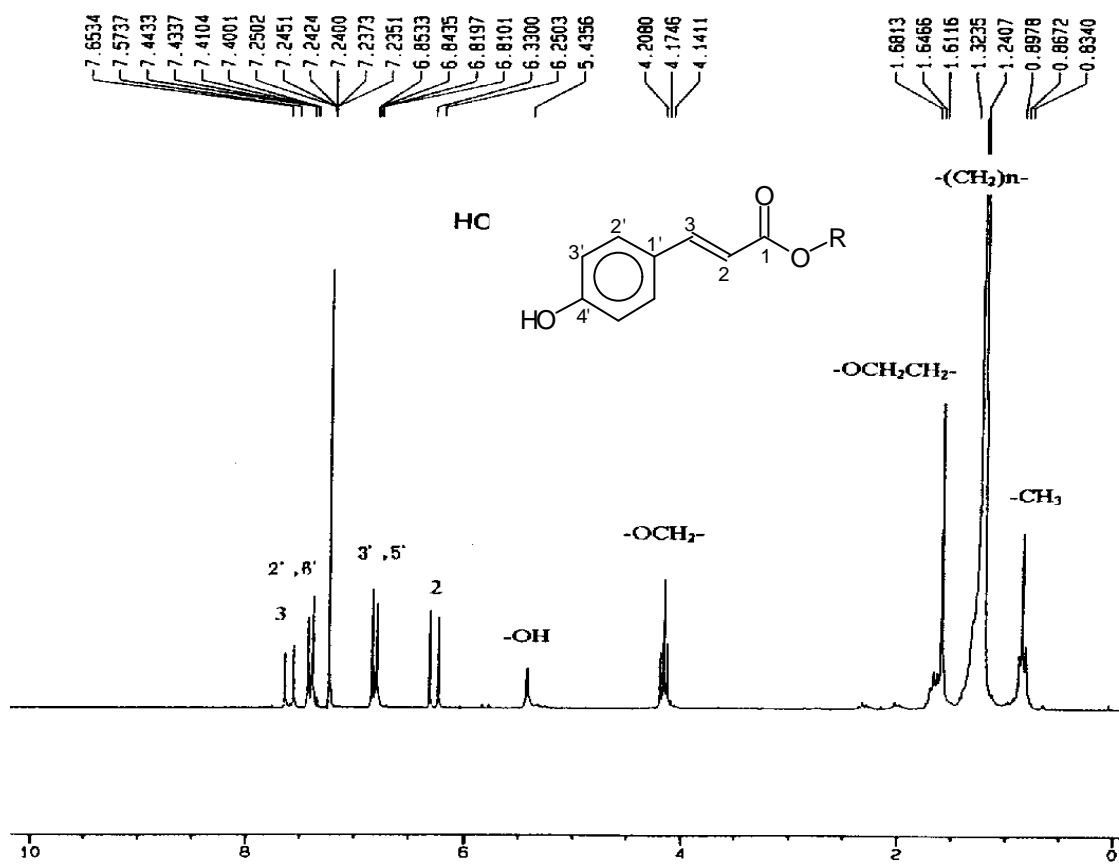
**Table 30.** NMR spectral data of alkyl 4'-hydroxy-*trans*-cinnamates (**8**)

		<sup>1</sup> H	<sup>13</sup> C	COSY
1'	C		127.2	
2'	CH	7.41( <i>d</i> , 8.4)	129.9	H-3'
3'	CH	6.82( <i>d</i> , 8.4)	115.9	H-2'
4'	C		157.8	
5'	CH	6.82( <i>d</i> , 8.4)	115.9	H-6'
6'	CH	7.41( <i>d</i> , 8.4)	129.9	H-5'
1	C		167.7	
2	CH	6.28( <i>d</i> , 15.9)	115.6	H-3
3	CH	7.61( <i>d</i> , 15.9)	144.4	H-2
OR	OCH <sub>2</sub>	4.17( <i>t</i> , 6.8)	64.7	
	OCH <sub>2</sub> <u>CH<sub>2</sub></u>	1.67( <i>t</i> , 6.3)	28.7	
	(CH <sub>2</sub> ) <sub>n</sub>	1.23( <i>br s</i> )	22.7-31.9	
	CH <sub>3</sub>	0.83( <i>t</i> , 6.6)	14.1	
4'-OH	OH	5.80( <i>br s</i> )		

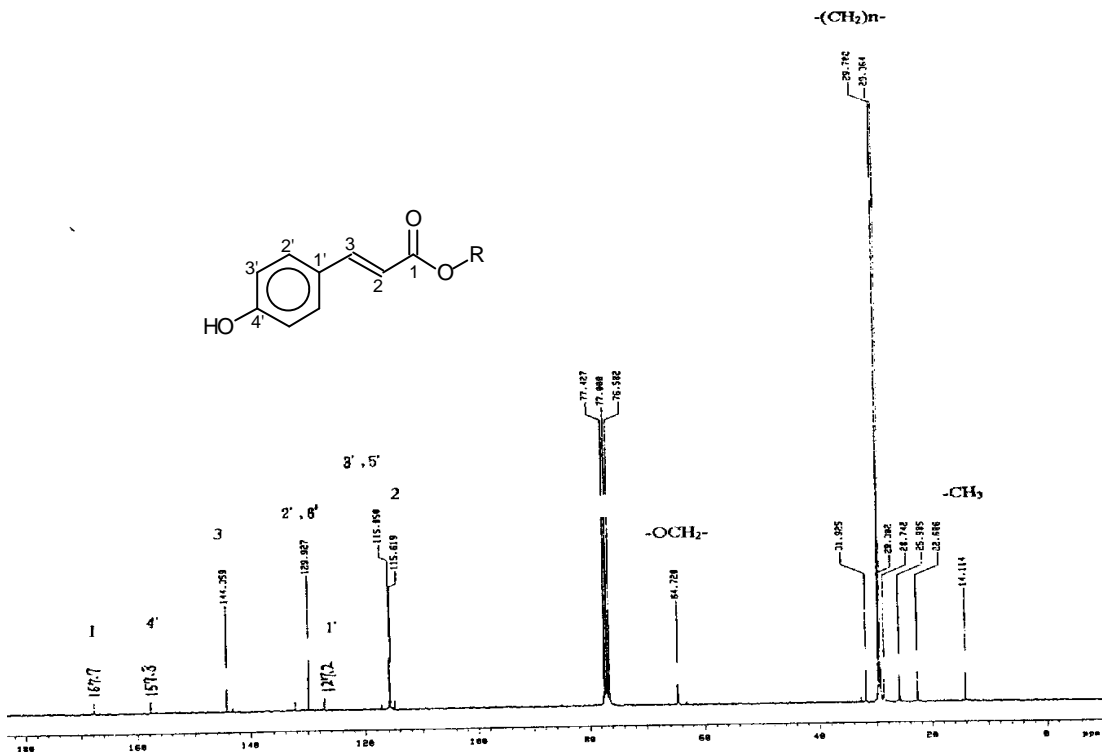
**Chart 124** IR spectrum of alkyl 4'-hydroxy-*trans*-cinnamates (**8**)



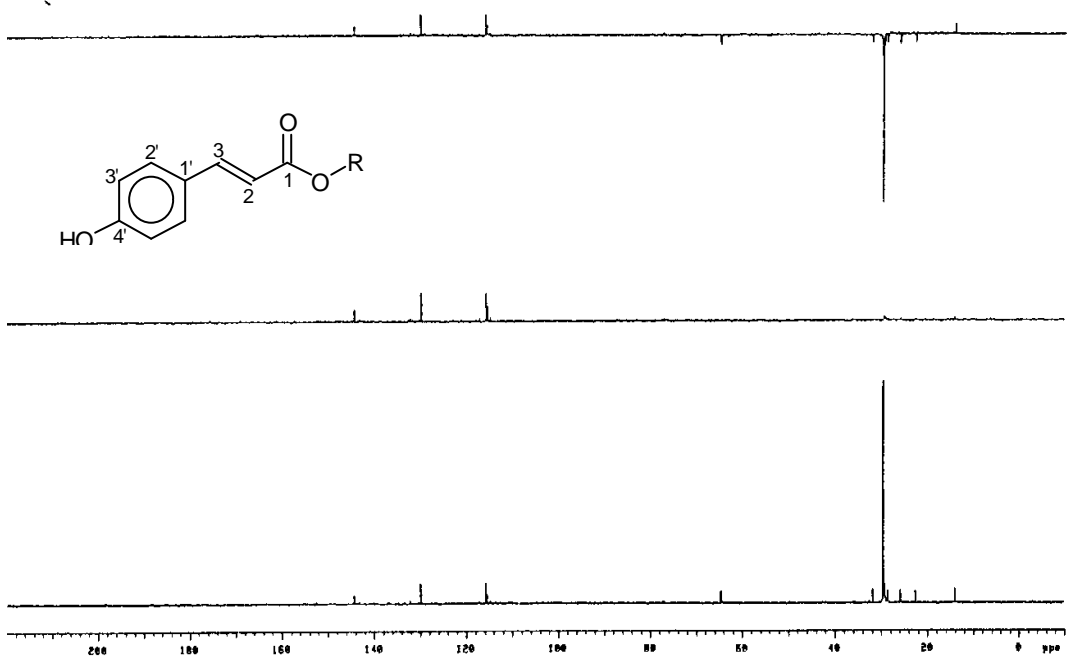
**Chart 125** UV spectrum of alkyl 4'-hydroxy-*trans*-cinnamates



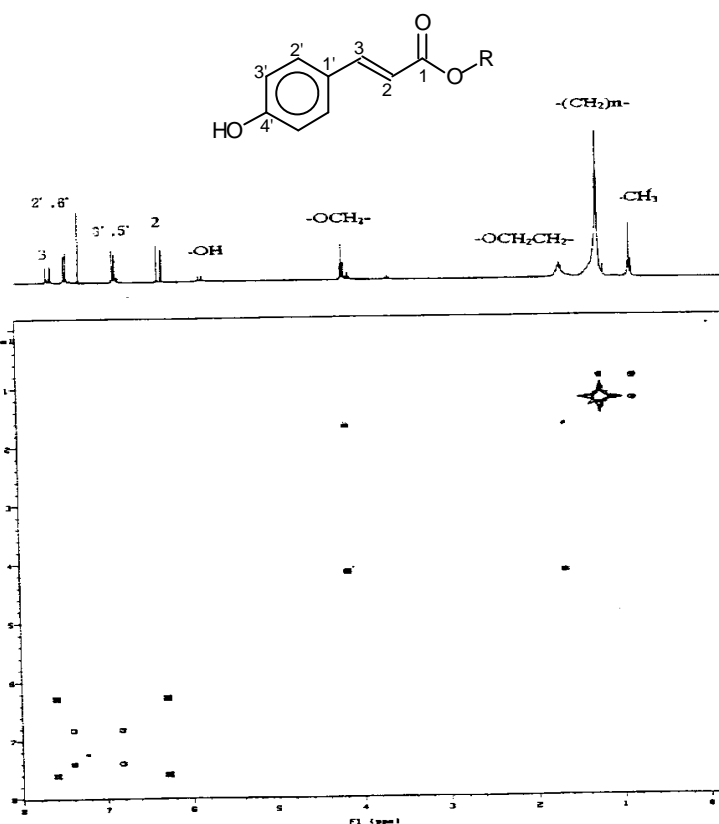
**Chart 126**  $^1\text{H-NMR}$  ( $\text{CDCl}_3$ , 200 MHz) spectrum of alkyl 4'-hydroxy-*trans*-cinnamates (**8**)



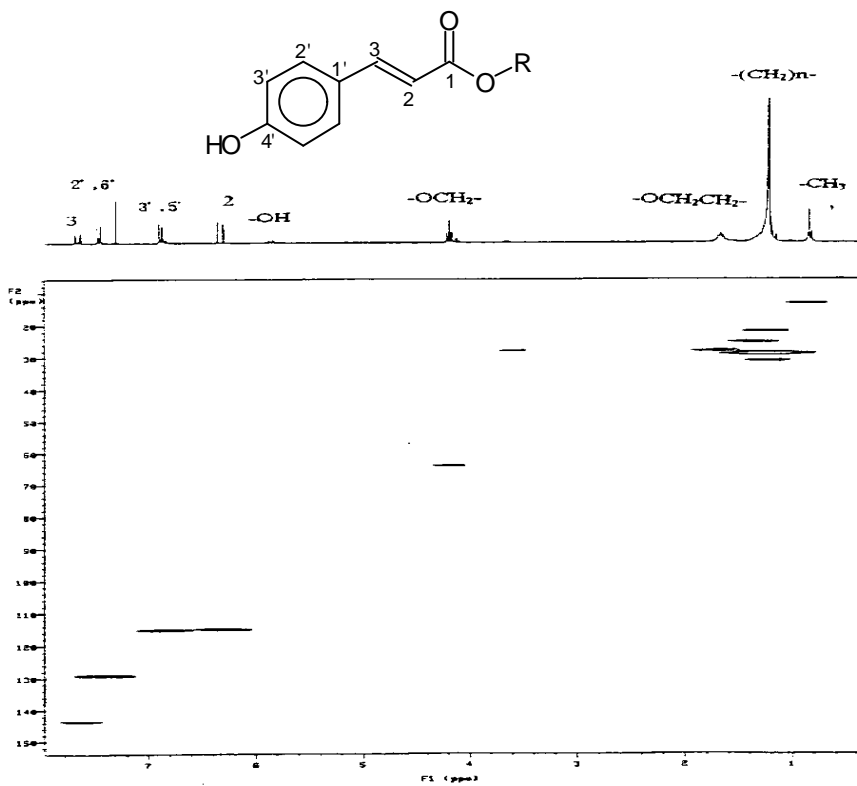
**Chart 127**  $^{13}\text{C}$ -NMR ( $\text{CDCl}_3$ , 50 MHz) spectrum of alkyl 4'-hydroxy-*trans*-cinnamates (8)



**Chart 128** DEPT spectrum of alkyl 4'-hydroxy-*trans*-cinnamates (8)



**Chart 129**  $^1\text{H}$ - $^1\text{H}$  COSY spectrum of alkyl 4'-hydroxy-*trans*-cinnamates (8)



**Chart 130**  $^{13}\text{C}$ - $^1\text{H}$  COSY spectrum of alkyl 4'-hydroxy-*trans*-cinnamates (8)

## Alkyl *trans*-ferulates (5) 化學結構的決定

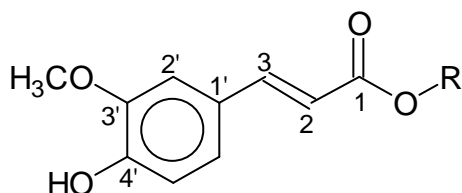
本化合物為白色固體，經由 EIMS 顯示具有 ferulic acid (*m/z* 194) 和 feruloyl (*m/z* 177) 的離子裂片。

IR 光譜(Chart 131)顯示在  $3454\text{ cm}^{-1}$  為 phenolic hydroxy proton (OH)的吸收,  $2921, 2852\text{ cm}^{-1}$  為飽和的碳氫(C-H)吸收,  $1706\text{ cm}^{-1}$  為 ester carbonyl C=O 基的吸收,  $1627\text{ cm}^{-1}$  為 C=C 的吸收, 1599, 1512 和 1467 為 benzene ring 的吸收, 1276 為醚(C-O-C)的吸收。UV 光譜(Chart 132), 在 243、298 和 320 nm 為共軛系統的吸收。

氫譜(Chart 133)顯示有具有 aliphatic alcohol 的訊號特徵： 0.83 (*t*,  $J=6.1\text{ Hz}$ )為末端之甲基吸收訊號, 1.23 (*br s*)為 $(\text{CH}_2)_n$  之質子的吸收訊號, 1.67 (*t*,  $J=6.6\text{ Hz}$ )為  $\text{OCH}_2\text{CH}_2$  兩個質子的吸收訊號, 4.17 (*t*,  $J=6.6\text{ Hz}$ )為  $\text{OCH}_2$  上兩個質子的吸收訊號； feruloyl 的訊號特徵：1 個芳香環的甲氧基訊號 3.91, 2 個 olefinic protons 6.27 和 7.59, 耦合常數  $J=15.9\text{ Hz}$ , 為反式雙鍵(*trans* double bond)的吸收訊號, 3 個為 ABX type 芳香環質子 6.89 (*d*,  $J=8.0\text{ Hz}$ , H-5'), 7.02 (*d*,  $J=2.6\text{ Hz}$ , H-2')和 7.05 (*dd*,  $J=8.0, 2.6\text{ Hz}$ , H-6'), 另外在 5.86 (*br s*)為 hydroxyl 的吸收訊號。

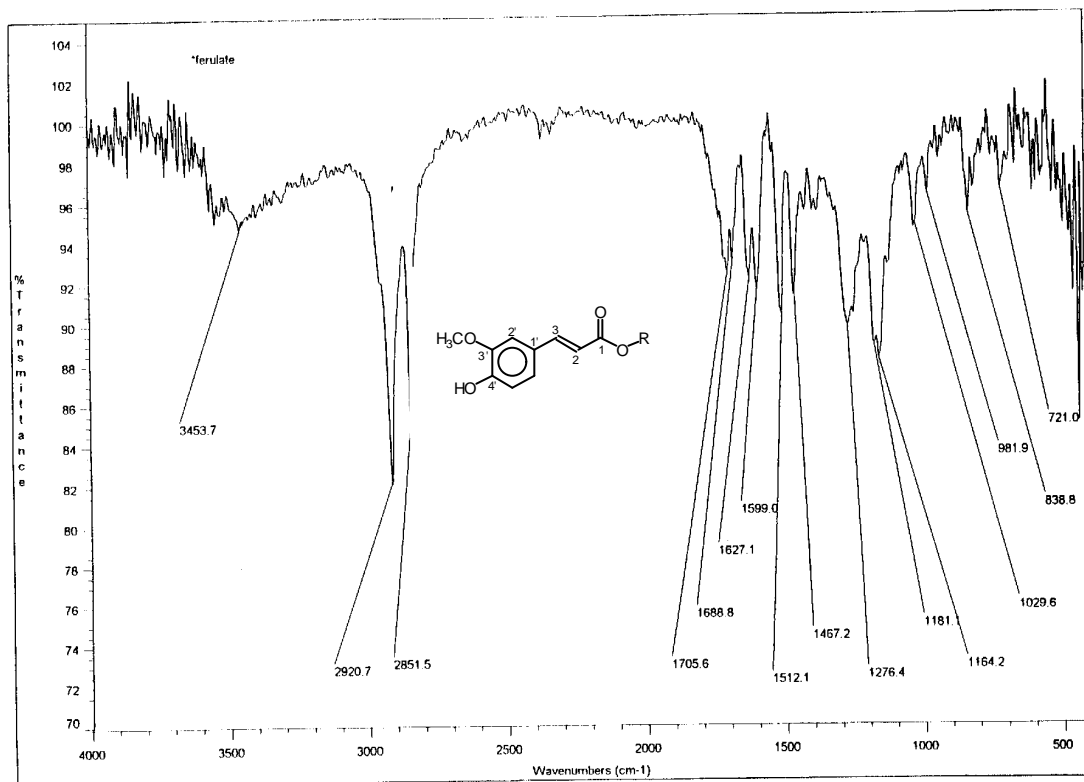
碳譜(Chart 134)及 DEPT (Chart 135)顯示，有 1 個 methoxyl (55.9), 1 個 methyl (-14.1), 5 個 methines (-109.3, -114.7, -115.7, -123.0 和 -144.6)和 4 個四級碳(-127.1, -146.8, -147.9 和 -167.4), 其中 -167.4 為 ester carbonyl 之碳的吸收訊號 在由  $^1\text{H}-^1\text{H}$  (Chart 136)  $^{13}\text{C}-^1\text{H}$  (Chart 137) COSY 實驗，得知碳氫的相關位置。

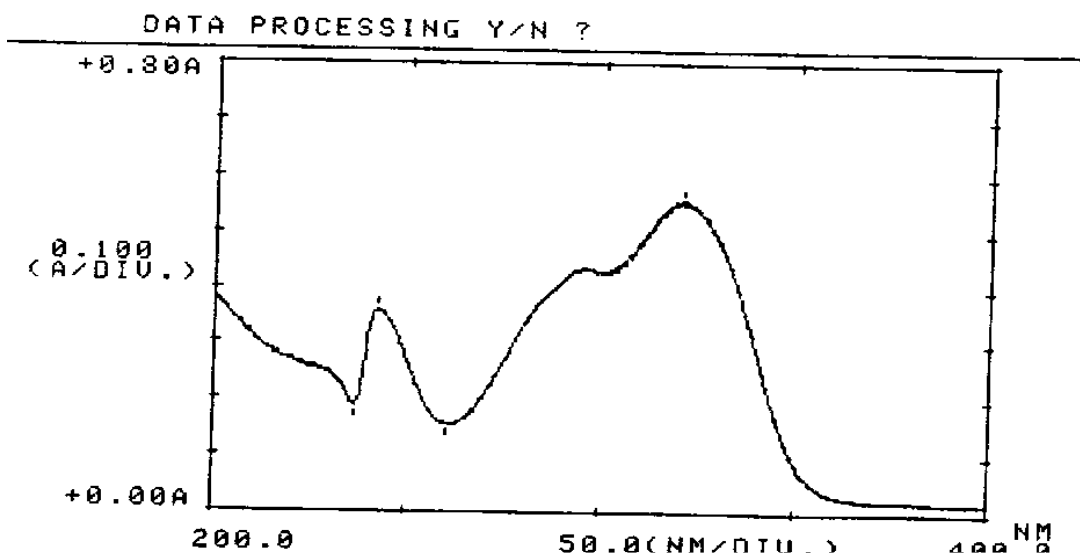
綜合上述資料(整理如 Table 31)與文獻<sup>(178-180)</sup>, 確認為 alkyl *trans*-ferulates, 此類化合物通常以混合物的型態被分離。其結構如下：



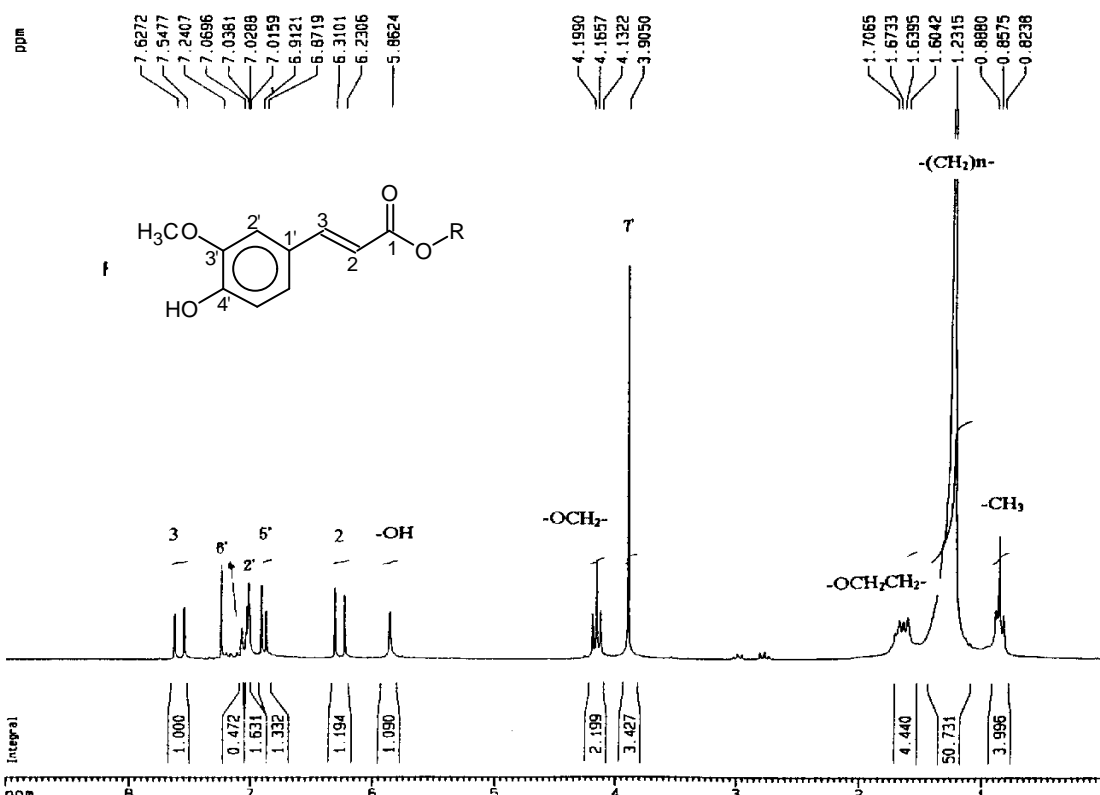
**Table 31.** NMR spectral data of alkyl *trans*-ferulates (**5**)

		<sup>1</sup> H	<sup>13</sup> C	COSY
1'	C		127.1	
2'	CH	7.02( <i>d</i> , 2.6)	109.3	H-6'
3'	C		147.9	
4'	C		146.8	
5'	CH	6.89( <i>d</i> , 8.0)	114.7	H-6'
6'	CH	7.05( <i>dd</i> , 8.0, 2.6)	123.0	H-2', H-5'
1	C		167.4	
2	CH	6.27( <i>d</i> , 15.9)	115.7	H-3
3	CH	7.59( <i>d</i> , 15.9)	144.6	H-2
OR	OCH <sub>2</sub>	4.17( <i>t</i> , 6.6)	64.6	
	OCH <sub>2</sub> CH <sub>2</sub>	1.67( <i>t</i> , 6.6)	28.8	
	(CH <sub>2</sub> ) <sub>n</sub>	1.23( <i>br s</i> )	22.7-31.9	
	CH <sub>3</sub>	0.83 ( <i>t</i> , 6.1)	14.1	
3'-OCH <sub>3</sub>	OCH <sub>3</sub>	3.91( <i>br s</i> )	55.9	
4'-OH	OH	5.86( <i>br s</i> )		

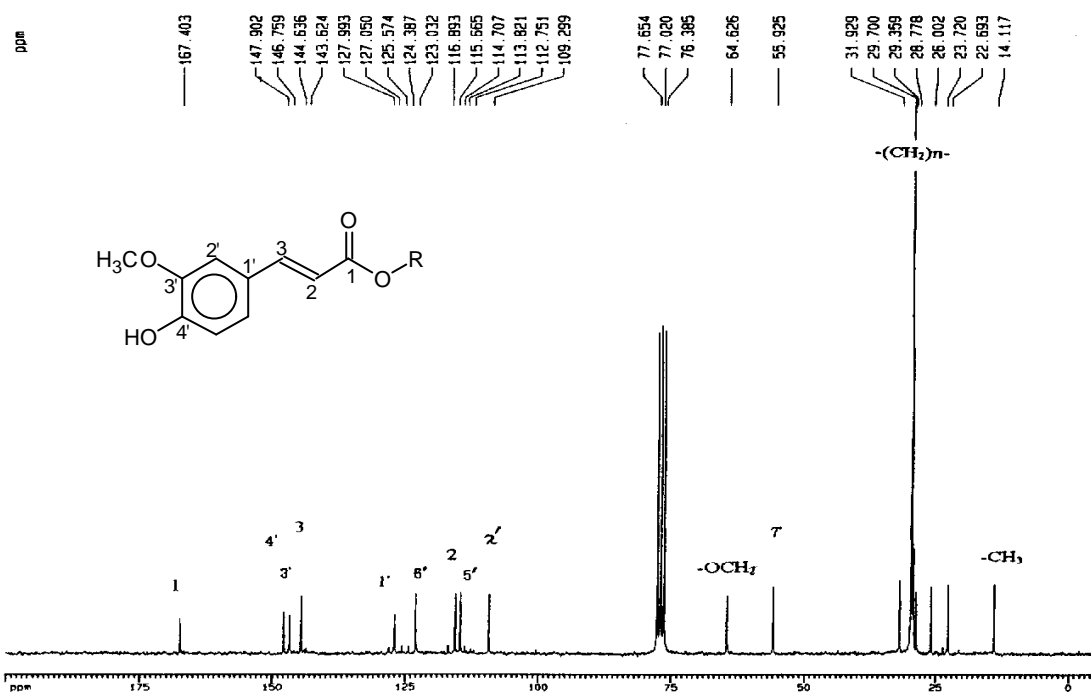
**Chart 131** IR spectrum of alkyl ferulates (**5**)



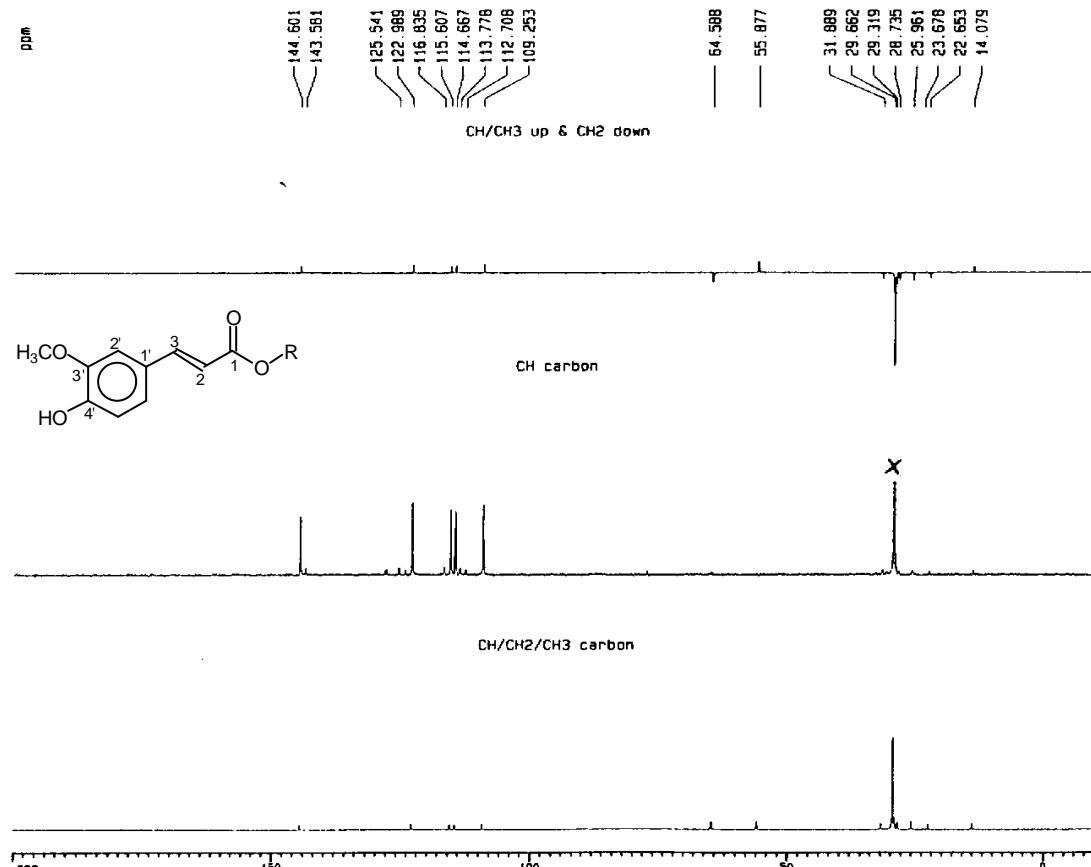
**Chart 132** UV spectrum of alkyl ferulates (**5**)



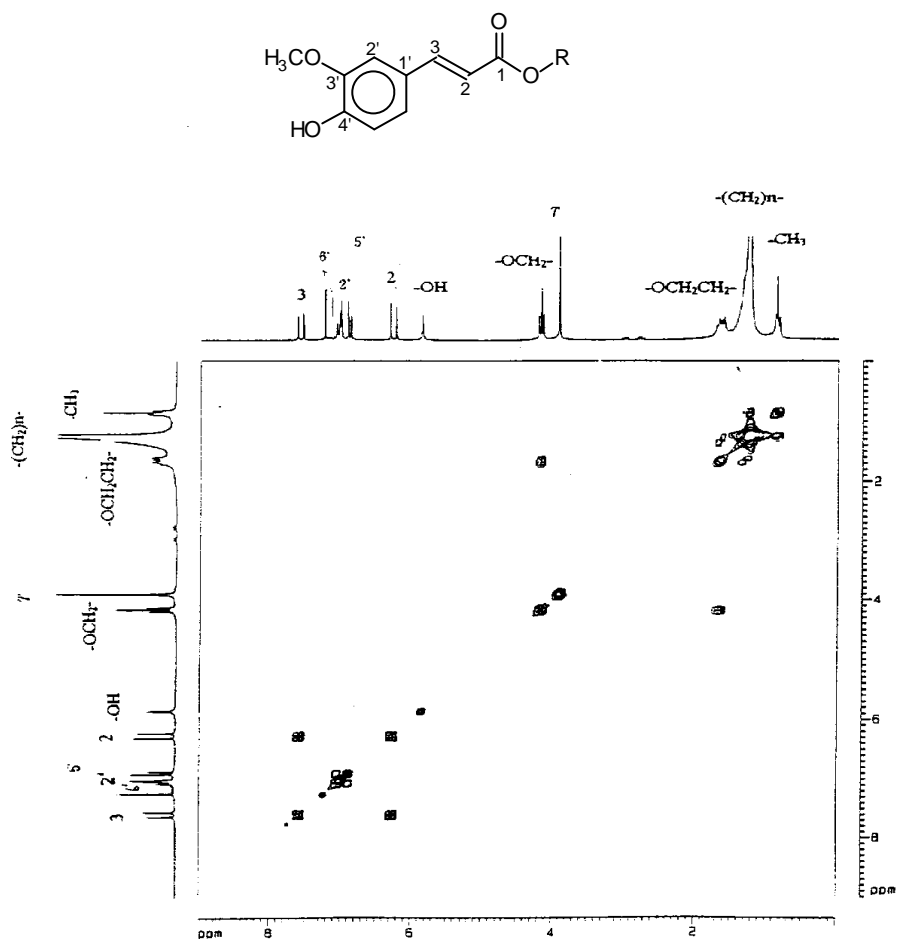
**Chart 133**  $^1\text{H}$ -NMR ( $\text{CDCl}_3$ , 200 MHz) spectrum of alkyl ferulates (**5**)



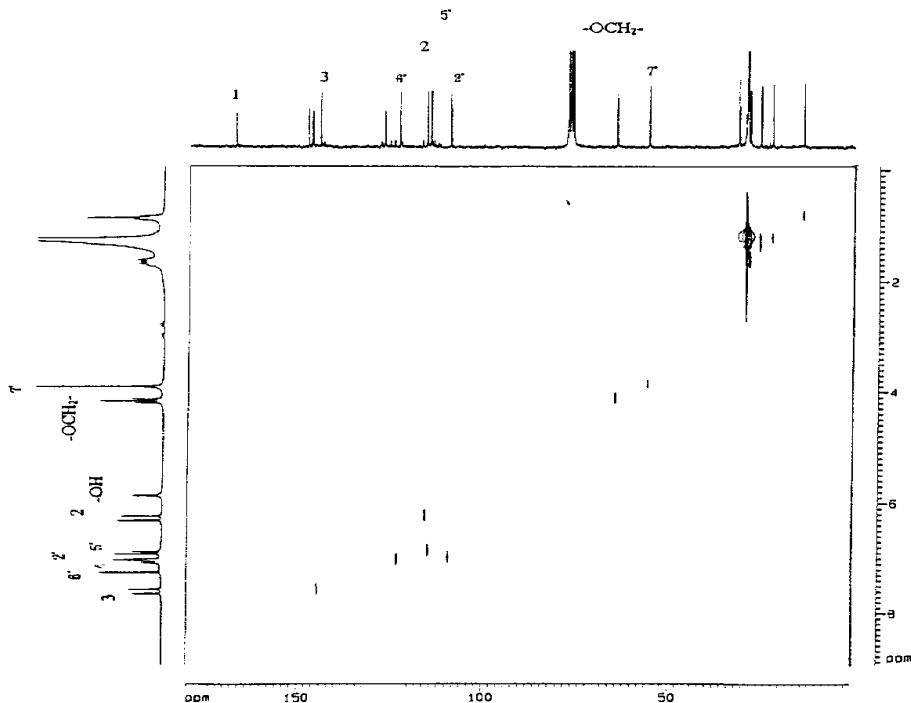
**Chart 134**  $^{13}\text{C}$ -NMR ( $\text{CDCl}_3$ , 50 MHz) spectrum of alkyl ferulates (5)



**Chart 135** DEPT spectrum of alkyl ferulates (5)



**Chart 136**  $^1\text{H}$ - $^1\text{H}$  COSY spectrum of alkyl ferulates (**5**)



**Chart 137**  $^{13}\text{C}-^1\text{H}$  COSY spectrum of alkyl ferulates (**5**)

## 4-Methoxybenzaldehyde (4) 化學結構的決定

本化合物為淡黃色油狀物，具有特殊香味，經由 EIMS 光譜 (Chart 138) 顯示分子量為  $m/z$  136。

IR 光譜(Chart 139)顯示在  $2842$  和  $1269\text{ cm}^{-1}$  為芳香環上甲氧基的特性吸收， $1690\text{ cm}^{-1}$  為 aldehyde 的 carbonyl C=O 的吸收， $1604$ 、 $1578$ 、 $1512$ 、 $1462$  和  $1430\text{ cm}^{-1}$  為 benzene ring 的吸收， $1269$  為醚(C-O-C)的吸收。UV 光譜(Chart 140)，在  $277\text{ nm}$  ( $\log E : 4.14$ )為共軛系統的吸收。

氫譜(Chart 141)顯示有具有  $A_2B_2$  type 芳香環質子的吸收訊號： $6.99$  (2H,  $d$ ,  $J = 8.8\text{ Hz}$ , H-3 和 H-5)和  $7.82$  (2H,  $d$ ,  $J = 8.8\text{ Hz}$ , H-2 和 H-6)；1 個芳香環上甲氧基的吸收訊號  $3.88$  ( $s$ ,  $4\text{-OCH}_3$ )；另外低磁場  $9.87$  為醛基的吸收訊號。

綜合上述資料並與標準品(*p*-anisaldehyde)比對，確認此化合物之結構為 4-methoxybenzaldehyde，分子式為  $C_8H_8O_2$ ，又名為 *p*-anisaldehyde。其結構如下：

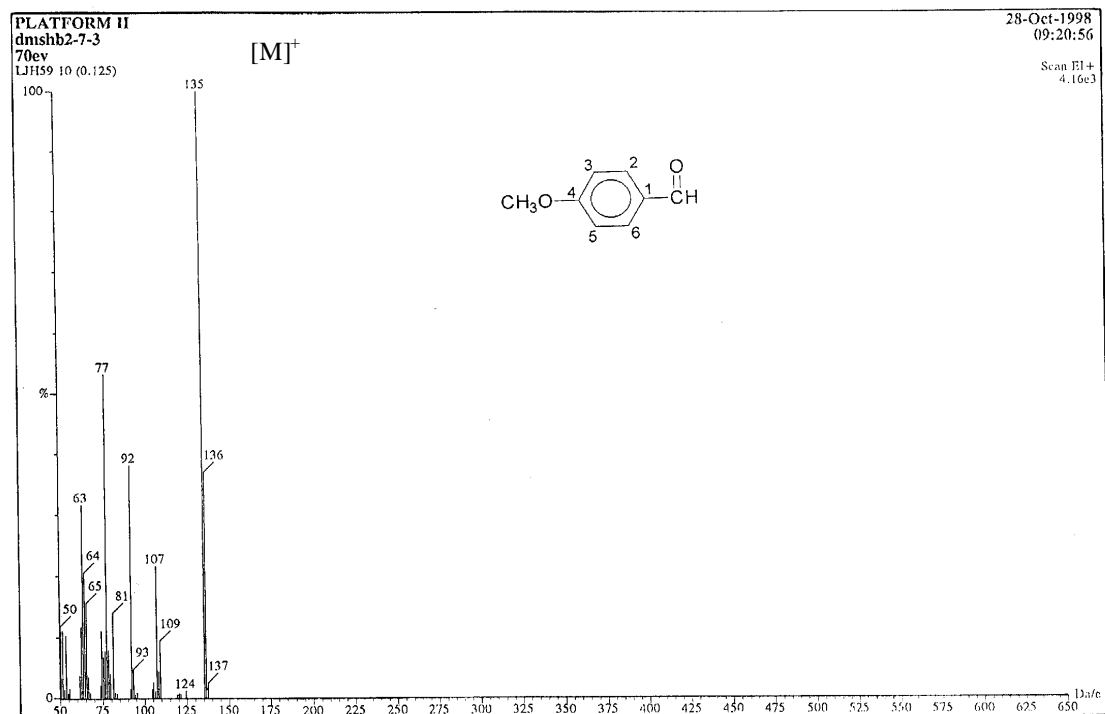
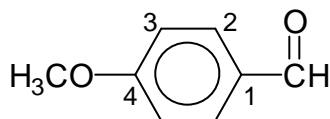
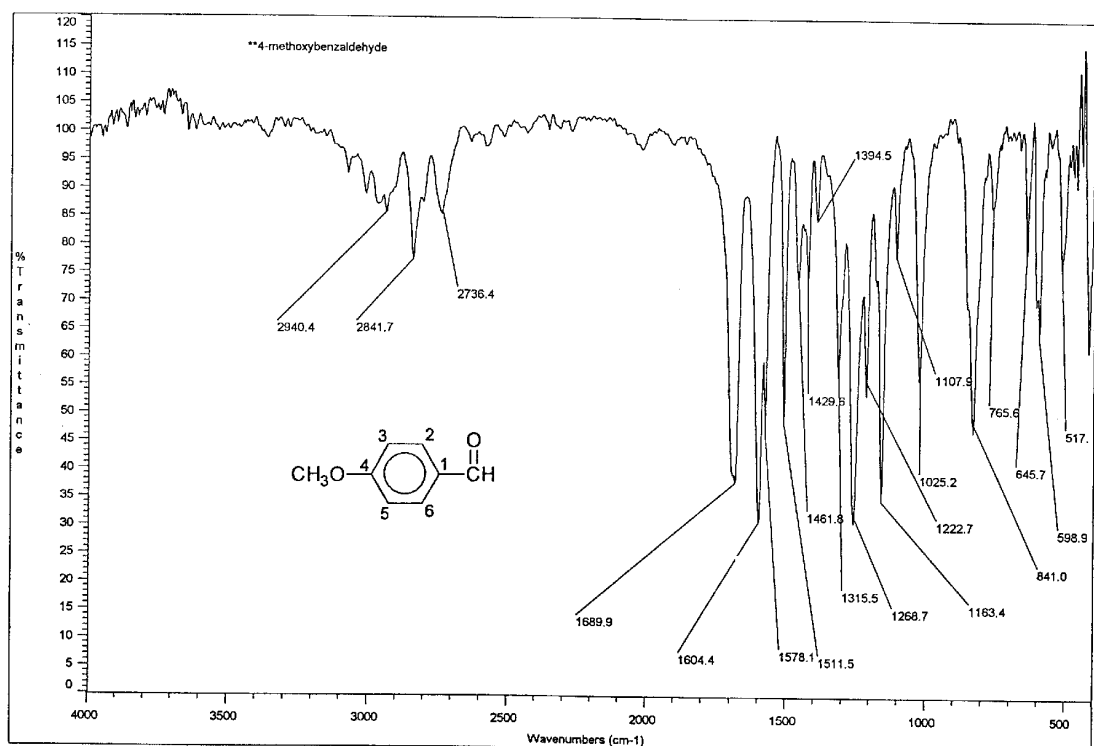
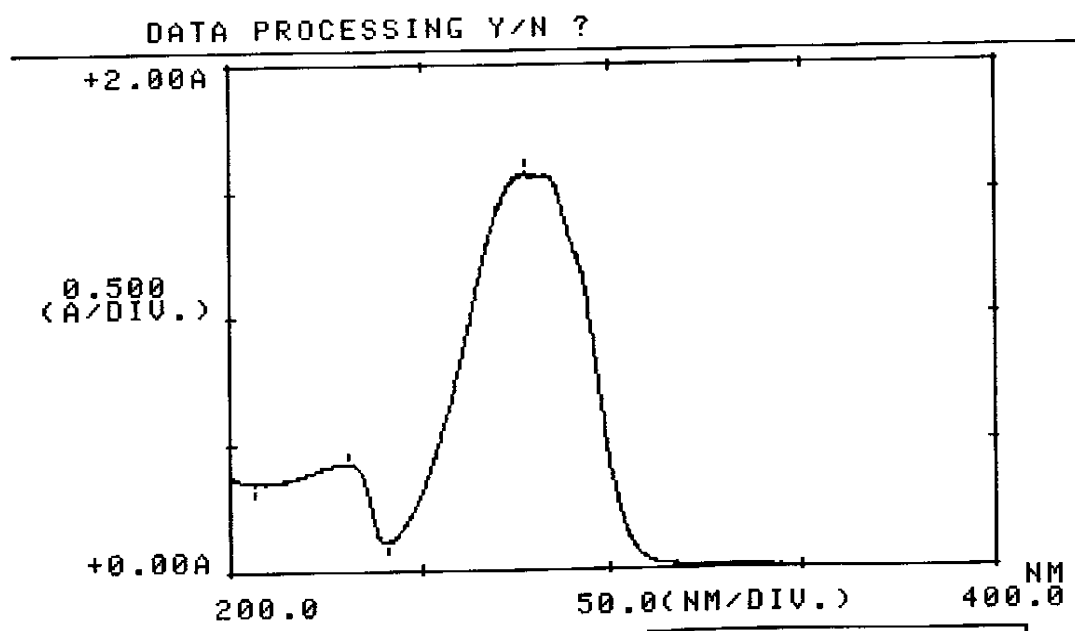


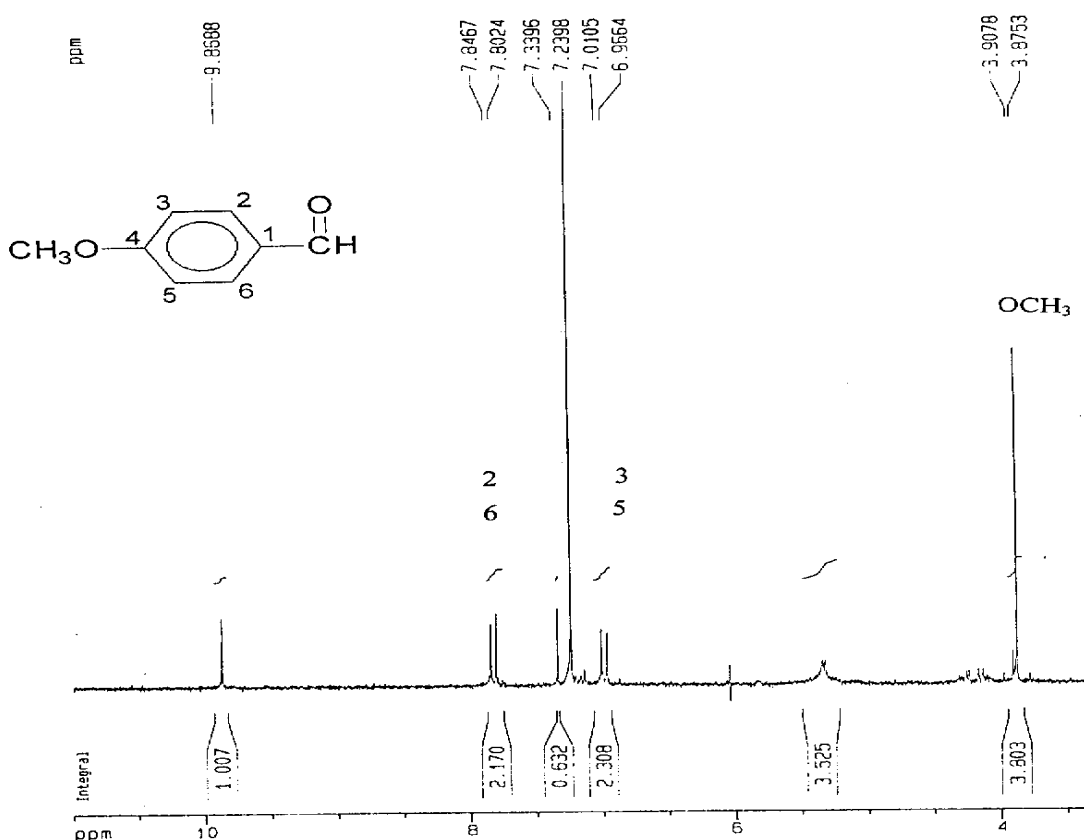
Chart 138 EIMS (70 eV) spectrum of 4-methoxybenzaldehyde (4)



**Chart 139** IR spectrum of 4-methoxybenzaldehyde (**4**)



**Chart 140** UV spectrum of 4-methoxybenzaldehyde (**4**)



**Chart 141**  $^1\text{H}$ -NMR ( $\text{CDCl}_3$ , 200 MHz) spectrum of 4-methoxybenzaldehyde (**4**)

## 2-Methoxy-4-vinylphenol (38) 化學結構的決定

本化合物為無色油狀物，經由 EIMS(Chart 142)顯示分子量為  $m/z$  150。

IR 光譜(Chart 143)在  $3513 \text{ cm}^{-1}$  為 broad phenolic hydroxyls (OH) 吸收， $2944$  和  $1271 \text{ cm}^{-1}$  為芳香環上甲氧基的特性吸收， $1600$ 、 $1514$ 、 $1463$  和  $1430$  為 styrene 的吸收。UV 光譜(Chart 144)在  $213$  和  $264 \text{ nm}$  ( $\log E : 4.30$  和  $4.09$ )為共軛系統的吸收。

氫譜(Chart 145)顯示芳香族區域內有 3 個質子(ABX type)吸收訊號， $6.85$  ( $d, J=7.8 \text{ Hz}$ , H-6)， $6.90$  ( $dd, J=1.8, 8.7 \text{ Hz}$ , H-5)和  $6.92$  ( $d, J=1.8 \text{ Hz}$ , H-3)；olefinic region 有 3 個質子，為 vinylic protons：包括  $5.10$  ( $dd, J=0.9, 10.8 \text{ Hz}$ )為末端 methylene 之 cis-H-8 的吸收訊號， $5.53$  ( $dd, J=0.9, 17.5 \text{ Hz}$ )為末端 methylene 之 trans-H-8 的吸收訊號， $6.62$  ( $q, J=10.8, 17.4 \text{ Hz}$ )為 H-7 的吸收訊號；此外還有 1 個 phenolic methoxyl 質子  $3.90$  ( $s, 2-\text{OCH}_3$ )的吸收訊號和 1 個 phenolic hydroxyl

質子 5.59 (s, 1-OH)的吸收訊號。

碳譜(Chart 146)與 DEPT 實驗(Chart 147)顯示有 9 個碳：1 個 phenolic methoxyl 55.9 (2-OCH<sub>3</sub>)，1 個 methylene 111.4 (C-8)為 vinylic group 末端碳的吸收，4 個 methines，108.0 (C-3)、114.3 (C-6)、120.1 (C-5)和 136.6 (C-7)，為 ABX type 芳香環上 3 個碳和 vinylic group 前端碳的吸收訊號，和 3 個四級碳 130.2 (C-4)、145.6 (C-2)和 146.6 (C-1)的吸收訊號。

綜合上述資料，並與文獻值<sup>(181)</sup>比對，確定此化合物為 2-methoxy-4-vinylphenol，分子式為 C<sub>9</sub>H<sub>10</sub>O<sub>2</sub>。結構如下：

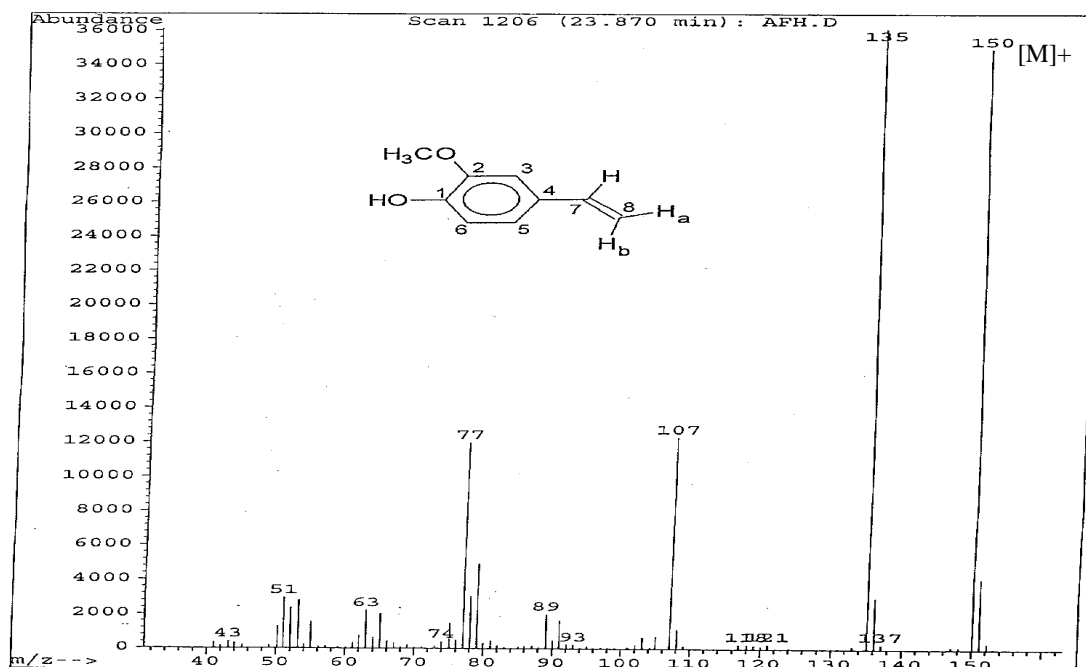
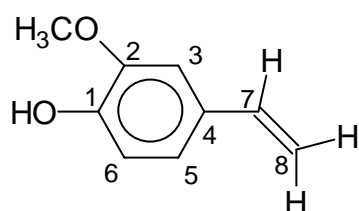
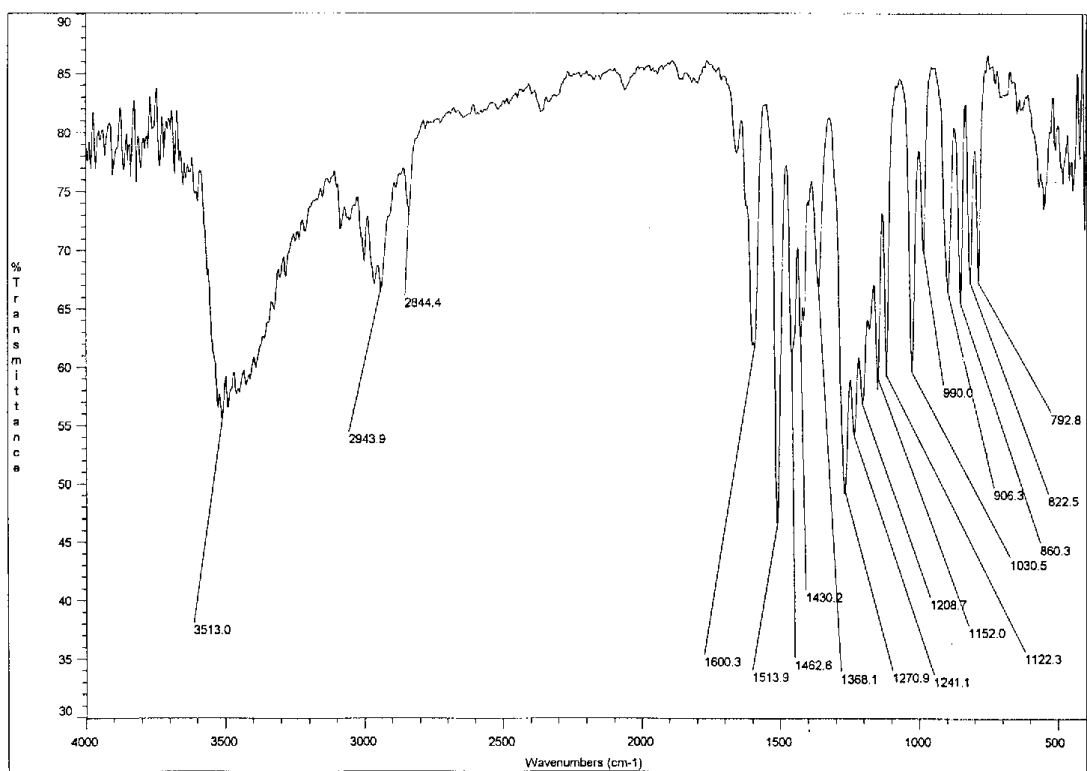
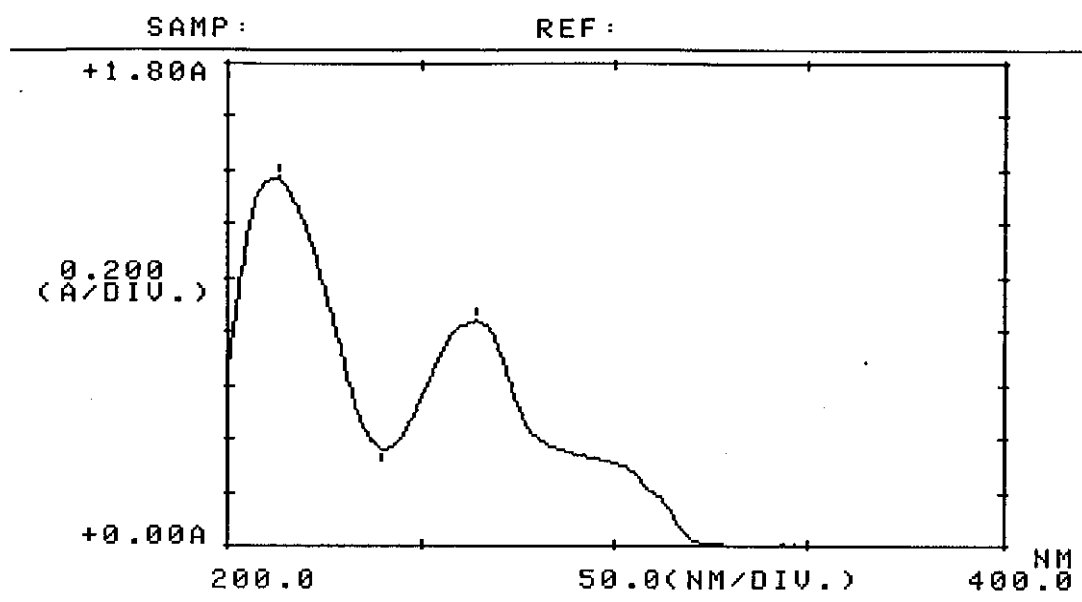


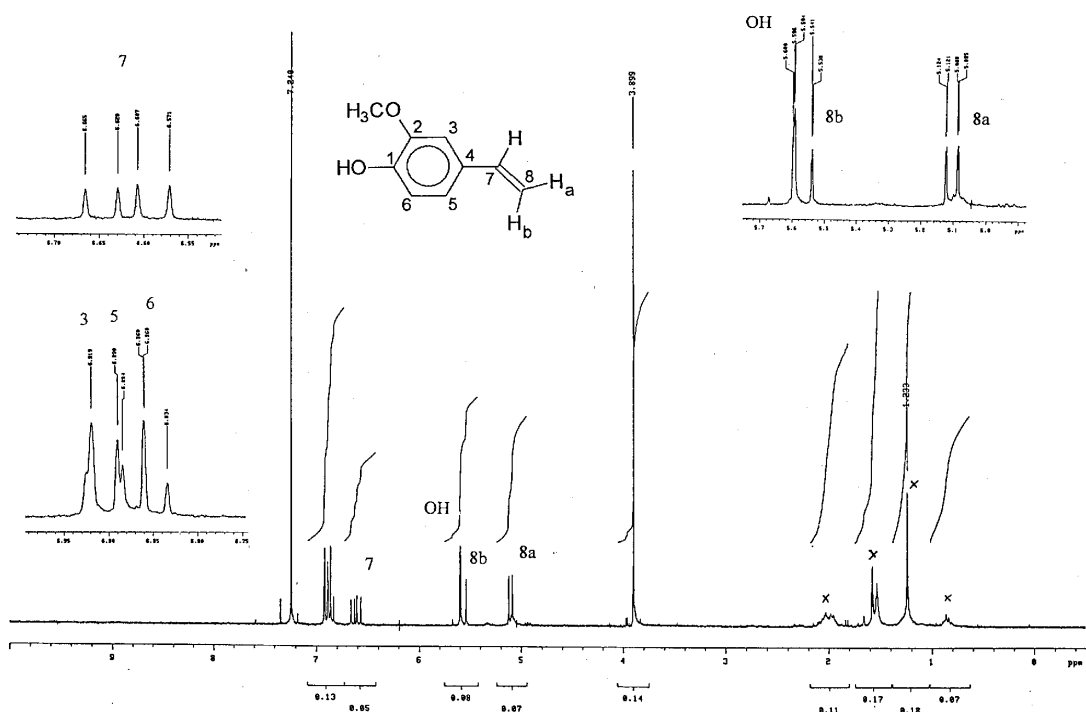
Chart 142 EIMS (70 eV) spectrum of 2-methoxy-4-vinylphenol (38)



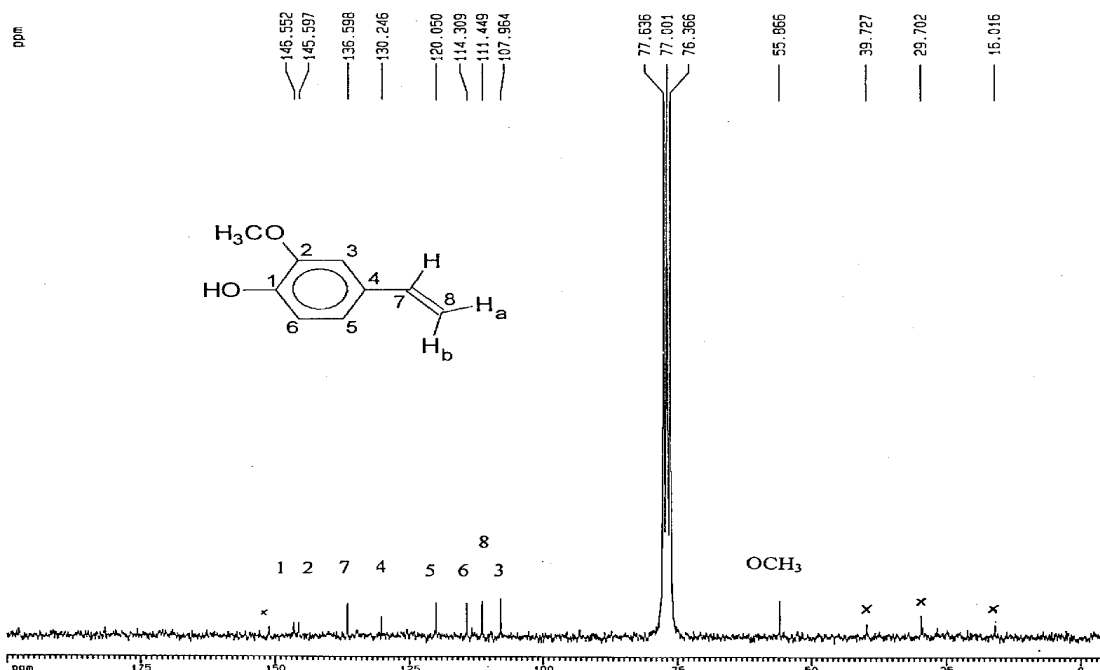
**Chart 143** IR spectrum of 2-methoxy-4-vinylphenol (**38**)



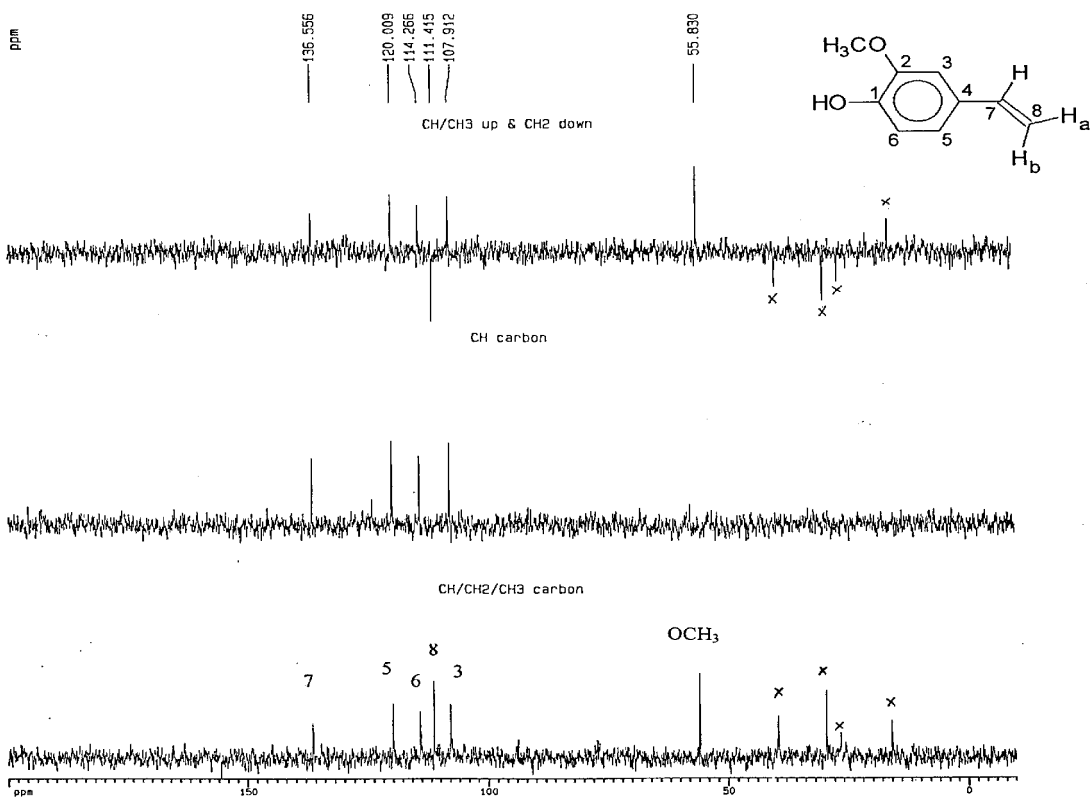
**Chart 144** UV spectrum of 2-methoxy-4-vinylphenol (**38**)



**Chart 145** <sup>1</sup>H-NMR (CDCl<sub>3</sub>, 300 MHz) spectrum of 2-methoxy-4-vinylphenol (**38**)



**Chart 146** <sup>13</sup>C-NMR (CDCl<sub>3</sub>, 75 MHz) spectrum of 2-methoxy-4-vinylphenol (**38**)



**Chart 147** DEPT spectrum of 2-methoxy-4-vinylphenol (38)

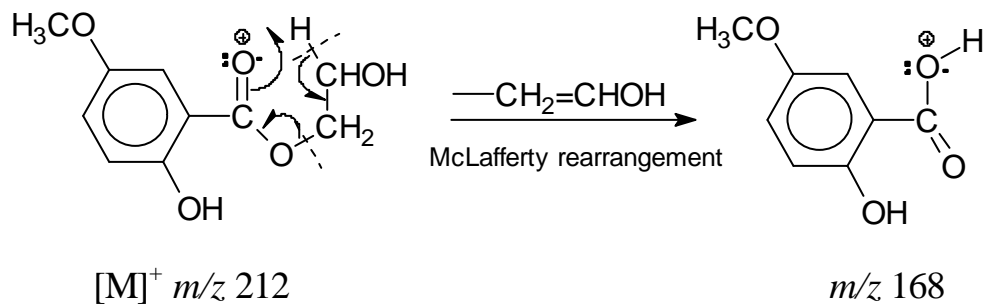
## Moniliformol (19) 化學結構的決定

本化合物為無色固體，對氯化鐵試劑反應為正反應，顯示具有 phenolic hydroxyl group 的存在，UV 光譜(Chart 149)在 212、253 和 286 nm ( $\log E : 4.29, 4.06$  和 3.76)有最大的吸收。

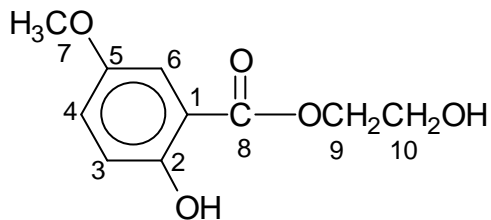
氫譜(Chart 150)顯示芳香族區域內有 3 個質子(ABX system)吸收訊號， $6.83 (d, J=8.4 \text{ Hz}, \text{H-3})$ 、 $7.55 (dd, J=8.4 \text{ Hz}, \text{H-4})$ 和  $7.56 (d, J=1.8 \text{ Hz}, \text{H-6})$ ；此外還有 1 個 methoxyl 質子的吸收訊號， $3.89 (s, \text{H-7})$ ，2 個 methylene protons 的吸收訊號， $3.56 (t, J=4.8 \text{ Hz}, \text{H-9})$ 和  $3.68 (t, J=4.8 \text{ Hz}, \text{H-10})$ 。COSY (Chart 151)顯示  $7.55 (dd, J=8.4 \text{ Hz}, \text{H-4})$ 和  $6.83 (d, J=8.4 \text{ Hz}, \text{H-3})$ 、 $3.56 (t, J=4.8 \text{ Hz}, \text{H-9})$ 和  $3.68 (t, J=4.8 \text{ Hz}, \text{H-10})$ 有相關，NOE 實驗(Chart 152)顯示，照射  $3.56 (t, J=4.8 \text{ Hz}, \text{H-9})$ ，會使  $3.68 (t, J=4.8 \text{ Hz}, \text{H-10})$ 增強，而照射  $3.89 (s, \text{H-7})$ ，會使  $7.56 (d, J=1.8 \text{ Hz}, \text{H-6})$ 和  $7.55 (dd, J=8.4 \text{ Hz}, \text{H-4})$ 增強，因而確立化合物中氫原子的關係。

碳譜(Chart 153)與 DEPT 實驗(Chart 154)顯示有 1 個 methoxyl (56.4), 2 個 methylenes (62.3 和 73.5), 3 個 methines (113.8、115.8 和 125.3)和 4 個四級碳 (123.3、148.7、152.6 和 170.2), 其中 170.2 為 carbonyl 的吸收訊號。HMQC 光譜(Chart 155)決定了 3 個 methines (113.8、115.8 和 125.3)為芳香環上的碳 C-4、C-3 和 C-6, 1 個 methoxyl (56.4)為  $5\text{-OCH}_3$ 。進一步的由 HMBC 光譜(Chart 156)顯示, 3.56 (H-9)、3.68 (H-10)和 3.89 (H-7)分別與 C-10 (62.3)、C-9 (73.5)和 C-5 (148.7)有長距離的關係, 而 3 個 aromatic protons 6.83 (H-3)與 C-1 (123.3)、C-5 (148.7)、C-4 (113.8)和 C-3 (115.8), 7.55 (H-4)與 C-6 (125.3)、C-5 (148.7)和 C-2 (152.6), 7.56 (H-6)與 C-1 (123.3)、C-5 (148.7)、C-4 (113.8)、C-2 (152.6)和 C-8 (170.2)有長距離的關係, 因此決定所有碳的位置。

另由質譜(Chart 148)的基峰  $m/z$  168，也印證了此化合物的骨架，分子斷裂方式如下圖所示：

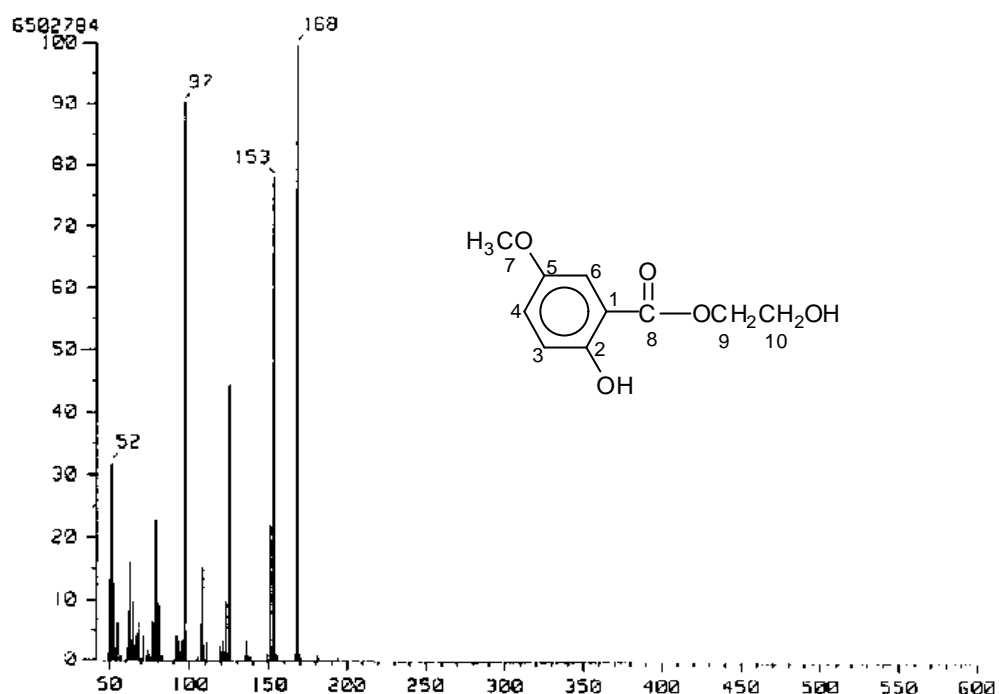


綜合上述資料，整理如 Table 32，決定此化合物結構為 hydroxyethyl 2-hydroxy-5-methoxybenzoate，分子式為 C<sub>10</sub>H<sub>12</sub>O<sub>5</sub> (分子量 212)，是一個新化合物，命名為 moniliformol。其結構如下：

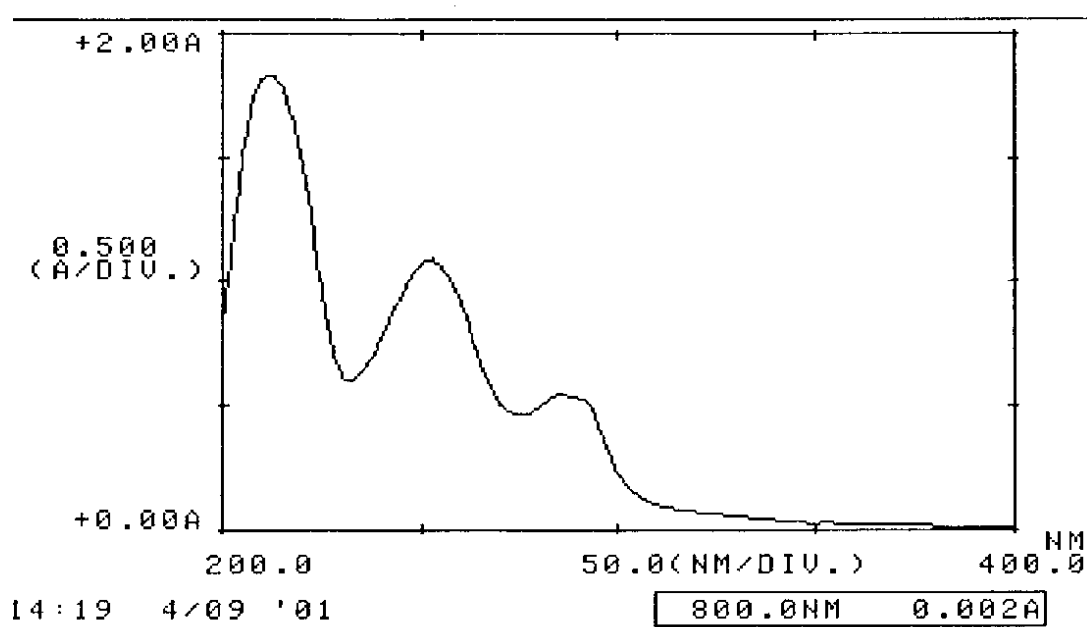


**Table 32.** NMR spectral data of moniliformol (**19**)

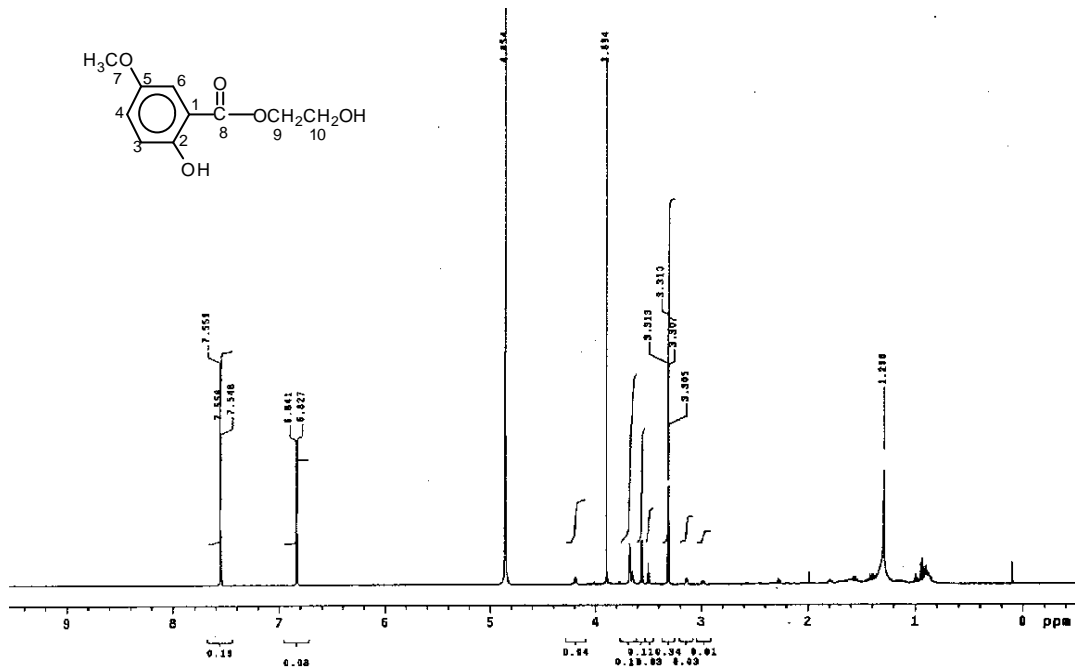
		<sup>1</sup> H	<sup>13</sup> C	COSY	NOE	HMBC
1	C		123.3			
2	C		152.6			
3	CH	6.83( <i>d</i> , 8.4)	115.8	H-4	H-4	C-1( <i>J</i> <sub>3</sub> ), C-3( <i>J</i> <sub>3</sub> ), C-4( <i>J</i> <sub>2</sub> ), C-6( <i>J</i> <sub>2</sub> )
4	CH	7.55( <i>dd</i> , 1.8, 8.4)	113.8	H-5	H-5, H-7	C-2( <i>J</i> <sub>3</sub> ), C-3( <i>J</i> <sub>2</sub> ), C-6( <i>J</i> <sub>3</sub> )
5	C		148.7			
6	CH	7.56( <i>d</i> , 1.8)	125.3		H-7	C-1( <i>J</i> <sub>2</sub> ), C-3( <i>J</i> <sub>2</sub> ), C-4( <i>J</i> <sub>3</sub> ), C-6( <i>J</i> <sub>3</sub> ), C-8( <i>J</i> <sub>3</sub> )
7	OCH <sub>3</sub>	3.89( <i>s</i> )	56.4		H-2, H-4	C-3( <i>J</i> <sub>3</sub> )
8	C=O		170.2			
9	CH <sub>2</sub>	3.56 ( <i>t</i> , 4.8)	73.5	H-10	H-10	C-10( <i>J</i> <sub>2</sub> )
10	CH <sub>2</sub>	3.68 ( <i>t</i> , 4.8)	62.3	H-9	H-9	C-9( <i>J</i> <sub>2</sub> )



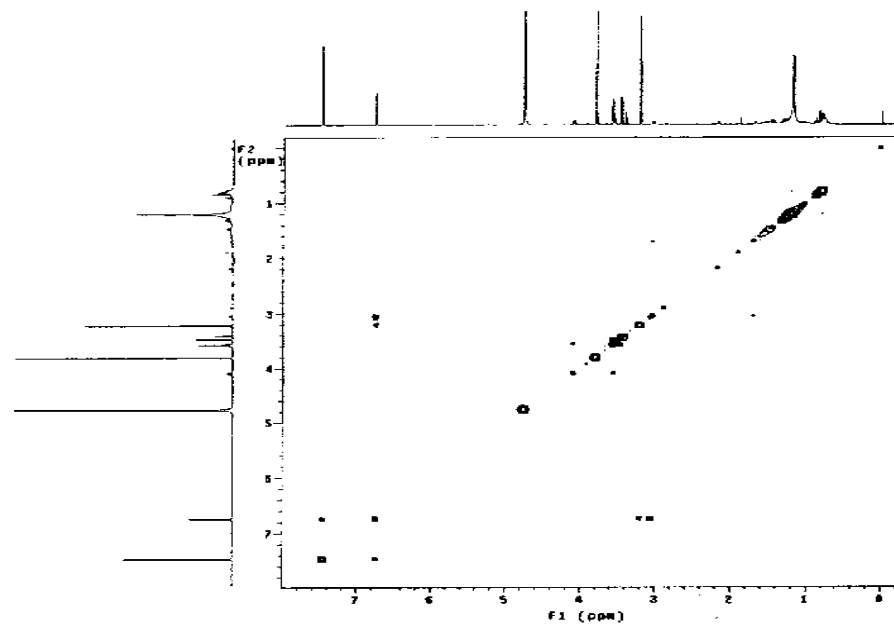
**Chart 148** EIMS (70 eV) spectrum of moniliformol (**19**)



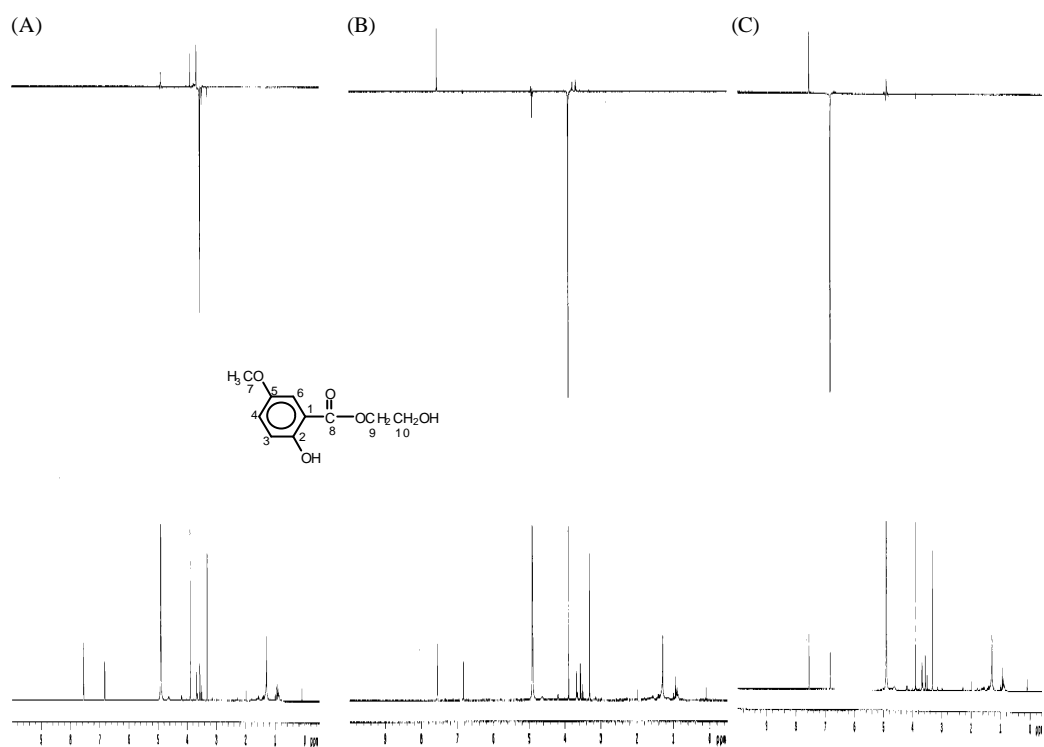
**Chart 149** UV spectrum of moniliformol (**19**)



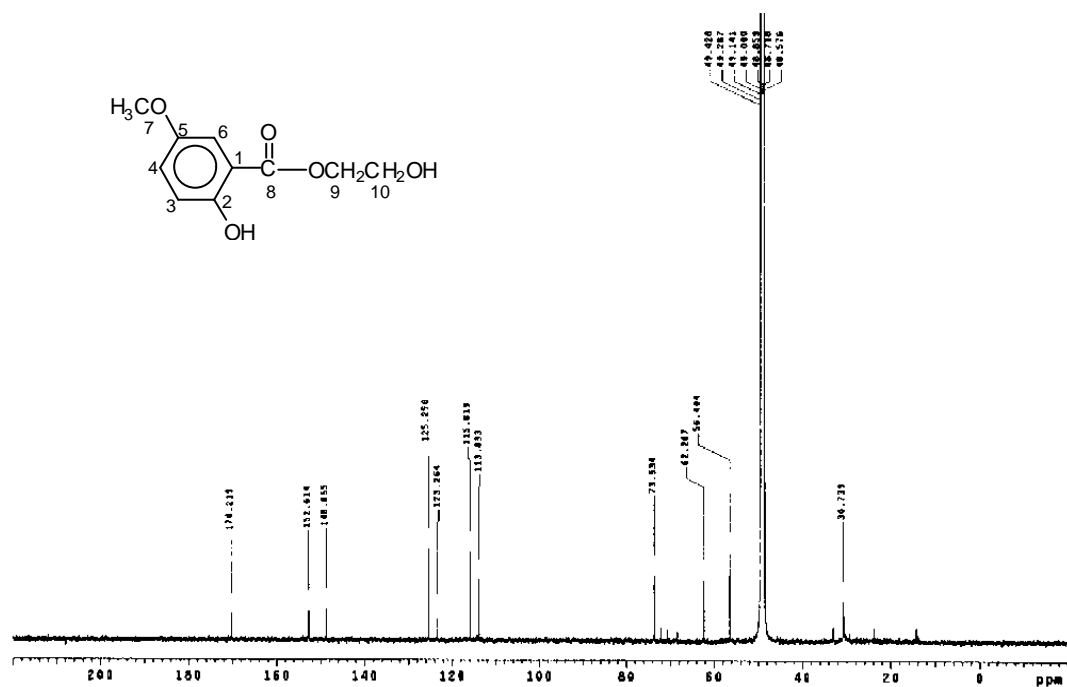
**Chart 150**  $^1\text{H}$ -NMR ( $\text{CDCl}_3$ , 600 MHz) spectrum of moniliformol (19)



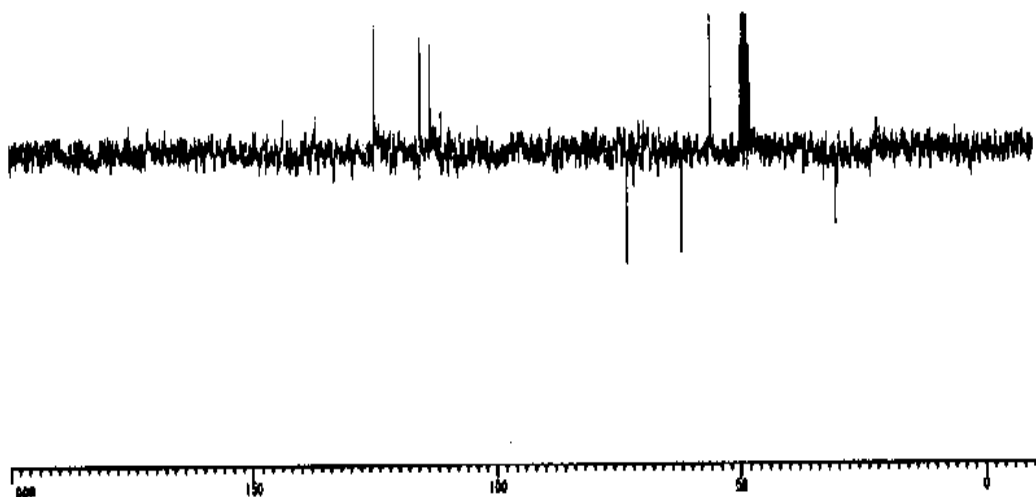
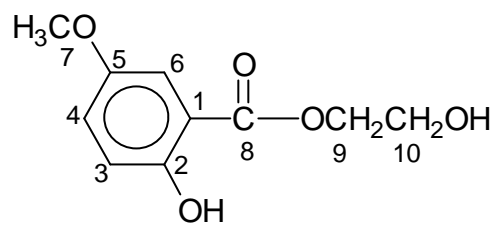
**Chart 151** COSY spectrum of moniliformol (19)



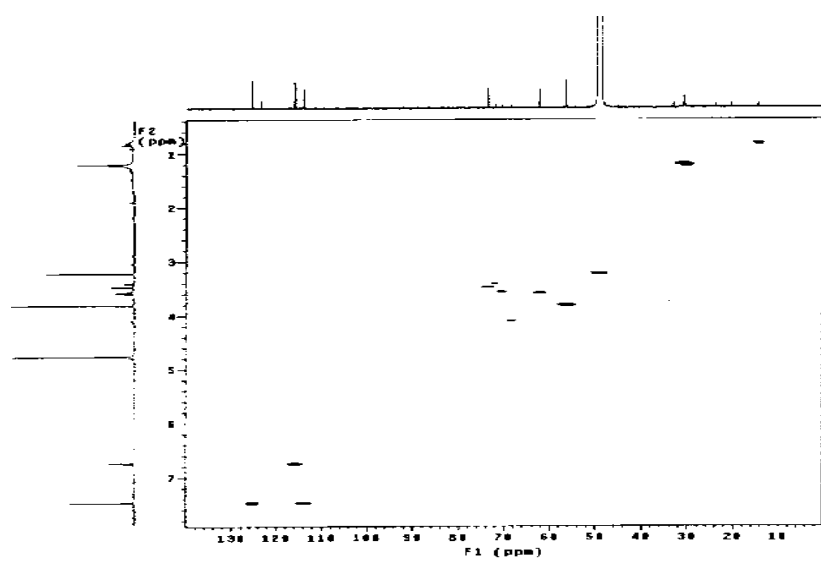
**Chart 152** NOE spectra of moniliformol (**19**)



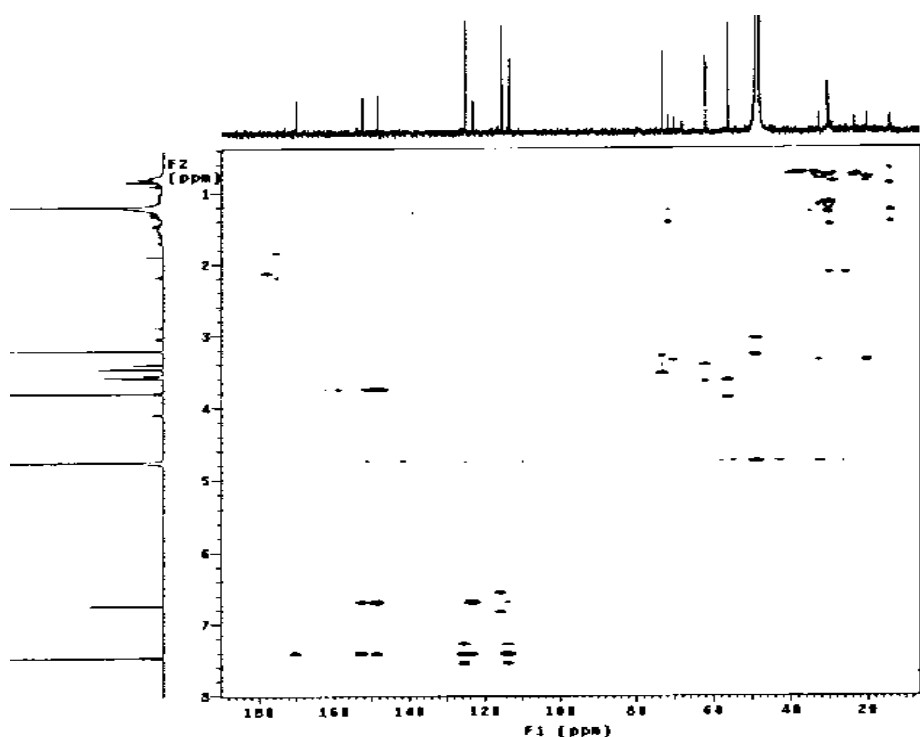
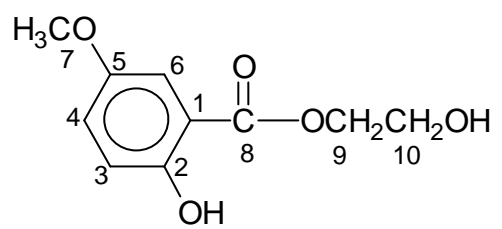
**Chart 153**  $^{13}\text{C}$ -NMR ( $\text{CDCl}_3$ , 150 MHz) spectrum of moniliformol (**19**)



**Chart 154** DEPT 135 spectrum of moniliformol (**19**)



**Chart 155** HMQC spectrum of moniliformol (**19**)



**Chart 156** HMBC spectrum of moniliformol (**19**)

## Protocatechuic acid (33) 化學結構的決定

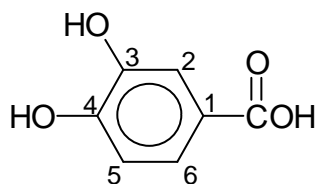
本化合物為無色針狀，經由 EIMS (Chart 157)顯示分子量為  $m/z$  154。

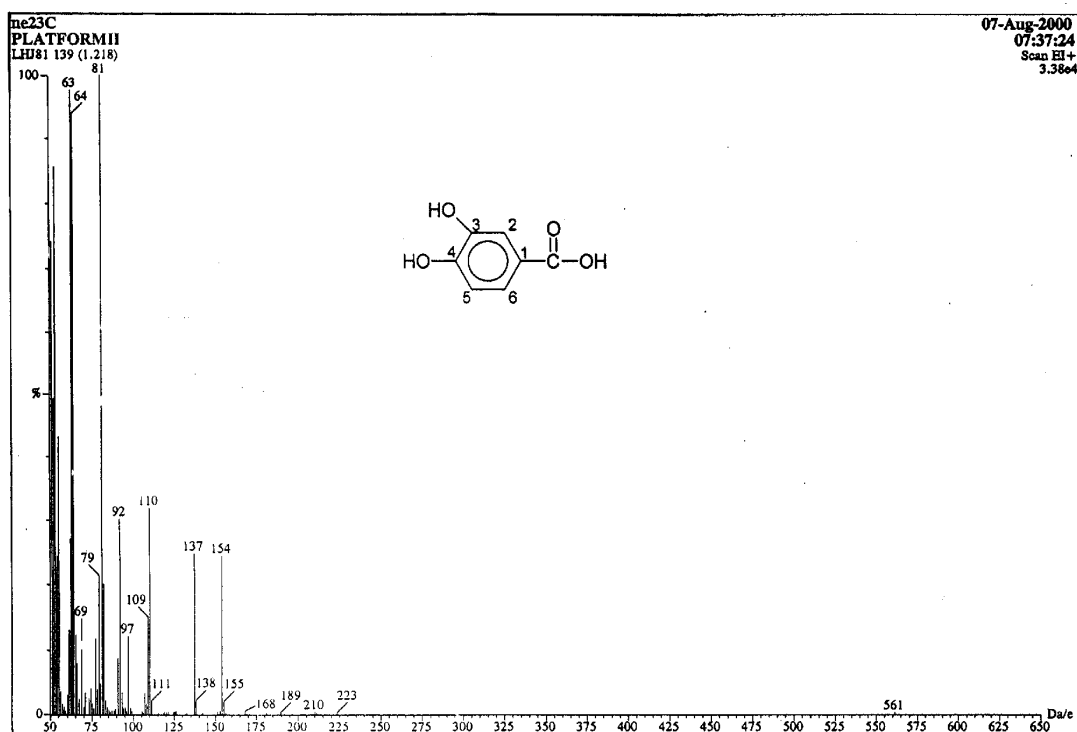
IR 光譜(Chart 158)在  $3263\text{ cm}^{-1}$  為 broad phenolic hydroxyls ( $\text{OH}$ ) 吸收，1677 為 carboxyl 的  $\text{C}=\text{O}$  吸收，1604、1520 和 1407 為 benzene ring 的吸收。UV 光譜(Chart 159)在 208、255 和 291 nm ( $\log E : 4.19$ 、 $3.80$  和  $3.54$ )有最大吸收波長。

氫譜(Chart 160)顯示芳香族區域內有 3 個 ABX type 質子的吸收訊號， $6.78 (d, J=8.0\text{ Hz}, \text{H-5})$ ， $7.41 (dd, J=8.0, 1.9\text{ Hz}, \text{H-6})$  和  $7.43 (d, J=1.9\text{ Hz}, \text{H-2})$ ，COSY(Chart 161)也顯示 H-5 和 H-6 有鄰位耦合的關係。

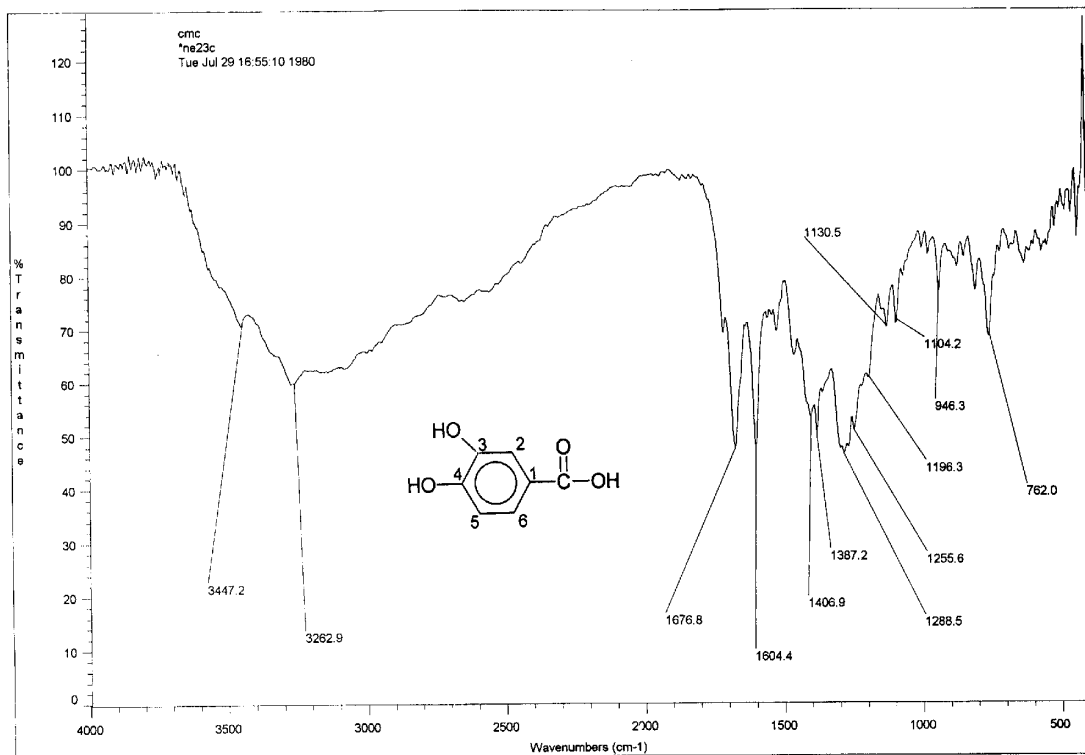
碳譜(Chart 162)與 DEPT 實驗(Chart 163)顯示有 3 個 methines ( $115.6$ 、 $117.8$  和  $123.7$ )和 4 個四級碳( $124.8$ 、 $145.8$ 、 $150.9$  和  $171.7$ )，其中  $171.7$  為 carboxyl carbonyl ( $\text{COOH}$ )的吸收訊號。而 HMQC 實驗(Chart 164)決定了 3 個 methines ( $115.6$ 、 $117.8$  和  $123.7$ )為 C-5、C-2 和 C-6。進一步由 HMBC 實驗(Chart 165)說明了四級碳的位置：芳香環上質子 H-2 ( $7.43$ )與 C-3 ( $145.8$ )、C-4 ( $150.9$ )、C-6 ( $123.7$ )和  $\text{C}=\text{O}$  ( $171.7$ )有長距離的關係，H-5 ( $6.78$ )與 C-1 ( $124.8$ )、C-3 ( $145.8$ )和 C-4 ( $150.9$ )有相關，H-6 ( $7.41$ )與 C-2 ( $117.8$ )、C-4 ( $150.9$ )和  $\text{C}=\text{O}$  ( $171.7$ )有相關。

綜合上述資料，整理如 Table 33，並與文獻值<sup>(182)</sup>比對相符，確定此化合物結構為 3,4-dihydroxybenzoic acid，分子式為  $\text{C}_7\text{H}_6\text{O}_4$ ，又名為 protocatechuic acid，在石斛屬植物中為首次發現。其結構如下：

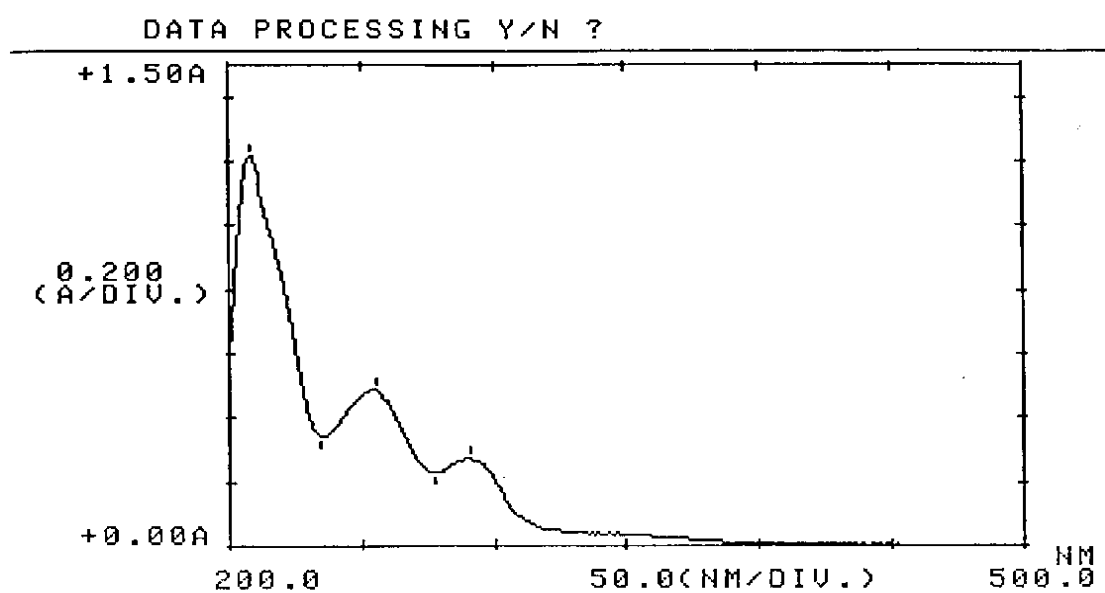




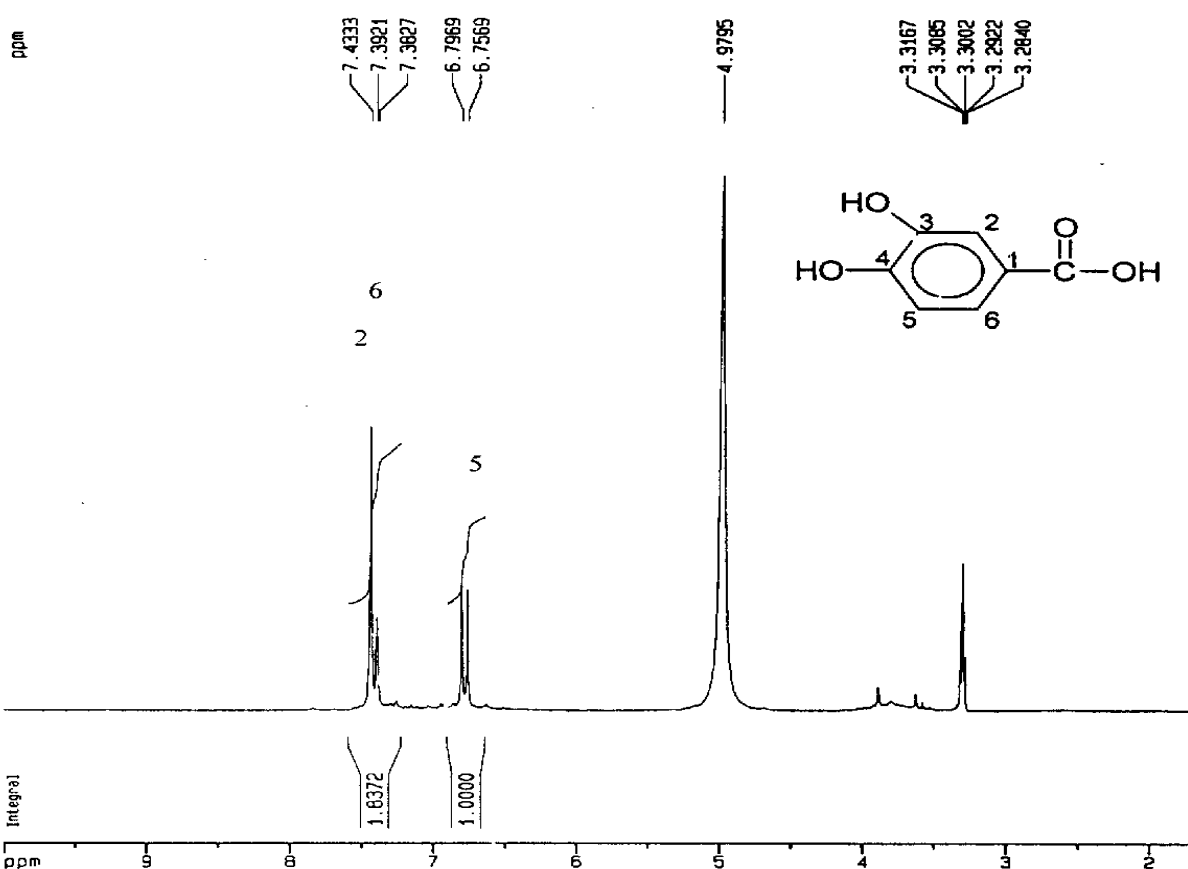
**Chart 157** EIMS (70 eV) spectrum of protocatechuic acid (**33**)



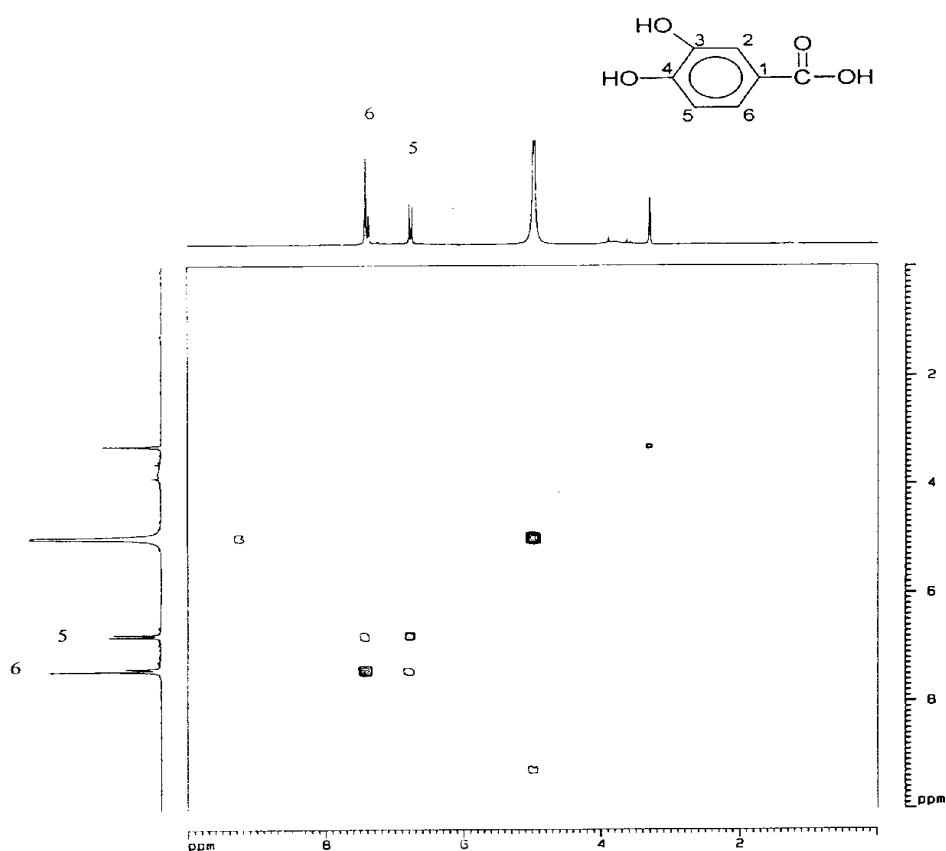
**Chart 158** IR spectrum of protocatechuic acid (**33**)



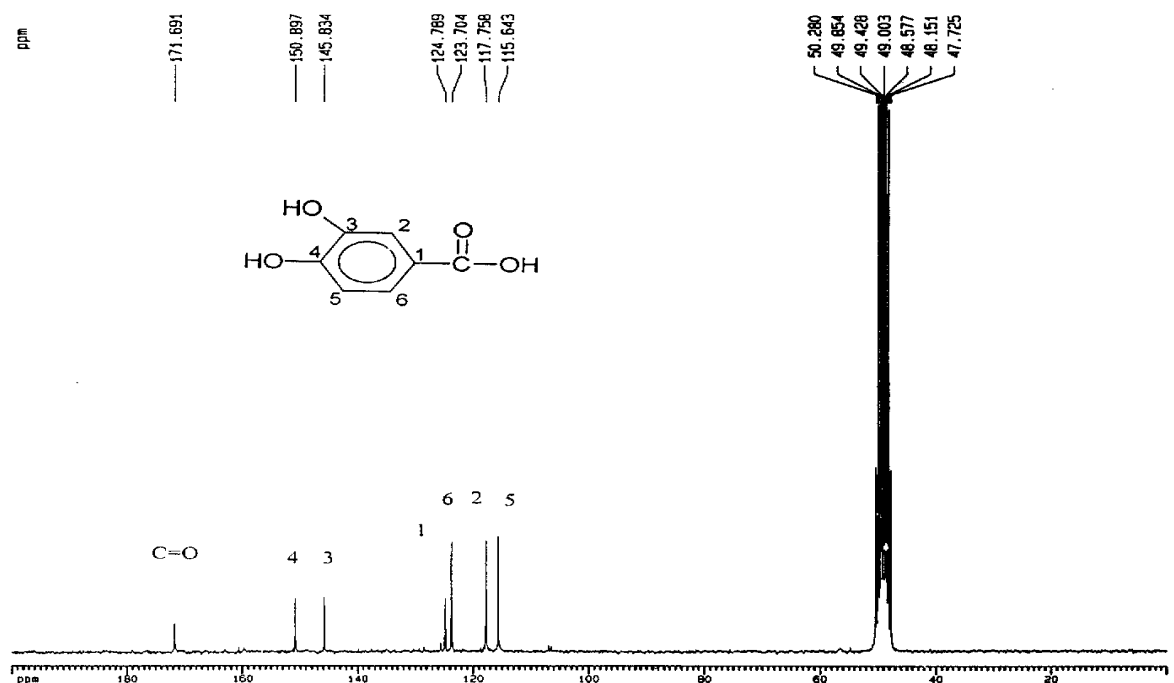
**Chart 159** UV spectrum of protocatechuic acid (**33**)



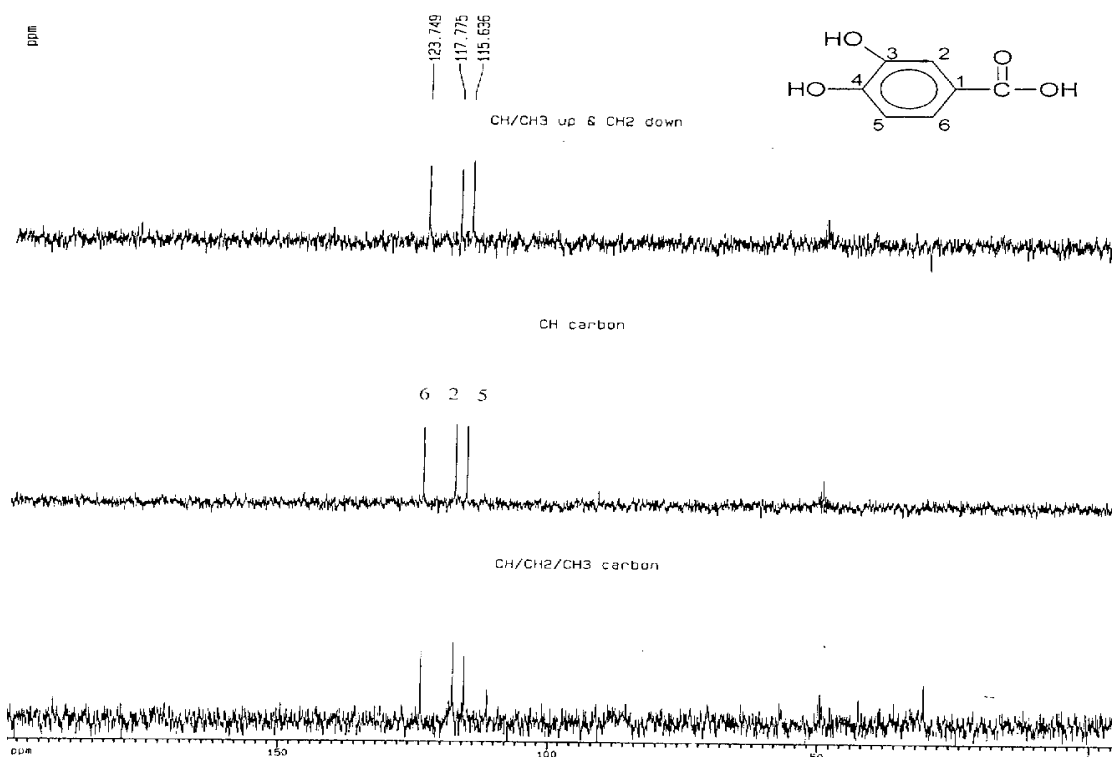
**Chart 160**  $^1\text{H}$ -NMR ( $\text{CD}_3\text{OD}$ , 200 MHz) spectrum of protocatechuic acid (**33**)



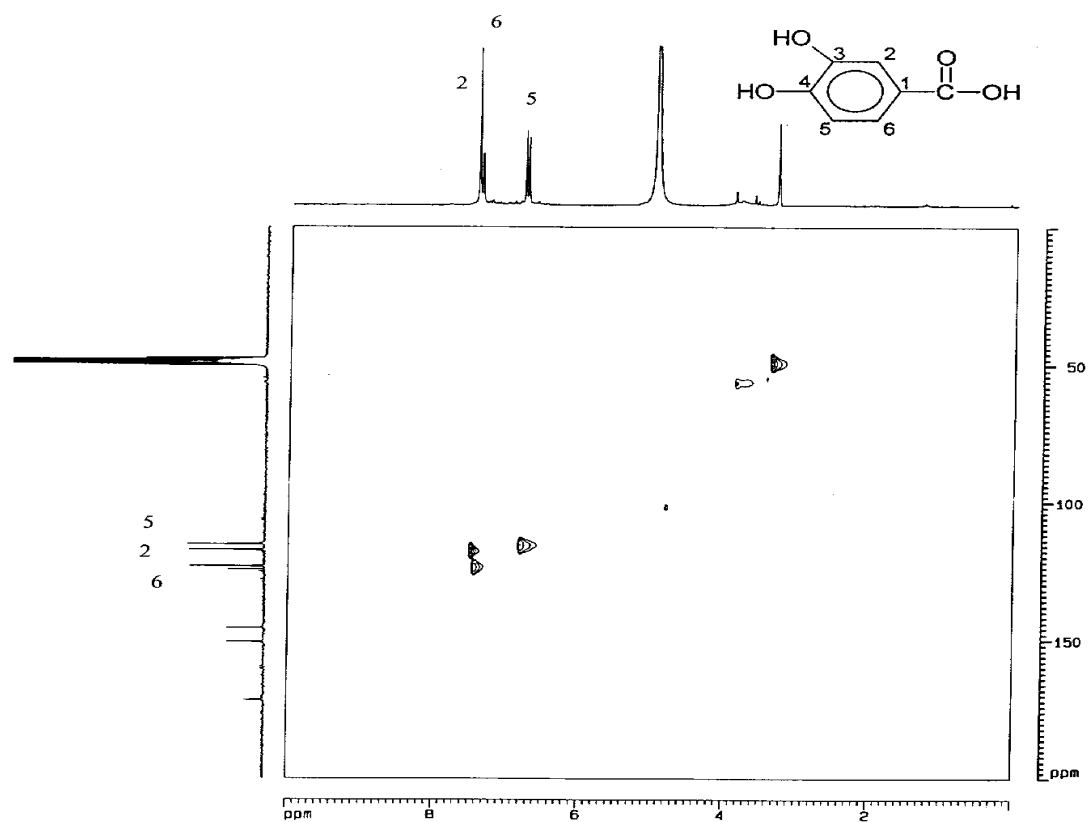
**Chart 161** COSY spectrum of protocatechuic acid (**33**)



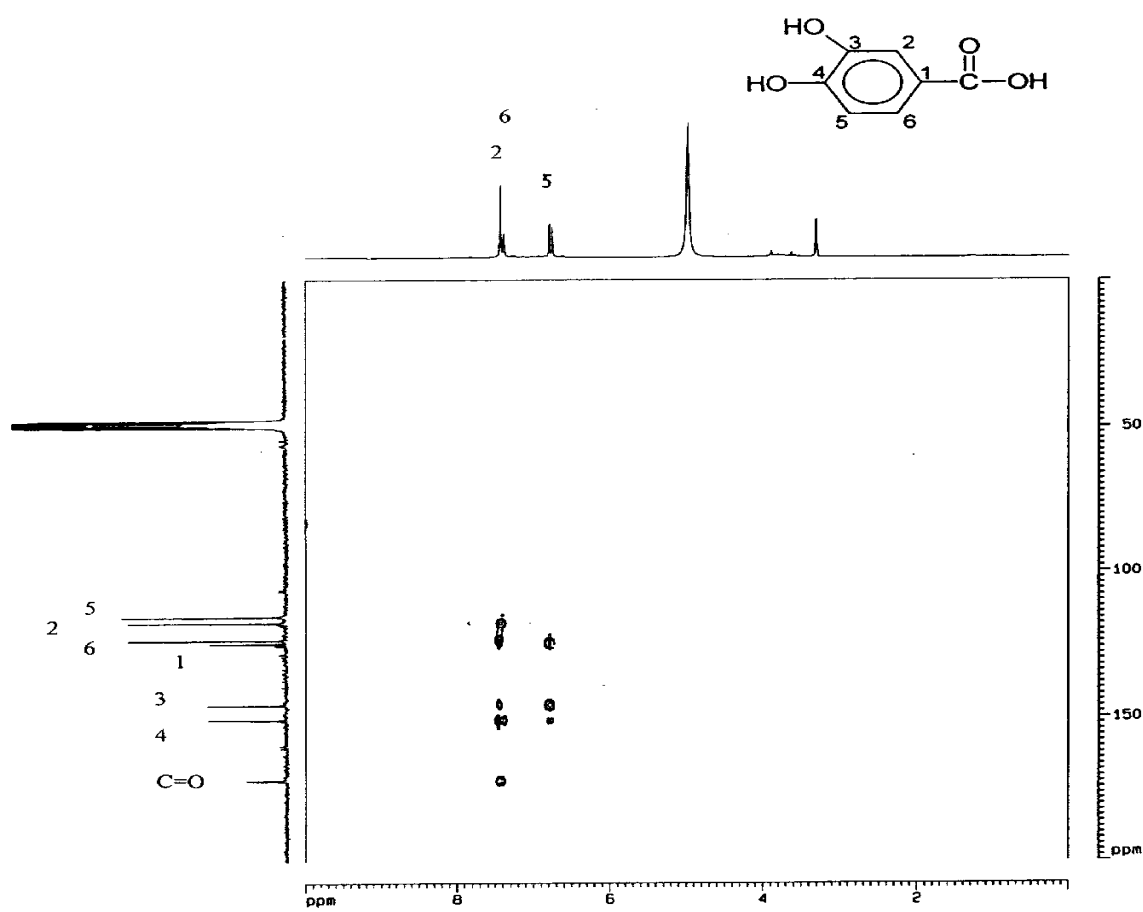
**Chart 162** <sup>13</sup>C-NMR ( $\text{CD}_3\text{OD}$ , 50 MHz) spectrum of protocatechuic acid (**33**)



**Chart 163** DEPT spectrum of protocatechuic acid (**33**)



**Chart 164** HMQC spectrum of protocatechuic acid (**33**)



**Chart 165** HMBC spectrum of protocatechuic acid (**33**)

**Table 33.** NMR spectral data of protocatechuic acid (**33**)

		<sup>1</sup> H	<sup>13</sup> C	COSY	HMBC
1	C		124.8		
2	CH	7.43( <i>d</i> , 1.9)	117.8	H-6	C-3( <i>J</i> <sub>2</sub> ), C-4( <i>J</i> <sub>3</sub> ), C-6( <i>J</i> <sub>3</sub> ), CO( <i>J</i> <sub>3</sub> )
3	C		145.8		
4	C		150.9		
5	CH	6.78( <i>d</i> , 8.0)	115.6	H-6	C-1( <i>J</i> <sub>3</sub> ), C-3( <i>J</i> <sub>3</sub> ), C-4( <i>J</i> <sub>2</sub> )
6	CH	7.41( <i>dd</i> , 8.0, 1.9)	123.7	H-2, H-5	C-2( <i>J</i> <sub>3</sub> ), C-4( <i>J</i> <sub>3</sub> ), CO( <i>J</i> <sub>3</sub> )
COOH	C		171.7		

## Vanillin (38) 化學結構的決定

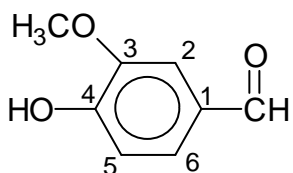
本化合物為白色固體，有特殊香味，經由 EIMS (Chart 166)顯示分子量為  $m/z$  152。

IR 光譜(Chart 167)在  $3171\text{ cm}^{-1}$  為 broad phenolic hydroxyls ( $\text{OH}$ )吸收， $1664$  為 aldehyde 之  $\text{C=O}$  的吸收， $1585$ 、 $1512$ 、 $1466$  和  $1427$  為 benzene ring 的吸收， $1263$  為醚基( $\text{C-O-C}$ )的吸收。UV 光譜(Chart 168)在  $208$ 、 $231$ 、 $278$ 、 $306$  和  $350\text{ nm}$  ( $\log \epsilon$  :  $4.08$ 、 $4.14$ 、 $3.99$ 、 $4.00$  和  $3.65$ )有最大吸收波長。

氫譜(Chart 169)顯示芳香族區域內有 3 個 ABX type 質子的吸收訊號， $7.02 (d, J=8.4\text{ Hz}, \text{H-5})$ ,  $7.40 (d, J=1.7\text{ Hz}, \text{H-2})$  和  $7.41 (dd, J=8.5, 1.8\text{ Hz}, \text{H-6})$ ，1 個 methoxyl 質子  $3.95 (s)$ ，1 個 hydroxyl 質子  $6.20 (br s)$  和 1 個 aldehyde 質子  $9.81 (s)$ 。COSY(Chart 170)顯示 ABX type 之 3 個質子中 H-5 和 H-6 有鄰位耦合關係，另由耦合常數 1.7 推定 H-2 與 H-6 為苯環質子間位關係。

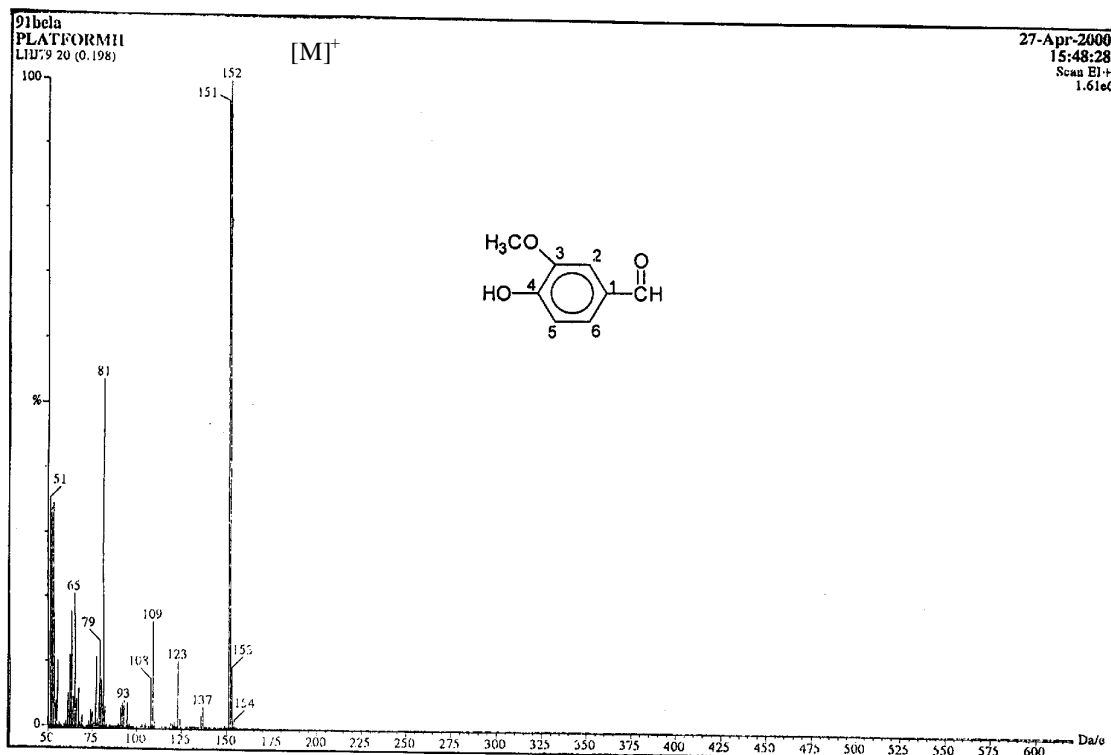
碳譜(Chart 171)與 DEPT 實驗(Chart 172)顯示有 7 個碳，包括 1 個 methoxyl ( $56.1$ )，3 個 methines ( $108.8$ 、 $114.4$  和  $127.5$ )和 4 個四級碳 ( $129.9$ 、 $147.1$ 、 $151.7$  和  $190.8$ )，其中  $190.8$  為 aldehyde ( $\text{CHO}$ ) 之碳的吸收訊號。HMQC 實驗(Chart 173)決定了 3 個 methines ( $108.8$ 、 $114.4$  和  $127.5$ )為 C-2、C-5 和 C-6。而 HMBC 實驗(Chart 174)說明了四級碳的位置：芳香環上質子 H-2 ( $7.40$ )與 C-1 ( $129.9$ )、C-3 ( $147.2$ )、C-4 ( $151.8$ )、C-6 ( $127.5$ )和 CHO ( $190.8$ )有長距離的關係，H-5 ( $7.02$ )與 C-1 ( $129.9$ )、C-3 ( $147.2$ )、C-4 ( $151.8$ )和 C-6 ( $127.5$ )有相關，H-6 ( $7.41$ )與 C-1 ( $129.9$ )、C-2 ( $108.8$ )、C-4 ( $151.8$ )、C-5 ( $114.4$ )和 CHO ( $190.8$ )有相關，1 個 methoxyl 賴子  $3-\text{OCH}_3$  ( $3.95$ )與 C-3 ( $147.2$ )有相關，1 個 hydroxyl 賴子  $4-\text{OH}$  ( $6.20$ )與 C-3 ( $147.2$ )、C-4 ( $151.8$ )和 C-5 ( $114.4$ )有相關，1 個 aldehyde 賴子與 C-1 ( $129.9$ )、C-2 ( $108.8$ )和 C-6 ( $127.5$ )有相關。

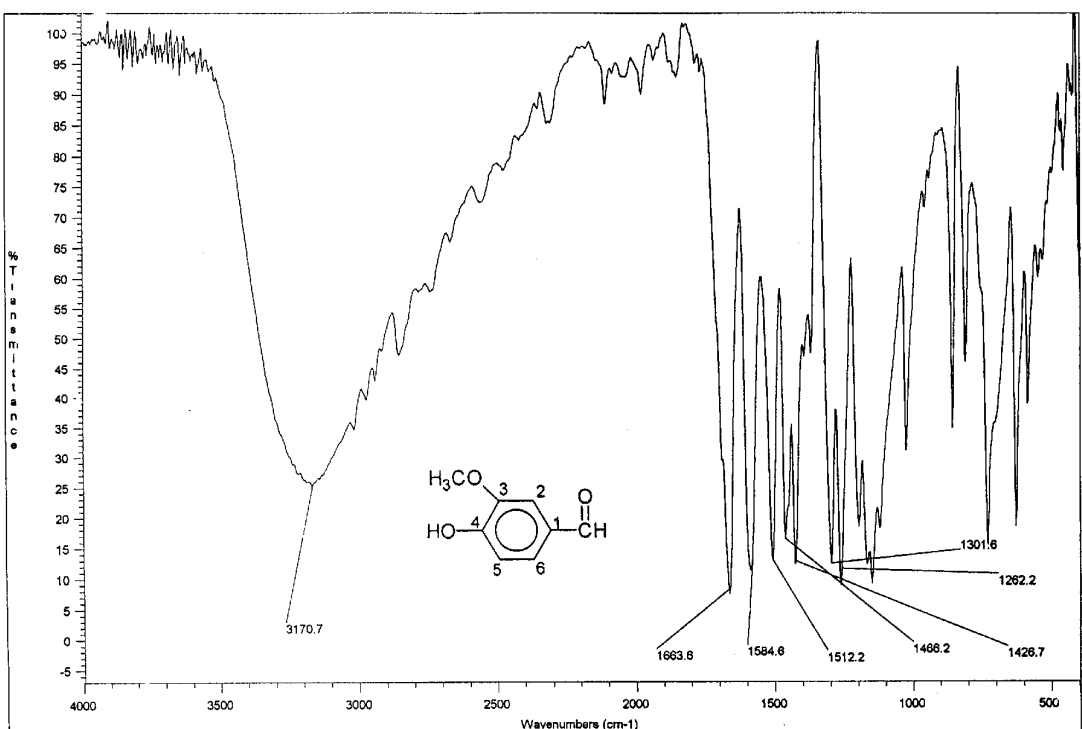
綜合上述資料，整理如 Table 34，並與文獻值<sup>(183)</sup>比對，確定此化合物結構為 4-hydroxy-3-methoxybenzaldehyde，分子式為  $\text{C}_8\text{H}_8\text{O}_3$ ，又名為 vanillin。結構如下：



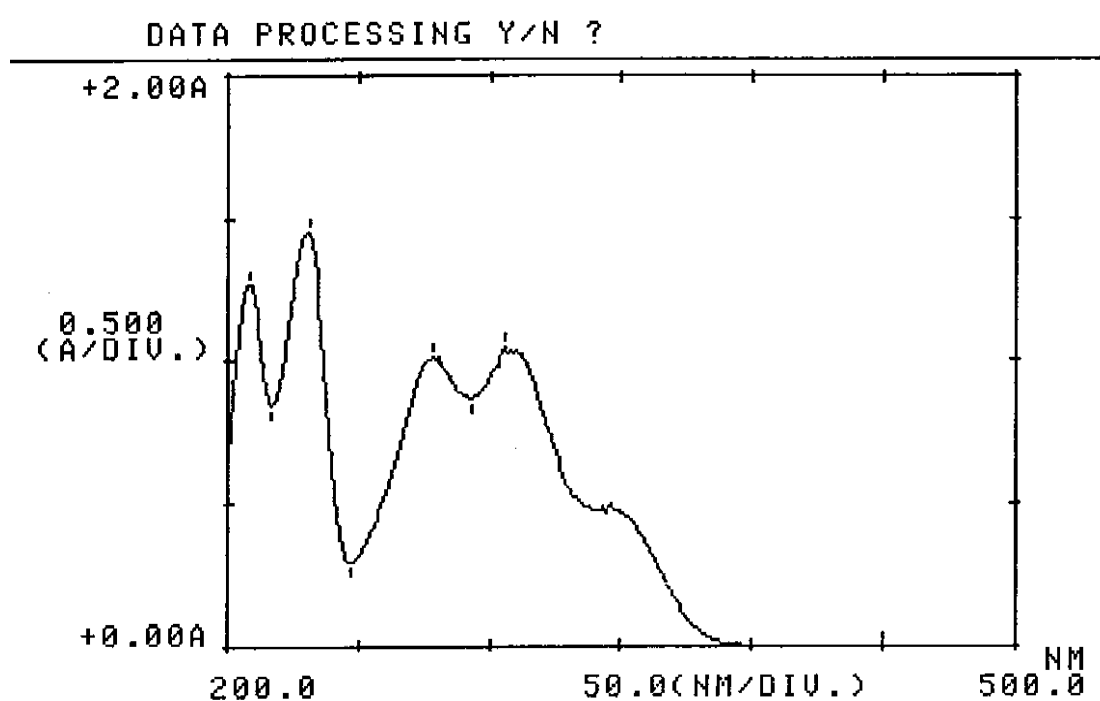
**Table 34.** NMR spectral data of vanillin (**38**)

		<sup>1</sup> H	<sup>13</sup> C	COSY	HMBC
1	C		129.9		
2	CH	7.40( <i>d</i> , 1.7)	108.8	H-6	C-1( <i>J</i> <sub>2</sub> ), C-3( <i>J</i> <sub>2</sub> ), C-4( <i>J</i> <sub>3</sub> ), C-6( <i>J</i> <sub>3</sub> ), CHO( <i>J</i> <sub>3</sub> )
3	C		147.2		
4	C		151.8		
5	CH	7.02( <i>d</i> , 8.4)	114.4	H-6	C-1( <i>J</i> <sub>3</sub> ), C-3( <i>J</i> <sub>3</sub> ), C-4( <i>J</i> <sub>2</sub> ), C-6( <i>J</i> <sub>2</sub> )
6	CH	7.41( <i>dd</i> , 8.5, 1.8)	127.5	H-2, H-5	C-1( <i>J</i> <sub>2</sub> ), C-2( <i>J</i> <sub>3</sub> ), C-4( <i>J</i> <sub>3</sub> ), C-5( <i>J</i> <sub>2</sub> ), CHO( <i>J</i> <sub>3</sub> )
3-OCH <sub>3</sub>	OCH <sub>3</sub>	3.95 ( <i>s</i> )	56.1		C-3( <i>J</i> <sub>3</sub> )
4-OH	OH	6.20 ( <i>br s</i> )			C-3( <i>J</i> <sub>3</sub> ), C-4( <i>J</i> <sub>2</sub> ), C-5( <i>J</i> <sub>3</sub> )
CHO	CHO	9.81 ( <i>s</i> )	190.8		C-1( <i>J</i> <sub>2</sub> ), C-2( <i>J</i> <sub>3</sub> ), C-6( <i>J</i> <sub>3</sub> )

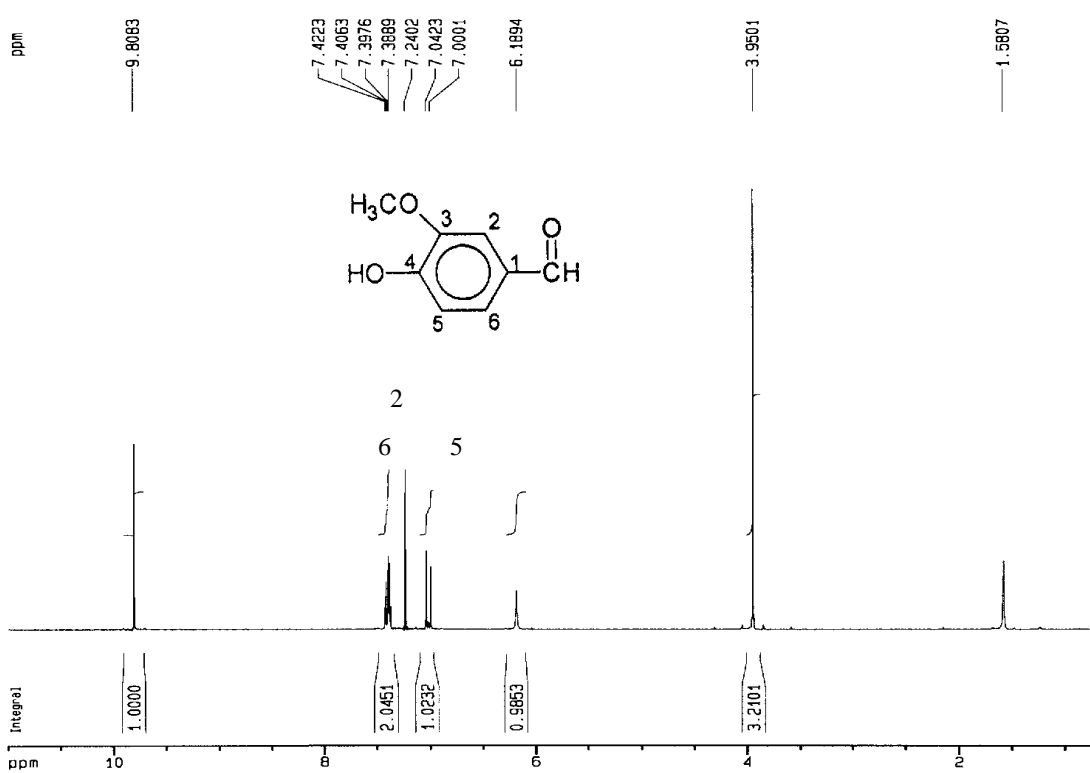
**Chart 166** EIMS (70 eV) spectrum of vanillin (**38**)



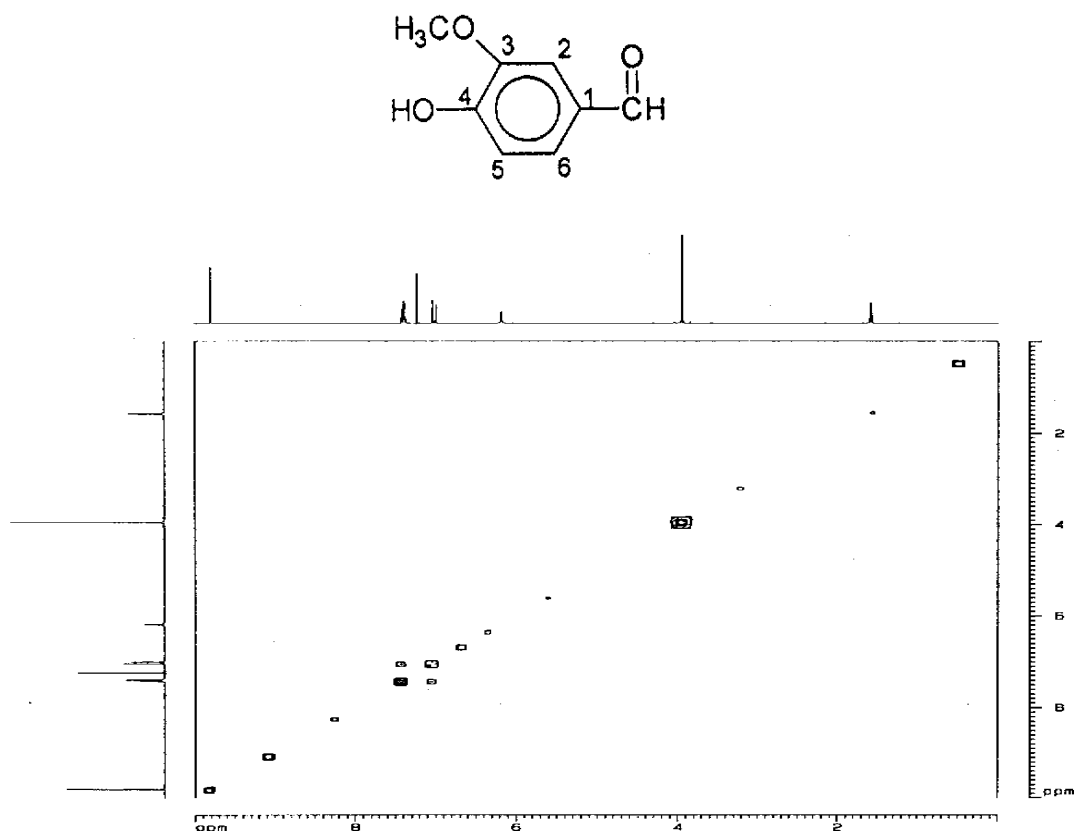
**Chart 167** IR spectrum of vanillin (38)



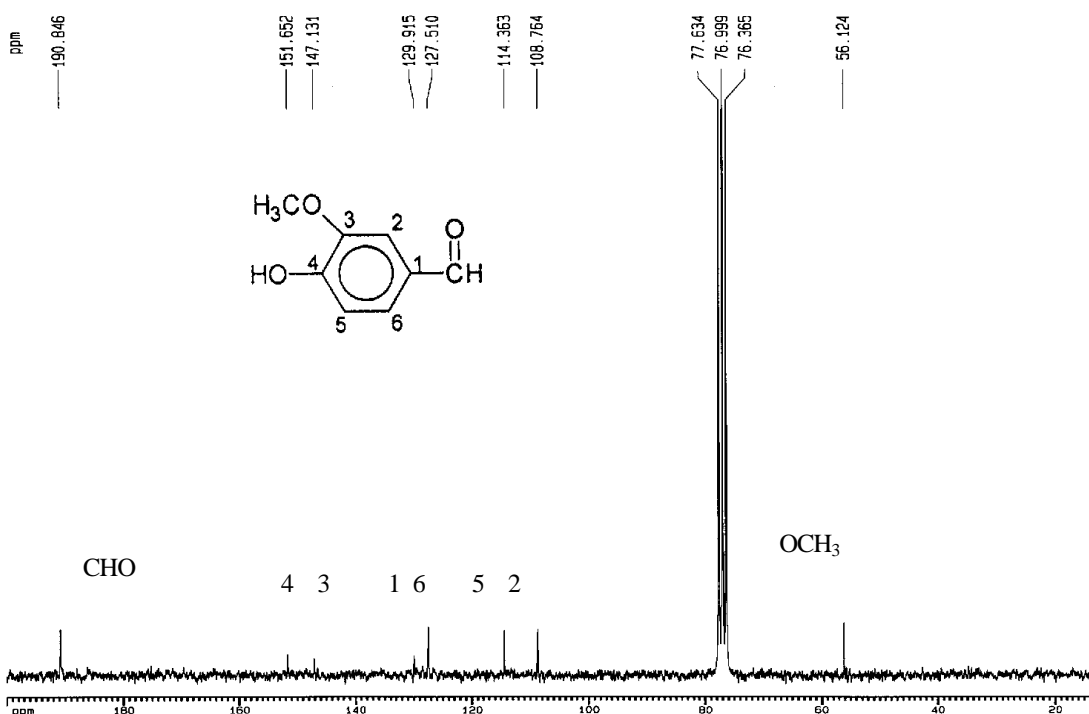
**Chart 168** UV spectrum of vanillin (38)



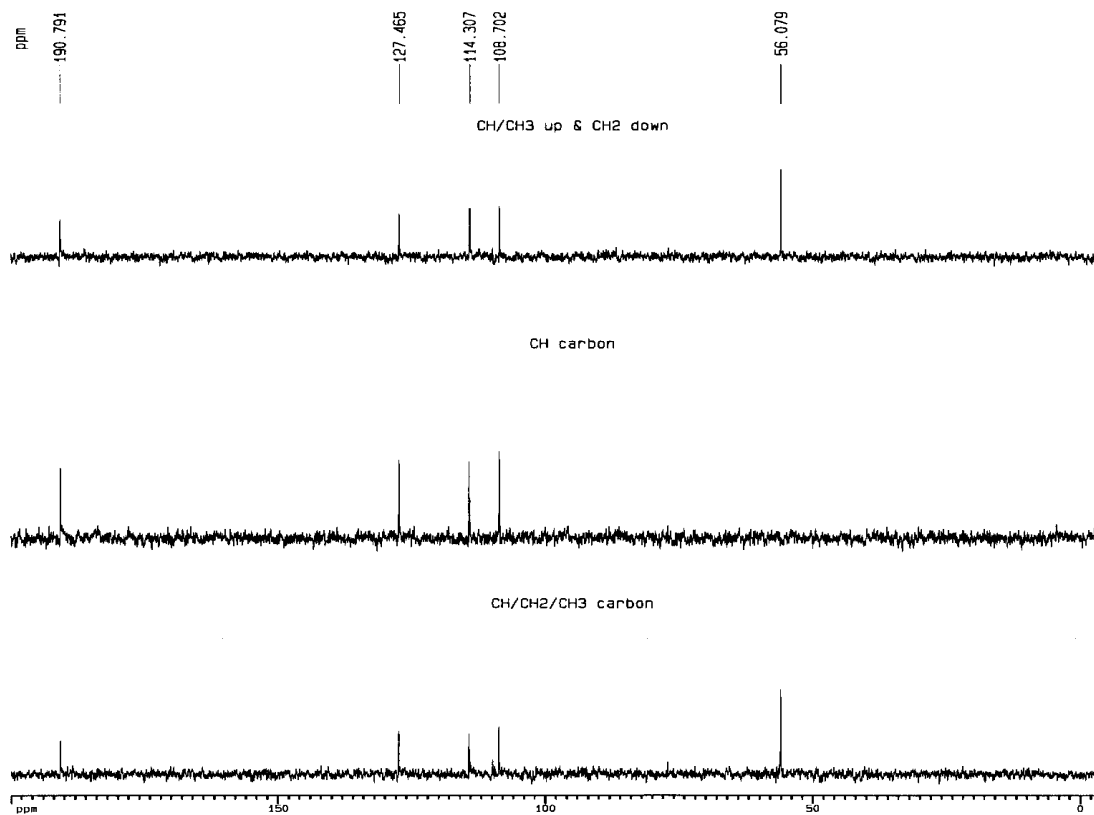
**Chart 169**  $^1\text{H}$ -NMR ( $\text{CDCl}_3$ , 200 MHz) spectrum of vanillin (**38**)



**Chart 170** COSY spectrum of vanillin (**38**)



**Chart 171**  $^{13}\text{C}$ -NMR ( $\text{CDCl}_3$ , 50 MHz) spectrum of vanillin (38)



**Chart 172** DEPT spectrum of vanillin (38)

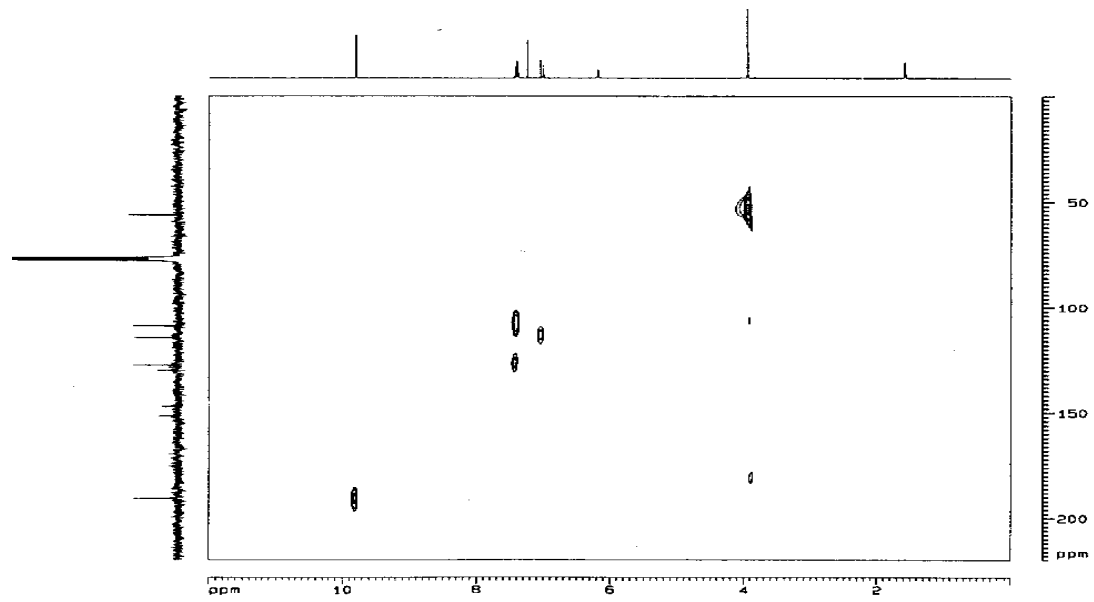


Chart 173 HMQC spectrum of vanillin (38)

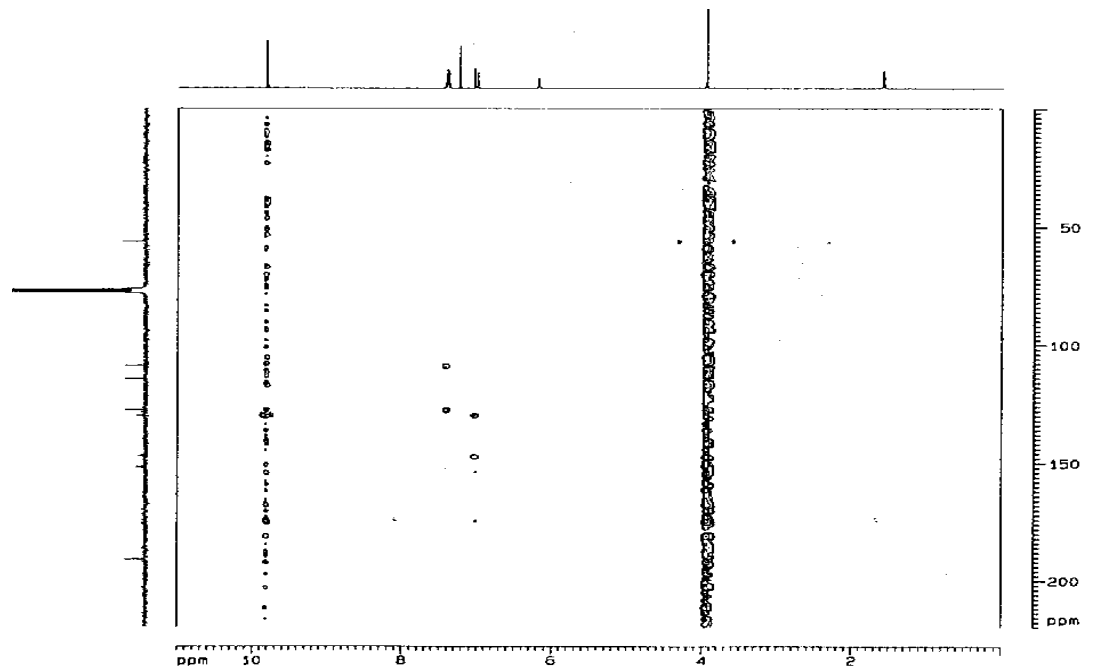
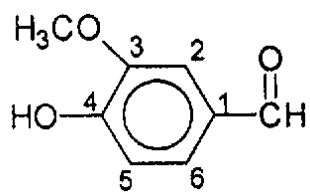


Chart 174 HMBC spectrum of vanillin (38)

## 4-Vinylphenol (39) 化學結構的決定

本化合物為無色油狀物，經由 EIMS (Chart 175)顯示分子量為  $m/z$  120。

IR 光譜(Chart 176)在  $3283\text{ cm}^{-1}$  為 broad phenolic hydroxyls (OH) 吸收，1610、1512 和 1454 為 benzene ring 的吸收。UV 光譜(Chart 177) 在 208、259 和 293 nm ( $\log E : 4.19, 3.80$  和 3.54)有最大吸收波長。

氫譜(Chart 178)顯示芳香族區域內有 4 個  $A_2B_2$  type 質子的吸收訊號，6.77 ( $t, J=2.0, 2.8$  和  $8.7\text{ Hz}$ , H-2 和 H-6), 7.28 ( $t, J=1.9, 2.8$  和  $8.7\text{ Hz}$ , H-3 和 H-5)；olefinic region 有 3 個質子，為 vinylic protons：包括 5.10 ( $dd, J=0.9, 10.9\text{ Hz}$ )為末端 methylene 之 cis-H-8 的吸收訊號，5.58 ( $dd, J=0.9, 17.6\text{ Hz}$ )為末端 methylene 之 trans-H-8 的吸收訊號，6.63 ( $q, J=10.9, 17.6\text{ Hz}$ )為 H-7 的吸收訊號；此外還有 1 個 phenolic hydroxyl 質子 4.94 ( $br s, 1\text{-OH}$ )的吸收訊號。

碳譜(Chart 179)顯示有 8 個碳：115.3 (C-2 和 C-6)、111.6 (C-8) 和 127.6 (C-3 和 C-5)、129.9 (C-4)、136.1 (C-7) 和 155.3 (C-1)。

綜合上述資料，並與文獻值<sup>(184)</sup>比對，確定此化合物為 4-vinylphenol，分子式為  $C_8H_8O$ 。結構如下：

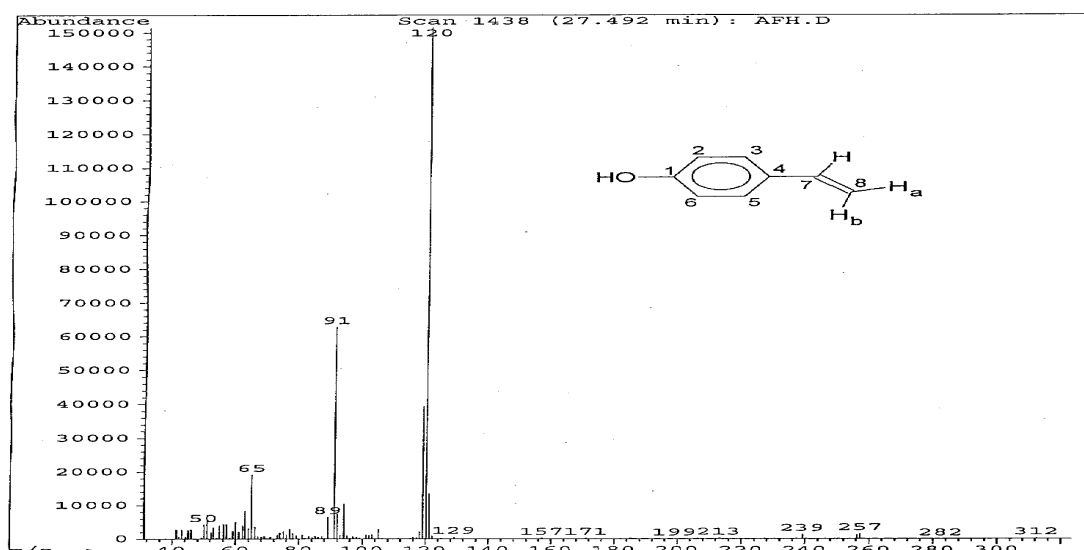
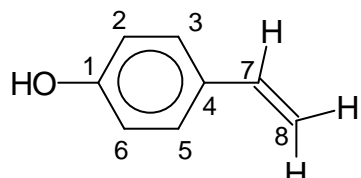
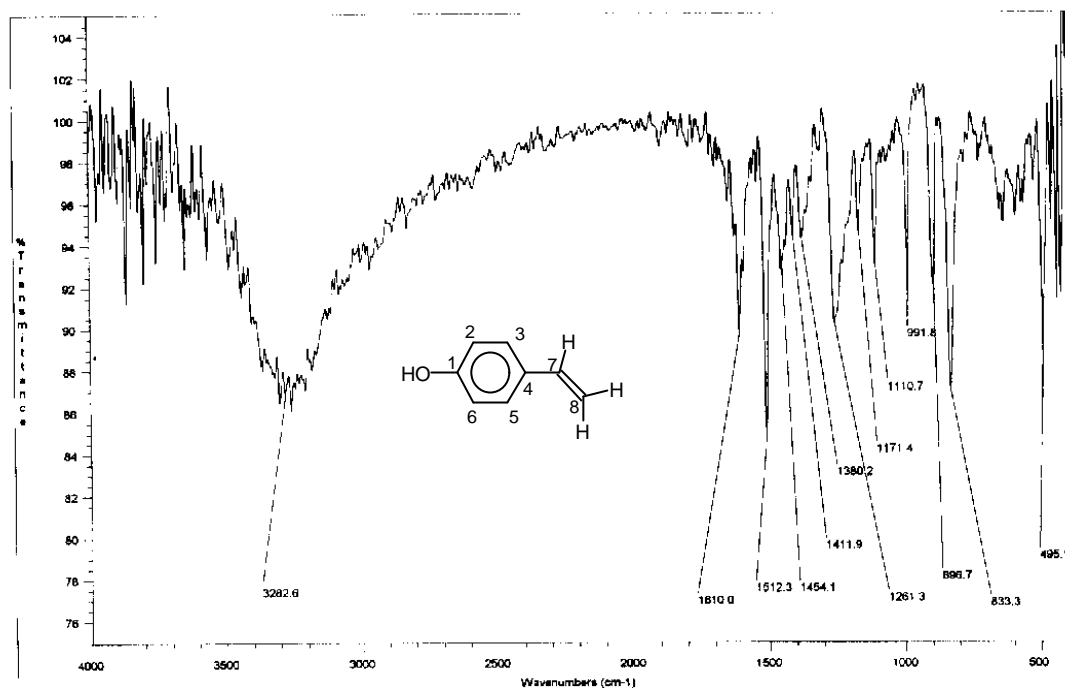
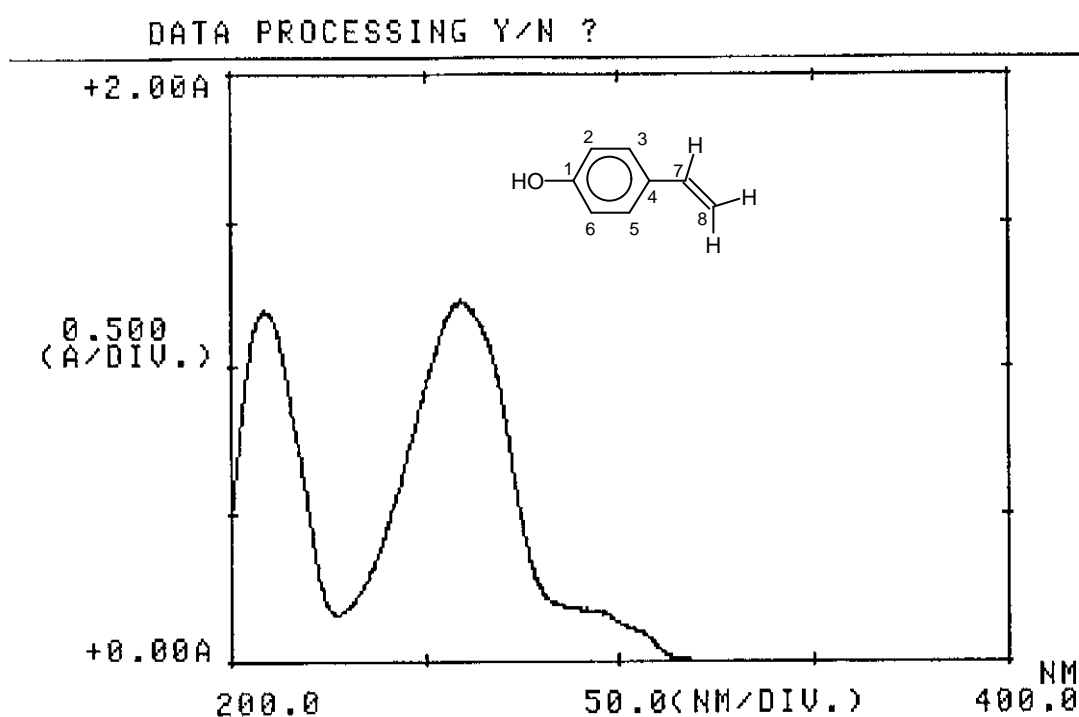


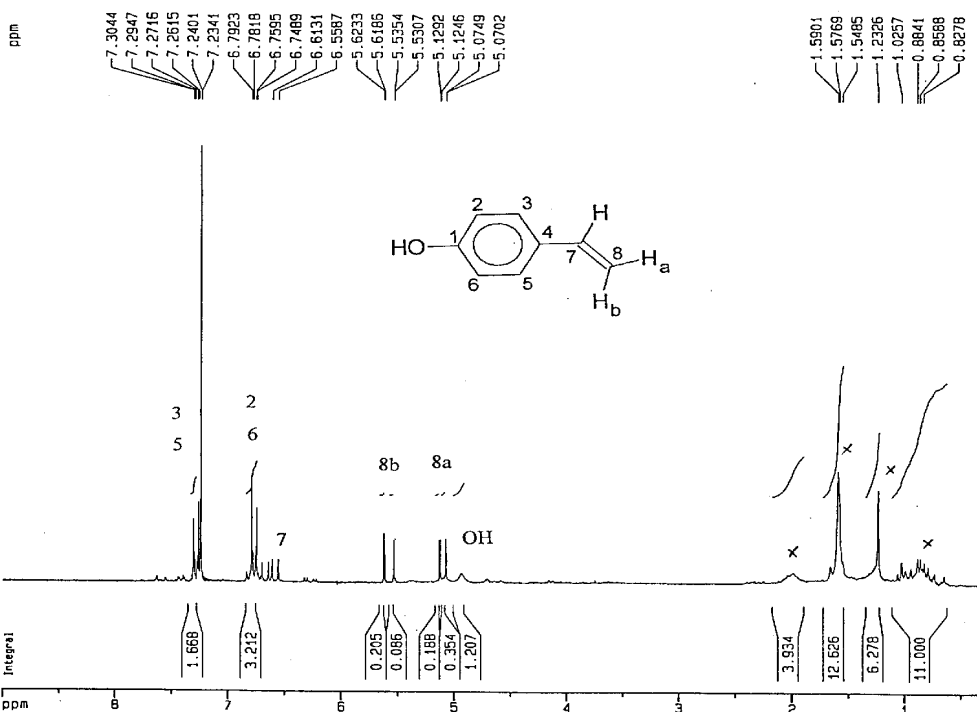
Chart 175 EIMS (70 eV) spectrum of 4-vinylphenol (39)



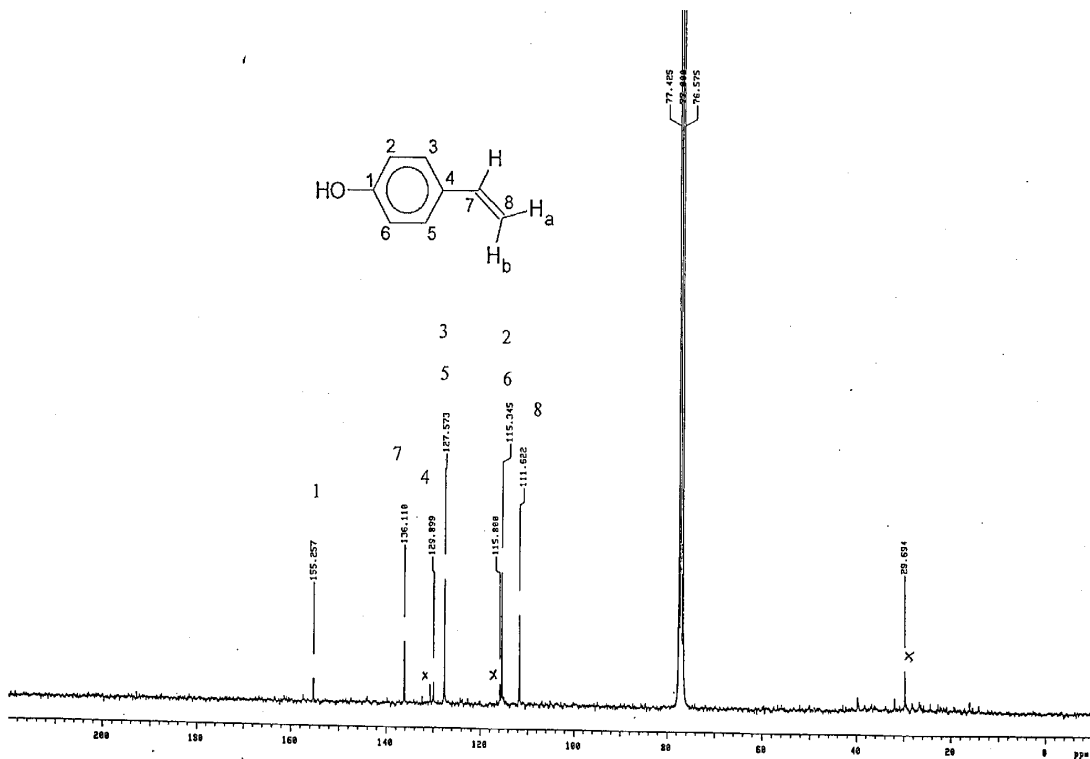
**Chart 176** IR spectrum of 4-vinylphenol (**39**)



**Chart 177** UV spectrum of 4-vinylphenol (**39**)



**Chart 178** <sup>1</sup>H-NMR (CDCl<sub>3</sub>, 300 MHz) spectrum of 4-vinylphenol (**39**)



**Chart 179** <sup>13</sup>C-NMR (CDCl<sub>3</sub>, 75 MHz) spectrum of 4-vinylphenol (**39**)

## 八、Carotenoid 類化合物

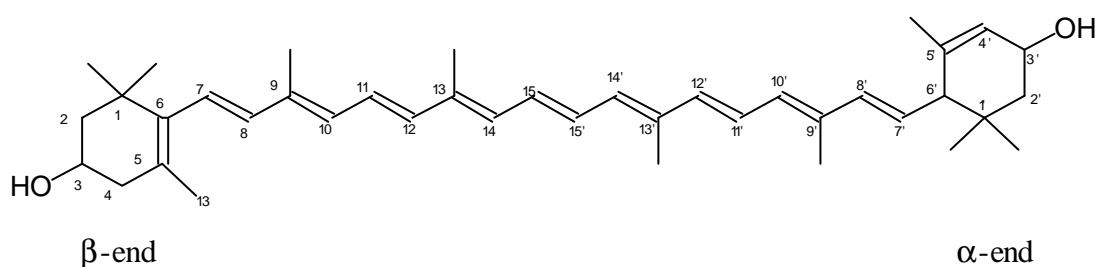
Carotenoid 類化合物通常以黃色、橘色或紅色的形態廣佈於植物和動物界，高等植物的葉子中常伴隨著 chlorophyll 類的化合物出現，在臺灣金線連中分離得到 2 個此類的化合物 lutein (40) 和 *trans*- $\beta$ -carotene (23)，在石斛中也有發現 *trans*- $\beta$ -carotene (23) 的蹤跡。

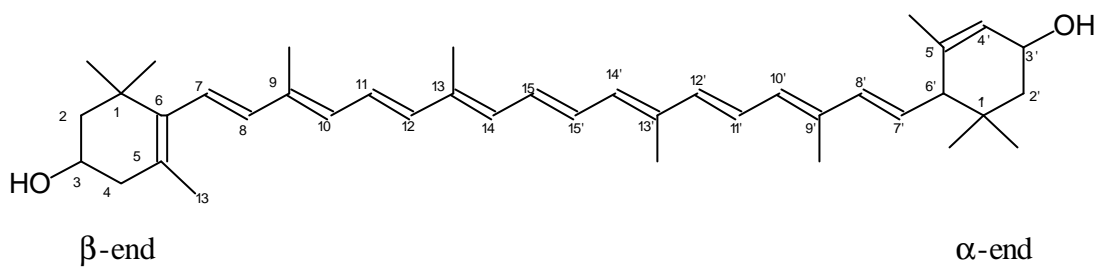
### Lutein (40) 化學結構的決定

本化合物為黃色固體，EIMS (Chart 180) 顯示分子量為  $m/z$  568。

氫譜(Chart 181)顯示主要在兩個區域 0.5-2.5 和 6.0-7.0，在高磁場區域 0.5-2.5 有許多甲基(methyl protons)的訊號存在，較低磁場 6.0-7.0 則為 olefinic 質子的訊號；碳譜也顯示較高磁場( 12-66)為環烴和甲基碳(methyl carbons)的吸收訊號，較低磁場( 124-139)為 olefinic carbons 的吸收訊號，由這些訊息可知此化合物可能為 carotenoid 類。

此化合物分子量比 *trans*-carotene 大 32，可能多 2 個氧，碳譜(Chart 182)和 DEPT(Chart 183)顯示在 65.1 和 65.9 為含氧的 methines (CH) 的吸收訊息，由此認定此化合物確實帶有 2 個 hydroxyl groups，進一步與文獻值<sup>(185)</sup>比對碳譜(Table 35)，確定此化合物為 lutein，分子式為 C<sub>40</sub>H<sub>56</sub>O<sub>2</sub>。結構如下：





**Table 35.**  $^{13}\text{C}$ -NMR Data of lutein (**40**)

no. of C	$\delta^{13}\text{C}$	$\delta^{13}\text{C}$	no. of C	$\delta^{13}\text{C}$	$\delta^{13}\text{C}$
	literature data	experimental data		literature data	experimental data
$\beta$ -end					
1	37.1	37.1	1'	34.0	34.0
2	48.4	48.4	2'	44.7	44.6
3	65.1	65.1	3'	65.9	65.9
4	42.5	42.6	4'	125.6	125.6
5	126.2	126.2	5'	137.8	137.7
6	137.6	137.6	6'	55.0	55.0
7	125.6	125.6	7'	128.6	128.7
8	138.5	138.5	8'	137.8	137.7
9	135.6	135.7	9'	135.0	135.1
10	131.3	131.3	10'	130.8	130.8
11	124.9	124.9	11'	124.5	124.5
12	137.6	137.6	12'	137.6	137.6
13	136.5	136.5	13'	136.5	136.5
14	132.6	132.6	14'	132.6	132.6
15	130.0	130.1	15'	130.0	130.1
1-Me's	28.7	28.7	1'-Me's	24.3	24.3
	30.2	30.3		29.5	29.5
5- Me	21.6	21.6	5'- Me	22.8	22.9
9-Me	12.7	12.8	9'-Me	13.2	13.1
13-Me	12.7	12.8	13'-Me	12.7	12.8

spectrum was run in  $\text{CDCl}_3$  ( $\delta$  7.24), 50MHz NMR.

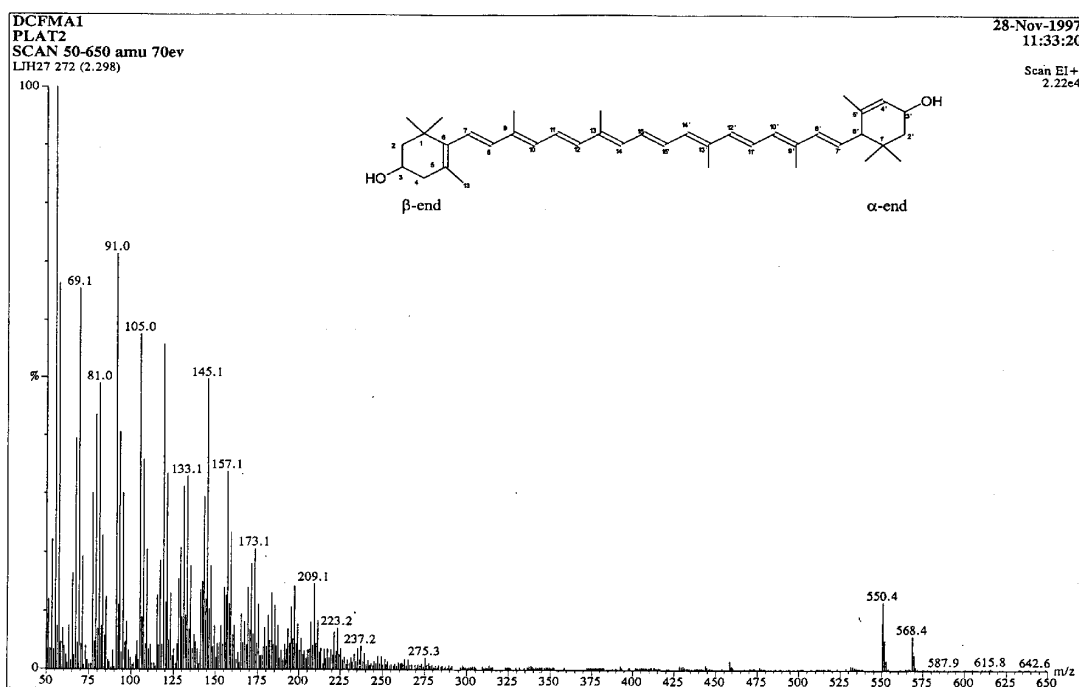


Chart 180 EIMS (70 eV) spectrum of lutein (**40**)

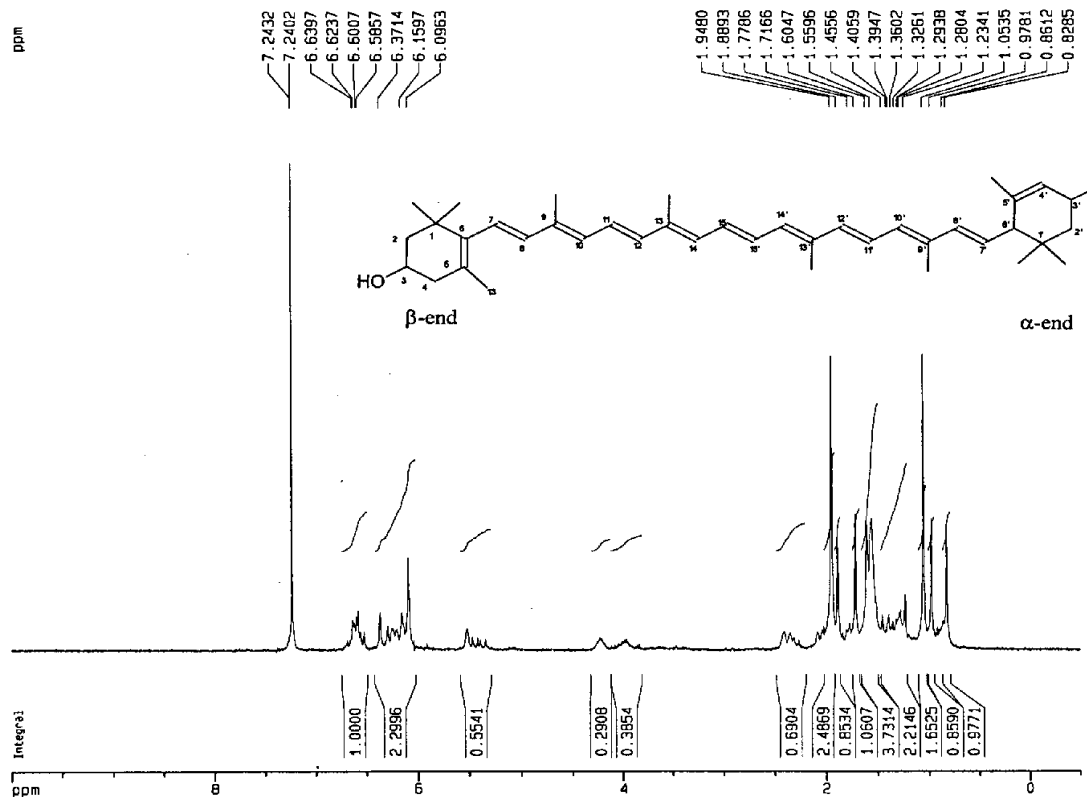
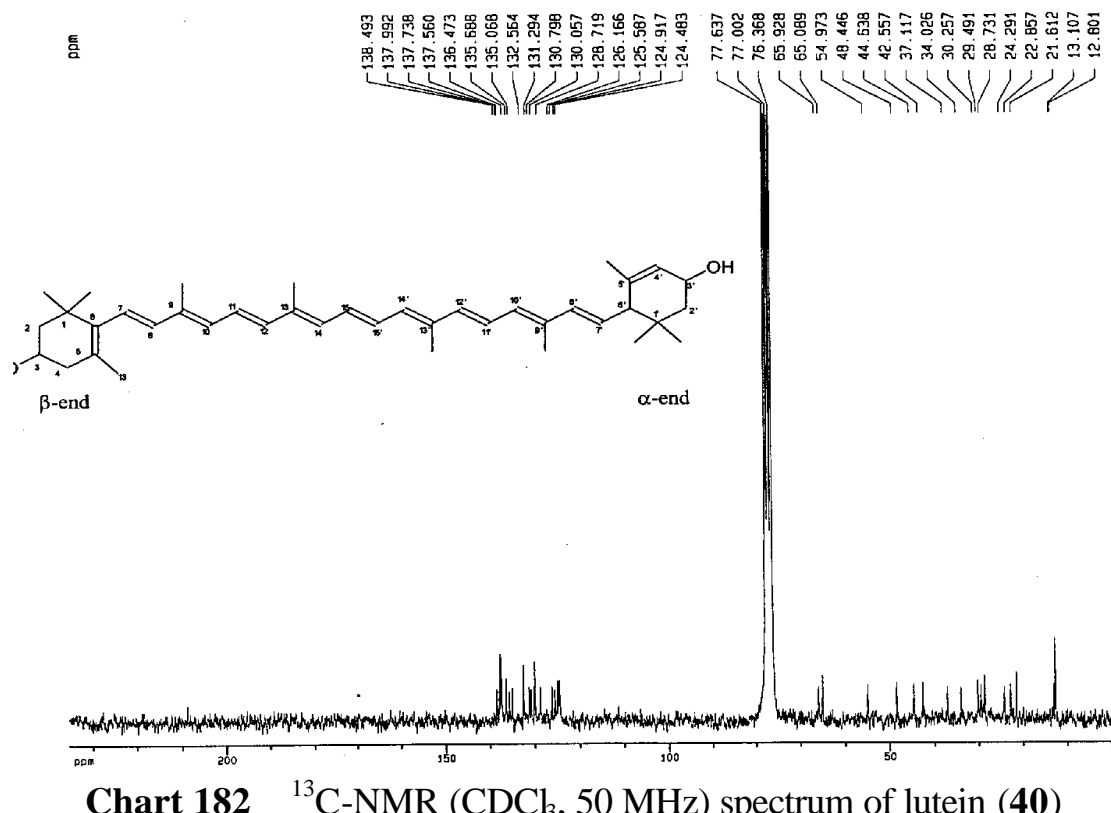
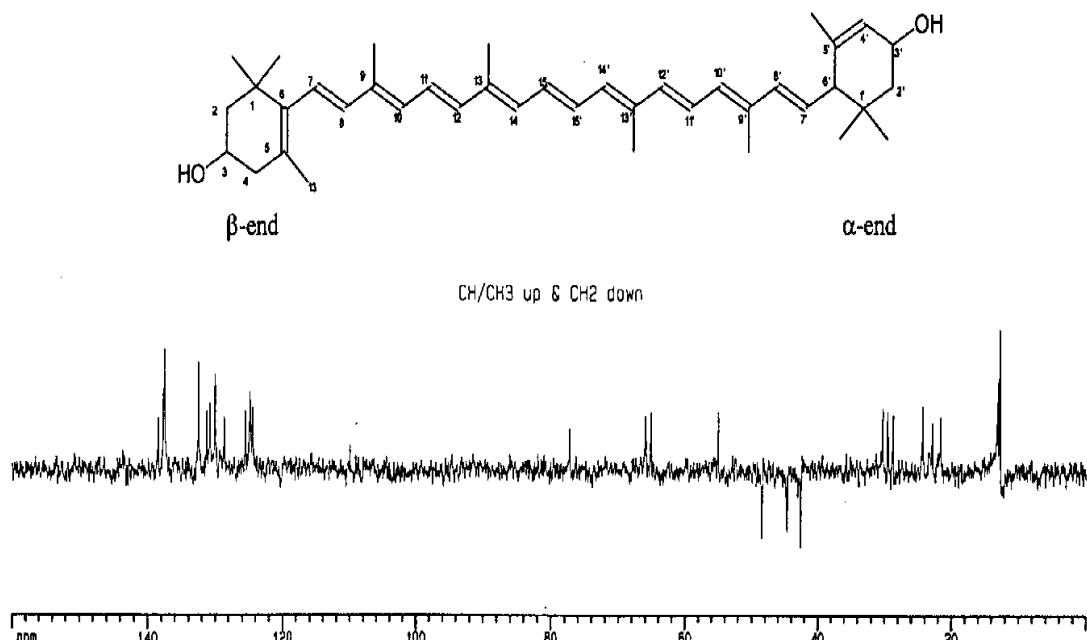


Chart 181  $^1\text{H}$ -NMR ( $\text{CDCl}_3$ , 200 MHz) spectrum of lutein (**40**)



**Chart 182**  $^{13}\text{C}$ -NMR ( $\text{CDCl}_3$ , 50 MHz) spectrum of lutein (**40**)



**Chart 183** DEPT spectrum of lutein (**40**)

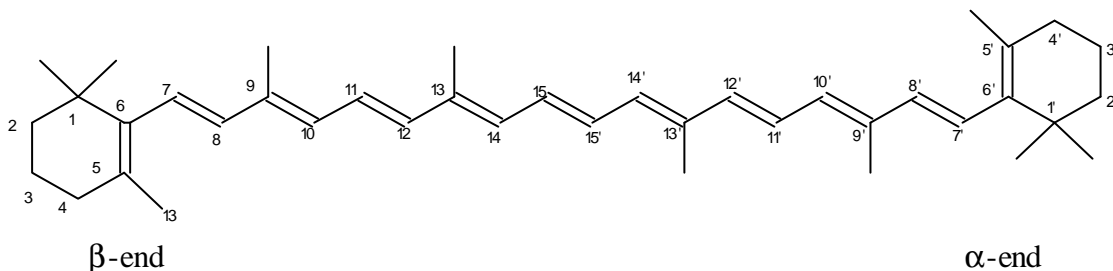
## *Trans*-β-carotene (23) 化學結構的決定

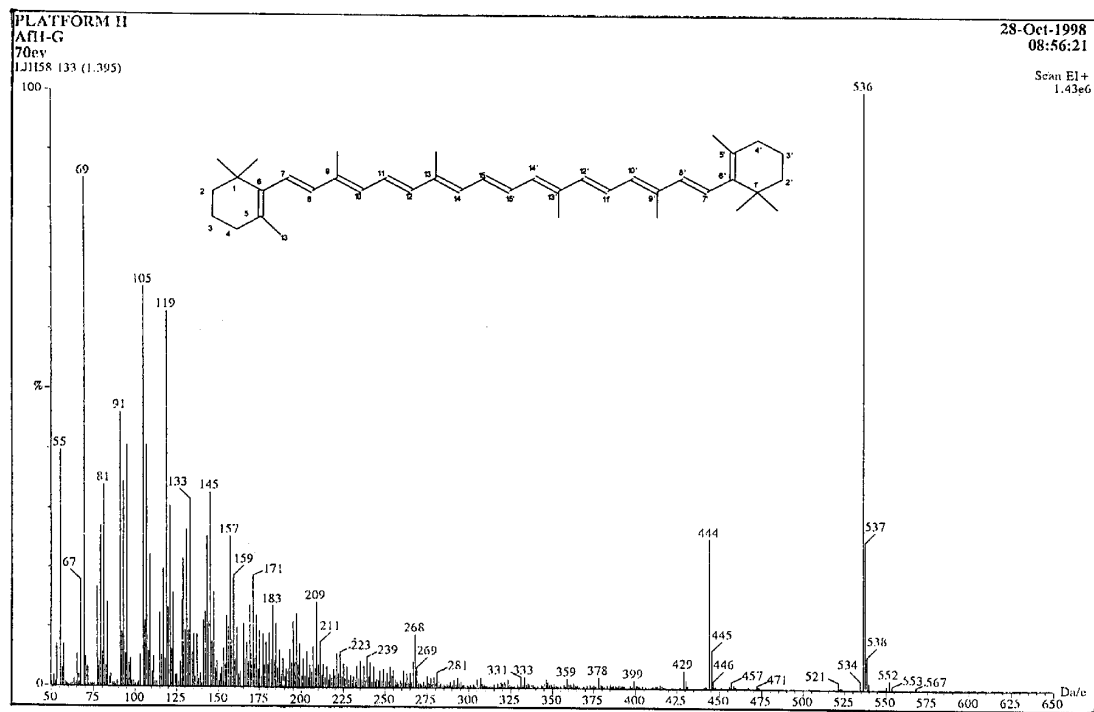
本化合物為深黃色固體，EIMS (Chart 184)顯示分子量為  $m/z$  536

IR 光譜(Chart 185)在  $2821\text{ cm}^{-1}$  為 C=C-H 的吸收， $2950$ 、 $2920$ 、 $2859$  和  $2821\text{ cm}^{-1}$  為飽和的碳氫甲基的吸收， $1728$ - $1616\text{ cm}^{-1}$  區域為共軛雙鍵的吸收。UV-visible 光譜(Chart 186)在  $281$ 、 $465$  和  $492\text{ nm}$  有最大吸收波長，為共軛雙鍵的吸收。

氫譜(Chart 187)顯示出現在兩個區域  $0.8$ - $2.0$  和  $6.0$ - $7.0$ ，在高磁場區域  $0.5$ - $2.0$  有許多甲基的訊號存在，而較低磁場  $6.0$ - $7.0$  則為 olefinic 質子的訊號；碳譜(Chart 188)也是顯示兩個區域，較高磁場( $12$ - $40$ )為環烴和甲基碳(methyl carbons)的吸收訊號，較低磁場( $125$ - $138$ )為 olefinic carbons 的吸收訊號，由這些訊息可知此化合物可能為 carotenoid 類。

此化合物進一步整理(如 Table 36)與文獻值<sup>(186)</sup>和標準品(*trans*-carotene)比對，確定此化合物為 *trans*-β-carotene，分子式為  $C_{40}H_{56}\alpha$ 。結構如下：



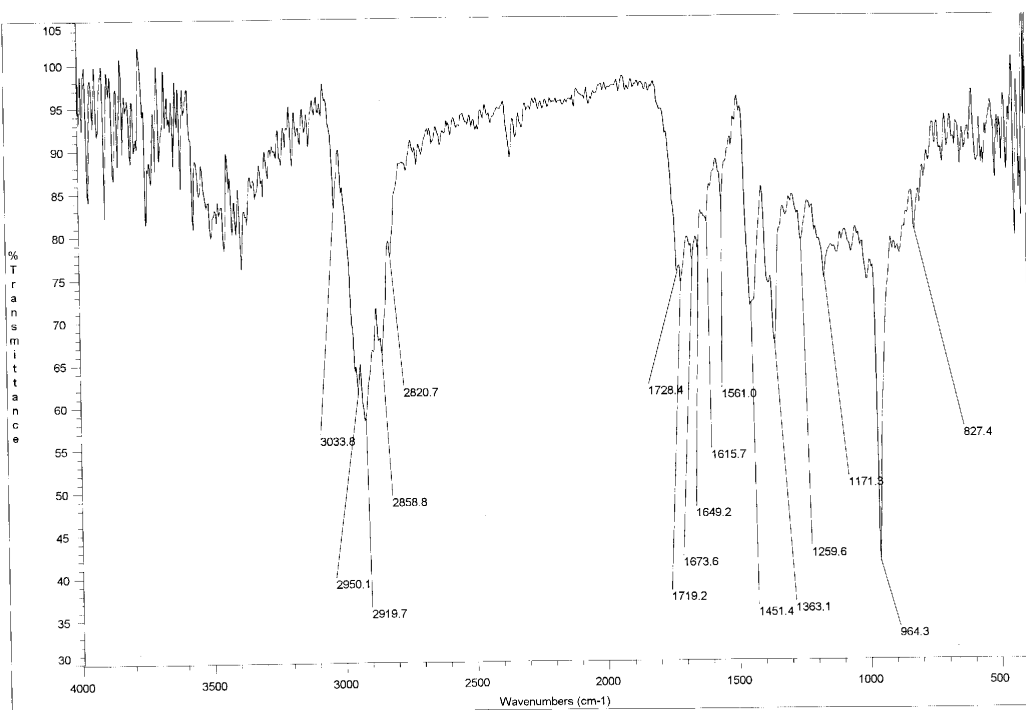


**Chart 184** EIMS (70 eV) spectrum of *trans*-β-carotene (**23**)

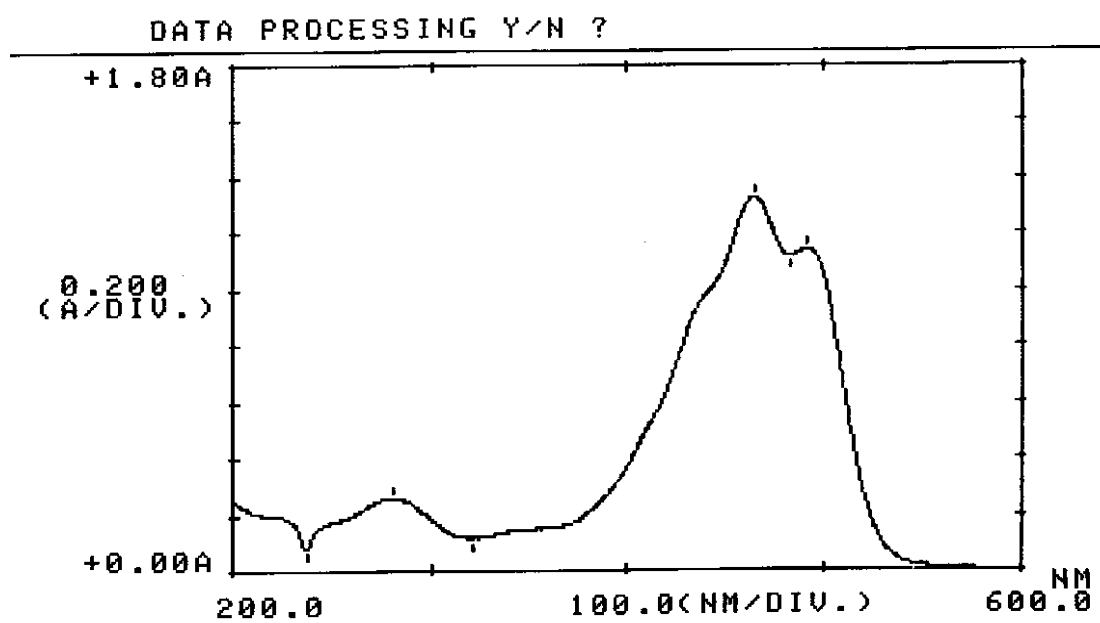
**Table 36.**  $^{13}\text{C}$ -NMR Data of *trans*-β-carotene (**23**)

no. of C	$\delta^{13}\text{C}$		no. of C	$\delta^{13}\text{C}$	
	literature data	experimental data		literature data	experimental data
$\beta$ -end					
1	34.3	34.3	1'	34.3	34.3
2	39.7	39.6	2'	39.7	39.6
3	19.3	19.3	3'	19.3	19.3
4	33.2	33.1	4'	33.2	33.1
5	129.3	129.4	5'	129.3	129.4
6	138.0	137.9	6'	138.0	137.9
7	126.7	126.6	7'	126.7	126.6
8	137.8	137.8	8'	137.8	137.8
9	136.0	136.0	9'	136.0	136.0
10	130.8	130.8	10'	130.8	130.8
11	125.0	125.0	11'	125.0	125.0
12	137.3	137.2	12'	137.3	137.2
13	136.4	136.5	13'	136.4	136.5
14	132.4	132.4	14'	132.4	132.4
15	130.0	130.0	15'	130.0	130.0
1-Me's	29.0	29.0	1'-Me's	29.0	29.0
5'-Me	21.7	21.8	5'-Me	21.7	21.8
9'-Me	12.7	12.8	9'-Me	12.7	12.8
13'-Me	12.7	12.8	13'-Me	12.7	12.8

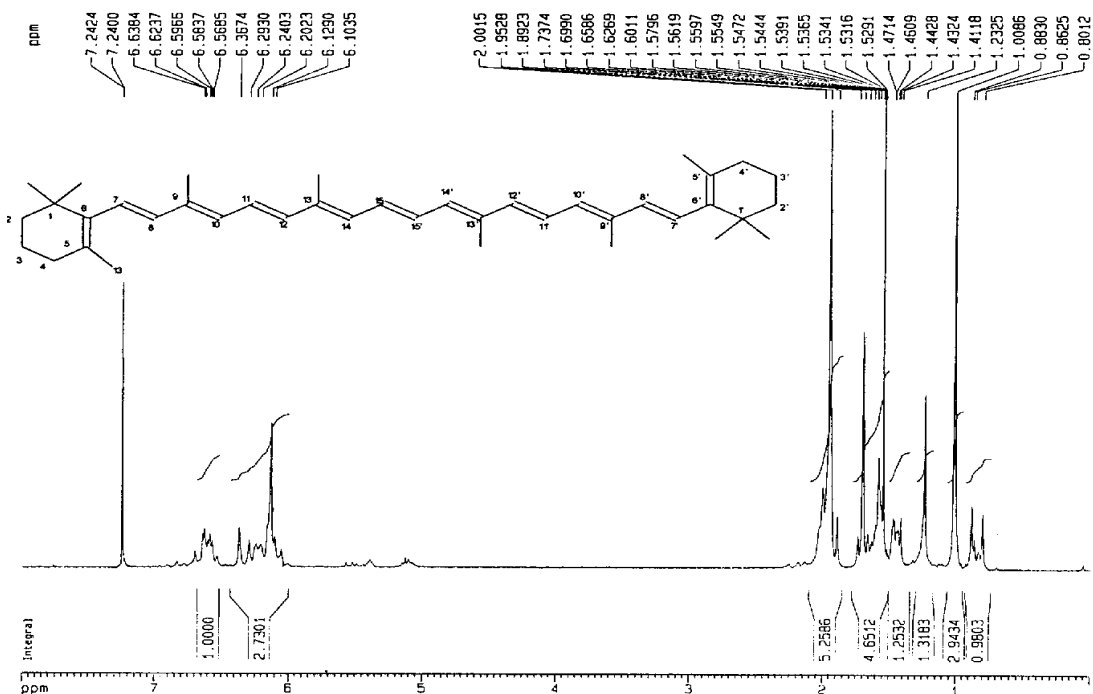
spectrum was run in  $\text{CDCl}_3$  ( $\delta 7.24$ ), 50MHz NMR.



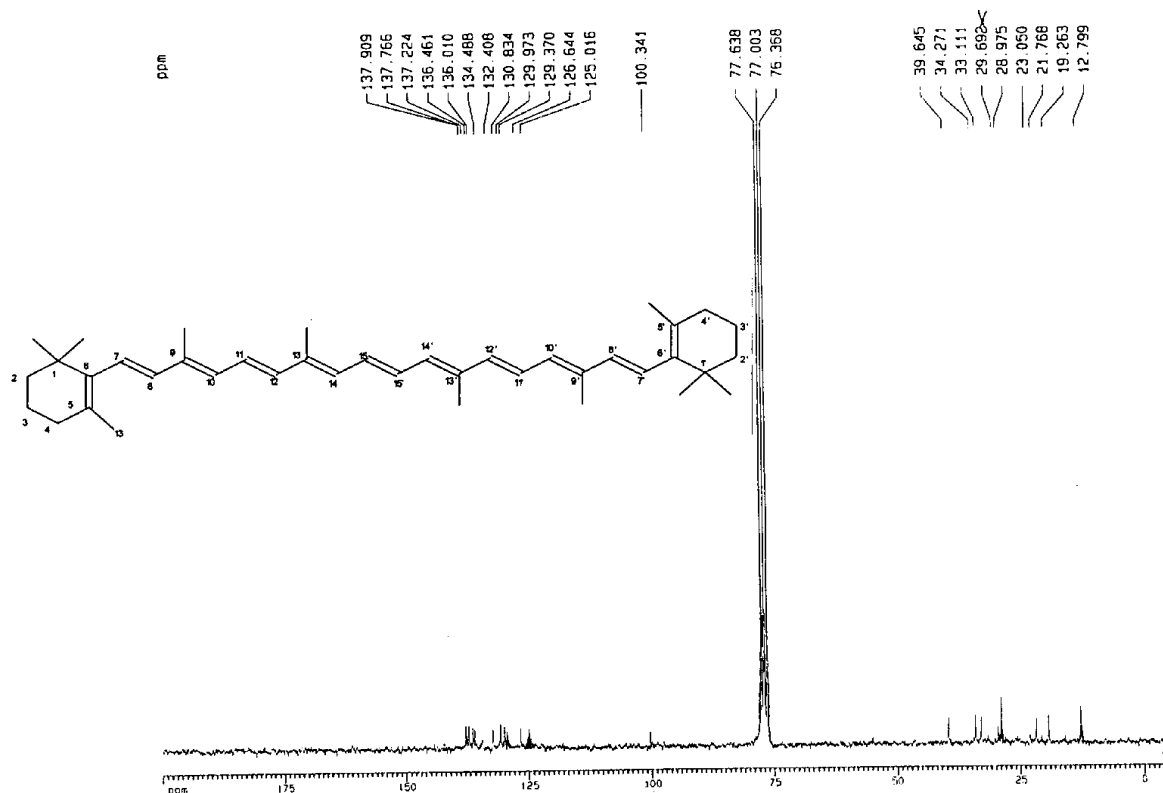
**Chart 185** IR spectrum of *trans*- $\beta$ -carotene (23)



**Chart 186** UV-visible spectrum of *trans*- $\beta$ -carotene (23)



**Chart 187**  $^1\text{H}$ -NMR ( $\text{CDCl}_3$ , 200 MHz) spectrum of *trans*- $\beta$ -carotene (23)



**Chart 188**  $^{13}\text{C}$ -NMR ( $\text{CDCl}_3$ , 50 MHz) spectrum of *trans*- $\beta$ -carotene (23)

## 九、Chlorophyll 類化合物

Chlorophyll 類化合物為綠色植物主要綠色之來源，尤其葉子的分布最多，在金線連中分離得到 2 個此類化合物 pheophytin a (6)和 pheophytin b (41)。

### Pheophytin a (6) 化學結構的決定

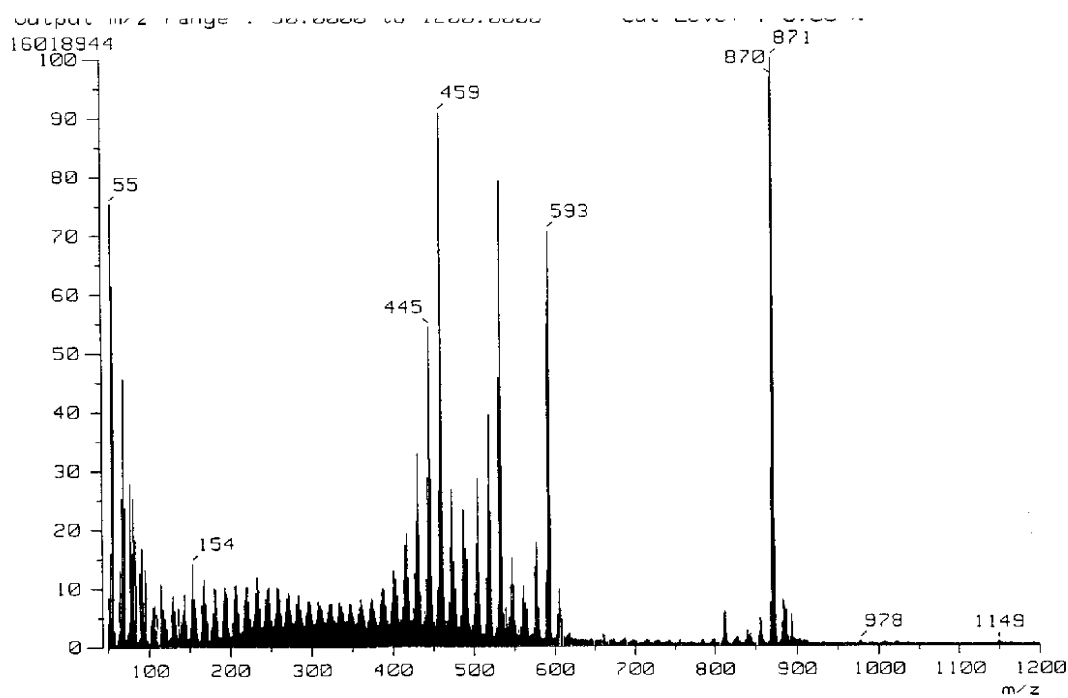
本化合物為墨綠色固體，經由 FABMS (Chart 189)顯示 $[M+H]^+$ 在  $m/z$  871。

IR 光譜(Chart 190)在  $3448\text{ cm}^{-1}$  為 NH 的吸收, 1738 1697 和 1619 為 2 個酯類及 1 個 $\alpha,\beta$ -unsaturated ketone 的吸收。UV-visible 光譜(Chart 191)在 208、229、272、329、372 (sh)、408、506、536、608 和 665 nm ( $\log E : 4.24, 4.23, 4.04, 4.28, 4.64, 4.84, 3.88, 3.85, 3.82$  和 4.51) 為 chlorophyll 類化合物的吸收。

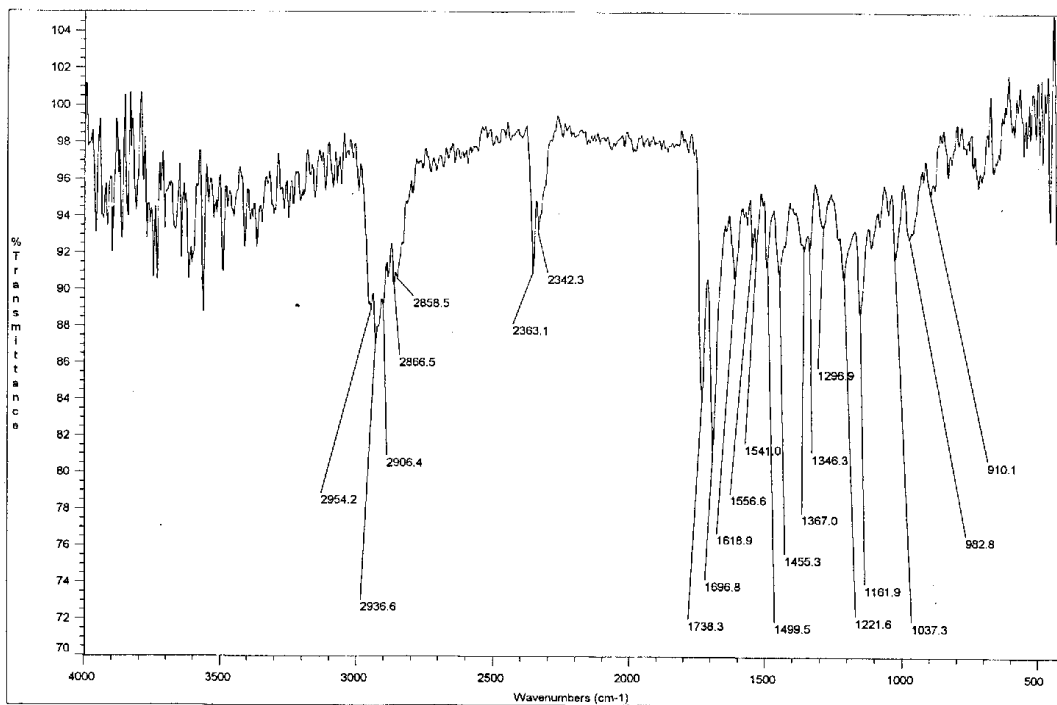
氫譜(Chart 192)顯示具有 pheophorbide a<sup>(186)</sup>和 phytol moiety<sup>(187)</sup>的吸收特徵。在 pheophorbide a moiety 方面： 0.46 (s)和-1.72 (s)為 NH 的吸收訊號， 1.83 (3H, t,  $J=7.4\text{ Hz}$ )為甲基質子 H-18<sup>1</sup> 的吸收訊號，由 COSY(Chart 193)顯示與 H-18[ 4.47 (1H, m)]耦合，在 2.21 (1H, m)、2.35 (1H, m)、2.50 (1H, m)、2.64 (1H, m)顯示為 2 組亞甲基質子相耦合，分別為 2 組 methylenes H-17<sup>1</sup> 和 H-17<sup>2</sup> 的吸收訊號，是  $\text{COCH}_2\text{CH}_2$  的支鏈， 3.07 (3H, s)、3.35 (3H, s)和 3.65 (3H, s)分別為 H-7<sup>1</sup>、H-2<sup>1</sup> 和 H-12<sup>1</sup> 三個甲基質子的吸收訊號，而 H-13<sup>2</sup>、H-20、H-5 和 H-10 四個烯基質子，由於位在環電流的去遮蔽區域內，其化學位移分別為 6.29 (s)、8.54 (s)、9.19 (s)和 9.37 (s)。此外 3.91 (3H, s)為甲氧基 H-13<sup>4</sup> 的吸收訊號，另外在 7.85 (1H, dd,  $J=17.8, 11.6\text{ Hz}$ )、6.20 (1H, dd,  $J=17.9, 1.1\text{ Hz}$ )和 6.10 (1H, dd,  $J=11.5, 1.2\text{ Hz}$ )顯示含有一個乙烯基質子(vinyl group)H-3<sup>1</sup> 和 H-3<sup>2</sup> 的吸收訊號， 4.22 (1H, d,  $J=8.5\text{ Hz}$ )為 H-17 的吸收訊號，以上經由 COSY(Chart 193)、NOESY(Chart 194)實驗印證無誤。在 phytol moiety 方面： 0.80 (3H, d,  $J=6.6\text{ Hz}$ , H-39)、0.81 (3H, d,  $J=6.7\text{ Hz}$ , H-38)、0.86 (6H, d,  $J=6.7\text{ Hz}$ , H-36 和 H-37)和 1.60 (3H, s, H-40)為 5 個甲基質子的吸收訊號， 4.52 (2H, m)為含氧的亞甲基 H-21 的吸收訊號，與 5.16 (1H, t,  $J=7.1\text{ Hz}$ )烯氫 H-22 耦合，其它質子的訊號則出現在高磁場 1.00-1.50。

**Table 37.** NMR spectral data of pheophytin a (**6**)

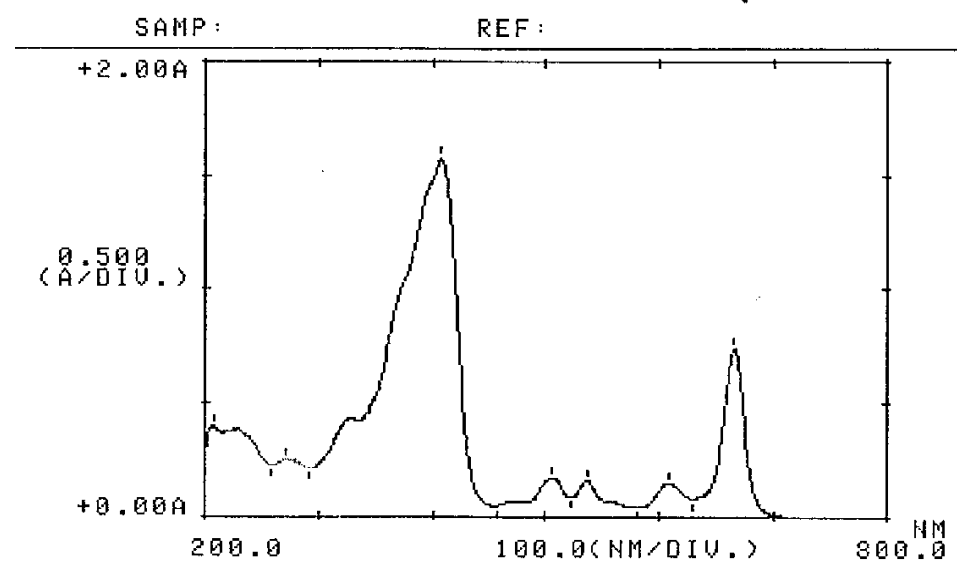
		<sup>1</sup> H	<sup>13</sup> C	COSY	NOESY	HMBC
<b>Pheophorbide a moiety</b>						
1	C		142.0			
2	C		131.7			
2 <sup>1</sup>	CH <sub>3</sub>	3.35(s)	12.0	H-3 <sup>1</sup> , H-3 <sup>2</sup> , H-20		C-1( <i>J</i> <sub>3</sub> ), C-2( <i>J</i> <sub>2</sub> ), C-3( <i>J</i> <sub>3</sub> )
3	C		136.4			
3 <sup>1</sup>	CH	7.85(dd, 17.8, 11.6)	128.9	H-3 <sup>2</sup>	H-2 <sup>1</sup> , H-3 <sup>2</sup> , H-5	C-2( <i>J</i> <sub>3</sub> ), C-3( <i>J</i> <sub>2</sub> ), C-3 <sup>2</sup> ( <i>J</i> <sub>2</sub> ), C-4( <i>J</i> <sub>3</sub> )
3 <sup>2</sup>	CH <sub>2</sub>	(E)6.20(dd, 17.9, 1.1) (Z)6.10(dd, 11.5, 1.2)	122.6	H-3 <sup>1</sup>		C-3( <i>J</i> <sub>3</sub> ), C-3 <sup>1</sup> ( <i>J</i> <sub>2</sub> )
4	C		136.1			
5	CH	9.19(s)	97.4		H-3 <sup>1</sup> , H-3 <sup>2</sup> , H-7 <sup>1</sup>	C-3( <i>J</i> <sub>3</sub> ), C-4( <i>J</i> <sub>2</sub> ), C-7( <i>J</i> <sub>3</sub> )
6	C		155.5			
7	C		136.1			
7 <sup>1</sup>	CH <sub>3</sub>	3.07(s)	11.1	H-5, H-8 <sup>2</sup>		C-6( <i>J</i> <sub>3</sub> ), C-7( <i>J</i> <sub>2</sub> ), C-8( <i>J</i> <sub>3</sub> )
8	C		145.1			
8 <sup>1</sup>	CH <sub>2</sub>	3.51(q, 7.6)	19.3	H-8 <sup>2</sup>	H-7 <sup>1</sup> , H-8 <sup>2</sup> , H-10	C-7( <i>J</i> <sub>3</sub> ), C-8( <i>J</i> <sub>2</sub> ), C-8 <sup>2</sup> ( <i>J</i> <sub>2</sub> ), C-9( <i>J</i> <sub>3</sub> )
8 <sup>2</sup>	CH <sub>3</sub>	1.63(t, 7.6)	17.3	H-8 <sup>1</sup>	H-7 <sup>1</sup> , H-8 <sup>1</sup> , H-10	C-8( <i>J</i> <sub>3</sub> ), C-8 <sup>1</sup> ( <i>J</i> <sub>2</sub> )
9	C		150.9			
10	CH	9.37(s)	104.3		H-8 <sup>1</sup> , H-8 <sup>2</sup> , H-12 <sup>1</sup>	C-8( <i>J</i> <sub>3</sub> ), C-9( <i>J</i> <sub>2</sub> ), C-11( <i>J</i> <sub>2</sub> ), C-12( <i>J</i> <sub>3</sub> )
11	C		137.9			
12	C		128.9			
12 <sup>1</sup>	CH <sub>3</sub>	3.65(s)	12.0	H-10		C-11( <i>J</i> <sub>3</sub> ), C-12( <i>J</i> <sub>2</sub> ), C-13( <i>J</i> <sub>3</sub> )
13	C		128.9			
13 <sup>1</sup>	C		189.6			
13 <sup>2</sup>	CH	6.29(s)	64.7	H-17, H-17 <sup>1</sup>		C-13( <i>J</i> <sub>3</sub> ), C-13 <sup>1</sup> ( <i>J</i> <sub>2</sub> ), C-13 <sup>3</sup> ( <i>J</i> <sub>2</sub> ), C-14( <i>J</i> <sub>3</sub> ), C-15( <i>J</i> <sub>2</sub> )
13 <sup>3</sup>	CO		169.6			
13 <sup>4</sup>	OCH <sub>3</sub>	3.91(s)	52.8	H-13 <sup>2</sup>		C-13 <sup>3</sup> ( <i>J</i> <sub>3</sub> )
14	C		149.6			
15	C		105.2			
16	C		161.2			
17	CH	4.22(d, 8.5)	51.1	H-17 <sup>1</sup>	H-13 <sup>2</sup> , H-17 <sup>1</sup> , H-17 <sup>2</sup> , H-18, C-16( <i>J</i> <sub>2</sub> ), C-17 <sup>1</sup> ( <i>J</i> <sub>2</sub> ), C-18 <sup>1</sup> ( <i>J</i> <sub>2</sub> ) H-18 <sup>1</sup>	
17 <sup>1</sup>	CH <sub>2</sub>	2.64(m), 2.35(m)	29.8	H-17, H-17 <sup>2</sup>	H-13 <sup>2</sup> , H-17, H-17 <sup>2</sup> , H-18	C-18( <i>J</i> <sub>3</sub> ), C-17 <sup>2</sup> ( <i>J</i> <sub>2</sub> ), C-17 <sup>3</sup> ( <i>J</i> <sub>3</sub> )
17 <sup>2</sup>	CH <sub>2</sub>	2.50(m), 2.21(m)	31.2	H-17 <sup>1</sup>	H-17 <sup>1</sup> , H-18	C-17( <i>J</i> <sub>3</sub> ), C-17 <sup>1</sup> ( <i>J</i> <sub>2</sub> ), C-17 <sup>3</sup> ( <i>J</i> <sub>2</sub> )
17 <sup>3</sup>	CO		172.9			
18	CH	4.47(m)	50.1	H-18 <sup>1</sup>	H-17, H-17 <sup>1</sup> , H-17 <sup>2</sup> , H-18 <sup>1</sup> , C-16( <i>J</i> <sub>3</sub> ), C-17( <i>J</i> <sub>2</sub> ), C-17 <sup>1</sup> ( <i>J</i> <sub>3</sub> ), C-18 <sup>1</sup> ( <i>J</i> <sub>2</sub> ) H-20	
18 <sup>1</sup>	CH <sub>3</sub>	1.83(d, 7.4)	22.6	H-18	H-17, H-18, H-20	C-17( <i>J</i> <sub>3</sub> ), C-19( <i>J</i> <sub>3</sub> )
19	C		172.2			
20	CH	8.54(s)	93.1		H-2 <sup>1</sup> , H-18, H-18 <sup>1</sup>	C-1( <i>J</i> <sub>2</sub> ), C-2( <i>J</i> <sub>3</sub> ), C-18( <i>J</i> <sub>3</sub> )
	NH	0.46(s)				
		-1.72(s)				
<b>Phytol moiety</b>						
21	OCH <sub>2</sub>	4.52(m)	61.5	H-22	H-22, H-40	C-17 <sup>3</sup> ( <i>J</i> <sub>3</sub> ), C-22( <i>J</i> <sub>2</sub> ), C-23( <i>J</i> <sub>2</sub> )
22	CH	5.16(t, 7.1)	117.7	H-21	H-21, H-24, H-25	C-24( <i>J</i> <sub>3</sub> ), C-40( <i>J</i> <sub>3</sub> )
23	C		142.8			
24	CH <sub>2</sub>	1.88(m)	39.8	H-25	H-22, H-25, H-26, H-40	C-22( <i>J</i> <sub>3</sub> ), C-23( <i>J</i> <sub>2</sub> ), C-25( <i>J</i> <sub>2</sub> ), C-26( <i>J</i> <sub>3</sub> ), C-40( <i>J</i> <sub>3</sub> ) C-23( <i>J</i> <sub>3</sub> ), C-24( <i>J</i> <sub>2</sub> )
25	CH <sub>2</sub>	1.22(m)	25.0	H-24		
26	CH <sub>2</sub>	1.21(m)	36.6		H-39	
27	CH	1.30(m)	32.7	H-39	H-39	
28	CH <sub>2</sub>	1.00(m)	37.3		H-39	
29	CH <sub>2</sub>	1.00(m)	24.4			
30	CH <sub>2</sub>	1.00(m)	37.4		H-38	
31	CH	1.30(m)	32.6	H-38	H-38	
32	CH <sub>2</sub>	1.00(m)	37.2	H-33	H-33, H-38	
33	CH <sub>2</sub>	1.20(m)	24.7	H-32, H-34	H-32, H-36, H-37	
34	CH <sub>2</sub>	1.11(m)	39.3	H-33, H-35	H-36, H-37	C-32( <i>J</i> <sub>3</sub> ), C-33( <i>J</i> <sub>2</sub> ), C-35( <i>J</i> <sub>2</sub> ), C-36( <i>J</i> <sub>3</sub> ), C-37( <i>J</i> <sub>3</sub> )
35	CH	1.49(m)	27.9	H-34, H-36, H-36, H-37		C-33( <i>J</i> <sub>3</sub> ), C-34( <i>J</i> <sub>2</sub> ), C-36( <i>J</i> <sub>2</sub> ), C-37( <i>J</i> <sub>2</sub> )
36	CH <sub>3</sub>	0.86(d, 6.7)	22.7	H-35	H-34, H-33, H-35	C-34( <i>J</i> <sub>3</sub> ), C-35( <i>J</i> <sub>2</sub> ), C-37( <i>J</i> <sub>3</sub> )
37	CH <sub>3</sub>	0.86(d, 6.7)	23.1	H-35	H-33, H-34, H-35	C-34( <i>J</i> <sub>3</sub> ), C-35( <i>J</i> <sub>2</sub> ), C-36( <i>J</i> <sub>3</sub> )
38	CH <sub>3</sub>	0.81(d, 6.7)	19.7	H-31	H-30, H-31, H-32	C-30( <i>J</i> <sub>3</sub> ), C-31( <i>J</i> <sub>2</sub> ), C-32( <i>J</i> <sub>3</sub> )
39	CH <sub>3</sub>	0.80(d, 6.6)	19.6	H-27	H-26, H-27, H-28	C-26( <i>J</i> <sub>3</sub> ), C-27( <i>J</i> <sub>2</sub> ), C-28( <i>J</i> <sub>3</sub> )
40	CH <sub>3</sub>	1.60(s)	16.3	H-24		C-22( <i>J</i> <sub>3</sub> ), C-23( <i>J</i> <sub>2</sub> ), C-24( <i>J</i> <sub>3</sub> )



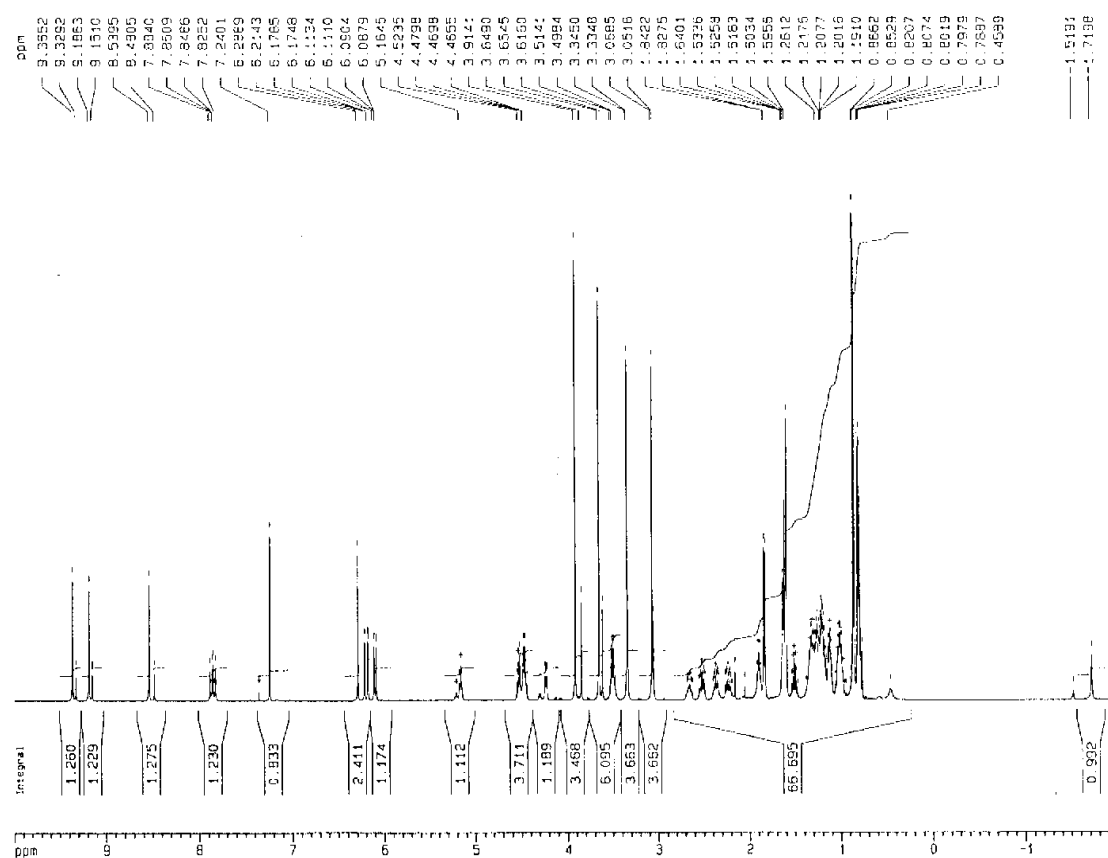
**Chart 189** positive FABMS spectrum of pheophytin a (**6**)



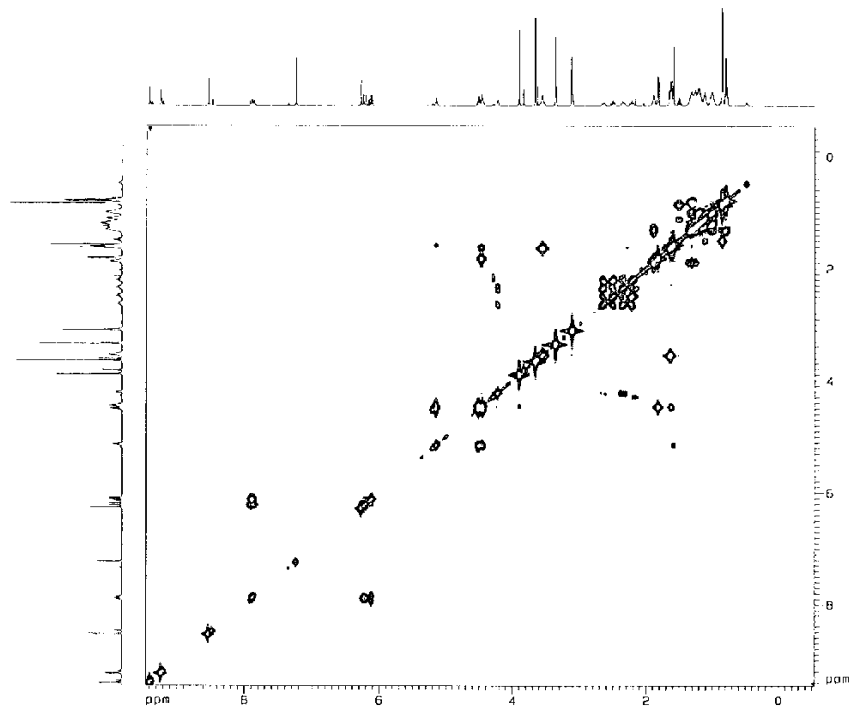
**Chart 190** IR spectrum of pheophytin a (**6**)



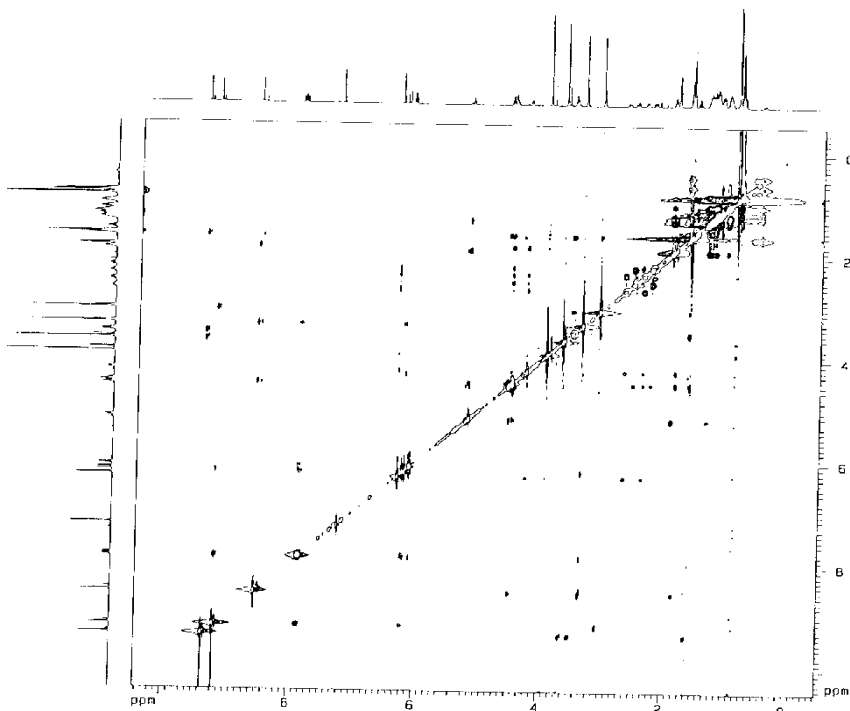
**Chart 191** UV-visible spectrum of pheophytin a (6)



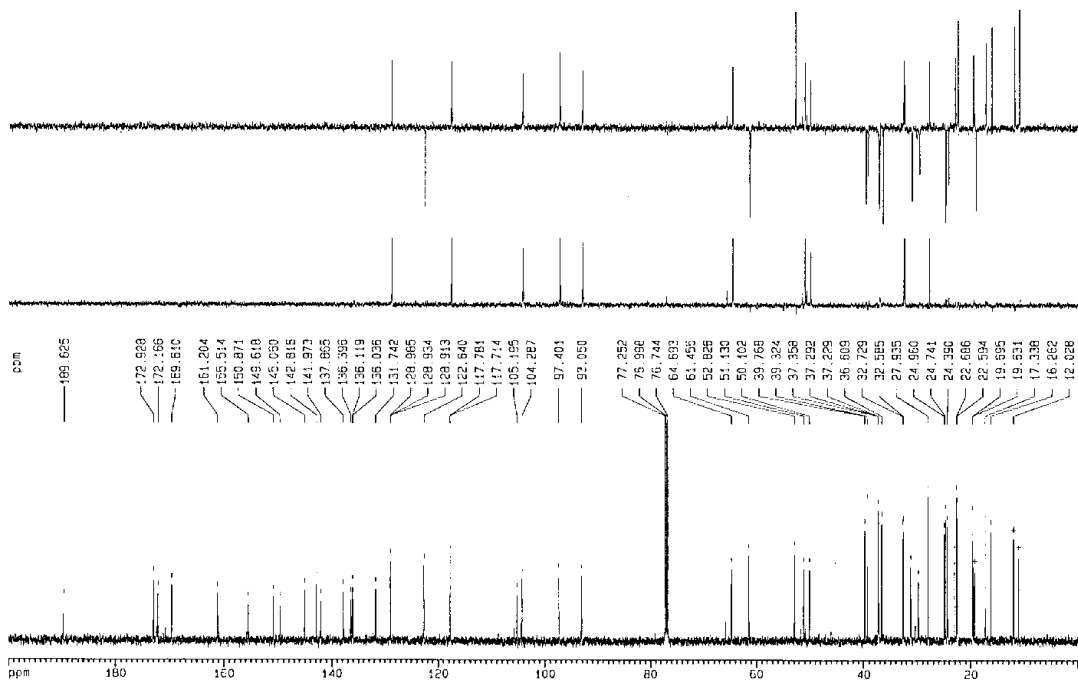
**Chart 192**  $^1\text{H}$ -NMR ( $\text{CDCl}_3$ , 500 MHz) spectrum of pheophytin a (6)



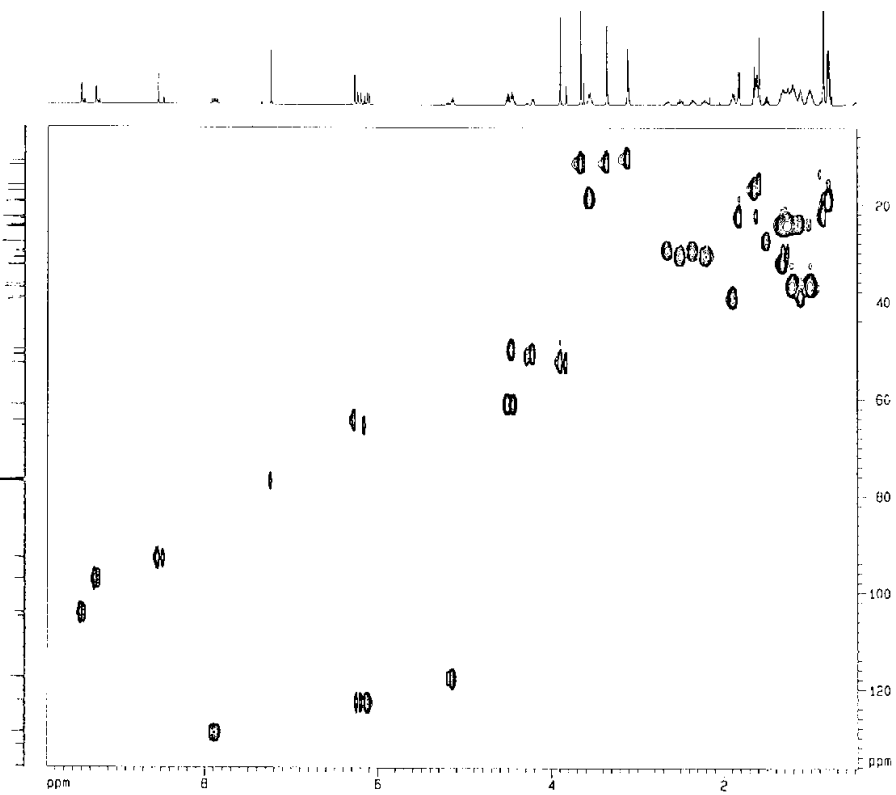
**Chart 193** COSY spectrum of pheophytin a (6)



**Chart 194** NOESY spectrum of pheophytin a (6)

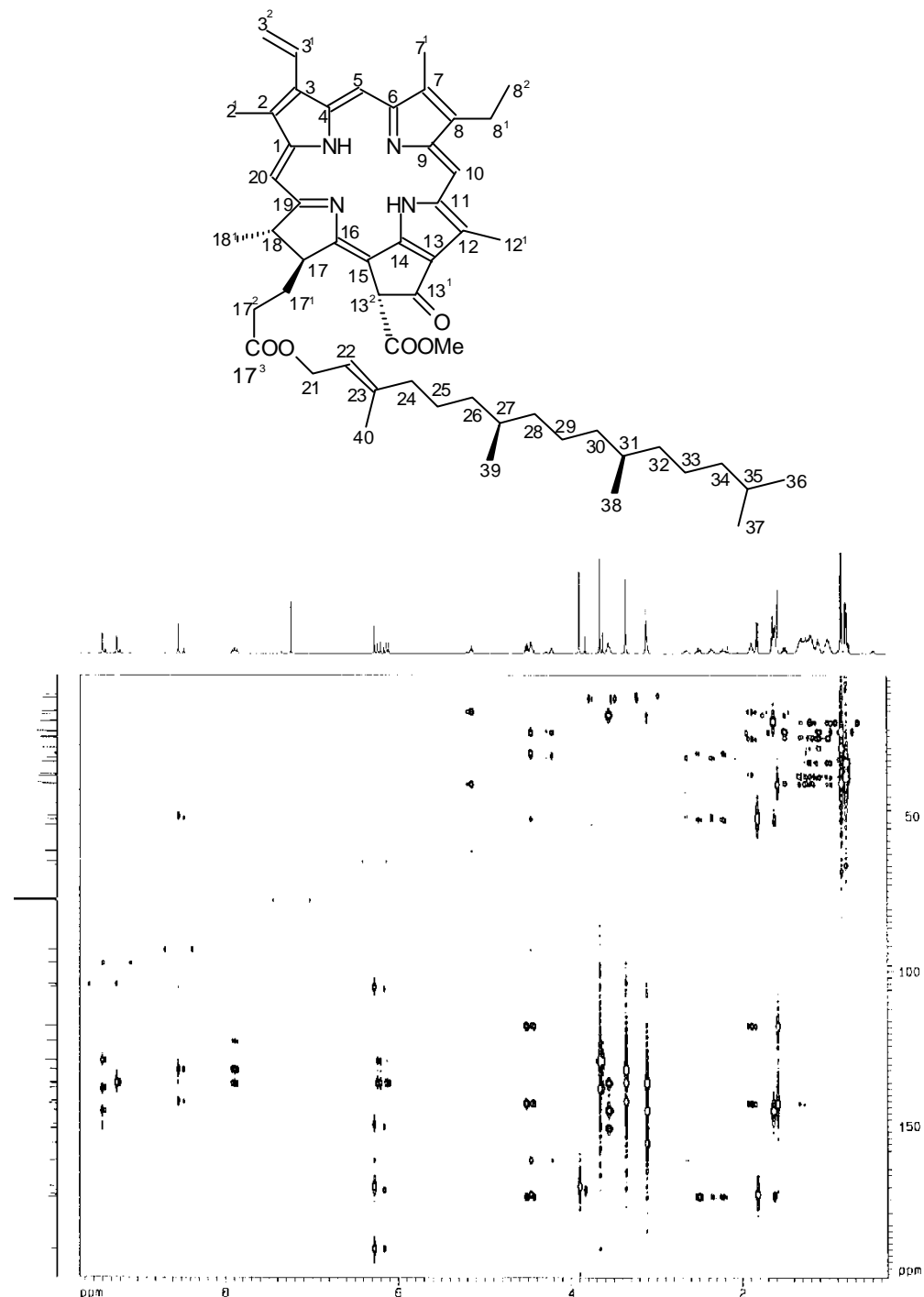


**Chart 195**  $^{13}\text{C}$ -NMR ( $\text{CDCl}_3$ , 125 MHz) spectrum of pheophytin a (6)



**Chart 196** HMQC spectrum of pheophytin a (6)

碳譜與 DEPT 實驗(Chart 195)顯示具有 55 個碳的吸收訊號，包括 1 個 methoxyl , 10 個 methyls , 14 個 methylenes , 11 個 methines 和 19 個四級碳。而經由 HMQC(Chart 196)和 HMBC(Chart 197)的光譜決定碳的相關位置。綜合上述資料，整理如 Table 37，並與文獻<sup>(188)</sup>比對，確定此化合物為 pheophytin a，分子式為 C<sub>55</sub>H<sub>74</sub>N<sub>4</sub>O<sub>5</sub>，本研究為第一次以 1D 和 2D NMR 技術來研判此結構。pheophytin a 結構如下：



**Chart 197** HMBC spectrum of pheophytin a (6)

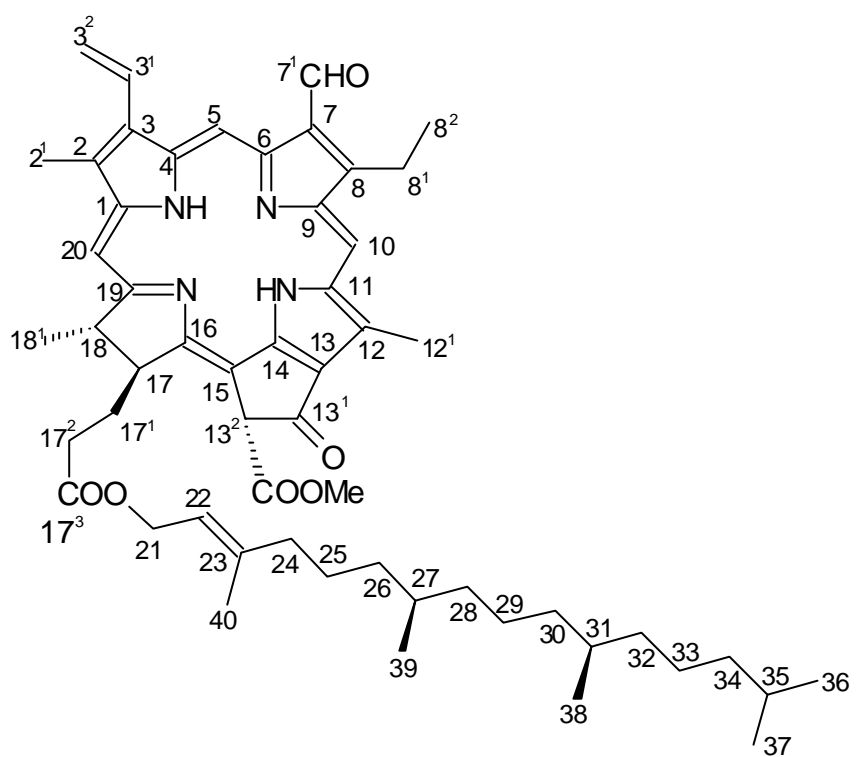
## Pheophytin b (41) 化學結構的決定

本化合物為綠色固體，經由 FABMS (Chart 198)顯示 $[M]^+$ 在  $m/z$  884。

IR 光譜(Chart 199)在  $3448\text{ cm}^{-1}$  為 NH 的吸收，1737、1702、1663 和 1616 為 2 個酯類及 1 個醛和 1 個 $\alpha,\beta$ -unsaturated ketone 的吸收。UV-visible 光譜(Chart 200)在 207、233、281、328、373 (sh)、417、435、525、600 和 655 nm ( $\log \epsilon$  : 4.13、4.11、4.03、4.16、4.25、4.56、4.74、3.71、3.61 和 4.14)為 chlorophyll 類化合物的吸收。

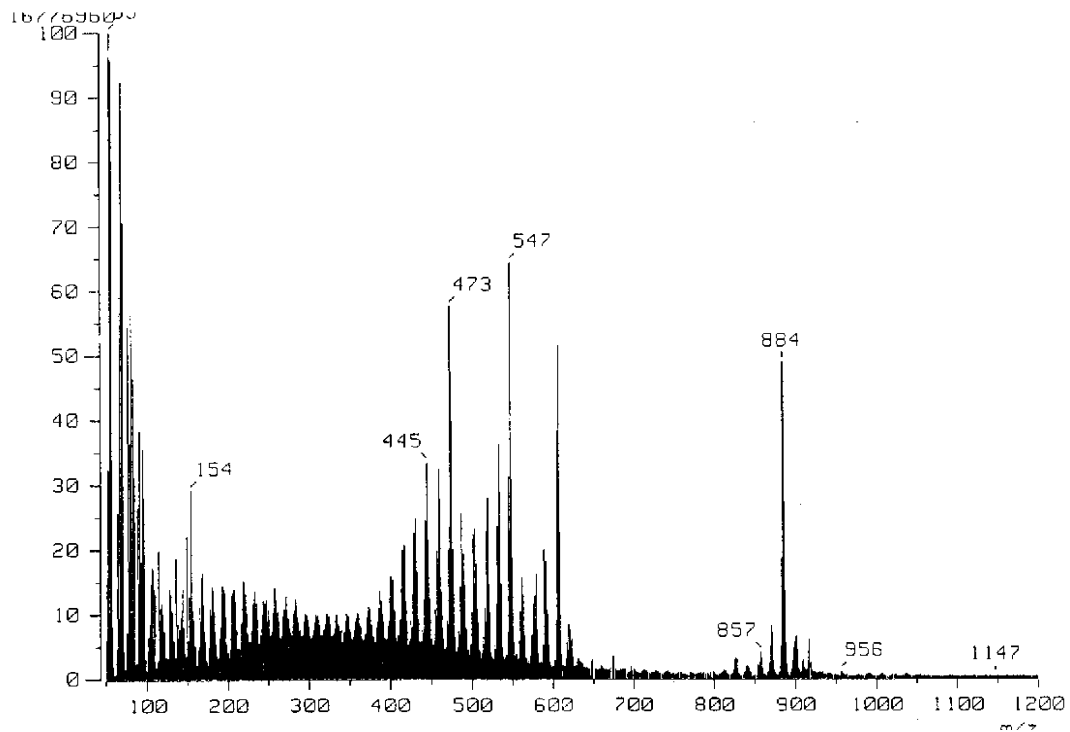
氫譜(Chart 201)顯示具有 pheophorbide b<sup>(189)</sup>和 phytol moiety<sup>(187)</sup>的吸收特徵。在 pheophorbide b moiety 方面：0.31 (s)和-1.75 (s)為 NH 的吸收訊號，1.84 (3H, d,  $J=7.4\text{ Hz}$ )為甲基質子 H-18<sup>1</sup> 的吸收訊號，由 COSY(Chart 202)顯示與 H-18[ 4.45 (1H, q,  $J=7.3\text{ Hz}$ )]耦合，在 2.26 (1H, m)、2.33 (1H, m)、2.50 (1H, m)、2.65 (1H, m)顯示為 2 組亞甲基質子互相耦合，分別為 2 組 methylenes H-17<sup>1</sup> 和 H-17<sup>2</sup> 的吸收訊號，是  $\text{COCH}_2\text{CH}_2$  的支鏈，3.34 (3H, s)和 3.59 (3H, s)分別為 H-2<sup>1</sup> 和 H-12<sup>1</sup> 兩個甲基質子的吸收訊號，10.90 (1H, s)為 1 醛基質子 H-7<sup>1</sup> 的吸收訊號，而 H-13<sup>2</sup>、H-20、H-5 和 H-10 四個烯基質子，由於位在環電流的去遮蔽區域內，其化學位移分別為 6.23 (s)、8.51 (s)、10.09 (s)和 9.33 (s)，此外 3.92 (3H, s)為甲氧基的吸收訊號，另外在 7.90 (1H, dd,  $J=17.8, 11.6\text{ Hz}$ )、6.31 (1H, d,  $J=17.9\text{ Hz}$ )和 6.17 (1H, dd,  $J=11.6, 0.9\text{ Hz}$ )顯示含有一個乙烯基質子(vinyl group)H-3<sup>1</sup> 和 H-3<sup>2</sup> 的吸收訊號，4.20 (1H, m)為 H-17 的吸收訊號，以上經由 COSY(Chart 202) NOESY (Chart 203)實驗證實無誤。在 phytol moiety 方面：0.77 (3H, d,  $J=6.4\text{ Hz}$ , H-39)、0.78 (3H, d,  $J=6.1\text{ Hz}$ , H-38)、0.83 (6H, d,  $J=6.6\text{ Hz}$ , H-36 和 H-37)和 1.58 (3H, s, H-40)為 5 個甲基質子的吸收訊號，4.51 (2H, d,  $J=7.1\text{ Hz}$ )為含氧的亞甲基 H-21 的吸收訊號，與 5.15 (1H, t,  $J=7.1\text{ Hz}$ )烯氫 H-22 耦合，其它質子的訊號則出現在高磁場 0.70-1.50。

碳譜與 DEPT 實驗(Chart 204)顯示具有 55 個碳的吸收訊號，包括 1 個 methoxyl, 9 個 methyls, 14 個 methylenes, 12 個 methines 和 19 個四級碳 而經由 HMBC (Chart 205)和 HMQC (Chart 206-208)的光譜決定碳氫的相關位置。綜合上述資料，整理如 Table 38，並與文獻<sup>(190)</sup>比對，確定此化合物為 pheophytin b，分子式為  $\text{C}_{55}\text{H}_{72}\text{N}_4\text{O}_6$ ，本研究為第一次以 1D 和 2D NMR 技術來研判此結構。pheophytin b 結構如下：

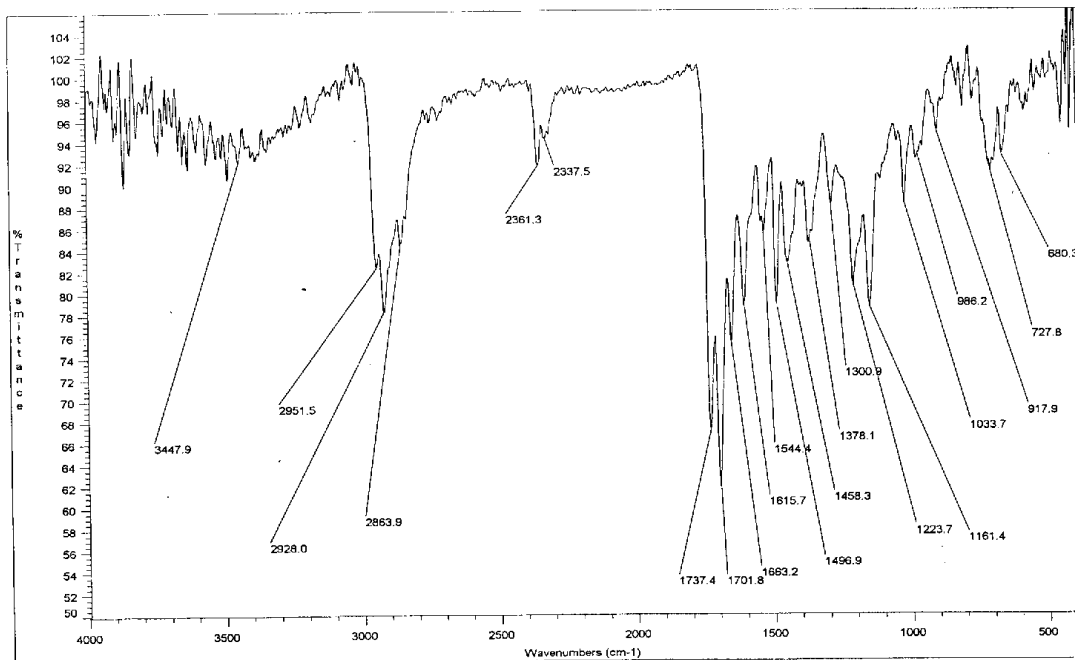


**Table 38.** NMR spectral data of pheophytin b (**41**)

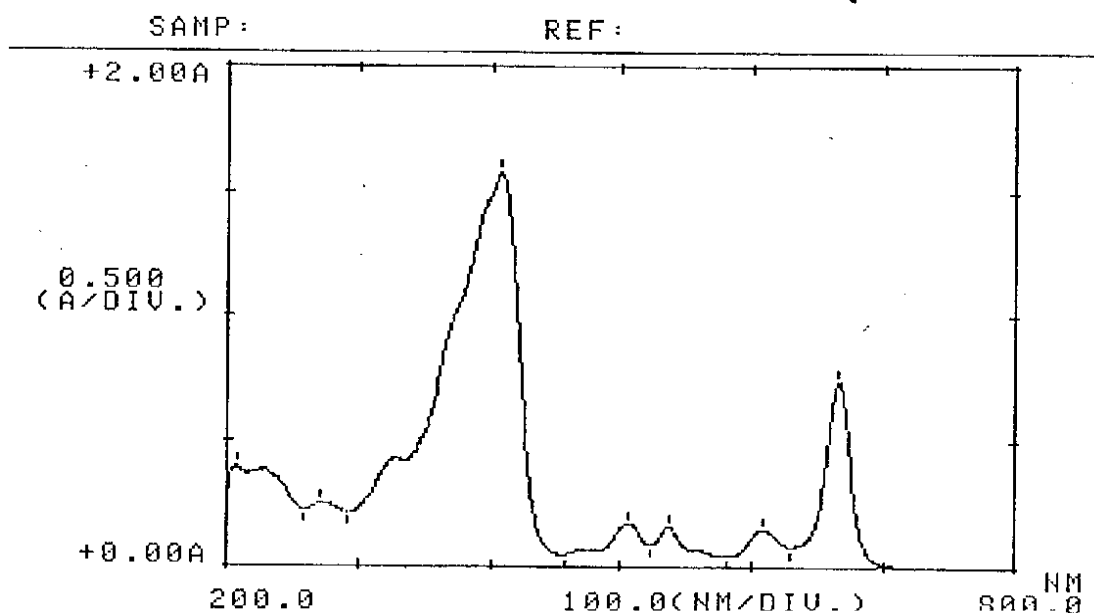
		<sup>1</sup> H	<sup>13</sup> C	COSY	NOESY	HMBC
<b>Pheophorbide-b moiety</b>						
1	C		143.4			
2	C		132.1			
2 <sup>1</sup>	CH <sub>3</sub>	3.34(s)	12.0		H-3 <sup>1</sup> , H-3 <sup>2</sup> , H-20	C-1( <i>J</i> <sub>3</sub> ), C-2( <i>J</i> <sub>2</sub> ), C-3( <i>J</i> <sub>3</sub> )
3	C		137.5			
3 <sup>1</sup>	CH	7.90(dd, 17.8, 11.6)	128.6	H-3 <sup>2</sup>	H-2 <sup>1</sup> , H-3 <sup>2</sup> , H-5	C-2( <i>J</i> <sub>3</sub> ), C-3 <sup>2</sup> ( <i>J</i> <sub>2</sub> ), C-4( <i>J</i> <sub>3</sub> )
3 <sup>2</sup>	CH <sub>2</sub>	(E)6.31(d, 17.9) (Z)6.17(dd, 11.6, 0.9)	123.4	H-3 <sup>1</sup>	H-2 <sup>1</sup> , H-3 <sup>1</sup> , H-5	C-2( <i>J</i> <sub>4</sub> ), C-3( <i>J</i> <sub>3</sub> ), C-3 <sup>1</sup> ( <i>J</i> <sub>2</sub> )
4	C		137.0			
5	CH	10.09(s)	101.3		H-3 <sup>1</sup> , H-3 <sup>2</sup> , H-7 <sup>1</sup>	C-3( <i>J</i> <sub>3</sub> ), C-7( <i>J</i> <sub>3</sub> )
6	C		150.9			
7	C		132.5			
7 <sup>1</sup>	CHO	10.90(s)	187.4		H-5, H-8 <sup>1</sup> , H-8 <sup>2</sup>	C-6( <i>J</i> <sub>3</sub> ), C-7( <i>J</i> <sub>2</sub> ), C-8( <i>J</i> <sub>3</sub> )
8	C		159.1			
8 <sup>1</sup>	CH <sub>2</sub>	3.74(m)	18.8	H-8 <sup>2</sup>	H-7 <sup>1</sup> , H-8 <sup>2</sup> , H-10	C-7( <i>J</i> <sub>3</sub> ), C-8( <i>J</i> <sub>2</sub> ), C-8 <sup>2</sup> ( <i>J</i> <sub>2</sub> ), C-9( <i>J</i> <sub>3</sub> )
8 <sup>2</sup>	CH <sub>3</sub>	1.69(t, 8.0)	19.3	H-8 <sup>1</sup>	H-7 <sup>1</sup> , H-8 <sup>1</sup> , H-10	C-8( <i>J</i> <sub>3</sub> ), C-8 <sup>1</sup> ( <i>J</i> <sub>2</sub> )
9	C		146.8			
10	CH	9.33(s)	106.7		H-8 <sup>1</sup> , H-8 <sup>2</sup> , H-12 <sup>1</sup>	C-8( <i>J</i> <sub>3</sub> ), C-9( <i>J</i> <sub>2</sub> ), C-11( <i>J</i> <sub>2</sub> ), C-12( <i>J</i> <sub>3</sub> ), C-13( <i>J</i> <sub>4</sub> )
11	C		132.3			
12	C		137.8			
12 <sup>1</sup>	CH <sub>3</sub>	3.59(s)	12.1	H-10		C-11( <i>J</i> <sub>3</sub> ), C-12( <i>J</i> <sub>2</sub> ), C-13( <i>J</i> <sub>3</sub> ), C-13 <sup>1</sup> ( <i>J</i> <sub>4</sub> ), C-14( <i>J</i> <sub>4</sub> )
13	C		150.6			
13 <sup>1</sup>	C		189.5			
13 <sup>2</sup>	CH	6.23(s)	64.5		H-17, H-17 <sup>1</sup> , H-13 <sup>4</sup>	C-13( <i>J</i> <sub>3</sub> ), C-13 <sup>1</sup> ( <i>J</i> <sub>2</sub> ), C-13 <sup>3</sup> ( <i>J</i> <sub>2</sub> ), C-15( <i>J</i> <sub>2</sub> ), C-16( <i>J</i> <sub>3</sub> )
13 <sup>3</sup>	CO		169.3			
13 <sup>4</sup>	OCH <sub>3</sub>	3.92(s)	53.0	H-13 <sup>2</sup>		C-13 <sup>3</sup> ( <i>J</i> <sub>3</sub> )
14	C		129.6			
15	C		104.9			
16	C		164.0			
17	CH	4.20(m)	51.3	H-17 <sup>1</sup>	H-17 <sup>1</sup> , H-18 <sup>1</sup>	C-16( <i>J</i> <sub>2</sub> ), C-17 <sup>1</sup> ( <i>J</i> <sub>2</sub> ), C-17 <sup>2</sup> ( <i>J</i> <sub>3</sub> ), C-18 <sup>1</sup> ( <i>J</i> <sub>3</sub> )
17 <sup>1</sup>	CH <sub>2</sub>	2.65(m), 2.33(m)	29.6	H-17, H-17 <sup>2</sup>	H-17, H-17 <sup>1</sup> , H-13 <sup>2</sup>	C-18( <i>J</i> <sub>3</sub> ), C-17 <sup>2</sup> ( <i>J</i> <sub>2</sub> )
17 <sup>2</sup>	CH <sub>2</sub>	2.50(m), 2.26(m)	31.3	H-17 <sup>1</sup>	H-17 <sup>1</sup> , H-18	C-17( <i>J</i> <sub>3</sub> ), C-17 <sup>1</sup> ( <i>J</i> <sub>2</sub> ), C-17 <sup>3</sup> ( <i>J</i> <sub>2</sub> )
17 <sup>3</sup>	CO		172.8			
18	CH	4.45(q, 7.3)	50.1	H-18 <sup>1</sup>	H-17 <sup>2</sup> , H-18 <sup>1</sup> , H-20	C-16( <i>J</i> <sub>3</sub> ), C-17( <i>J</i> <sub>2</sub> ), C-17 <sup>1</sup> ( <i>J</i> <sub>3</sub> ), C-18 <sup>1</sup> ( <i>J</i> <sub>2</sub> ), C-19( <i>J</i> <sub>2</sub> )
18 <sup>1</sup>	CH <sub>3</sub>	1.84(d, 7.4)	23.1	H-18	H-17, H-18	C-17( <i>J</i> <sub>3</sub> ), C-18( <i>J</i> <sub>2</sub> ), C-19( <i>J</i> <sub>3</sub> )
19	C		173.9			
20	CH	8.51(s)	93.3		H-2 <sup>1</sup> , H-18, H-18 <sup>1</sup>	C-1( <i>J</i> <sub>2</sub> ), C-2( <i>J</i> <sub>3</sub> ), C-18( <i>J</i> <sub>3</sub> ), C-19( <i>J</i> <sub>2</sub> )
	NH	0.31(s)				
		-1.75(s)				
<b>Phytol moiety</b>						
21	OCH <sub>2</sub>	4.51(d, 7.1)	61.5	H-22	H-22, H-40	C-17 <sup>3</sup> ( <i>J</i> <sub>3</sub> ), C-22( <i>J</i> <sub>2</sub> ), C-23( <i>J</i> <sub>2</sub> )
22	CH	5.15(t, 7.1)	117.7	H-21	H-21, H-24, H-25	C-21( <i>J</i> <sub>2</sub> ), C-24( <i>J</i> <sub>3</sub> ), C-40( <i>J</i> <sub>3</sub> )
23	C		143.0			
24	CH <sub>2</sub>	1.88(m)	39.8	H-25	H-22, H-25, H-26, C-22( <i>J</i> <sub>3</sub> ), C-23( <i>J</i> <sub>2</sub> ), C-25( <i>J</i> <sub>2</sub> ), H-40	C-26( <i>J</i> <sub>3</sub> ), C-40( <i>J</i> <sub>3</sub> )
25	CH <sub>2</sub>	1.30(m)	25.0	H-24	H-22, H-24	C-23( <i>J</i> <sub>3</sub> ), C-24( <i>J</i> <sub>2</sub> )
26	CH <sub>2</sub>	1.18(m)	36.6		H-24, H-39	
27	CH	1.30(m)	32.7	H-28, H-39	H-39	
28	CH <sub>2</sub>	0.99(m)	37.3	H-27, H-29	H-39	
29	CH <sub>2</sub>	1.18(m)	24.4	H-28	H-30	
30	CH <sub>2</sub>	0.99(m)	37.4	H-29, H-31	H-38	
31	CH	1.30(m)	32.6	H-30, H-32, H-38		
32	CH <sub>2</sub>	0.99(m)	37.2	H-31, H-33	H-33, H-38	
33	CH <sub>2</sub>	1.18(m)	24.7	H-32, H-34	H-32, H-36, H-37	
34	CH <sub>2</sub>	1.09(m)	39.3	H-33, H-35	H-36, H-37	C-32( <i>J</i> <sub>3</sub> ), C-33( <i>J</i> <sub>2</sub> ), C-35( <i>J</i> <sub>2</sub> ), C-36( <i>J</i> <sub>3</sub> ), C-37( <i>J</i> <sub>3</sub> )
35	CH	1.48(m)	27.9	H-34, H-36, H-36, H-37		C-33( <i>J</i> <sub>3</sub> ), C-34( <i>J</i> <sub>2</sub> ), C-36( <i>J</i> <sub>2</sub> ), C-37( <i>J</i> <sub>2</sub> )
36	CH <sub>3</sub>	0.83(d, 6.6)	22.6	H-35	H-34, H-33, H-35	C-34( <i>J</i> <sub>3</sub> ), C-35( <i>J</i> <sub>2</sub> ), C-37( <i>J</i> <sub>3</sub> )
37	CH <sub>3</sub>	0.83(d, 6.6)	22.7	H-35	H-33, H-34, H-35	C-34( <i>J</i> <sub>3</sub> ), C-35( <i>J</i> <sub>2</sub> ), C-36( <i>J</i> <sub>3</sub> )
38	CH <sub>3</sub>	0.78(d, 6.1)	19.7	H-31	H-30, H-31, H-32	C-30( <i>J</i> <sub>3</sub> ), C-31( <i>J</i> <sub>2</sub> ), C-32( <i>J</i> <sub>3</sub> )
39	CH <sub>3</sub>	0.77(d, 6.4)	19.6	H-27	H-26, H-27, H-28	C-26( <i>J</i> <sub>3</sub> ), C-27( <i>J</i> <sub>2</sub> ), C-28( <i>J</i> <sub>3</sub> )
40	CH <sub>3</sub>	1.58(s)	16.3		H-21, H-24	C-22( <i>J</i> <sub>3</sub> ), C-23( <i>J</i> <sub>2</sub> ), C-24( <i>J</i> <sub>3</sub> )



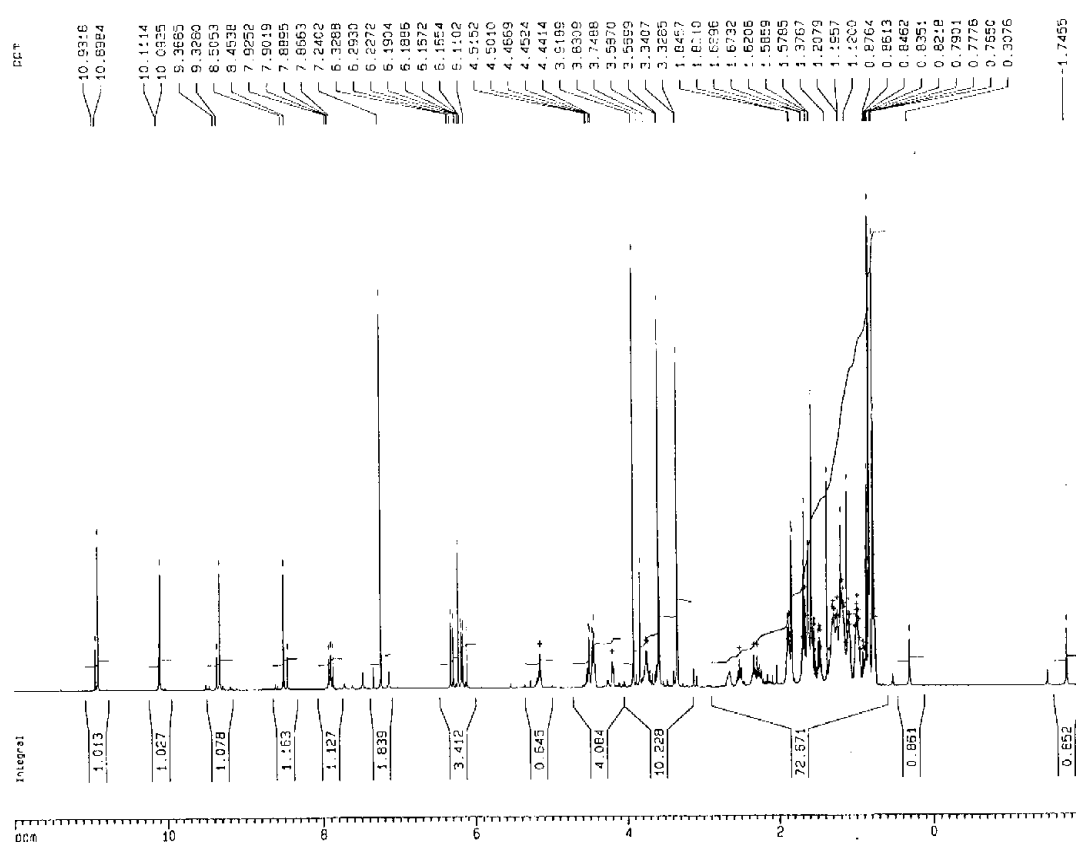
**Chart 198** positive FABMS spectrum of pheophytin b (**41**)



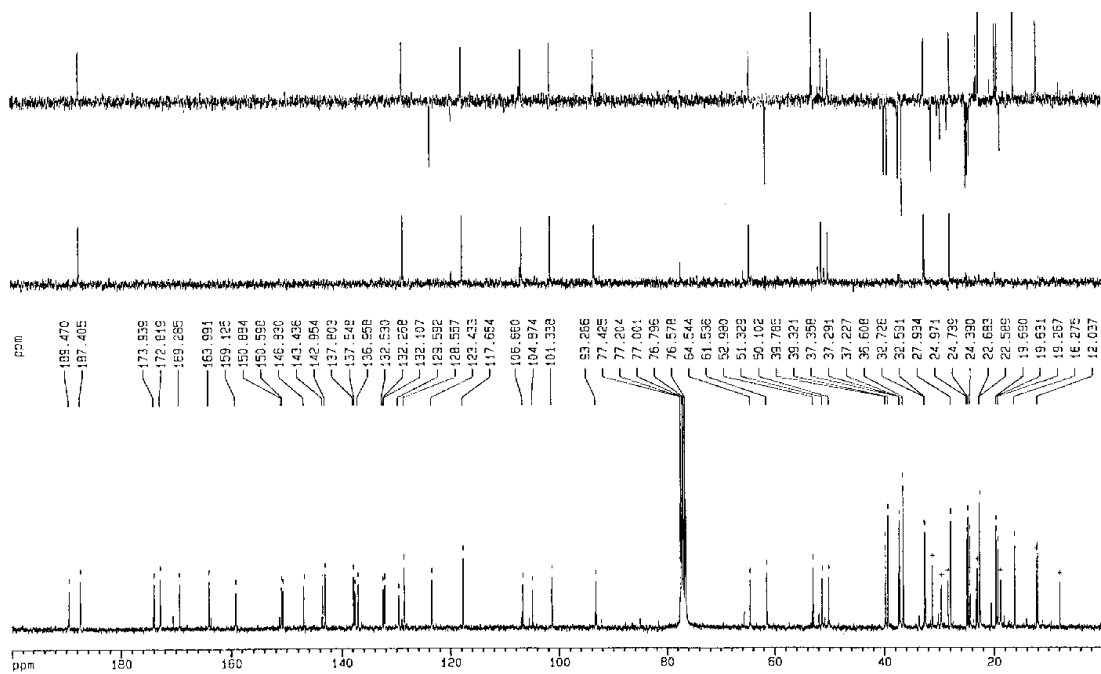
**Chart 199** IR spectrum of pheophytin b (**41**)



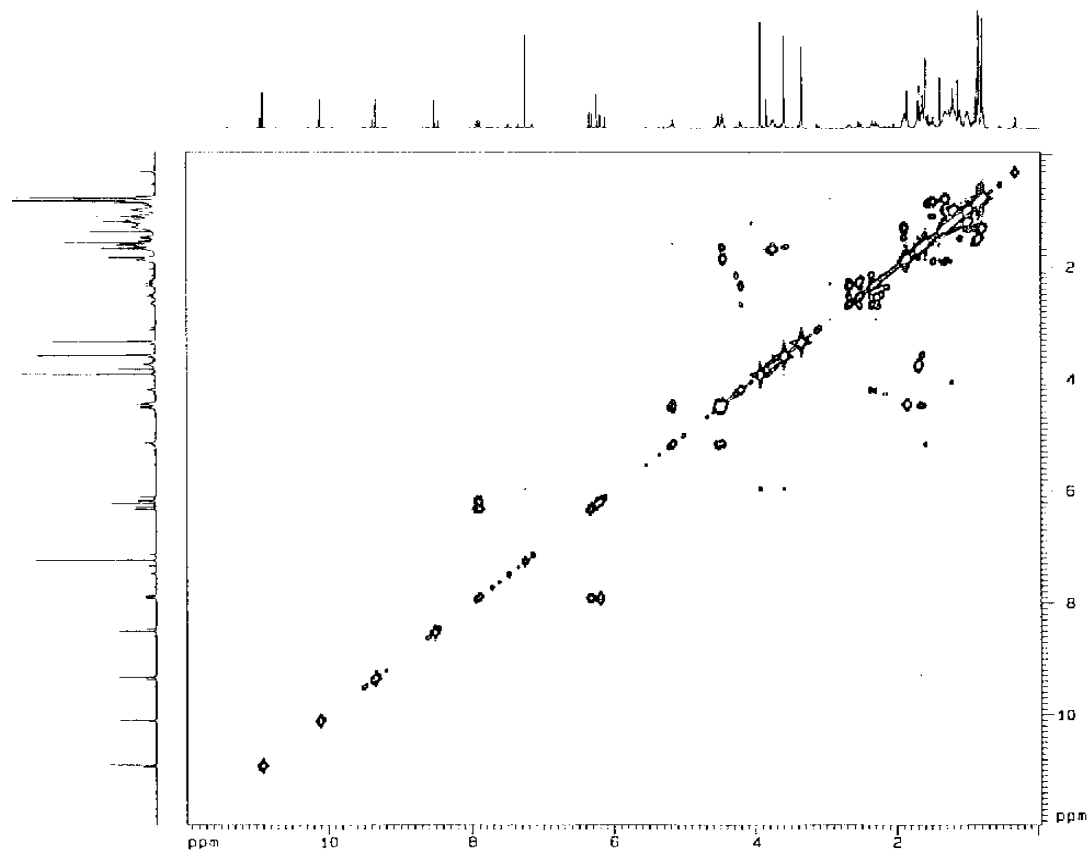
**Chart 200** UV-visible spectrum of pheophytin b (**41**)



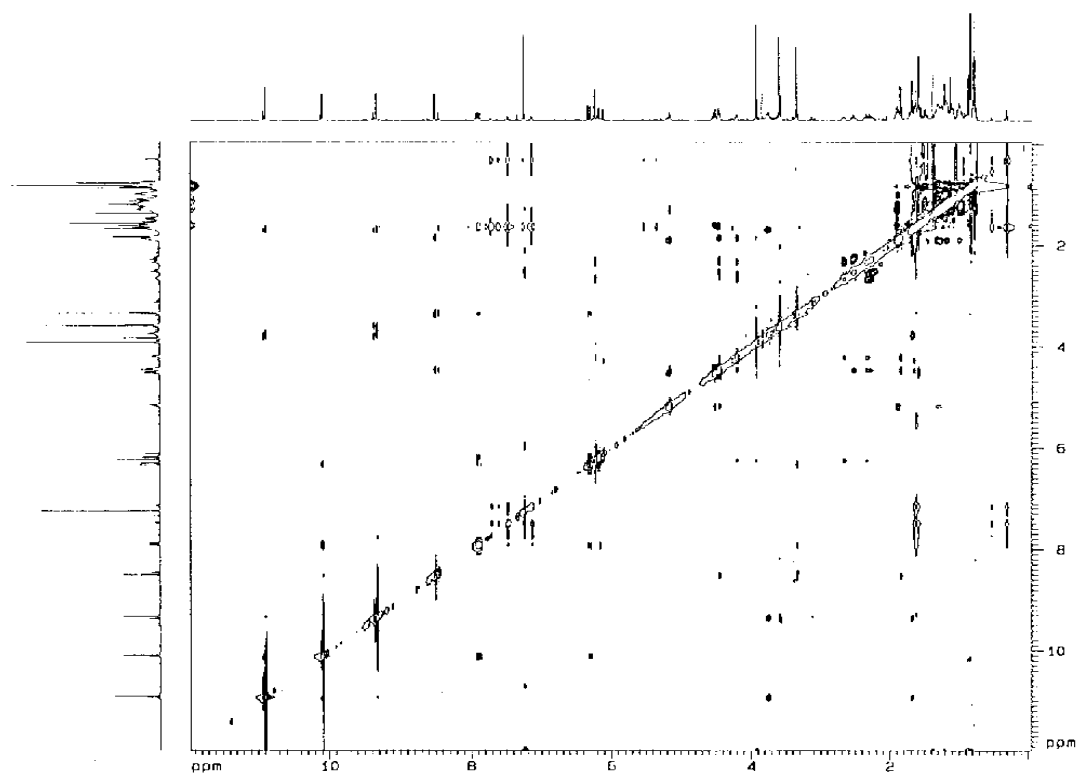
**Chart 201**  $^1\text{H}$ -NMR ( $\text{CDCl}_3$ , 500 MHz) spectrum of pheophytin b (**41**)



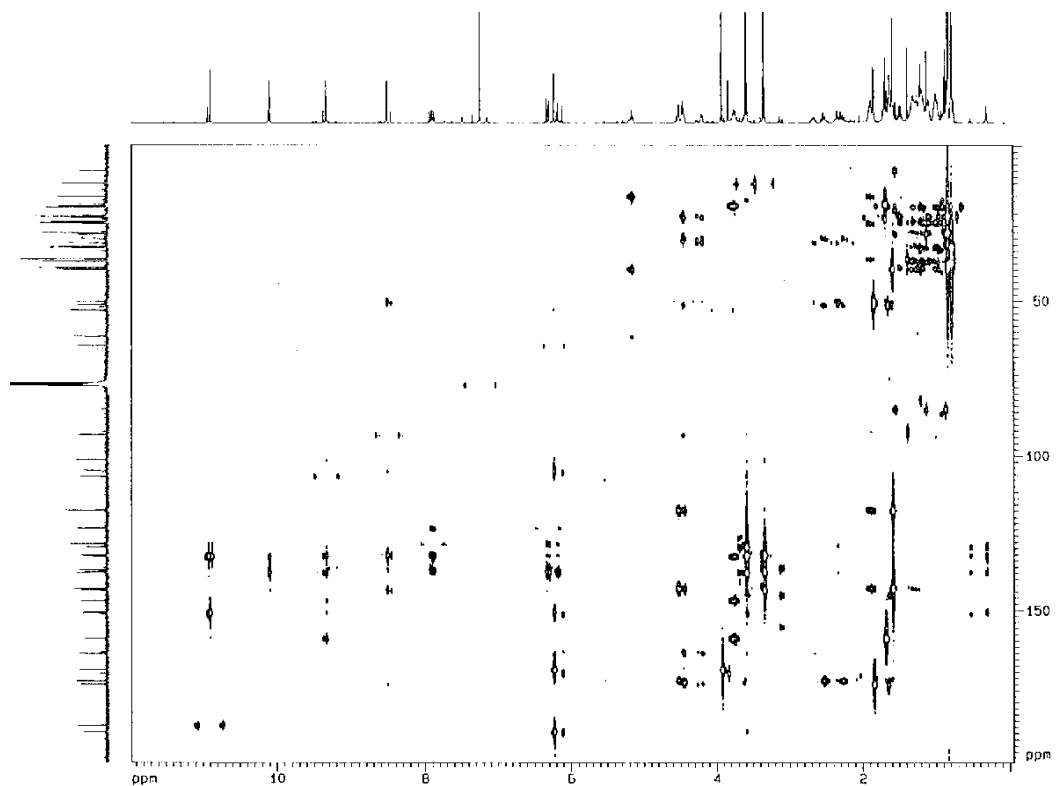
**Chart 202** <sup>13</sup>C-NMR ( $\text{CDCl}_3$ , 125 MHz) spectrum of pheophytin b (**41**)



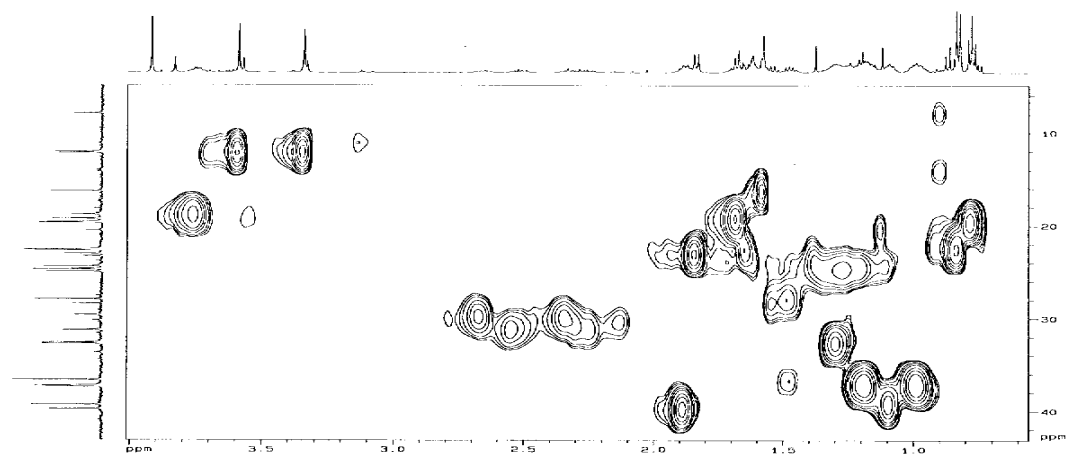
**Chart 203** COSY spectrum of pheophytin b (**41**)



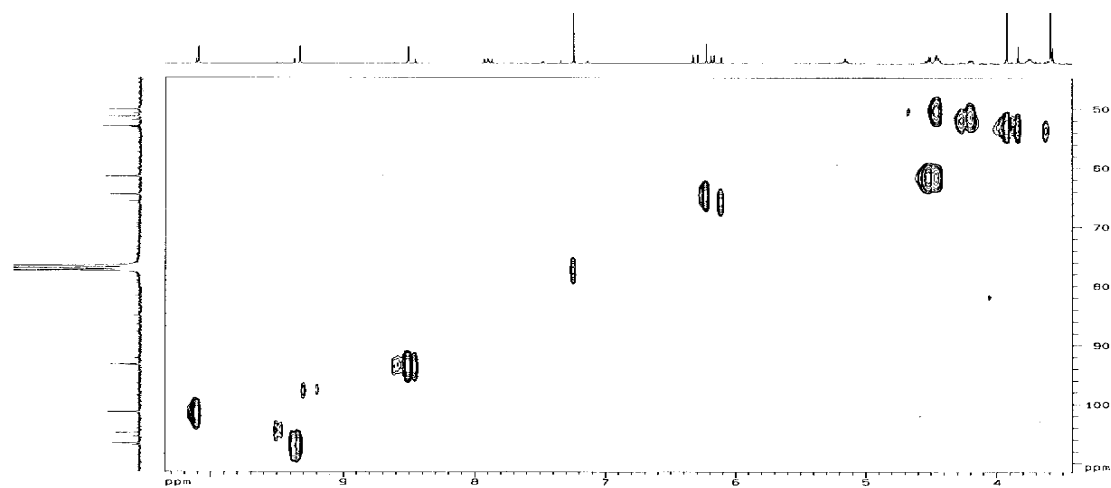
**Chart 204** NOESY spectrum of pheophytin b (**41**)



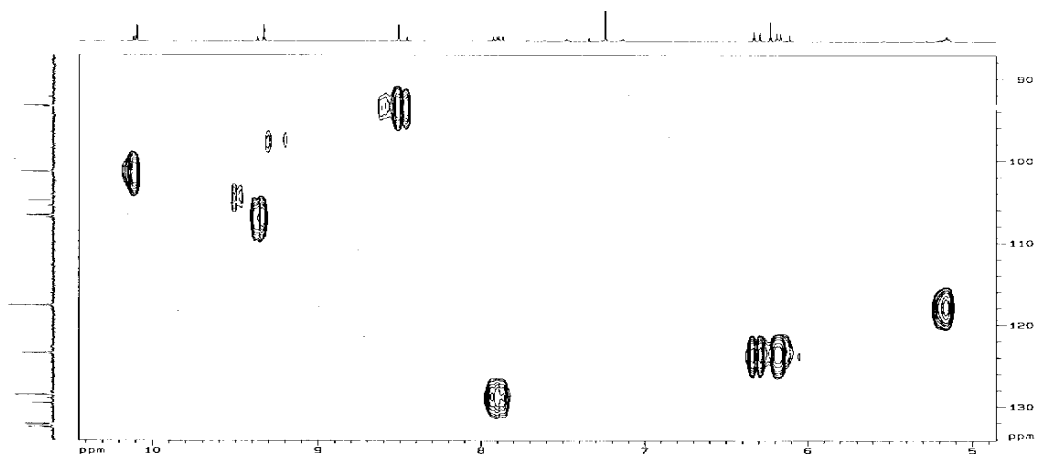
**Chart 205** HMBC spectrum of pheophytin b (**41**)



**Chart 206** HMQC spectrum of pheophytin b (A) (**41**)



**Chart 207** HMQC spectrum of pheophytin b (B) (**41**)



**Chart 208** HMQC spectrum of pheophytin b (C) (**41**)

## 十、Sterol 類化合物

Sterol 類化合物母核為 cyclopentano-perhydrophenanthrene，種類繁多，其中植物固醇類廣存於植物體中，而麥角固醇類則常見於蕈類或菌類。在石斛中分離得到 ergosterol (21)、ergosterol peroxide (22)、phytosterol (campesterol, stigmasterol, -sitosterol) (10)和 stigmast-4-en-3-one (9)，連珠石斛和臺灣金線連均有分離到 phytosterol (campesterol, stigmasterol, -sitosterol) (10)。

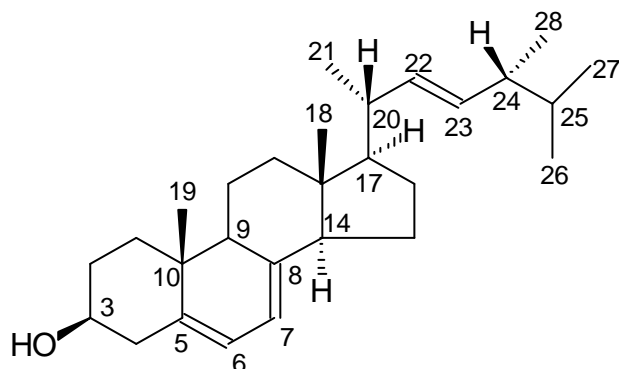
### Ergosterol (21) 化學結構的決定

本化合物為白色固體，TLC 以苯/乙酸乙酯(4/1)為展開溶媒，以 10% 硫酸為呈色劑，加熱後，在  $R_f=0.41$  處呈藍色點。熔點測定為 155-157。對 Liebermann-Bürchard 試劑呈陽性反應(藍紫色)，可知為固醇類化合物。

EIMS 光譜(Chart 209)顯示分子離子峰為  $m/z$  396。

氫譜(Chart 210)顯示高磁場區域具有 6 個甲基質子的吸收訊號，為固醇類化合物的特徵，分別為 0.63 (3H, s, H-18)、0.83 (3H, d,  $J=6.7$  Hz, H-26)、0.84 (3H, d,  $J=6.8$  Hz, H-27)、0.92 (3H, d,  $J=6.8$  Hz, H-28)、0.95 (3H, s, H-19)和 1.04 (3H, d,  $J=6.6$  Hz, H-21)，在 olefinic region 出現 4 個質子的吸收訊號，5.20 (2H, m)、5.39 (1H, m)和 5.58 (1H, m)，分別為 H-22、H-23、H-6 和 H-7 的吸收訊號，而 3.65 (1H, m)為 H-3 的吸收訊號。

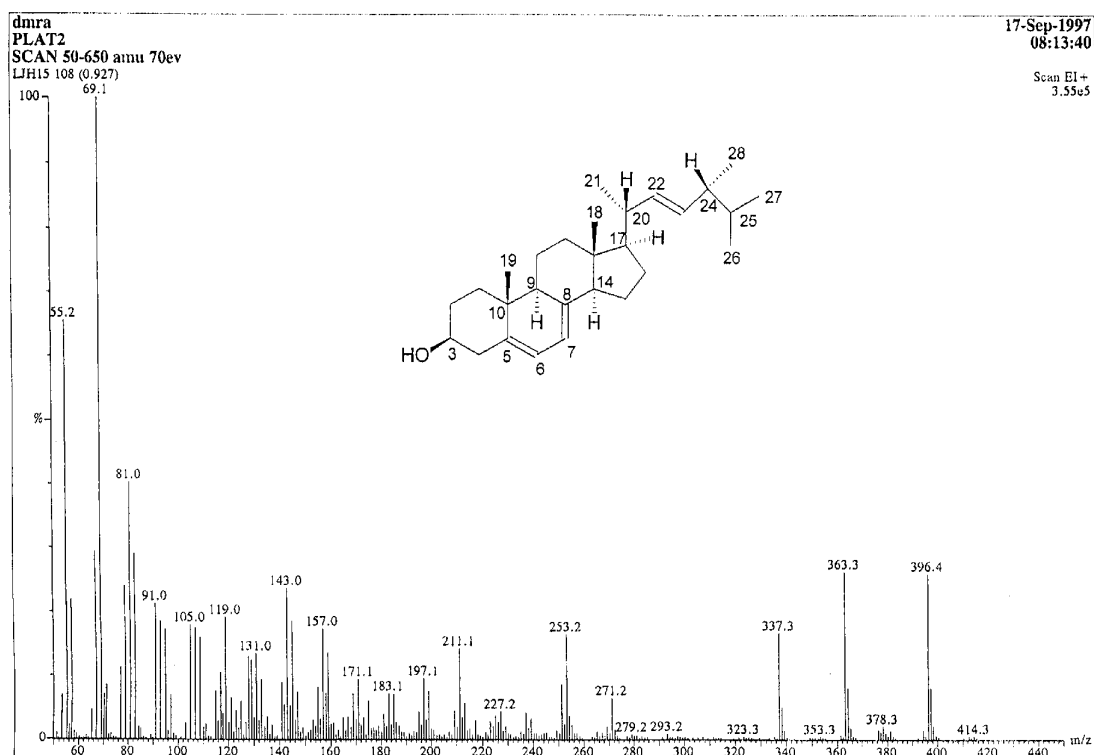
進一步與文獻值<sup>(191)</sup>比較(Table 39)，確認此化合物結構為 ergosta- 5,7-22E-trien-3 -ol，分子式為  $C_{28}H_{44}O$ ，又名 ergosterol，為 vitamin D<sub>2</sub> 的前驅物。其結構如下：



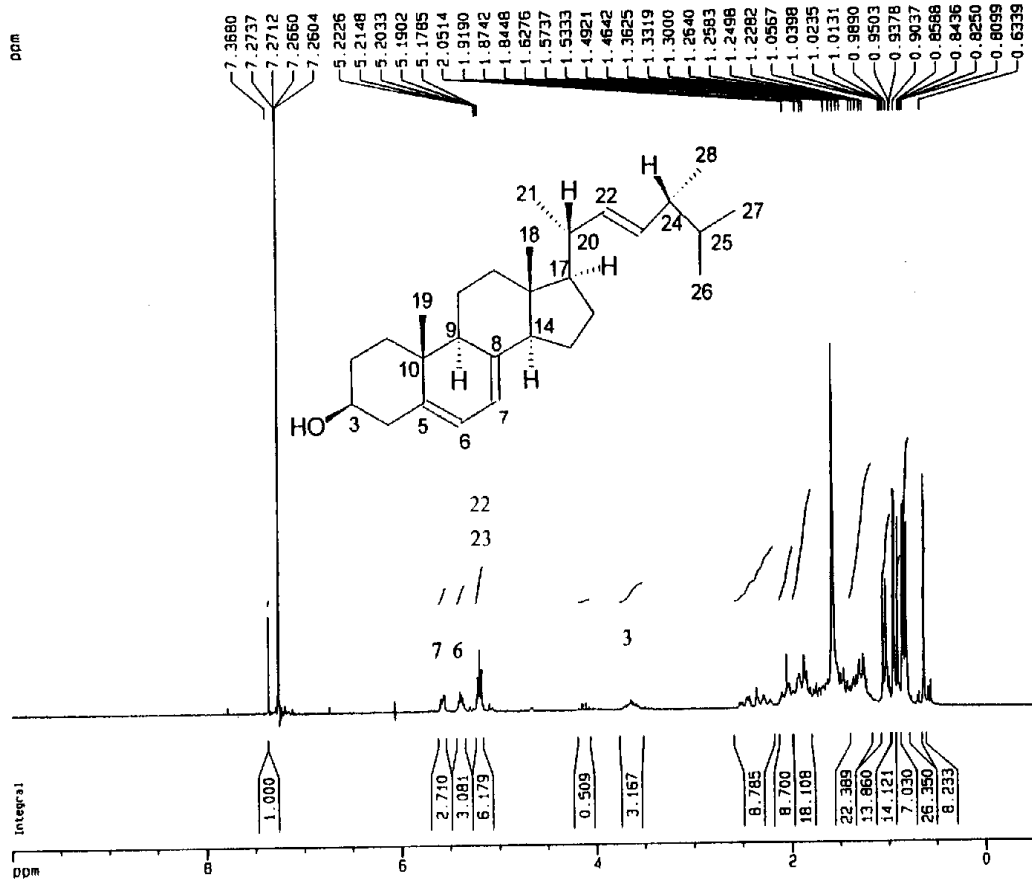
**Table 39.**  $^1\text{H}$ -NMR Data of ergosterol (**21**)

$^1\text{H}$ , $J$ (Hz) <sup>a</sup>	$^1\text{H}$ , $J$ (Hz) <sup>b</sup>
0.63 (s)	0.63 (3H, s, H-18)
0.83 (d, $J=6.7$ )	0.82 (3H, d, $J=6.4\text{Hz}$ , H-26)
0.84 (d, $J=6.8$ )	0.83 (3H, d, $J=6.4\text{Hz}$ , H-27)
0.92 (d, $J=6.8$ )	0.92 (3H, d, $J=6.0\text{Hz}$ , H-28)
0.95 (s)	0.95 (3H, s, H-19)
1.04 (d, $J=6.6$ )	1.04 (3H, d, $J=6.4\text{Hz}$ , H-21)
3.65 (m)	3.64 (1H, m, H-3 $\beta$ )
5.20 (m)	5.20 (2H, m, H-22,23)
5.39 (m)	5.39 (1H, m, H-6)
5.58 (m)	5.57 (1H, m, H-7)

a.為本研究數據 (200 MHz, CDCl<sub>3</sub>); b.為文獻值 (400 MHz, CDCl<sub>3</sub>).



**Chart 209** EIMS (70 eV) spectrum of ergosterol (**21**)



**Chart 210**  $^1\text{H}$ -NMR ( $\text{CDCl}_3$ , 200 MHz) spectrum of ergosterol (21)

### Ergosterol peroxide (22) 化學結構的決定

本化合物為白色固體，TLC 以苯/乙酸乙酯(4/1)為展開溶媒，以 10% 硫酸為呈色劑，加熱後，在  $R_f=0.41$  處呈藍色點。熔點測定為 177-179 $^\circ\text{C}$ 。對 Liebermann-Bürchard 試劑呈陽性反應(藍紫色)，可知為固醇類化合物。

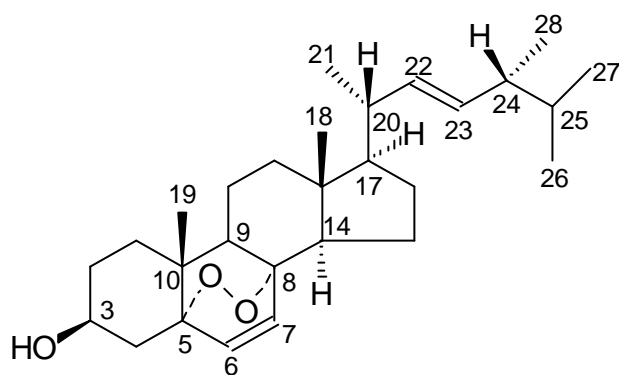
EIMS 光譜(Chart 211)顯示分子離子峰在  $m/z$  428，而其它離子斷裂類似麥角固醇(ergosterol)，分子量恰好比麥角固醇多 32，可能是結構上多了 2 個氧原子。

氫譜(Chart 212)顯示高磁場區域具有 6 個甲氧基質子的吸收訊號，為固醇類的特徵，分別為 0.78 (3H, *d*,  $J=6.7 \text{ Hz}$ )、0.79 (H, *s*)、0.84 (3H, *d*,  $J=6.9 \text{ Hz}$ )、0.86 (3H, *s*)、0.88 (3H, *d*,  $J=6.8 \text{ Hz}$ )和 0.97 (3H, *d*,  $J=6.6 \text{ Hz}$ )，而 5.16 (2H, *m*)為固醇類之 olefinic proton H-22 和 H-23 的吸收訊號，6.21 和 6.48 呈現雙裂峰型，耦合常數 8.5 Hz

為 H-6 和 H-7 互相耦合的吸收訊號，另外 3.94 (1H, *m*)為 H-3 的吸收訊號。

碳譜(Chart 213)顯示有 28 個碳，其中 3 個 66.4、79.4 和 82.1 為帶氧之碳的吸收，定為 C-3、C-5 和 C-8，而在 olefinic region 出現 4 個 peak，130.7、132.3、135.2 和 135.4，分別為 C-7、C-23、C-22 和 C-6 的吸收訊號，剩下 21 個碳出現在較高磁場 12.8-56.2，則為此固醇的其它吸收訊號。

進一步將此化合物之光譜數據與文獻值<sup>(192)</sup>相比較(Table 40, 41)，其值相吻合，因此確認此化合物為 ergosterol peroxide，分子式為 C<sub>28</sub>H<sub>44</sub>O<sub>3</sub>。其結構如下：



**Table 40.** <sup>13</sup>C-NMR Data of ergosterol peroxide (22)

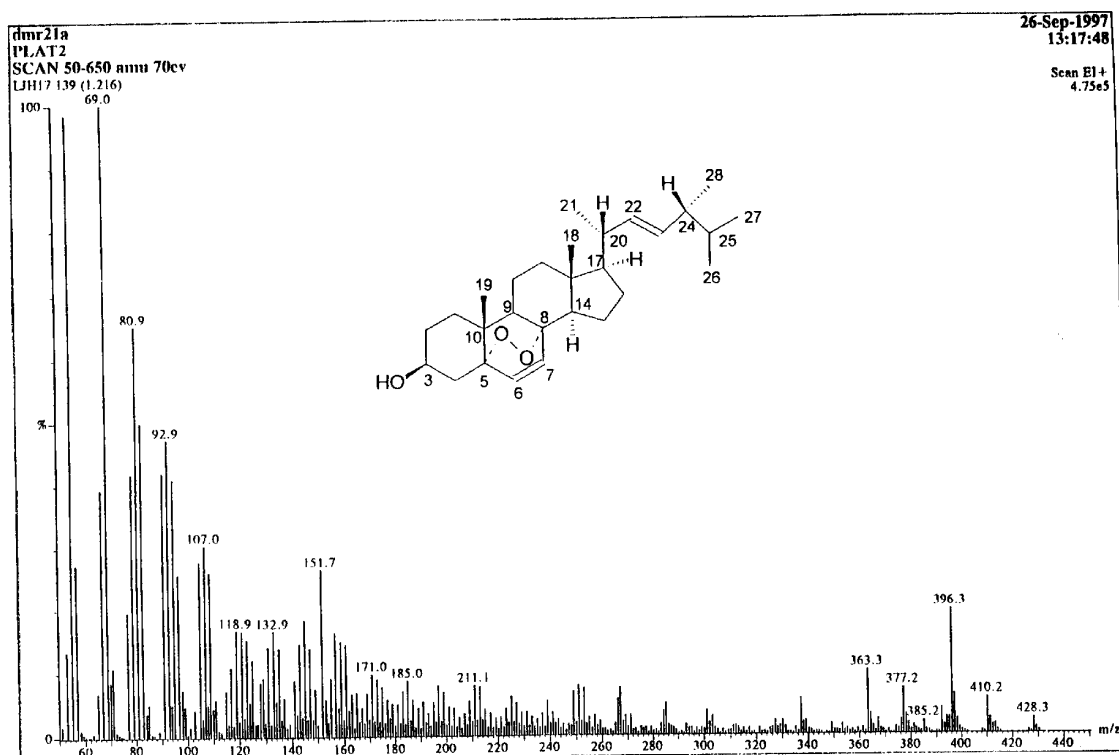
No. of C	<sup>13</sup> C <sup>a</sup>	<sup>13</sup> C <sup>b</sup>	No. of C	<sup>13</sup> C <sup>a</sup>	<sup>13</sup> C <sup>b</sup>
1	34.7	34.6	15	23.4	23.3
2	30.0	30.0	16	28.6	28.6
3	66.4	66.4	17	56.2	56.1
4	36.9	36.9	18	12.8	12.8
5	79.4	79.4	19	18.1	18.1
6	135.4	135.5	20	39.7	39.7
7	130.7	130.7	21	20.8	20.8
8	82.1	82.1	22	135.2	135.1
9	51.6	51.6	23	132.3	132.2
10	36.9	36.6	24	42.7	42.7
11	20.6	20.6	25	33.0	33.0
12	39.3	39.3	26	19.6	19.6
13	44.5	44.5	27	19.9	19.9
14	51.1	50.8	28	17.5	17.5

a.為本研究數據 (50 MHz, CDCl<sub>3</sub>); b.為文獻值 (75 MHz, CDCl<sub>3</sub>).

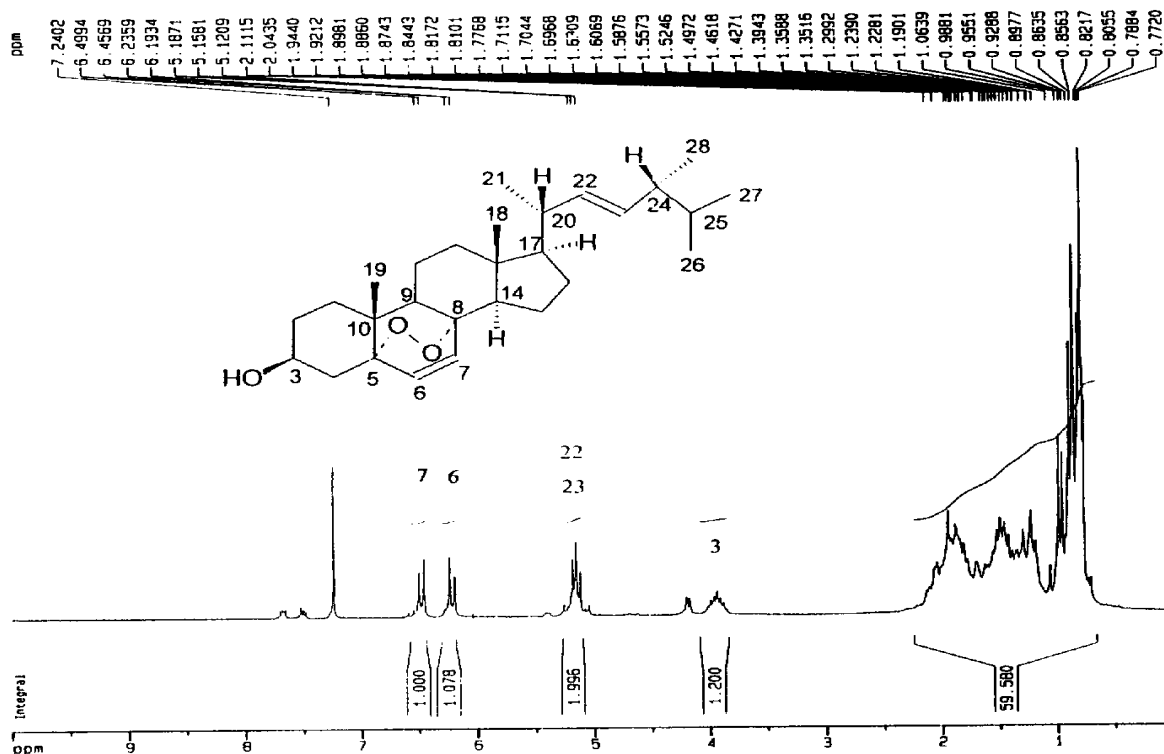
**Table 41.**  $^1\text{H}$ -NMR Data of ergosterol peroxide (22)

$^1\text{H}$ , $J$ (Hz) <sup>a</sup>	$^1\text{H}$ , $J$ (Hz) <sup>b</sup>
0.78 ( <i>d</i> , 6.7)	0.80(3H, <i>d</i> , 7)
0.79 ( <i>s</i> )	0.81(3H, <i>s</i> )
0.84 ( <i>d</i> , 6.9)	0.82(3H, <i>d</i> , 7)
(0.86, <i>s</i> )	0.85(3H, <i>s</i> )
(0.88, <i>d</i> , 6.8)	0.88(3H, <i>d</i> , 7)
(0.97, <i>d</i> , 6.6)	0.98(3H, <i>d</i> , 7)
(2.11-1.06, <i>m</i> )	2.10-1.07(21H, <i>m</i> )
(3.94, <i>m</i> )	3.95(1H, <i>m</i> , H-3)
(5.16, <i>m</i> )	5.17(2H, <i>m</i> , H-22,23)
(6.21, <i>d</i> , 8.5)	6.23(1H, <i>d</i> , 9, H-6)
(6.48, <i>d</i> , 8.5)	6.48(1H, <i>d</i> , 9, H-7)

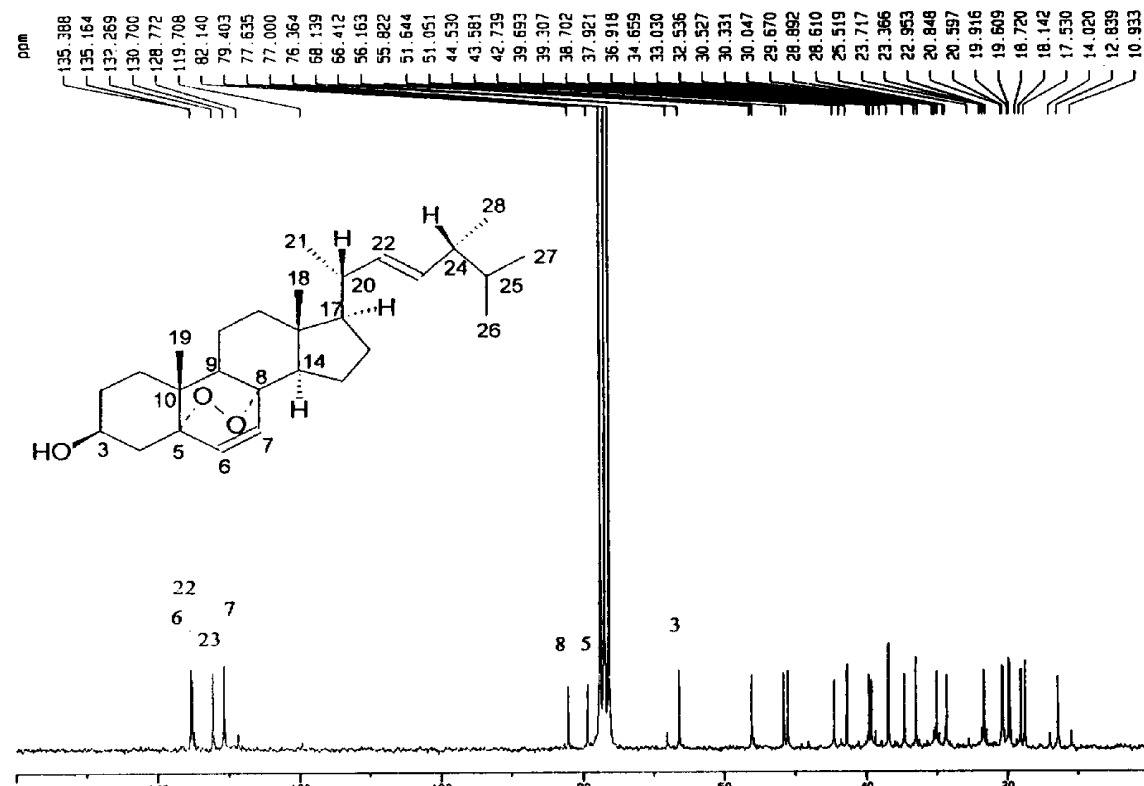
a.為本研究數據 (200 MHz,  $\text{CDCl}_3$ ); b.為文獻值 (300 MHz,  $\text{CDCl}_3$ ).



**Chart 211** EIMS (70 eV) spectrum of ergosterol peroxide (22)



**Chart 212**  $^1\text{H}$ -NMR ( $\text{CDCl}_3$ , 200 MHz) spectrum of ergosterol peroxide (22)



**Chart 213**  $^{13}\text{C}$ -NMR ( $\text{CDCl}_3$ , 50 MHz) spectrum of ergosterol peroxide (22)

## Phytosterol (campesterol, stigmasterol, -sitosterol) (10)

### 化學結構的決定

本化合物經正己烷再結晶後，為白色針狀結晶，可溶於氯仿。TLC 以苯/乙酸乙酯(4/1)為展開溶媒，以 10% 硫酸為呈色劑，加熱後，在  $R_f=0.41$  處呈紅色點。熔點測定為 138.3-140.2<sup>22</sup>。對 Liebermann-Büchard 試劑呈陽性反應(藍紫色)，可知為固醇類化合物。

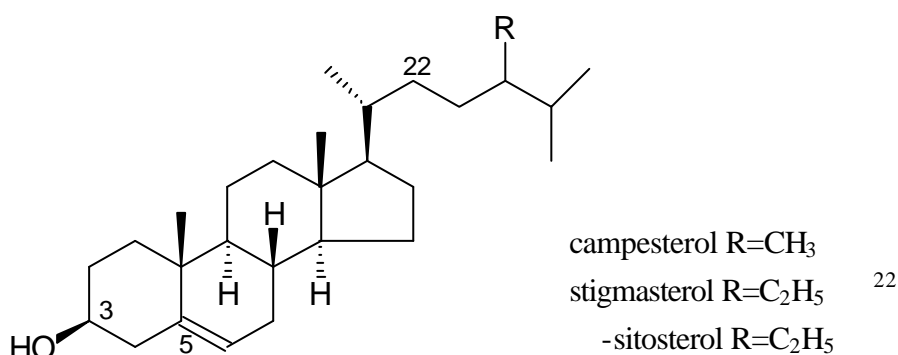
EIMS 光譜(Chart 214)顯示分子離子峰出現在  $m/z$  414 (33.5)、412 (16.5)、400 (6.7)。

IR 光譜(Chart 215)顯示在  $3417\text{ cm}^{-1}$  為氫氧基的吸收，其它吸收有 2940、2863、1460、1375 和  $1053\text{ cm}^{-1}$ 。

氫譜(Chart 216)顯示具有 6 個甲氧基質子，為固醇類的特徵，分別為 0.65 (3H, *s*, H-18)、0.80 (3H, *t*,  $J=6.7\text{ Hz}$ , H-29)、0.81 (3H, *d*,  $J=6.8\text{ Hz}$ , H-26)、0.81 (3H, *d*,  $J=6.8\text{ Hz}$ , H-27)、0.89 (3H, *d*,  $J=6.4\text{ Hz}$ , H-21) 和 0.98 (3H, *s*, H-19)，而 5.32 (1H, *d*,  $J=5.1\text{ Hz}$ ) 為固醇類之 olefinic proton H-6 的吸收訊號，4.98 (1H, *dd*,  $J=15.2, 8.1\text{ Hz}$ )，5.13 (1H, *dd*,  $J=15.2, 8.1\text{ Hz}$ ) 為固醇類中 stigmasterol<sup>22,23</sup> 的 olefinic proton 吸收訊號，另外 3.49 (1H, *m*) 為 H-3 的吸收訊號。

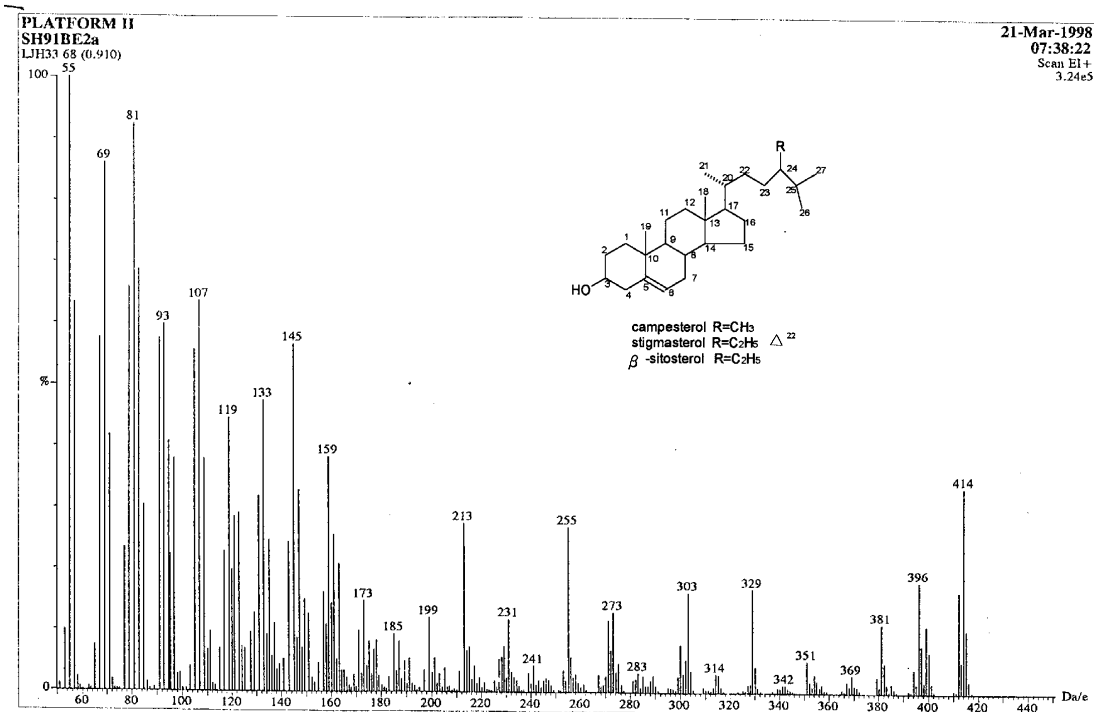
碳譜(Chart 217)顯示不只 29 個碳，可知此化合物並非單一化合物，在 140.7 和 121.7 為固醇類烯碳雙鍵之 C-5 和 C-6 的吸收訊號，而 138.3 和 129.2 則為固醇中 stigmasterol 之 C-22 和 C-23 的吸收訊號。

綜合上述資料(Table 42)並與文獻值<sup>(193)</sup>及標準品比對，得知此化合物為 -sitosterol、stigmasterol 和 campesterol 三種植物固醇的混合物，分子式為  $\text{C}_{29}\text{H}_{50}\text{O}$ 、 $\text{C}_{29}\text{H}_{48}\text{O}$  和  $\text{C}_{28}\text{H}_{48}\text{O}$ 。其結構如下：

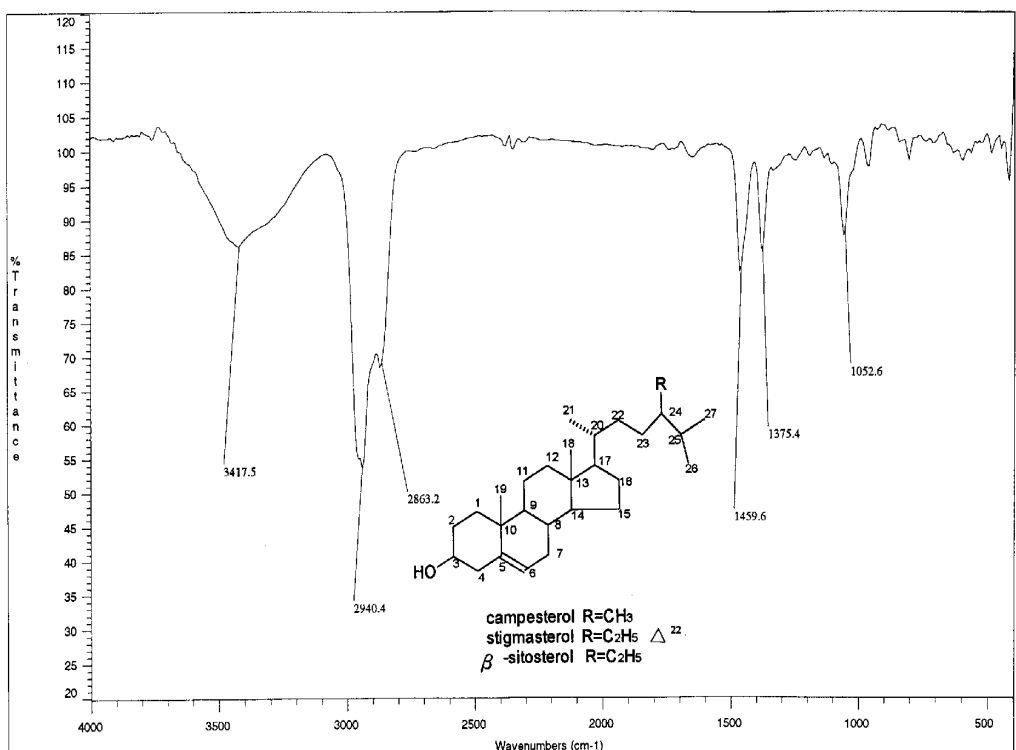


**Table 42.** NMR spectral data of phytosterol (**10**)

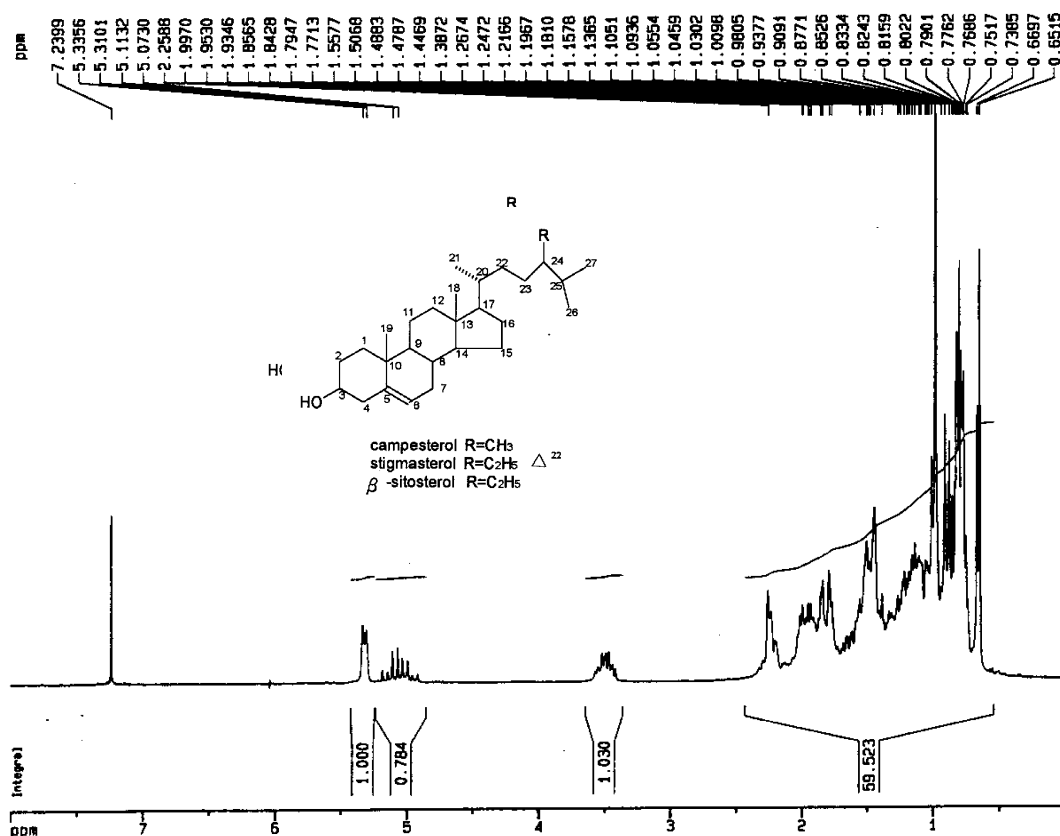
	<sup>1</sup> H	<sup>13</sup> C		<sup>1</sup> H		<sup>13</sup> C
1	CH <sub>2</sub>	37.2	16	CH <sub>2</sub>		28.9
2	CH <sub>2</sub>	31.6	17	CH		56.0
3	CH 3.49 (m)	71.8	18	CH <sub>3</sub> 0.65 (s)		11.8
4	CH <sub>2</sub>	42.3	19	CH <sub>3</sub> 0.98 (s)		19.4
5	C	140.7	20	CH		36.1
6	CH 5.32 (d, 5.1)	121.7	21	CH <sub>3</sub> 0.89 (d, 6.4)		18.8
7	CH <sub>2</sub>	31.9	22	CH <sub>2</sub> ; CH 4.98 (dd, 15.2, 8.1)		33.9; 138.3
8	CH	31.9	23	CH <sub>2</sub> ; CH 5.13 (dd, 15.2, 8.1)		26.0; 129.2
9	CH	50.1	24	CH		45.8
10	C	36.5	25	CH		29.1
11	CH <sub>2</sub>	21.1	26	CH <sub>3</sub> 0.81 (d, 6.8)		19.0
12	CH <sub>2</sub>	39.7	27	CH <sub>3</sub> 0.81 (d, 6.8)		19.8
13	C	40.5	28	CH <sub>2</sub>		23.0
14	CH	56.7	29	CH <sub>3</sub> 0.80 (t, 6.7)		12.0
15	CH <sub>2</sub>	24.3				



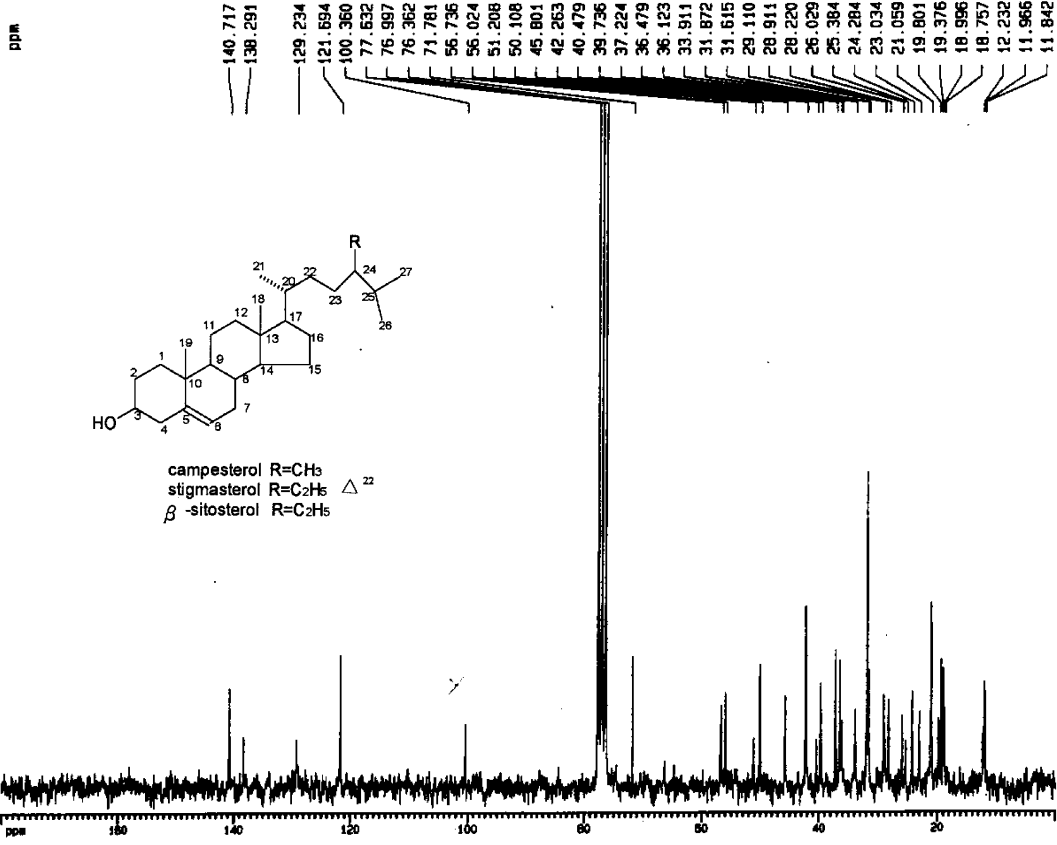
**Chart 214** EIMS (70 eV) spectrum of phytosterol (**10**)



**Chart 215** IR spectrum of phytosterol (**10**)



**Chart 216**  $^1\text{H-NMR}$  ( $\text{CDCl}_3$ , 200 MHz) spectrum of phytosterol (**10**)



**Chart 217**  $^{13}\text{C}$ -NMR ( $\text{CDCl}_3$ , 50 MHz) spectrum of phytosterol (10)

## Stigmast-4-en-3-one (9) 化學結構的決定

本化合物經正己烷再結晶後，為白色針狀結晶，可溶於氯仿。TLC 以苯/乙酸乙酯(4/1)為展開溶媒，以 10% 硫酸為呈色劑，加熱後，在  $R_f=0.41$  處呈紅色。熔點測定為 87-89。對 Liebermann-Büchard 試劑呈陽性反應(藍紫色)，可知為固醇類之骨架。

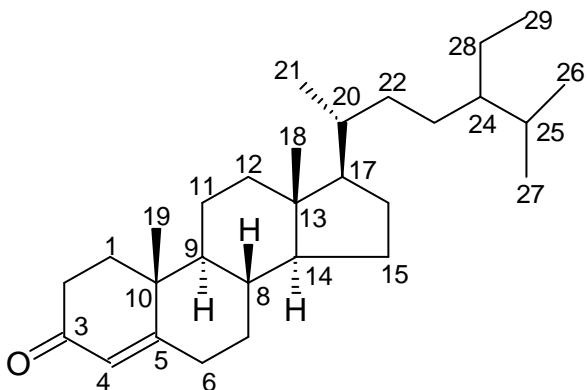
EIMS 圖譜(Chart 218)中，顯示分子量為 412，由主要斷裂片為 m/z 412 ( $M^+$ )、397 ( $M^+-CH_3$ )、289、229 和 124 來看，可知此化合物可能為  $^1$ -或  $^4$ -3-keto-steroids<sup>(191)</sup>。

IR 光譜(Chart 219)顯示在 2926, 2856  $\text{cm}^{-1}$  為飽和的碳氫的吸收，1677  $\text{cm}^{-1}$  為共軛酮基的吸收，1621  $\text{cm}^{-1}$  為 C=C 的吸收。UV 光譜(Chart 220)，在波長 246 nm ( $\log 4.20$ )為  $\alpha$ ，-unsaturated carbonyl 的吸收訊號。

氫譜(Chart 221)顯示有 6 個甲基之吸收訊號，0.68 (s, H-18)、0.78 (d,  $J=6.8$  Hz, H-27)、0.80 (d,  $J=6.8$  Hz, H-26)、0.81 (t,  $J=6.8$  Hz, H-29)、0.88 (d,  $J=6.5$  Hz, H-21)和 1.15 (s, H-19)，屬於 steroid 的 6 個甲基吸收訊號，與  $\beta$ -sitosterol 之骨架類似；2.34 (m)為 H-2 之吸收訊號，5.70 (s)為不飽和雙鍵(unsaturated double bond)的質子(H-4)之吸收訊號，屬於  $^4$ -3-keto- steroids<sup>(194)</sup>。

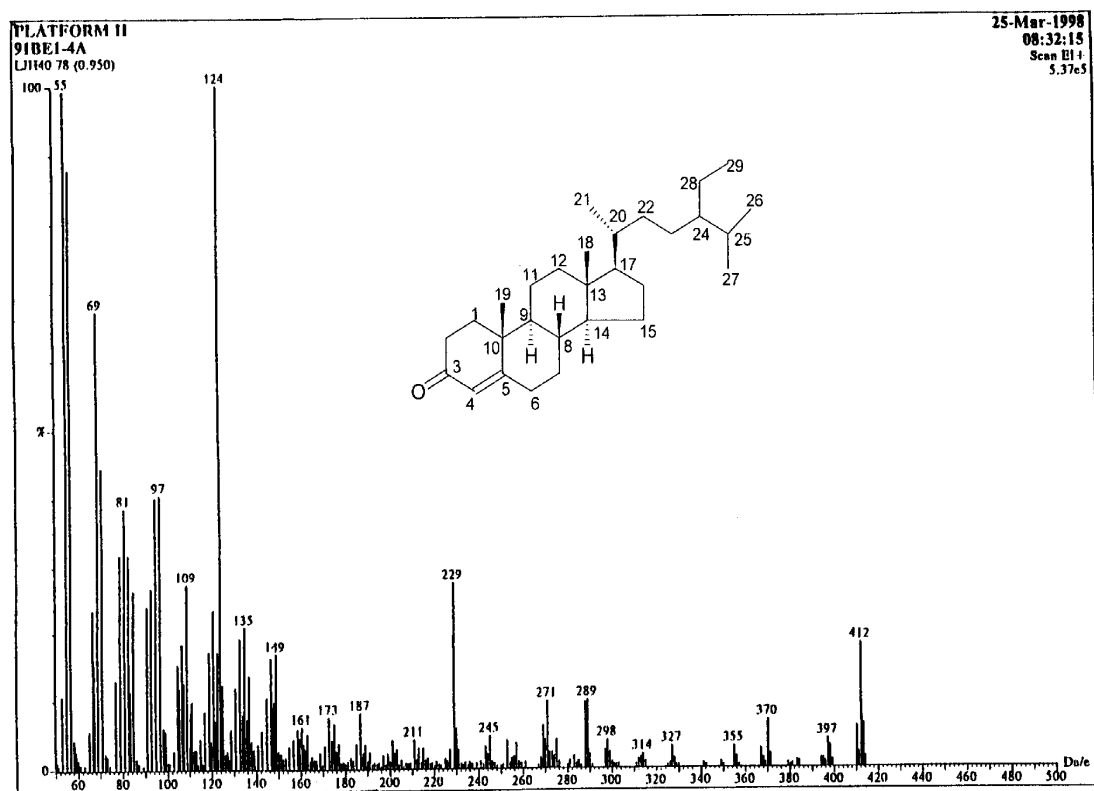
碳譜(Chart 222)及 DEPT(Chart 223)顯示，共有 29 個碳，其中包含 6 個 methyls (11.9, 12.0, 17.3, 18.6, 18.9 和 19.8)，11 個 methylenes (21.0, 23.0, 24.1, 26.0, 28.1, 32.0, 32.9, 33.8, 33.9, 35.6 和 39.5)，8 個 methines (29.0, 35.5, 36.0, 45.7, 53.7, 55.8, 55.9 和 123.6)和 4 個四級碳 (38.5, 42.3, 171.7 和 199.6)。

經由上述資料(整理如 Table 43)與文獻值<sup>(195)</sup>，確定為 stigmast-4-en-3-one，分子式為  $C_{29}H_{48}O$ 。其結構如下：

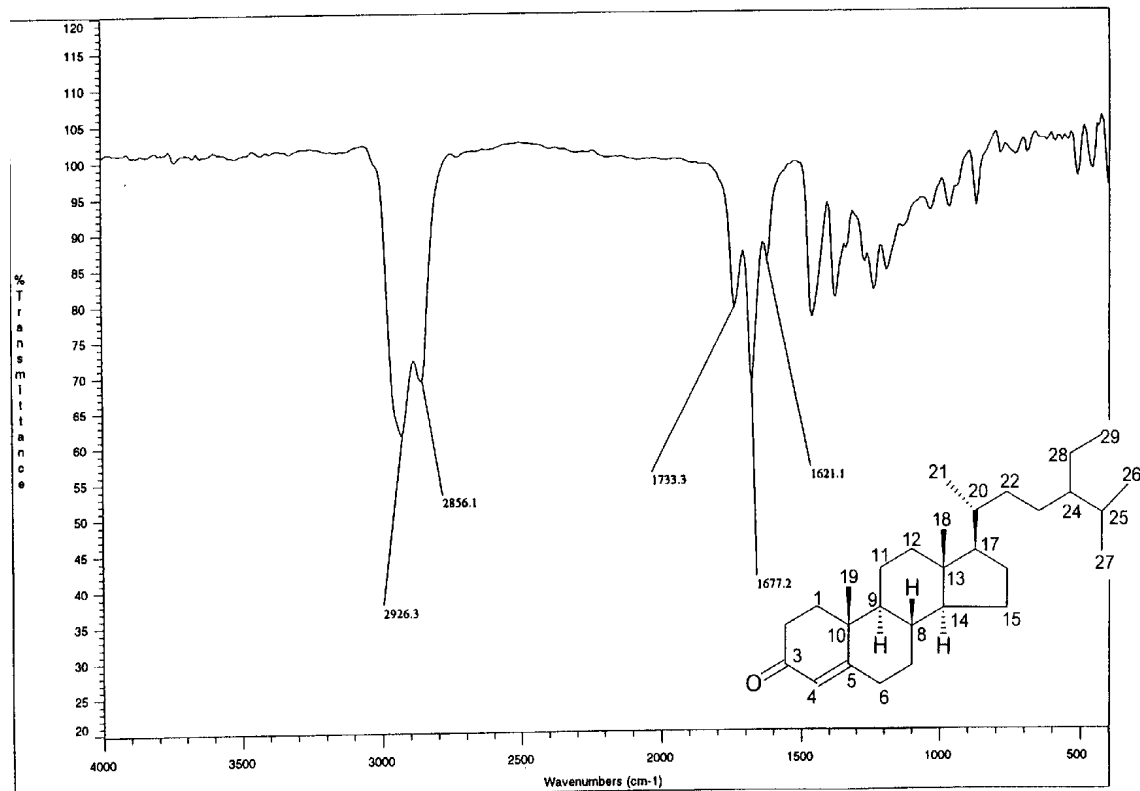


**Table 43.** NMR Spectral Data of stigmast-4-en-3-one (**9**)

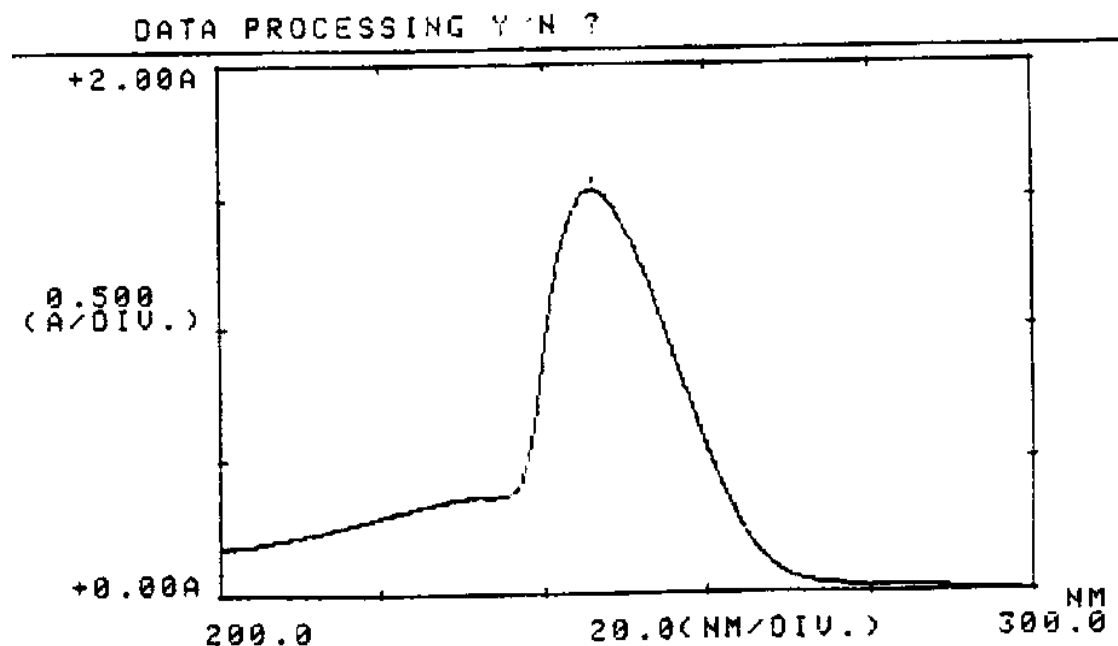
	<sup>13</sup> C-NMR(DEPT)	<sup>1</sup> H-NMR(mult, <i>J</i> )		<sup>13</sup> C-NMR(DEPT)	<sup>1</sup> H-NMR(mult, <i>J</i> )
C- 1	35.6(CH <sub>2</sub> )		C-16	28.1(CH <sub>2</sub> )	
C- 2	32.0(CH <sub>2</sub> )	2.34( <i>m</i> )	C-17	55.8(CH )	
C- 3	199.6(C )		C-18	11.9(CH <sub>3</sub> )	0.68( <i>s</i> )
C- 4	123.6(CH )	5.70( <i>s</i> )	C-19	17.3(CH <sub>3</sub> )	1.15( <i>s</i> )
C- 5	171.7(C )		C-20	36.0(CH )	
C- 6	33.8(CH <sub>2</sub> )		C-21	18.6(CH <sub>3</sub> )	0.88( <i>d</i> , 6.5 Hz)
C- 7	32.9(CH <sub>2</sub> )		C-22	33.9(CH <sub>2</sub> )	
C- 8	35.5(CH )		C-23	26.0(CH <sub>2</sub> )	
C- 9	53.7(CH )		C-24	45.7(CH )	
C-10	38.5(C )		C-25	29.0(CH )	
C-11	21.0(CH <sub>2</sub> )		C-26	19.8(CH <sub>3</sub> )	0.80( <i>d</i> , 6.8 Hz)
C-12	39.5(CH <sub>2</sub> )		C-27	18.9(CH <sub>3</sub> )	0.78( <i>d</i> , 6.8 Hz)
C-13	42.3(C )		C-28	23.0(CH <sub>2</sub> )	
C-14	55.9(CH )		C-29	12.0(CH <sub>3</sub> )	0.81( <i>t</i> , 6.8 Hz)
C-15	24.1(CH <sub>2</sub> )				



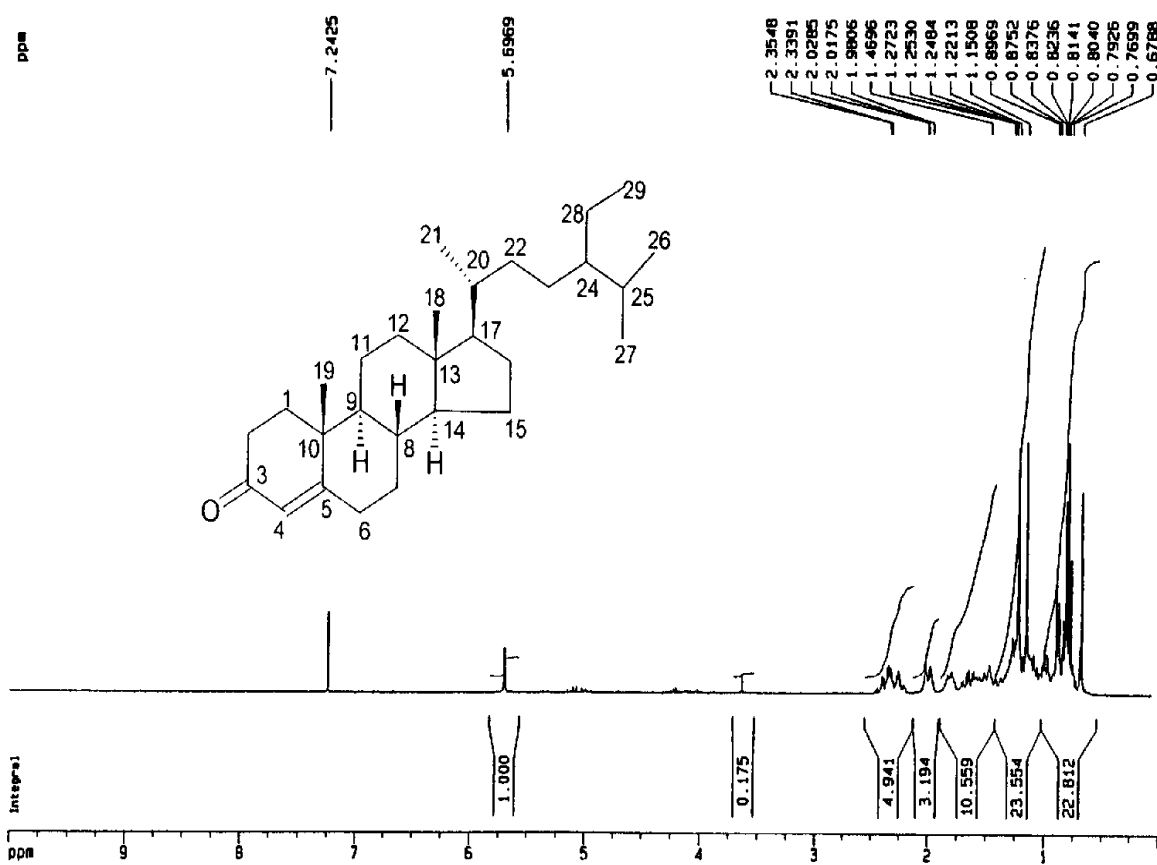
**Chart 218** EIMS (70 eV) spectrum of stigmast-4-en-3-one (**9**)



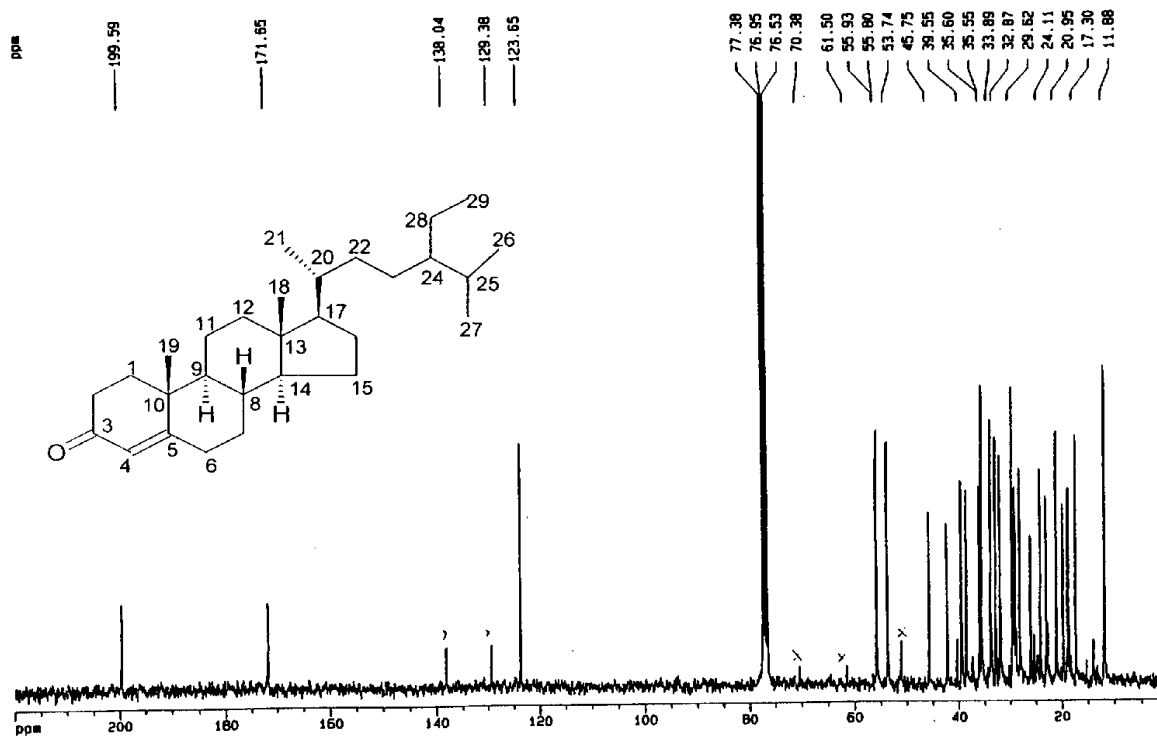
**Chart 219** IR spectrum of stigmast-4-en-3-one (**9**)



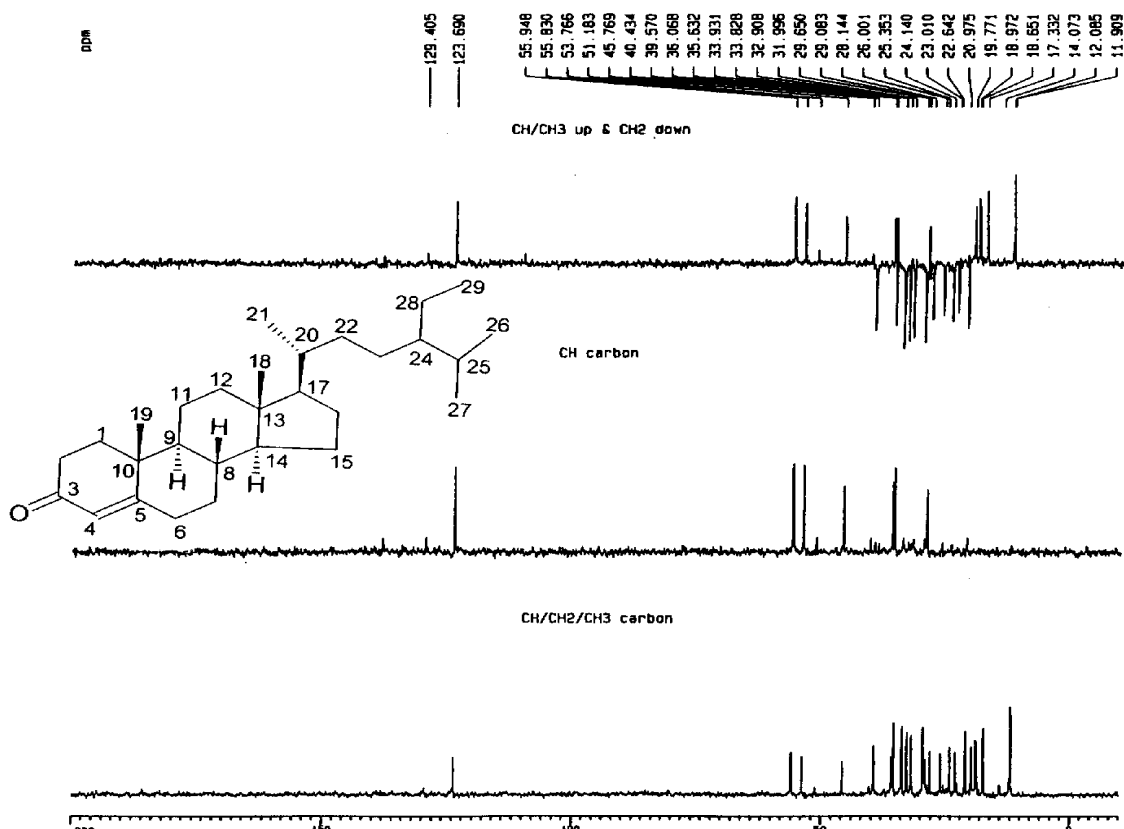
**Chart 220** UV spectrum of stigmast-4-en-3-one (**9**)



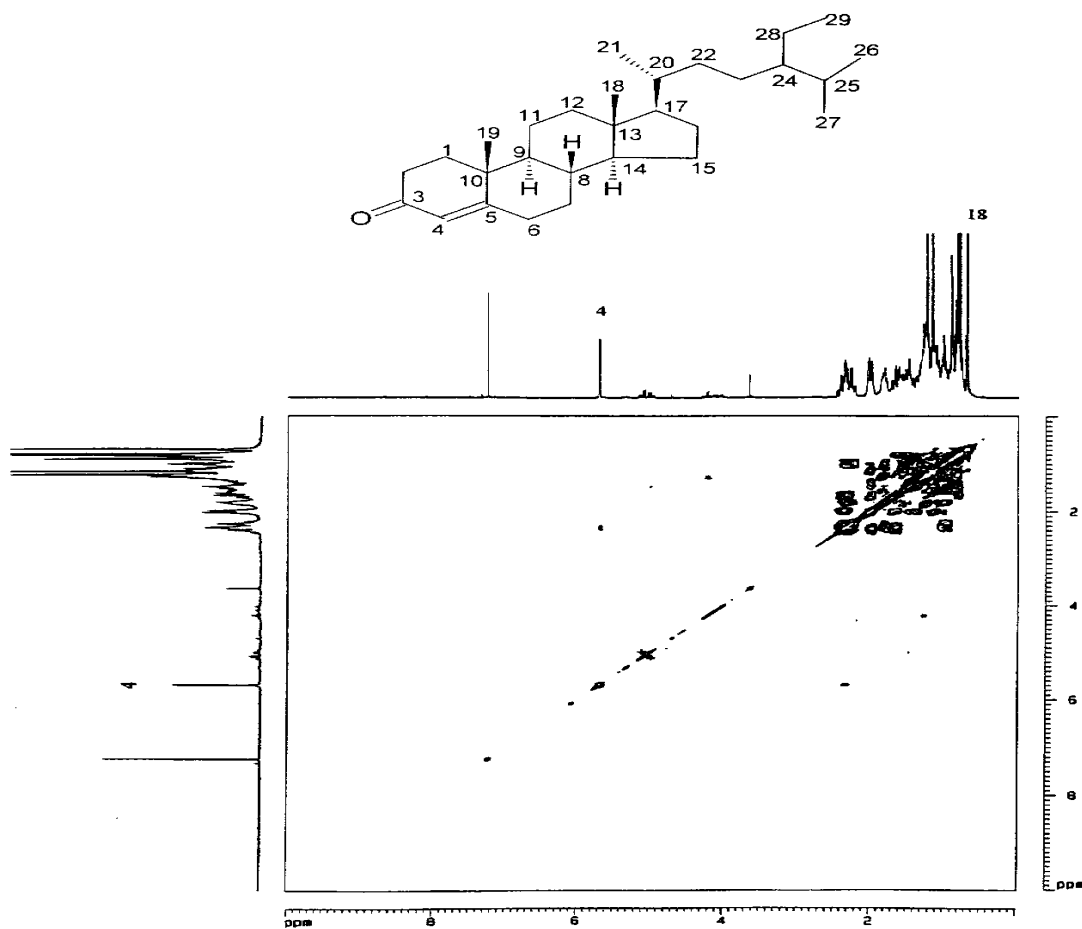
**Chart 221**  $^1\text{H}$ -NMR ( $\text{CDCl}_3$ , 200 MHz) spectrum of stigmast-4-en-3-one (**9**)



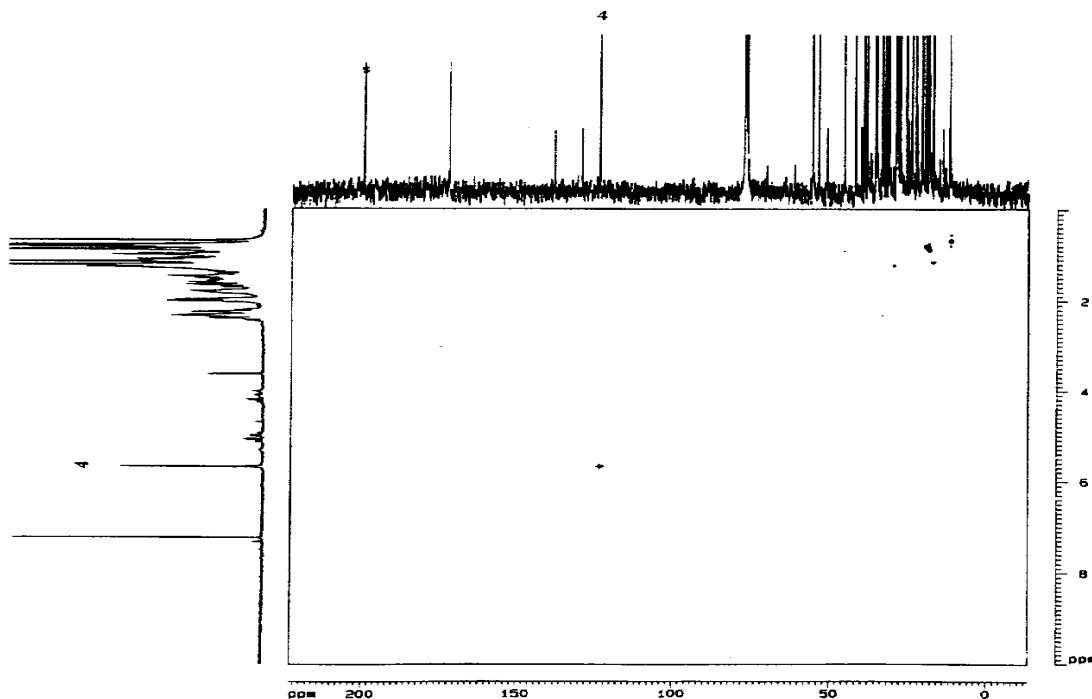
**Chart 222**  $^{13}\text{C}$ -NMR ( $\text{CDCl}_3$ , 50 MHz) spectrum of stigmast-4-en-3-one (9)



**Chart 223** DEPT spectrum of stigmast-4-en-3-one (9)



**Chart 224**  $^1\text{H}$ - $^1\text{H}$  COSY spectrum of stigmast-4-en-3-one (**9**)



**Chart 225**  $^{13}\text{C}$ - $^1\text{H}$  COSY spectrum of stigmast-4-en-3-one (**9**)